

**KOCAELİ ÜNİVERSİTESİ  
FEN BİLİMLERİ ENSTİTÜSÜ**

**İNŞAAT MÜHENDİSLİĞİ ANABİLİM DALI**

**YÜKSEK LİSANS TEZİ**

**YÖNETMELİK TANIMLI DEPREM YÜKLERİİNİN TİPİK BİR  
BİNADA GÖZLENEN PERFORMANSLARININ DEPREM  
DÜŞEY BİLEŞEN ETKİSİ DAHİL EDİLDİĞİNDE ÇIKAN  
SONUÇLARININ TARTIŞILMASI**

**GÜNAL EREN**

**KOCAELİ 2014**

**KOCAELİ ÜNİVERSİTESİ  
FEN BİLİMLERİ ENSTİTÜSÜ**

**İNŞAAT MÜHENDİSLİĞİ ANABİLİM DALI**

**YÜKSEK LİSANS TEZİ**

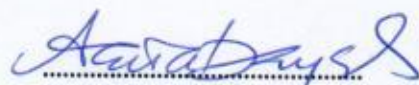
**YÖNETMELİK TANIMLI DEPREM YÜKLERİNİN TİPİK BİR  
BİNADA GÖZLENEN PERFORMANSLARININ DEPREM  
DÜŞEY BİLEŞEN ETKİSİ DAHİL EDİLDİĞİNDE ÇIKAN  
SONUÇLARININ TARTIŞILMASI**

**GÜNAL EREN**

Doç.Dr. Kemal BEYEN  
Danışman, Kocaeli Univ.

Doç.Dr. Fuad OKAY  
Jüri Üyesi, Kocaeli Univ.

Yrd.Doç.Dr. İhsan Engin BAL  
Jüri Üyesi, İstanbul Teknik Univ.



**Tezin Savunulduğu Tarih: 04.07.2014**

## **ÖNSÖZ VE TEŞEKKÜR**

Bu tez çalışmasının kapsamı, Türk Deprem Yönetmeliği 2007'de gözönüne alınmayan deprem düşey bileşeninin, mevcut ve yeni yapılarda gözönüne alınması durumunda ortaya çıkan sonuçların karşılaştırılmasıdır.

Bu çalışma kapsamında, lisans ve lisansüstü öğrenimim boyunca bana karşı göstermiş olduğu destek ve güvenini hiçbir zaman esirgemeyen değerli tez danışmanım Doç. Dr. Kemal Beyen'e, mühendislik yaşamımda bilgi ve tecrübesi ile bana destek olan Y. Müh. Barış Şahin'e, lisansüstü eğitimi süresince yardımışlığımız Y. Müh. Ahmet Özenir'e teşekkür eder, sevgi ve saygılarımı sunarım. Lisansüstü eğitimim boyunca beni teşvik eden hocalarıma ve bütün arkadaşlarına teşekkür ederim.

Yaşamım boyunca beni destekleyen, benden ilgi ve sevgilerini eksik etmeyen aileme, dostum Y. Kimya Müh. Dinçer Akın'a sonsuz teşekkürlerimi sunarım.

Haziran - 2014

Günal EREN

## **İÇİNDEKİLER**

ÖNSÖZ VE TEŞEKKÜR .....	i
İÇİNDEKİLER .....	ii
ŞEKİLLER DİZİNİ .....	iv
TABLOLAR DİZİNİ .....	v
SİMGELER DİZİNİ ve KISALTMALAR .....	vi
ÖZET .....	viii
ABSTRACT .....	ix
GİRİŞ .....	1
<b>1. KUVVETLİ YER HAREKETİ ÖZELLİKLERİ VE YÖNETMELİKLERDE TASARIM KUVVETİ OLARAK KULLANIMI .....</b>	<b>3</b>
1.1. Kuvvetli Yer Hareketinin Karakteristik Özellikleri .....	3
1.1.1. Yatay ve düşey spektral ivme oranı .....	3
1.1.2. Frekans İçeriği .....	5
1.1.3. Depremin Süresi .....	5
1.2. Düşey İvme Bileşeninin Karakteristik Özellikleri .....	5
1.3. Düşey İvme Etkisinin İncelendiği Akademik Çalışmalar .....	7
1.4. Farklı Deprem Yönetmeliklerinde Düşey İvme Etkisi.....	8
1.4.1. Tdy 2007 ( Türkiye ) .....	8
1.4.2. IS 1893-2000 ( Hindistan ) .....	9
1.4.3. Eurocode 8 - 1998 ( Avrupa ) .....	9
1.4.4. Ubc - 1997 ( Amerika ).....	10
1.4.5. Nzs 1170 - 2004 ( Yeni Zelanda ) .....	10
2. YAPI SİSTEMLERİNİN DOĞRUSAL OLMAYAN ANALİZİ .....	11
2.1. Yapı Sistemlerinin Doğrusal Olmama Nedenleri .....	11
2.1. Yapı Sistemlerinin Doğrusal Olmama Nedenleri .....	11
3. TDY 2007'DE YAPI SİSTEMLERİNİN PERFORMANSA DAYALI TASARIMI VE DEĞERLENDİRİLMESİ .....	13
3.1. Binalardan Bilgi Toplanması .....	13
3.2. Performansa Dayalı Tasarım Ve Değerlendirmenin Temel İlkeleri .....	14
3.3. Kesitteki Birim Şekildeştirme İstemlerinin Belirlenmesi .....	15
3.3.1. Kesit hasar sınırları .....	15
3.3.2. Kesit hasar bölgeleri .....	16
3.4. Bina Deprem Performans Seviyeleri.....	17
3.4.1. Hemen kullanım durumu .....	17
3.4.2. Can güvenliği durumu .....	17
3.4.3. Göçmenin önlenmesi durumu.....	18
3.4.4. Göçme durumu .....	19
3.5. Göreli Kat Ötelemelerinin Sınırlandırılması .....	19
3.6. Deprem Hareketi .....	19
3.7. Performans Hedefi ve Çok Seviyeli Performans Hedefleri .....	20
3.8. Deprem Hesabına İlişkin Genel İlke ve Kurallar .....	21
3.9. Doğrusal Elastik Hesap Yöntemleri.....	22

3.10. Doğrusal Elastik Olmayan Hesap Yöntemleri .....	23
3.10.1. Artımsal eşdeğer deprem yükü yöntemi .....	23
3.10.2. Artımsal mod birleştirme yöntemi .....	24
3.10.3. Zaman tanım alanında hesap yöntemi .....	24
4. KUVVETLİ YER HAREKETİ ÖLÇEKLEME METOTLARI .....	26
4.1. Deprem Hareketinin Zaman Tanım Alanında Ölçeklenmesi .....	26
4.2. Deprem Hareketinin Frekans Tanım Alanında Ölçeklenmesi .....	26
4.3. Yapı Analizlerine Kullanılan Depremler .....	26
4.3.1. Malhotra metodu ( 2006 ) .....	31
4.3.2. Y.Bozorgnia ve K.Campbell metodu ( 2003 ) .....	32
4.4. Kayıtların Ölçeklenmesinde Gözönüne Alına Hususlar .....	34
5. ÖRNEK BETONARME YAPI ÜZERİNDE DÜŞEY DEPREM ETKİSİNİN İNCELENMESİ .....	38
5.1. Yapı Genel Bilgileri .....	38
5.1.1. Yapı sistemine ait özellikler .....	38
5.1.2. Bina bilgileri .....	40
5.1.3. Malzeme bilgileri.....	40
5.1.4. Proje parametreleri.....	40
5.1.5. Yükler .....	40
5.1.6. Modellemede yapılan varsayımlar.....	41
5.2. Spektral Analiz Yöntemi İle Örnek Yapı Üzerinde Düşey Deprem Etkisinin İncelenmesi .....	42
5.2.1. Eleman iç kuvvetleri .....	42
5.2.2. Kat kesme kuvvetleri .....	43
5.2.3. Kat deplasmanları .....	44
5.3. Zaman Tanım Alanında Doğrusal Olmayan Analiz Yöntemi İle Örnek Yapı Üzerinde Düşey Deprem Etkisinin İncelenmesi .....	45
5.3.1. Mevcut yapı malzemelerinin gerilme-birim şekildeştirme değerleri.....	47
5.3.2. Kolon kesit analizleri .....	48
5.3.3. Kiriş kesit analizleri .....	49
5.3.4. Modal analiz sonuçları.....	50
5.3.5. Taban kesme kuvveti-tepe deplasmanı sonuçları .....	52
5.3.6. Kiriş hasar sonuçları .....	54
5.3.7. Kolon hasar sonuçları .....	56
5.3.8. Kolon ve kiriş elemanları için kesme kuvveti tahliki .....	58
5.3.9. Kat deplasmanları .....	59
6.SONUÇLAR VE ÖNERİLER .....	60
KAYNAKLAR .....	62
EKLER .....	66
ÖZGEÇMİŞ .....	117

## **ŞEKİLLER DİZİNİ**

Şekil 1.1.	1995 Kobe Depremindeki düşey bileşenin neden olduğu betonarme bir binanın iç kolonundaki basınç kırılması .....	2
Şekil 1.2.	P dalgalarının yayılımı .....	5
Şekil 1.3.	S dalgalarının yayılımı .....	6
Şekil 2.1.	Plastik mafsal kabulü .....	12
Şekil 3.1.	Kesit hasar sınırları ve hasar bölgeleri .....	16
Şekil 4.1.	17.08.1999 – Kocaeli-KGfiltreli ve filtersiz kayıtlar (20-30sn.) .....	27
Şekil 4.2.	Kayıt kriterleri .....	28
Şekil 4.3.	Deprem kayıtlarının kuzey-güney bileşeni için spektral ivme-periyot ilişkisi (Sönüüm Oranı=0,05) .....	29
Şekil 4.4.	Deprem kayıtlarının doğu-batı bileşeni için spektral ivme-periyot ilişkisi (Sönüüm Oranı=0,05) .....	29
Şekil 4.5.	Deprem kayıtlarının düşey bileşeni için spektral ivme- periyot ilişkisi (Sönüüm oranı=0,05) .....	30
Şekil 4.6.	Yatay/Düşey spektral oran (median) .....	30
Şekil 4.7.	Sav/Sa=2/3 ve median değerlerinin karşılaştırılması .....	31
Şekil 4.8.	Yaklaşık düşey tasarım spektrumu (Bozorgnia ve Campbell, 2003). ....	32
Şekil 4.9.	Düşey tasarım spektrumlarının karşılaştırılması .....	33
Şekil 4.10.	Düşey tasarım spektrumu .....	33
Şekil 4.11.	Yatay deprem kayıtları ( Yaklaşım 1).....	35
Şekil 4.12.	Düşey deprem kayıtları ( Yaklaşım 1).....	36
Şekil 4.13.	Yatay deprem kayıtları ( Yaklaşım 2).....	36
Şekil 4.14.	Düşey deprem kayıtları ( Yaklaşım 2).....	37
Şekil 5.1.	Örnek yapının 3 boyutlu sonlu eleman modeli .....	39
Şekil 5.2.	Örnek yapıya ait kolon ve kiriş isimlendirmesi .....	39
Şekil 5.3.	Örnek yapıya ait kat kesme kuvveti değişim grafiği.....	44
Şekil 5.4.	Örnek yapıya ait yatay kat deplasmanları değişim grafiği.....	45
Şekil 5.5.	C25 Betonu için gerilme –birim şekil değiştirme grafiği.....	47
Şekil 5.6.	S420 Çeliği için gerilme –birim şekil değiştirme grafiği.....	47
Şekil 5.7.	Kolonlar için sap2000 kesit modeli.....	48
Şekil 5.8.	Tipik kiriş kesiti (6m).....	49
Şekil 5.9.	Tipik kiriş kesiti (8m).....	50
Şekil 5.10.	Mevcut yapının y yönündeki hakim modu (Mod 1).....	51
Şekil 5.11.	Mevcut yapının x yönündeki hakim modu (Mod 2) .....	51
Şekil 5.12.	Taban kesme kuvveti-tepe deplasmani eğrisi .....	52
Şekil 5.13.	Taban kesme kuvveti-tepe deplasmani eğrisi .....	52
Şekil 5.14.	Taban kesme kuvveti-tepe deplasmani eğrisi .....	52
Şekil 5.15.	Taban kesme kuvveti-tepe deplasmani eğrisi .....	53
Şekil 5.16.	Taban kesme kuvveti-tepe deplasmani eğrisi .....	53
Şekil 5.17.	Taban kesme kuvveti-tepe deplasmani eğrisi .....	53
Şekil 5.18.	Taban kesme kuvveti-tepe deplasmani eğrisi .....	54
Şekil 5.19.	Taban kesme kuvveti-tepe deplasmani eğrisi .....	54
Şekil 5.20.	Kiriş hasar dağılımı (14bolu-kg-x) .....	56
Şekil 5.21.	Kiriş hasar dağılımı (14bolu-kg-x-z) .....	56
Şekil 5.22.	1-S3 kolonu (15bingöl-kg-y-z) .....	56
Şekil 5.23.	1-B7 kirişine ait kesme kuvveti-zaman grafiği (15bingöl-kg-y-z) .....	58
Şekil 5.24.	1-S3 kolonuna ait kesme kuvveti-zaman grafiği (15bingöl-kg-y-z) .....	58
Şekil 5.25.	X yönü kat deplasmanları .....	59
Şekil 5.26.	Y yönü kat deplasmanları .....	59

## TABLALAR DİZİNİ

Tablo 3.1.	Binalar için bilgi düzeyi katsayıları .....	14
Tablo 3.2.	Göreli kat ötelemesi sınırları.....	19
Tablo 3.3.	Binalar için hedeflenen çok seviyeli performans düzeyleri (TDY 2007) .....	20
Tablo 4.1.	Sayısal analizlerde kullanılacak olan kuvvetli yer hareketleri.....	28
Tablo 5.1.	Örnek yapı üzerinde kesit değişim oranları – ( Kirişler-x ) .....	42
Tablo 5.2.	Örnek yapı üzerinde kesit değişim oranları – ( Kirişler-y ) .....	42
Tablo 5.3.	Örnek yapı üzerinde kesit değişim oranları – ( Kolonlar-x ) .....	43
Tablo 5.4.	Örnek yapı üzerinde kesit değişim oranları – ( Kolonlar-y ) .....	43
Tablo 5.5.	Örnek yapı üzerinde kat kesme kuvvetinin değişim oranları.....	44
Tablo 5.6.	Örnek yapı üzerinde yatay kat deplasmanları değişim oranları.....	45
Tablo 5.7.	Taşıyıcı sistem kolonlarına ait çatlamış kesit rijitlikleri. ....	46
Tablo 5.8.	Mevcut binanın kütle katılım oranları.....	51
Tablo 5.9.	Kiriş hasar sonuçları.....	55
Tablo 5.10.	Kolon hasar sonuçları.....	57

## SİMGELER DİZİNİ VE KISALTMALAR

$A_o$	: Etkin yer ivmesi katsayısı, ( $m/s^2$ )
$A_c$	: Kolon veya perdenin brüt enkesit alanı, ( $m^2$ )
$A_s$	: Boyuna donatı alanı, ( $m^2$ )
$b_w$	: Kirisin gövde genişliği, (m)
$d$	: Kirisin veya kolonun faydalı yüksekliği, (m)
$(EI)_o$	: Çatlamamış kesite ait eğilme riyitliği, ( $kNm^2$ )
$(EI)_e$	: Çatlamış kesite ait etkin eğilme riyitliği, ( $kNm^2$ )
$E_c$	: Beton elastisite modülü, ( $kN/m^2$ )
$E_s$	: Donatı çeliğinin elastisite modülü, ( $kN/m^2$ )
$e$	: Güvenlik katsayısı
$f_c$	: Sargılı betonda beton basınç gerilmesi
$f_{cc}$	: Sargılı beton basınç dayanımı, ( $kN/m^2$ )
$f_{ck}$	: Betonun karakteristik silindir basınç dayanımı, ( $kN/m^2$ )
$f_{co}$	: Sargsız beton basınç dayanımı, ( $kN/m^2$ )
$f_e$	: Etkili sargılama basıncı
$f_{yw}$	: Enine donatının akma dayanımı, ( $kN/m^2$ )
$g$	: Yerçekimi ivmesi, ( $m/s^2$ )
$h_i$	: Binanın i'inci katının kat yüksekliği, (m)
$I$	: Bina önem katsayısı
$k$	: Yapı riyitliği, ( $kN/m$ )
$l_p$	: Plastik mafsal boyu, (m)
$M_p$	: Kesitin taşıyabileceği maksimum eğilme momenti, ( $kNm$ )
$M_{x1}$	: X yönünde birinci (hakim) moda ait etkin kütle
$m$	: Kütle, (N)
$N_d$	: Düşey yükler altında kolon veya perdelerdeki eksenel kuvvet, (kN)
$R$	: Taşıyıcı sistem davranış katsayısı
$R_a$	: Deprem yükü azaltma katsayısı
$S_{ae} (T)$	: Elastik spektral ivme, ( $m/s^2$ )
$s$	: Etriye aralığı, (m)
$T_1$	: Binanın 1. doğal titresim periyodu, (sn)
$T_A, T_B$	: Spektrum karakteristik periyodları, (sn)
$u$	: Yerdeğiştirme, (m)
$V_i$	: Binanın i'inci katına etkiyen kat kesme kuvveti, (kN)
$V_r$	: Kolon, kiriş, perdede kesitin kesme dayanımı, (kN)
$V_t$	: Toplam eşdeğer deprem yükü, (kN)
$W$	: Bina toplam ağırlığı, (kN)
$w_i$	: Binanın i'inci katının ağırlığı, (kN)
$\gamma$	: Birim kayma şekildeğiştirmesi
$\epsilon$	: Birim boy değişmesi, ( $m/m$ )
$\epsilon_{co}$	: Betonda plastik şekildeğiştirmelerin başladığı şekildeğiştirme sınırı
$\epsilon_{cu}$	: Sargılı betondaki maksimum basınç birim şekildeğiştirmesi
$\epsilon_e$	: Beton çeliğinin akma şekildeğiştirmesi
$\epsilon_{su}$	: Donatı çeliğinin kopma birim şekildeğiştirmesi

$\eta_{bi}$	: Burulma düzensizliği katsayısı
$\theta_p$	: Plastik dönme istemi, (rad)
$\lambda$	: Eşdeğer deprem yükü azaltma katsayısı
$\lambda_c$	: Sargılı ile sargsız beton basınç dayanımı ilişkisini kuran bir katsayı
$\mu$	: Süneklik katsayısı
$\rho_s$	: Enine donatının toplam hacimsel oranı
$\rho_x, \rho_y$	: İlgili doğrultulardaki enine donatı hacimsel oranı
$\Phi_p$	: Plastik eğrilik istemi, (rad/m)
$\Phi_t$	: Toplam eğrilik istemi, (rad/m)
$\Phi_y$	: Eşdeğer akma eğriliği, (rad/m)
$\phi$	: Kesitin dönmesi, (rad)
$\phi_{p,maks}$	: Plastik mafsalın dönme kapasitesi, (rad)
$\chi$	: Birim dönme (eğrilik), (1/rad)

## Kısaltmalar

AFAD	: Afet ve Acil Durum Yönetimi Başkanlığı
ASCE	: American Society of Civil Engineers (Amerika İnşaat Mühendisleri Topluluğu)
FEMA	: Federal Emergency Management Agency (Federal Acil Durum Yönetim Kurumu)
IS	: Indian Standards (Hindistan Standartları)
NEHRP	: National Earthquake Hazards Reduction Program (Ulusal Deprem Riski Azaltma Programı)
NZS	: New Zealand Standards (Yeni Zelanda Standartları)
TDY	: Türk Deprem Yönetmeliği
TS	: Türk Standartları
UBC	: Uniform Building Code (Standart Yapı Yönetmeliği)

## **YÖNETMELİK TANIMLI DEPREM YÜKLERİNİN TİPİK BİR BİNADA GÖZLENEN PERFORMANSLARININ DEPREM DÜŞEY BİLEŞEN ETKİSİ DAHİL EDİLDİĞİNDE ÇIKAN SONUÇLARININ TARTIŞILMASI**

### **ÖZET**

Bu çalışmada, Türk Deprem Yönetmeliği-2007'de (TDY-2007) can güvenliği performans seviyesi için yatay etkitilen elastik tasarım ivme spektrumu ve göz önüne alınmayan deprem yer hareketinin düşey bileşenlerinin tipik yeni bir betonarme yapı üzerindeki etkileri incelenmiştir. Yönetmeliğin 2. Bölümünde verilen doğrusal elastik yöntem ve betonarme yapılarının tasarım ve yapım kuralları (TS500) ile tasarlanmış yapı önem katsayısı 1 ve süneklik düzeyi yüksek olarak göz önüne alınan 5 katlı betonarme bir yapı çalışma binası olarak incelenmiştir. Ayrıca mevcut bina olarak doğrusal elastik olmayan analiz yöntemi ile yapı performansı test edilerek etkileri tartışılmıştır. Türkiye'de günümüze kadar kaydedilmiş depremlerden, düşey ivmesi  $0,1g$ 'yi geçmiş olan kaytlardan seçilen verilerle basit bir yöntem uygulanarak bir düşey ivme spektrumu önerilmiş ve analizlerde kullanılmıştır. Yalnız yatay uygulanan elastik ivme spektrumu ile yatay ve düşey spektrumun birlikte uygulandığı yapı taşıyıcı sistemindeki etkileri değerlendirilmiştir. Benzer şekilde zaman tanım alanında da çalışma binası, mevcut yapı olarak değerlendirilmeye alınmış doğrusal elastik olmayan analizler yalnız yatay deprem yük etkisinde ve depremin düşey bileşeninin de dahil edildiği yatay ve düşey yükler altında yürütülmüştür. Yapısal performansa verdiği etkiler mukayeseli tartışılmıştır. Mevcut yönetmeliğin lineer tasarım şartlarında güvenli tarafta kaldığı ancak mevcut yapı olarak değerlendirildiğinde, düşey ivme etkisinin kolonlardaki eksenel kuvvetleri değiştirmesi sonucu farklı hasar dağılımları gözlenmiştir.

**Anahtar Kelimeler:** Doğrusal Analiz, Düşey Deprem Etkisi, Düşey Ivme Tasarım Spektrumu, TDY-2007, Zaman Tanım Alanında Doğrusal Olmayan Analiz.

## **DISCUSSION ON THE STRUCTURAL PERFORMANCES OF A TYPICAL BUILDING UNDER THE DESIGN EARTHQUAKES WITH INCLUSION OF THE VERTICAL COMPONENT**

### **ABSTRACT**

In this study, the effects of the vertical and horizontal components of the design earthquake on a newly designed typical 5 story reinforced concrete structure are investigated in accordance with the current Turkish Earthquake Code-2007 (TEC-2007), which does not consider the vertical component of the ground motion. Study is focused on a representative building, which is designed based on ultimate strength theory of the elastic design as enforced in the requirements for design and construction (TS500) and in the chapter 2 of TEC-2007 for the life safety performance level with importance factor of 1 and high ductility level. In addition, the building is also considered as existent and assessed based on nonlinear analysis method to discuss the effects on the building performance. From Turkish earthquake archive to date, suitable earthquakes with the vertical component over 0,1g were selected in order to estimate vertical acceleration spectrum by applying a very simple method. Proposed vertical elastic spectrum is used together with the code proposed one in the analyses. Distinguishable differences in results of single horizontal acceleration spectrum and coupled spectra of the horizontal and the vertical components are evaluated and discussed for the view points of the structural design and performance. Similarly, in nonlinear analysis in the time domain, building as an existent structure was assessed for single horizontal acceleration spectrum and coupled spectra of the horizontal and the vertical components. Comparable performances of the each case are discussed.

The linear design of the existing regulations remain on the safe side, but the current building conditions considered, the effect of vertical acceleration as a result of the change in the column axial force distribution of different damage were observed.

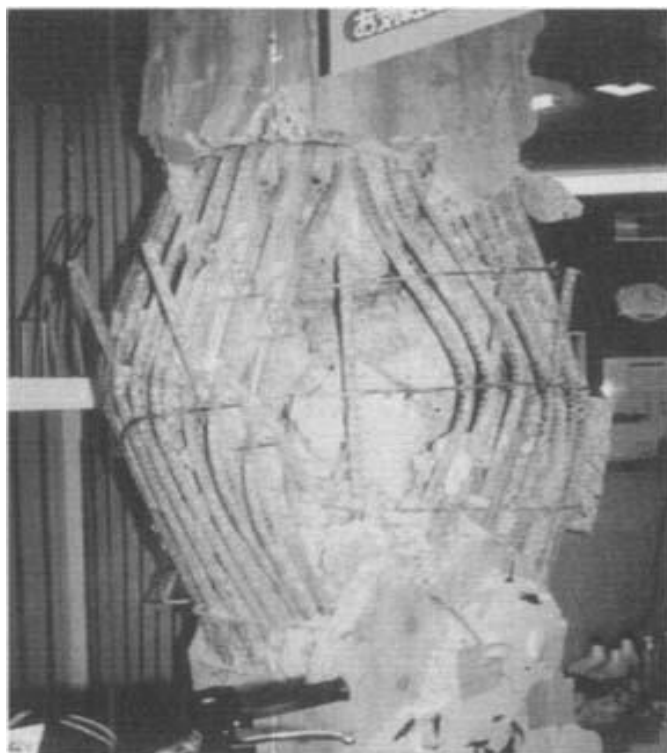
**Key words:** Linear Analysis, Vertical Earthquake Effect, Vertical Response Design Spectrum, TEC-2007, Nonlinear Time History Analysis.

## GİRİŞ

Bir deprem sırasında, deprem hareketinin özelliğinden dolayı hem yatay hem de düşey hareketler meydana gelir. Yapıyı da yerin bir uzantısı olarak görecek olursak, o da deprem sırasında yatay ve düşey kuvvetlere maruz kalacaktır. Depremin yatay bileşeni etkisinde yapı ve yapı elemanlarının üzerine çalışmalar daha yoğun olup, düşey bileşen etkisinde çalışmalar daha sınırlı kalmıştır. Bunun sebebi olarak iki madde sıralanabilir. Birincisi, kaydedilmiş mevcut kayıtlara bakıldığından genelde yatay bileşenin düşey bileşenden daha yüksek ivme değerleri üretmesidir. İkincisi ise, yapı tasarımda düşey yükler altında büyük bir emniyet katsayı uygulanmasının yeterli olduğunu düşünülmüşdür. Ancak, yakın geçmişte meydana gelen Northridge (1994, ABD) ve Kobe (1995, Japonya) Depremleri'nde alışılmışın üzerinde düşey deprem ivmeleri kaydedilmiş ve bu şiddetli depremler, depreme dayanıklı tasarım ilkelerinin en son şeklinin uygulandığı bölgelerde ve yapılarda dahi, yatay bileşenlerinin sebep olabileceğiinden çok daha ağır ve doğrudan düşey bileşenlerine atfedilebilecek yıkılmalar ve ciddi yapısal hasarlar meydana getirmiştir (Papazoglou, 1996). Ülkemiz için incelenec olursa, 17 Ağustos 1999 İzmit depremi ve 12 Kasım 1999 Düzce depreminden oldukça yüksek düşey ivme değerleri kaydedilmiştir.

Yapıların tasarımda kullanılan sismik yüklemelerin hesabında yatay deprem yükü bileşeninin büyük bir önemi vardır. Bu öneme nazaran, düşey ivmenin etkisi ya gözardı edilmekte ya da ikincil bir düzeye kalmaktadır. Bu etkiyi gözönüne almamak, bazen deprem sırasında yapılarda beklenmeyen yapısal hasarların görülmesine neden olmaktadır. Örneğin, kolon gibi eksenel basınç kuvvetinin hakim olduğu yapı elemanlarında, deprem hareketinin düşey bileşenin de etkisiyle iç kuvvetlerde artmalar ve azalmalar gerçekleşmektedir. Bu tip artmalar ve azalmalar, kolonlarda basınç veya kesme-basınç hasarlarına sebep olabilmektedir. Hatta, kendisi üzerindeki eksenel kuvvetten dolayı, beklenmedik bir eğilme kırılmasına da sebep olmaktadır. Kolonlardaki eksenel kuvvetin azalması durumunda yatay bileşen etkisiyle kesme kırılmaları oluşturmaktadır.

Başka bir yapı elemanı olan dösemelerin, kırışlerle birleştiği kısımlarda hasarlara neden olmakta, bunun yanında kırıssız dösemelerde zımbalama etkisine sebep olmaktadır. Ayrıca, büyük açıklıklı kırışların kolonlara yakın bölgesinde de hasarlara yol açtığı gözlemlenmektedir.



Şekil 1.1. 1995 Kobe depremindeki düşey bileşenin neden olduğu betonarme bir binanın iç kolonundaki basınç kırılması (Papazoglou, 1996)

Gelişen teknolojinin de yardımıyla deprem kayıtlarının yatay bileşenlerinin yanında düşey bileşen için çalışmalar arttırılmıştır. Lawson, UBC 91 de düşey ivme için ,yatay ivme etkisinin 2/3 ü olarak düşünülmesi istedî. Ama 1994 yılındaki Northridge depreminde kaydedilen ivme kayıtları ve yapısal hasarlar bu oranın yetersiz kaldığını göstermiştir (Lawson, 1994) .

Bu çalışmada, TDY 2007 kapsamında yapılan yapı analizlerine, düşey bileşen de eklenecek, yatay ve düşey bileşenlerin ortak kuvvetleri etkisi altında elden edilen sonuçlar kıyaslamalı olarak tartışılmıştır.

## **1. KUVVETLİ YER HAREKETİ ÖZELLİKLERİ VE YÖNETMELİKLERDE TASARIM KUVVETİ OLARAK KULLANIMI**

### **1.1. Kuvvetli Yer Hareketinin Karakteristik Özellikleri**

Yapılan birçok sismolojik çalışmalarında, deprem hareketinin tarifinin gerçeğe en uygun şekilde kaydedilmesi ve kullanılması amaçlanmıştır. Deprem kayıtlarının doğru tarif edilmesi, yapıların depreme karşı tasarımında çok önemli bir yer arz etmektedir. Burada sorulması gereken sorulardan bazlarına gelirsek:

- Yapı, ekonomik ömrü boyunca hangi depreme maruz kalabilir?
- Bu depremin özellikleri nelerdir?
- Karşılaşılacak olan bu depreme karşı yapı tasarımında hangi hususların dikkate alınması gereklidir?

Yatay ve düşey bileşen için literatür araştırmalarını gözönüne alır ise, bu konuları birkaç madde olarak sıralamak mümkündür:

- Yatay ve düşey spektral ivme oranı
- Frekans içeriği
- Depremin süresi

#### **1.1.1. Yatay ve düşey spektral ivme oranı**

Düşey ivme karakteristik özellikleri birçok araştırmacı tarafından analiz edilmiştir. Niazi ve Bozorgnia 1989- 1992 yılları arasında, düşey/yatay spektral ivme oranı için Tayvan'da birkaç yüz deprem kaydı kullanarak, bu oranı şiddet ve uzaklık yönünden nasıl değiştığını incelemiştir (Niazi ve Bozorgnia, 1989-1992) .

Daha sonra devam eden iki çalışmada, Bozorgnia ve Niazi, 1989 Loma Prieta depremi için bu oranı, kaya ve yumuşak zeminlerdeki ilişkisini ve yine Bozorgnia ve dig. 1995-1996 yılları arasında, 1994 Northridge depreminden bu oranı yumuşak zeminlerde kaydetmişlerdir (Bozorgnia ve dig., 1995-1996) .

Yapılan bu çalışmalardan sonra ortaya çıkan düşey/yatay spektral ivme oranının, spektral periyot ve faya uzaklığa duyarlı olduğu, yakın alan kayıtlarında,

kısa periyotlarda 2/3 oranını geçen farklı tepe değerlerin olduğu ortaya çıkmıştır.

Bozorgnia ve diğ. 1995 yılında bu karakteristik özelliğin genel olarak bulunduğu ileri sürmüştür (Bozorgnia ve diğ., 1995) .

Watabe ve diğ. 1990 yılında yaptıkları araştırmada, ABD'den kullandıkları kuvvetli yer hareketlerinde, yatay ve düşey bileşenlerin genliklerinde sistematik bir bağlantı olduğunu, böylelikle yatay spektrumdan düşey spektrum üretmenin basit kurallarla geliştirilebileceğinin mümkün olduğunu öne sürmüştür (Watabe ve diğ., 1990) .

Yapılan son çalışmalardan sonra düşey/yatay spektral ivme oranının, küçük periyotlarda yüksek periyotlara göre daha etkili olduğu ortaya çıkmıştır. Ayrıca bu oran, öncelikli olarak zeminin doğal periyodundan, yerel zemin koşullarından ve faya olan uzaklıktan etkilenmektedir. Depremin büyüklüğü, faylanma mekanizması gibi etkilerden ikincil derecede etkilenmektedir.

Kısa periyotlu yapılarda (0,04 – 0,4 sn.) bu oran 1,8, orta periyotlu yapılarda (0,4 – 0,8 sn.) 0,5 den daha azdır. Tasarımlarda yaygın olarak kullanılan oran 2/3 tür. Bu yaklaşım FEMA tarafından kullanılmaktadır. Ancak bu yaklaşım, yakın alan depremlerde ve büyük depremlerde yetersiz kalmaktadır (Friedland, Power ve Mayes, 1997) .

Son on yıl içinde, düşey/yatay spektral oranı için kullanılmak üzere bazı araştırmacılar azalım ilişkileri geliştirdiler. 1993 yılındaki bir çalışmada (Bozorgnia ve Niazi, 1993), 1989 Loma Prieta depremi ve 1995 yılındaki bir çalışmada 1994 Northridge depremleri için azalım ilişkileri geliştirilmiştir (Bozorgnia ve diğ, 1995) .

1989 yılında yapılan bir çalışmaya bölgesel azalım ilişkileri geliştirilmiştir (Abrahamson ve Litehiser, 1989 ) . Daha sonra bu ilişkileri 1989-1992 yılları arasında (Trifunac ve Lee, 1989-1992), 1993 yılında (Sadigh ve diğ, 1993), 1997 yılında (Abrahamson ve Silva, 1997) ve yine 1997 yılında (Campbell, 1997) kuzeybatı Amerika için geliştirilmiştir. Aynı bölgesel azalım ilişkileri çalışmaları, 1991 ve 1992 yıllarında (Niazi ve Bozorgnia, 1991, 1992) Tayvan, 1995 yılında (Ambraseys, 1995) Avrupa, 1996 yılında (Sabetta ve Pugliese, 1996) İtalya, 1998 yılında (Ansary ve Yamazaki, 1998 ) Japonya için yapmışlardır.

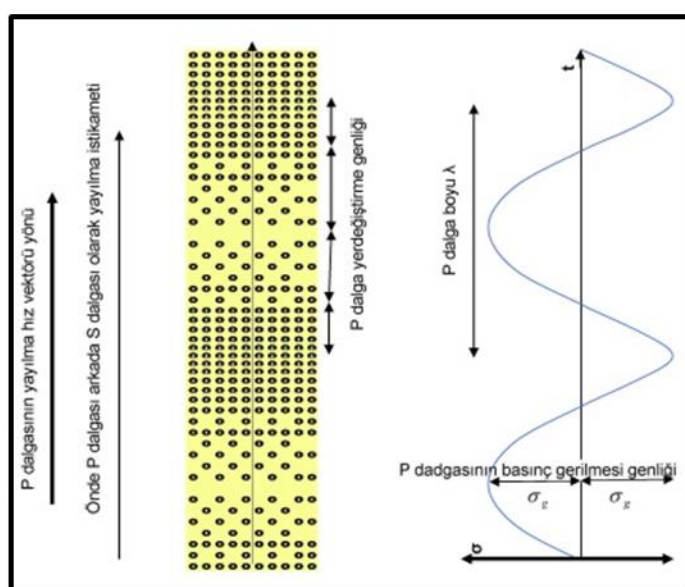
### **1.1.2. Frekans içeriği**

Lachet ve dig. 1995 yılında yaptıkları araştırmada, yatay ve düşey bileşen oranı ve jeolojik zemin koşullarının arasındaki ilişki incelenmiştir. Bu deneysel çalışmada, beyaz gürültü ve deprem kayıtları kullanılmıştır. Bu çalışma sonucunda, spektral ivmenin pik noktasının o zeminin karakteristiğini ortaya çıkardığı öne sürülmüştür (Lachet ve dig. , 1995) .

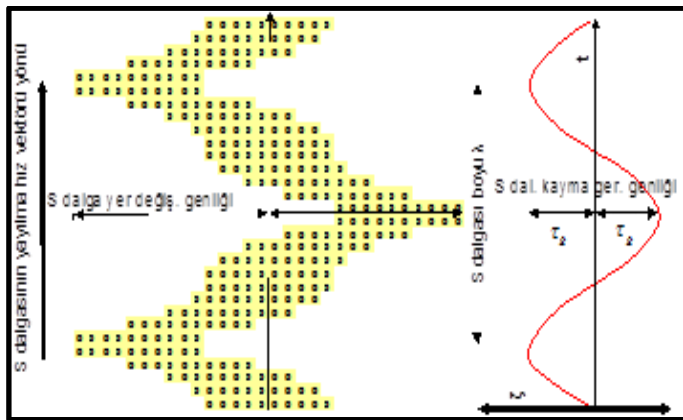
### **1.1.3. Depremin süresi**

Ohno ve Kohno 1996 yılında yaptıkları çalışmada, depremin düşey bileşeninin süresinin yatay bileşenle benzer olduğunu, bununla birlikte düşey ivmenin daha hızlı etkilediğini öne sürmektedirler (Ohno ve Kohno, 1996) .

## **1.2 . Düşey İvme Bileşeninin Karakteristik Özellikleri**



Şekil 1.2. P dalgalarının yayılımı



Şekil 1.3. S dalgalarının yayılımı

Yerin derinliklerinde oluşan deprem; etki ve içerikleri farklı, hareket yönleri aynı, partikül gezişimi biri diğerine dik, iki cisim dalgası meydana getirmektedir. Bu dalgalara P ve S dalgası denilmekte olup şekil 1.2 ve şekil 1.3 de gösterilmiştir.

P dalgası yerin tüm katmanlarında gezinirken tekrarlı basınç gerilmesi, hacim değişikliği oluşturur. Katı, sıvı ve havaya geçebilir. S dalgası hacim değişikliği oluşturmayan, kayma gerilmesi meydana getiren, kesme dalgasıdır; hava, suya giremez ve kayma akımsız yüzeylerden geçememektedir. Yerin yüzeyine ilk gelen P dalgaları; yüzeyi evvele indirip sonra çıkartarak, düşeyde titreşirir. Ardından gelen S dalgası; yerin yüzünü düzleminde her yöne sallar. Dalgalar yerin yüzeyini, milisaniyeden günlere kadar değişen periyotlarda, nanometrelerden metrelere kadar değişen genliklerde, devamlı titreşirir. Bu iki dalga yerin yüzeyinde oluşan diğer dalgalarla birlikte zeminde etkiler oluşturmaktadır.

Deprem hareketinin düşey bileşeni, P dalgalarıyla yakından ilgilidir. P dalgalarının dalga boyu S dalgalarına göre daha kısa ve frekans içeriği daha yüksektir.

Düşey bileşenin frekans genişliği yatay bileşenden daha küçük olmasına rağmen, sahip olduğu enerji dar bir frekans bandında değildir. Bu nedenle, yüksek frekans içeriği kısa periyodlarda yüksek tepkilere yol açar. Betonarme yapıların düşey periyoduyla düşey ivmenin periyodunun denk geldiği bölgelerde önemli büyümelere neden olmaktadır.

Düşey ivmenin, yatay ivmeden daha önce yapıya gelmesi büyük yapısal sorunlara yol açabilmektedir. Düşey ivmenin yapı üzerindeki etkisi depremin şiddeti, faya uzaklık, zemin koşulları, kaynak derinliği gibi parametrelere bağlıdır.

### **1.3. Düşey İvme Etkisinin İncelendiği Akademik Çalışmalar**

Kalkan ve Graizer, çok bileşenli deprem hareketinin etkisi altında tek serbestlik dereceli sistemin salınımının hareket denklemini üretmişlerdir. Çok bileşenli tepki spektrumu, geleneksel olarak kullanılan spektrumun yer hareketinin kinematik özelliklerini tanımlamada yetersiz kaldığı, bu çok bileşenli spektrumun en azından yakın alan etkisinin görüldüğü yüksek düşey ivme ve dönme hareketine maruz kalan bölgelerde kullanılması gerektiğini belirtmektedir. Ayrıca, çok bileşenli deprem hareketinin artırılmış olduğu sismik talep ve azalan rıjitleğin, deplasman talebini ve dinamik stabiliteyi etkilediği sonucuna varmıştır. Dahası, yapıların sismik tasarım ve performas değerlendirmelerinde yüksek düşey ivme, yer dönmesi ve çok bileşenli etkilere içermesi gerektiğini belirtmektedir (Erol Kalkan ve Vladimir Graizer, 2007) .

A. Kadid, D. Yahiaoui and R. Chebili'nin çalışmasında, rıjit, yarı rıjit ve esnek betonarme yapıların, depremin yatay bileşeninin düşey bileşenle birleşmesi sonucu yapılardaki ortaya çıkan durumları incelemiştir. Yapı tasarımında nonlinear bölgede yığılı kütle ve yayılı kütle modellemeleri kullanarak sonuçları karşılaştırmışlardır. Çalışmada, düşey ivmenin kat ötelemeleri ve kat kesme kuvvetleri üzerinde fazla etkili olmadığını, buna mukabil kolon eksenel yüklerini ve kirişlerdeki düşey deplasmanları etkili bir biçimde değiştirdiği sonucuna varmıştır (A. Kadid, D. Yahiaoui and R. Chebili, 2010) .

Hongliu Xia ve diğ. , betonarme bir yapıda depremin yatay bileşeninin düşey bileşenle birleşmesi sonucunun, sadece yatay bileşenin etkimesi durumuyla performans karşılaştırılması yapılmıştır. Çalışmanın neticesinde, sadece yatay deprem yüküne göre değerlendirme yapıldığında, genel mafsallaşmanın kiriş uçlarında olduğunu ancak hem yatay hem de düşey bileşen etkidiğinde kolonlarda mafsallaşmanın arttığı ve bu mafsallaşmanın orta kat iç kolonlarında artmakta olduğu sonucuna varmıştır (Hongliu Xia ve diğ., 2012) .

Sashi Kunnath ve dig., California'daki betonarme otoyol köprü ayaklarında düşey ivmenin etkisini incelemiştir. Bu çalışma sonucunda düşey ivme etkisinin, kolonlardaki eksenel yükü, başlık kırışı yüzündeki moment talebini, açıklık ortasındaki moment talebini önemli ölçüde etkilediği, köprülerdeki düşey ivme etkisini belirlemede kullanılan spektrumun etkili bir araç olduğu gösterilmiştir. Ayrıca, düşey tasarım spektrumu ve düşey yönde sismik girdi olarak önerilen dikey elastik tepki spektrumu kullanan basitleştirilmiş bir tasarım prosedürünün, bir dizi genel otoyol köprülerinin sismik değerlendirilmesi için öneri olarak sunmuşlardır (Sashi Kunnath ve dig., 2004-2007) .

Alireza Rahai, betonarme köprü ayaklarının, 3 farklı deprem için zaman tanım alanında doğrusal ve doğrusal olmayan analiz yöntemlerini kullanarak, deprem hareketinin yalnızca yatay etkimesi durumıyla, yatay ve düşey hareketin beraber etkimesi durumunda kolonlardaki kesme ve eksenel kuvvetleri ayrıca boyuna deplasman farklılıklarını incelemiştir. Bunun sonucunda, yatay kuvvet oranının eksenel kuvvetle orantılı olmadığı, düşey ivmenin kolonlardaki eksenel kuvveti değiştirdiğini ve bunun %25 oranını geçtiği, düşey ivmenin kesme ve eksenel şekil değiştirmeleri belirgin ölçüde artıldığı, maksimum ve minimum boyuna deplasmanın ise her iki durumda da eşit olduğu sonucuna varmıştır (Alireza Rahai, 2004) .

#### **1.4. Farklı Deprem Yönetmeliklerinde Düşey İvme Etkisi**

##### **1.4.1. Tdy 2007 ( Türkiye )**

Ülkemizde mevcut olan bu yönetmelikte düşey deprem etkisi hesaba katılmamaktadır. Ancak, yapısal tasarımda bazı kısıtlamalar getirilerek bu etkinin azaltılması amaçlanmaktadır. Yönetmelikte tanımlanan düzensizlik türlerinden B3 türü düzensizlik durumunun yeni yapılacak yapılarda bulunmaması istenmektedir. Bu düzensizliği açıklayacak 4 madde verilmiştir. Bu maddeleri sıralayacak olur isek :

- a) Kolonların binanın herhangi bir katında konsol kırışlerin veya alttaki kolonlarda oluşturulan guselerin üstüne veya ucuna oturtulmasına hiçbir zaman izin verilmez.
- b) Kolonun iki ucundan mesnetli bir kırış oturması durumunda, kırışın bütün kesitlerinde ve ayrıca gözönüne alınan deprem doğrultusunda bu kırışın bağlılığı düğüm noktalarına birleşen diğer kırış ve kolonların bütün kesitlerinde, düşey yükler

ve depremin ortak etkisinden oluşan tüm iç kuvvet değerleri %50 oranında arttırlacaktır.

- c) Üst katlardaki perdenin alta kolonlara oturtulmasına hiçbir zaman izin verilmez.
- d) Perdelerin binanın herhangi bir katında, kendi düzlemleri içinde kırışların üstüne açıklık ortasında oturtulmasına hiçbir zaman izin verilmez. ( TDY 2007- 2.3.2.4 )

#### **1.4.2. Is 1893 – 2000 (Hindistan)**

Hindistan yönetmeliği, düşey deprem etkisini dikkate almaktadır. Yük kombinasyonlarında depremin üç yönü için:

$$\pm EL_x \pm 0,3 EL_y \pm 0,3 EL_z \quad (1.1)$$

$$\pm EL_y \pm 0,3 EL_x \pm 0,3 EL_z \quad (1.2)$$

$$\pm EL_z \pm 0,3 EL_x \pm 0,3 EL_y \quad (1.3)$$

kombinasyonlarını kullanmaktadır. Burada  $EL_x$  x yönlü,  $EL_y$  y yönlü,  $EL_z$  düşey yönlü deprem yükünü tariflemektedir.

Ayrıca düşey tasarım spektrumunun tarifinde yatay tasarım spektrumunu 2/3 oraniyla çarpılmasını istemektedir.

#### **1.4.3. Eurocode 8 - 1998 (Avrupa)**

Eurocode, düşey deprem etkisininin kabulu için belli şartlar getirmiştir. Düşey ivmenin 0,25 g den büyük olduğu bölgelerde bazı yapı tiplerinde uygulanmasını istemiştir. Bu yapılar:

- Açıklığı 20 m ve üzeri olan yatay veya yataya yakın elemanlar
- 5 m den daha uzun yatay veya yataya konsol elemanlar
- Yatay veya yataya yakın öngerilmeli elemanlar
- Kolon taşıyan kırışlar
- Deprem yalıtım sistemli yapılardır.

Yük kombinasyonlarında depremin üç yönü için:

$$Ed_x + 0,3 Ed_y + 0,3 Ed_z \quad (1.4)$$

$$Ed_y + 0,3 Ed_x + 0,3 Ed_z \quad (1.5)$$

$$Ed_z + 0,3 Ed_x + 0,3 Ed_y \quad (1.6)$$

kombinasyonlarını kullanmaktadır. Burada  $Ed_x$  x yönlü,  $Ed_y$  y yönlü,  $Ed_z$  düşey yönlü deprem yükünü tariflemektedir.

#### 1.4.4. Ubc - 1997 (Amerika)

Bu yönetmelikte düşey deprem etkisi yapıdaki düşey yükle bağlı bir katsayı olarak verilmiştir. Depremli durumda yük kombinasyonları:

$$1,2D + 0,5L \pm 1,0E \quad (1.7)$$

$$0,9D \pm 1,0E \text{ dir.} \quad (1.8)$$

Bu yük kombinasyonları betonarme yapılar için 1,1 katsayısıyla çarpılarak artırılmaktadır. D düşey yükü, L hareketli yükü, E ise deprem yükünü tarif etmektedir.

Deprem yükünü  $E = \rho \times E_h + E_v$  olmak üzere yatay ve düşey bileşenden gelen kuvvetleri ayırmaktadır. Burada  $\rho$  fazlalık katsayı,  $E_h$  yatay bileşeni,  $E_v$  düşey bileşeni göstermektedir.

$E_v = 0,5 \times C_a \times I \times D$  dir.  $\rho$  genellikle 1 kabul edildiğinden, deprem yükü düşey ve yatayın aynı katsayıyla toplamını ifade eder.  $C_a$ , deprem bölgesi ve zemin sınıfına bağlı bir katsayı, I bina önem katsayısını ifade etmektedir.

#### 1.4.5. Nzs 1170 - 2004 (Yeni Zelanda)

Bu yönetmelikte mevcut yatay spektrumu 0,7 katsayısıyla çarpılması sonucu elde edilen spektrum, düşey tasarım spektrumu olarak kullanılmaktadır. Ayrıca, faya 10 km den daha az uzaklıktaki bölgeler için yapı periyodunun 0,3 sn den daha az olduğu durum için bu katsayının yataya eşdeğer değer olan 1 katsayı olarak kullanılmasını önermektedir.

## **2. YAPI SİSTEMLERİNİN DOĞRUSAL OLMAYAN DAVRANIŞI**

Doğrusal sistem davranışını esas alan analiz yöntemlerinde, malzemenin gerilme şekildeğiştirme bağıntıları (bünye denklemleri) doğrusal-elastik olarak alınmakta ve yerdeğiştirmelerin yapının diğer boyutlarıyla karşılaştırıldığında çok küçük olduğu varsayılmaktadır.

Buna karşılık, dış etkiler işletme yüklerini aşarak yapı sisteminin taşıma gücüne yaklaşıkça, gerilmeler doğrusal-elastik sınırı aşmakta ve narin yapıların yerdeğiştirmeleri çok küçük varsayılamayacak değerler almaktadır.

### **2.1. Yapı Sistemlerinin Doğrusal Olmama Nedenleri**

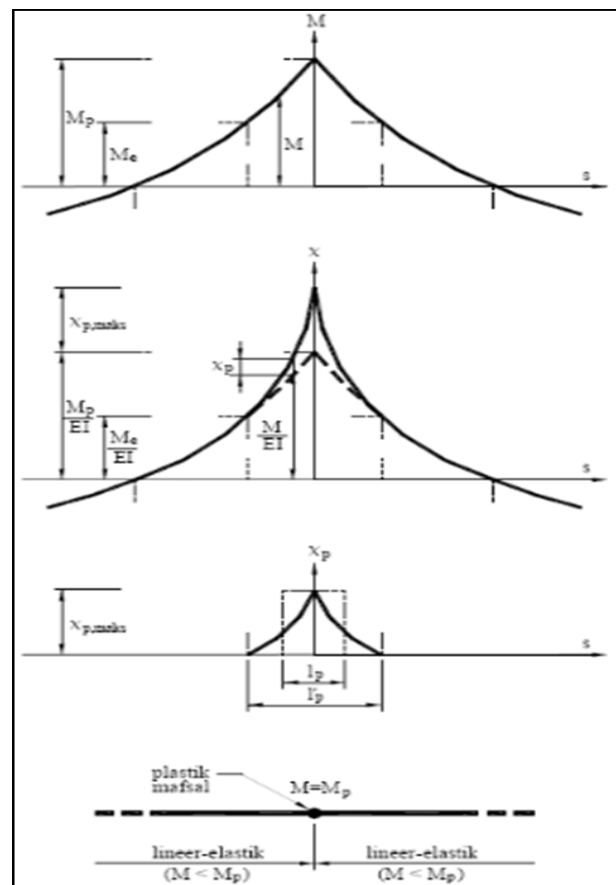
Bir yapı sisteminin dış yükler altındaki davranışının doğrusal olmaması genel olarak iki temel nedenden kaynaklanmaktadır (Özer, 2007) .

- Malzemenin doğrusal-elastik olmaması nedeniyle iç kuvvet-şekildeğiştirme bağıntılarının (bünye denklemlerinin) doğrusal olmaması,
- Geometri değişimleri nedeniyle denge denklemlerinin (ve bazı hallerde geometrik süreklilik denklemlerinin) doğrusal olmaması.

### **2.2. Doğrusal Elastik Olmayan Davranışın İdealleştirilmesi ve Plastik Mafsal Kabulü**

TDY 2007'de malzeme bakımından doğrusal olmayan sistemlerde, eğilme etkisi altında doğrusal olmayan şekil değiştirmelerin plastik mafsal adı verilen sonlu uzunluktaki bölgelerde meydana geldiği, bunun dışındaki bölgelerde sistemin doğrusal-elastik davranışının kabul edilmiştir. Bu davranış plastik mafsal hipotezine karşı gelmektedir. Herhangi bir kesitte, plastik mafsalın oluşması için o kesitin plastik mafsal oluşturabilecek seviyede yüklenmiş olması gerekmektedir. Artan yükler altında oluşan plastik mafsal bölgesindeki yük sabit kalır ve plastik dönmeler artar. Plastik dönme kapasitesine ulaşıldığı anda ise mafsal yük taşıma gücünü kaybeder.

Plastik mafsalın dönme kapasitesi donatı ve betonun güç tükenmesi durumuna karşı gelen birim şekil değiştirme değerine, kesitteki eksenel yük seviyesine, kesitteki sargı donatısı oranına ve kesitteki çekme ve basınç donatısı oranlarına bağlıdır.



Şekil 2.1. Plastik mafsal kabulü

### **3. TDY 2007'DE YAPI SİSTEMLERİNİN PERFORMANSA DAYALI TASARIMI VE DEĞERLENDİRİLMESİ**

Deprem bölgelerinde bulunan mevcut binaların ve bina türündeki yapıların deprem etkileri altındaki davranışlarının değerlendirilmesinde uygulanacak hesap kuralları, güçlendirme kararlarının alınmasında esas alınacak ilkeler ve güçlendirilmesine karar verilen binaların güçlendirme tasarımı ilkeleri 2007 Deprem Yönetmeliği Bölüm 7'de verilmiştir.

Aşağıdaki bölümlerde, söz konusu temel ilkeler ve hesap kuralları ile betonarme binaların deprem performanslarının değerlendirme ve güçlendirme yöntemleri açıklanmıştır.

#### **3.1. Binalardan Bilgi Toplanması**

Mevcut binaların deprem performanslarının değerlendirilmesinde kullanılmak üzere, taşıyıcı sistem geometrisine, elemanların enkesit özelliklerine, malzeme karakteristiklerine ve zemin özelliklerine ilişkin bilgiler, binaların projelerinden, ilgili raporlardan, binada yapılacak gözlem ve ölçümler ile binadan alınacak malzeme örneklerine uygulanacak deneylerden elde edilebilir.

Binalardan toplanan bilginin kapsam ve güvenilirliğine bağlı olarak

- Sınırlı bilgi düzeyi
- Orta bilgi düzeyi
- Kapsamlı bilgi düzeyi

olmak üzere, yönetmelikte üç bilgi düzeyi tanımlanmış ve bu bilgi düzeyleri için eleman kapasitelerine uygulanacak bilgi düzeyi katsayıları verilmiştir.

Tablo 3.1 Binalar için bilgi düzeyi katsayıları

Bilgi Düzeyi	Bilgi Düzeyi Katsayısı
Sınırlı	0,75
Orta	0,9
Kapsamlı	1

### 3.2. Performansa Dayalı Tasarım Ve Değerlendirmenin Temel İlkeleri

Yapıların deprem etkileri altındaki performanslarının değerlendirimesi genel olarak iki farklı kriter'e göre yapılmaktadır. Doğrusal elastik değerlendirme yöntemlerinin esasını oluşturan ve dayanım (kuvvet) bazlı değerlendirme adı verilen birinci tür değerlendirmede, yapı elemanlarının dayanım kapasiteleri elastik deprem yüklerinden oluşan ve lineer teoriye göre hesaplanan etkilerle karşılaştırılmakta ve yapı elemanın sünekliğini gözönüne alan, eleman esasına dayanan bir tür deprem yükü azaltma katsayıları çerçevesinde, binadan beklenen performans hedefinin sağlanıp sağlanmadığı kontrol edilmektedir.

Doğrusal elastik olmayan değerlendirme yöntemlerinin esasını oluşturan, yerdeğiştirme ve şekildegistirme bazlı değerlendirmenin esas alındığı ve genel olarak malzeme ve geometri değişimleri bakımından lineer olmayan sistem hesabına dayanan yöntemlerde ise, belirli bir deprem etkisi için binadaki yerdeğiştirme istemine ulaşıldığında, yapıdan beklenen performans hedefinin sağlanıp sağlanmadığı kontrol edilmektedir.

Yapı elemanlarının hasar sınırlarının belirlenmesinde, yapı elemanları sünek ve gevrek olarak iki sınıfa ayrılmaktadır. Sünek ve gevrek eleman tanımları, elemanlarının kapasitelerine hangi kırılma türünde ulaştığı ile ilgilidir. Buna göre,

betonarme elemanlar kırılma türleri eğilme ise sünek olarak sınıflandırılırlar. Kırılma türleri eksenel basınç veya çekme olan elemanlar ise gevrek olarak sınıflandırılmaktadır.

### **3.2. Kesitteki Birim Şekildeğiştirme İstemlerinin Belirlenmesi**

Analiz sonucunda herhangi bir kesitte elde edilen  $\theta_p$  plastik dönmeye bağlı olarak plastik eğrilik istemi, aşağıdaki bağıntı ile hesaplanır:

$$\phi_p = \frac{\theta_p}{L_p} \quad (3.1)$$

Beton ve donatı çeliği modelleri kullanılarak elde edilen iki doğrulu eğilme momenti eğrilik ilişkisi ile tanımlanan  $\phi_y$  esdeğer akma eğriliği, yukarıda tanımlanan  $\phi_p$  plastik eğrilik istemine eklenerek, kesitteki  $\phi_t$  toplam eğrilik elde edilir.

$$\phi_t = \phi_p + \phi_y \quad (3.2)$$

Betonarme sistemlerde betonun basınç birim şekildeğiştirmesi istemi ile donatı çeliğindeki birim şekildeğiştirme istemi, Denklem 3.2 ile tanımlanan toplam eğrilik istemine göre moment-eğrilik analizi ile hesaplanır.

Beton ve donatı çeliğinin birim sekildeğistirmeleri cinsinden elde edilen deprem istemleri, aşağıda tanımlanan sekildeğistirme kapasiteleri ile karşılaştırılarak kesit bazında hasar bölgesi belirlenir.

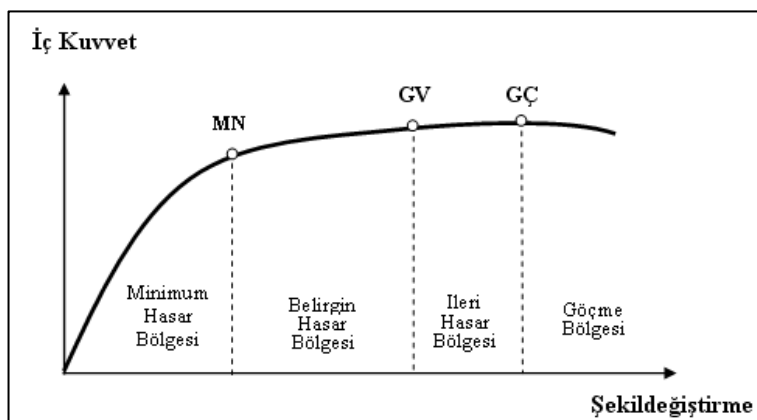
#### **3.3.1. Kesit hasar sınırları**

Sünek elemanlar için kesit düzeyinde üç sınır durumu tanımlanmaktadır. Bunlar Minimum Hasar Sınırı (MN), Güvenlik Sınırı (GV) ve Göçme Sınırı'dır (GC).

Minimum hasar sınırı kritik kesitte elastik ötesi davranışın başlangıcı, güvenlik sınırı kesitin dayanımını güvenli olarak sağlayabileceği elastik ötesi davranışın sınırı, göçme sınırı ise kesitin göçme öncesi davranışının sınırını tanımlamaktadır. Gevrek elemanlar için elastik ötesi davranışın oluşmasına izin verilmez.

### 3.3.2. Kesit hasar bölgeleri

Kritik kesitleri Minimum Hasar Sınırı'na (MN) ulaşmayan elemanlar minimum hasar bölgesinde, Minimum Hasar Sınırı (MN) ile Güvenlik Sınırı (GV) arasında kalan elemanlar belirgin hasar bölgesinde, Güvenlik Sınırı (GV) ile Göçme Sınırı (GC) arasında kalan elemanlar ileri hasar bölgesinde, Göçme Sınırı'nı aşan elemanlar ise göçme bölgesinde kabul edilmektedir. Kesit hasar sınırları ve hasar bölgeleri şekil 3.1 de gösterilmektedir.



Şekil 3.1. Kesit hasar sınırları ve hasar bölgeleri

Kesit Minimum Hasar Sınırı ( MN ) için kesitin en dış beton basınç birim şekil değiştirmesi ile donatı çeliği birim şekil değiştirmesi üst sınırları,

$$(\epsilon_{cu})_{MN}=0,0035 \quad ; \quad (\epsilon_s)_{MN}= 0,010 \quad (3.3)$$

Kesit Güvenlik Sınırı ( GV ) için etriye içindeki bölgenin en dış beton basınç birim şekil değiştirmesi ile donatı çeliği birim şekil değiştirmesi üst sınırları,

$$(\epsilon_{cg})_{GV}=0,0035 + 0,01 \left( \rho_s / \rho_{sm} \right) \leq 0,0135 \quad ; \quad (\epsilon_s)_{GV}= 0,040 \quad (3.4)$$

Kesit Göçme Sınırı ( GC ) için etriye içindeki bölgenin en dış beton basınç birim şekil değiştirmesi ile donatı çeliği birim şekil değiştirmesi üst sınırları,

$$(\epsilon_{cg})_{GC}=0,004 + 0,014 \left( \rho_s / \rho_{sm} \right) \leq 0,018 \quad ; \quad (\epsilon_s)_{GC}= 0,060 \quad (3.5)$$

$\rho_s$  = Kesitin çalışan doğrultusundaki hacimsel etriye oranını,  $\rho_{sm}$  = Yönetmeliğin ilgili bölümlerinde verilen minimum sargı donatısı oranını göstermektedir.

### **3.4. Bina Deprem Performans Seviyeleri**

Yapıların deprem performansı, uygulanan deprem etkisi altında yapıda oluşması beklenen hasarın durumu ile ilişkilidir ve dört farklı hasar durumu için tanımlanmıştır. Deprem geçirmiş binaların deprem sonrası hasar durumlarının belirlenmesi için de aynı tanımlar kullanılabilir.

#### **3.4.1. Hemen kullanım durumu**

Uygulanan deprem etkisi altında yapısal elemanlarda oluşan hasar minimum düzeydedir ve elemanlar rijitlik ve dayanım özelliklerini korumaktadır. Yapıda kalıcı ötelenmeler oluşmamıştır. Az sayıda elemanda akma sınırı aşılmış olabilir. Yapısal olmayan elemanlarda çatlamalar görülebilir, ancak bunlar onarılabilir düzeylerdedir.

Herhangi bir katta, uygulanan her bir deprem doğrultusu için yapılan hesap sonucunda kırışlerin en fazla %10'u belirgin hasar bölgesine geçiyor, ancak diğer taşıyıcı elemanlarının tümü minimum hasar bölgesinde kalıyorsa bina Hemen Kullanım Durumu'nda kabul edilir. Güçlendirilmesine gerek yoktur.

#### **3.4.2. Can güvenliği durumu**

Uygulanan deprem etkisi altında yapısal elemanların bir kısmında hasar görülür, ancak bu elemanlar yatay rijitliklerinin ve dayanımlarının önemli bölümünü korumaktadır. Düşey elemanlar düşey yüklerin taşınması için yeterlidir. Yapısal olmayan elemanlarda hasar bulunmakla birlikte dolgu duvarlar yıkılmamıştır. Yapıda az miktarda kalıcı ötelenmeler oluşabilir; ancak gözle fark edilebilir değerlerde değildir.

Herhangi bir katta, uygulanan her bir deprem doğrultusu için yapılan hesap sonucunda kırışlerin en fazla %30'si ve kolonların bir kısmı ileri hasar bölgesine geçebilir. Ancak ileri hasar bölgesindeki kolonların, tüm kolonlar tarafından taşınan kesme kuvvetine katkısı %20'nin altında olmalıdır. Diğer taşıyıcı elemanların tümü minimum hasar bölgesi veya belirgin hasar bölgesindedir. Bu durumda bina Can Güvenliği Durumu'nda kabul edilir. Can güvenliği durumunun kabul edilebilmesi için herhangi bir katta alt ve üst kesitlerinin ikisinde birden minimum hasar sınırı

aşılmış olan kolonlar tarafından taşınan kesme kuvvetinin, o kattaki tüm kolonlar tarafından taşınan kesme kuvvetine oranının %30'u asmaması gereklidir. En üst katta ileri hasar bölgesindeki düşey elemanların kesme kuvvetleri toplamının, o kattaki tüm kolonların kesme kuvvetlerinin toplamına oranı en fazla %40 olabilir. Binanın güçlendirilmesine, güvenlik sınırını asan elemanların sayısına ve yapı içindeki dağılımına göre karar verilir.

### **3.4.3. Göçmenin önlenmesi durumu**

Uygulanan deprem etkisi altında yapısal elemanların önemli bir kısmında hasar görülür. Bu elemanların bazıları yatay rıjiliklerinin ve dayanımlarının önemli bölümünü yitirmiştir. Düşey elemanlar düşey yükleri taşımada yeterlidir; ancak bazıları eksenel kapasitelerine ulaşmıştır. Yapısal olmayan elemanlar hasarlıdır, dolgu duvarların bir bölümü yıkılmıştır. Yapıda kalıcı ötelemedeler oluşmuştur. Herhangi bir katta, uygulanan her bir deprem doğrultusu için yapılan hesap sonucunda kırışerin en fazla %20'si ve kolonların bir kısmı göçme bölgесine geçebilir. Ancak göçme bölgesindeki kolonların, tüm kolonlar tarafından taşınan kesme kuvvetine toplam katkısı %20'nin altında olmalıdır ve bu elemanların durumu yapının kararlılığını bozmamalıdır.

Diğer taşıyıcı elemanların tümü minimum hasar bölgesi, belirgin hasar bölgesi veya ileri hasar bölgesindedir. Bu durumda bina göçmenin önlenmesi durumunda kabul edilir. Göçmenin önlenmesi durumunun kabul edilebilmesi için herhangi bir katta alt ve üst kesitlerinin ikisinde birden minimum hasar sınırı aşılmış olan kolonlar tarafından taşınan kesme kuvvetinin, o kattaki tüm kolonlar tarafından taşınan kat kesme kuvvetine oranının %30'u asmaması gereklidir. En üst katta göçme bölgesindeki kolonların kesme kuvvetleri toplamının o kattaki tüm kolonların kesme kuvvetlerinin toplamına oranı en fazla %40 olabilir. Binanın mevcut durumunda kullanımı can güvenliği bakımından sakıncalıdır ve bina güçlendirilmelidir. Ancak güçlendirmenin ekonomik verimliliği değerlendirilmelidir.

### **3.4.4. Göçme durumu**

Yapı uygulanan deprem etkisi altında göçme durumuna ulaşır. Düşey elemanların bir bölümü göçmüştür. Göçmeyenler düşey yükleri taşıyabilmektedir, ancak rıjilikleri ve dayanımları çok azalmıştır. Yapısal olmayan elemanların büyük çoğunuğu göçmüştür. Yapıda belirgin kalıcı ötelenmeler oluşmuştur. Yapı tamamen göçmüştür veya yıkılmanın esigidendir ve daha sonra meydana gelebilecek hafif şiddette bir yer hareketi altında bile yıkılma olasılığı yüksektir. Binanın güçlendirme uygulanmadan, mevcut durumu ile kullanılması can güvenliği bakımından sakıncalıdır. Bununla beraber, güçlendirme çoğu zaman ekonomik olmayabilir.

### **3.5. Göreli Kat Ötelemelerinin Sınırlandırılması**

Doğrusal elastik yöntemlerle yapılan hesapta her bir deprem doğrultusunda, binanın herhangi bir katındaki kolon veya perdelerin göreli kat ötelemeleri, her bir hasar sınırı için tablo 3.2 de verilen değeri aşmayacaktır. Aksi durumda yapılan hasar değerlendirmeleri gözönüne alınmayacağından emindi. Tablo 3.2 de  $\delta_{ji}$  i'inci katta j'inci kolon veya perdenin alt ve üst uçları arasında yerdeğiştirme farkı olarak hesaplanan göreli kat ötelemesini,  $h_{ji}$  ise ilgili elemanın yüksekliğini göstermektedir.

Tablo 3.2. Göreli kat ötelemesi sınırları

Göreli Kat Ötelemesi Oranı	Hasar Sınırı		
	MN	GV	GÇ
$\delta_{ji} / h_{ji}$	0,01	0,03	0,04

### **3.6. Deprem Hareketi**

Performansa dayalı değerlendirme ve tasarımda gözönüne alınmak üzere, farklı düzeyde üç deprem hareketi tanımlanmıştır. Bu deprem hareketleri genel olarak, 50 yıllık bir süreç içindeki aşılma olasılıkları ile ve benzer depremlerin oluşumu arasındaki ortalama zaman aralığı (dönüş periyodu) ile ifade edilirler.

- a) Servis (kullanım) depremi: 50 yılda aşılma olasılığı % 50 olan yer hareketidir. Yaklaşık dönüş periyodu 72 yıldır. Bu depremin etkisi, aşağıda tanımlanan tasarım depreminin yarısı kadardır.

- b) Tasarım depremi: 50 yılda aşılma olasılığı % 10 olan yer hareketidir. Yaklaşık dönüş periyodu 475 yıldır. Bu deprem 1998 ve 2007 Türk Deprem Yönetmeliklerinde esas alınmaktadır.
- c) En büyük deprem: 50 yılda aşılma olasılığı % 2, dönüş periyodu yaklaşık 2475 yıl olan bir depremdir. Bu depremin etkisi tasarım depreminin yaklaşık olarak 1,50 katıdır.

### **3.7. Performans Hedefi ve Çok Seviyeli Performans Hedefleri**

Belirli bir deprem hareketi altında, bina için öngörülen yapısal performans, performans hedefi olarak tanımlanır. Bir bina için, birden fazla yer hareketi altında farklı performans hedefleri öngörebilir. Buna çok seviyeli performans hedefi denir. Mevcut ve güçlendirilecek binaların deprem güvenliklerinin belirlenmesinde esas alınacak çok seviyeli performans hedefleri Tablo 3.3 de verilmiştir.

Tablo 3.3. Binalar için hedeflenen çok seviyeli performans düzeyleri (TDY 2007)

<b>Binanın Kullanım Amacı Ve Türü</b>	<b>Depremin Aşılma Olasılığı</b>		
	<b>50 yılda %50</b>	<b>50 yılda %10</b>	<b>50 yılda %2</b>
<b>Deprem Sonrası Kullanımı Gereken</b> <b>Binalar:</b> Hastaneler, sağlık tesisleri, itfaiye binaları, haberleşme ve enerji tesisleri, ulaşım istasyonları, vilayet, kaymakamlık ve belediye yönetim binaları, afet yönetim merkezleri,vb.	-	HK	CG
<b>İnsanların Uzun Süreli ve Yoğun Olarak Bulunduğu</b> <b>Binalar:</b> Okullar, yatakhaneler, yurtlar, pansionlar, askeri kışlalar, cezaevleri, müzeleri, vb.	-	HK	CG
<b>İnsanların Kısa Süreli ve Yoğun Olarak Bulunduğu</b> <b>Binalar:</b> Sinema, tiyatro, konser salonları, kültür merkezleri, spor tesisleri	HK	CG	-
<b>Tehlikeli Madde İçeren Binalar:</b> Toksik, parlayıcı ve patlayıcı özellikleri olan maddelerin bulunduğu ve depolandığı binalar	-	HK	GÖ
<b>Diğer Binalar:</b> Yukarıdaki tanımlara girmeyen diğer binalar(konutlar, işyerleri, oteller, turistik tesisler, endüstri yapıları, vb.)	-	CG	-

### **3.8. Deprem Hesabına İlişkin Genel İlke ve Kurallar**

Binaların deprem performanslarının belirlenmesinde bölüm 3.9 ve bölüm 3.10 da tanımlanan yöntemler kullanılmaktadır. Ancak teorik olarak farklı yaklaşımaları esas alan bu yöntemler sonucu yapılana performans değerlendirmelerinin birebir aynı sonucu vermeleri beklenmemektedir. Aşağıda tanımlanan kurallar her iki yöntemde de geçerlidirler.

Deprem etkisinin tanımında elastik (azaltılmamış) ivme spektrumu kullanılacak fakat farklı aşılma olasılıkları için bu spektrum üzerinde bölüm 3.6'ya göre yapılan değişiklikler göz önüne alınmalıdır. Ayrıca deprem hesabında tanımlanan bina önem katsayısı uygulanmayacaktır.

Binaların deprem performansları, yapıya etkiyen düşey yüklerin ve deprem etkilerinin birleşik etkileri altında değerlendirilecektir. Hareketli düşey yükler, göz önüne alınan kütleler ile uyumlu olacak şekilde tanımlanacaktır. Deprem kuvvetleri binaya her iki doğrultuda ve her iki yönde ayrı ayrı etki ettirilecektir.

Dösemelerin yatay düzlemede rıjıt diyafram olarak çalıştığı binalarda, her katta iki yatay yer değiştirme ile düşey eksen etrafında dönme serbestlik dereceleri göz önüne alınacaktır. Kat serbestlik dereceleri her katın kütle merkezinde tanımlanacak ve ayrıca ek dışmerkezlik uygulanmayacaktır. Mevcut binaların taşıyıcı sistemindeki belirsizlikler, binadan toplanan verilerin kapsamına göre bölüm 3.1 de tanımlanan bilgi düzeyi katsayıları ile hesaplanacaktır.

Bir veya iki eksenli eğilme ve eksenel kuvvet etkisindeki betonarme kesitlerin etkileşim diyagramlarının tanımlanmasında,

- Analizde beton ve donatı çeliğinin bölüm 3.1 de tanımlanan bilgi düzeyine göre belirlenen mevcut dayanımları esas alınacak,
- Betonun maksimum basınç birim sekil değiştirmesi 0,003, donatı çeliğinin maksimum birim sekil değiştirmesi ise 0,01 alınabilir,
- Etkileşim diyagramlarını uygun biçimde doğrusallaştırılarak çok doğrulu veya çok düzlemlü diyagramlar olarak modellenebilirler.

Eğilme etkisindeki betonarme elemanların akma öncesi doğrusal davranışları için çatlamış kesite ait etkin eğilme rıjilikleri ( $EI_e$ ) kullanılcaktır. Daha kesin bir hesap yapılmadıkça, çatlamış kesite ait eğilme rıjilikleri için aşağıda verilen değerler kullanılabilir:

$$-\text{Kirişlerde: } (EI)_e = 0,40 EI_0 \quad (3.6)$$

$$-\text{Kolon ve perdelerde, } N_D / (A_c f_{cm}) \leq 0,10 \text{ olması durumunda: } (EI)_e = 0,40 EI_0 \quad (3.7)$$

$$N_D / (A_c f_{cm}) \geq 0,40 \text{ olması durumunda: } (EI)_e = 0,80 EI_0 \quad (3.8)$$

Yukarıdaki bağıntılarda yer alan eksenel basınç kuvveti  $N_D$ , düşey yükler altında hesaplanacaktır.  $N_D$ 'nin ara değerleri için doğrusal enterpolasyon yapılabilir.  $N_D$  deprem hesabında esas alınan toplam kütlelerle uyumlu yüklerin göz önüne alındığı ve çatlamamış kesitlere ait  $(EI)_0$  eğilme rıjiliklerinin kullanıldığı bir ön düşey yük hesabı ile belirlenecektir. Deprem hesabı için başlangıç durumunu oluşturan düşey yük hesabı ise, etkin eğilme rıjılıği kullanılarak  $(EI)_e$  deprem hesabında esas alınan kütlelerle uyumlu yüklerle göre yeniden yapılacaktır. Deprem hesabında da aynı rıjilikler kullanılacaktır.

Betonarme tablalı kirişlerin pozitif ve negatif plastik momentlerinin hesabında tabla betonu ve içindeki donatı hesaba katılabilir.

### **3.9. Doğrusal Elastik Hesap Yöntemleri**

Doğrusal (lineer) elastik yöntemlerde yapı elemanlarının kapasiteleri elemanın taşıma kapasitelerine ve süneklik özelliklerine bağlı olarak belirlenir. Buna karşılık, deprem istemi için elastik deprem etkileri altında lineer teoriye göre hesap yapılır. Elastik hesap yöntemleri Eşdeğer Deprem Yükü Yöntemi ve Mod Birleştirme Yöntemi' dir.

a) Eşdeğer deprem yükü yöntemi, bodrum üzerinde toplam yüksekliği 25 metreyi ve toplam kat sayısı 8'i aşmayan, ayrıca ek dışmerkezlik gözönüne alınmaksızın hesaplanan burulma düzensizliği katsayısı  $\eta_{bi} < 1,4$  olan binalara uygulanır. Bu yöntemde, toplam eşdeğer deprem yükünün (taban kesme kuvveti) hesabında, deprem yükü azaltma katsayı  $R_a=1$  olarak alınır ve denklemin sağ tarafı katsayı  $\lambda$

ile çarpılır.  $\lambda$  katsayısı bodrum hariç bir ve iki katlı binalarda 1,0, diğerlerinde 0,85 değerini almaktadır.

b) Mod Birleştirme Yönteminin kullanılmasında  $R_a=1$  alınacak, diğer bir deyişle, elastik deprem spektrumları azaltılmadan, aynen kullanılacaktır.

### **3.10. Doğrusal Elastik Olmayan Hesap Yöntemleri**

Deprem etkisi altında mevcut binaların yapısal performanslarının belirlenmesi ve güçlendirme analizleri için kullanılacak doğrusal elastik olmayan hesap yöntemlerinin amacı, verilen bir deprem için sünek davranışa ilişkin plastik şekildeştirme istemleri ile gevrek davranışa ilişkin iç kuvvet istemlerinin hesaplanmasıdır. Daha sonra bu istem büyüklükleri, bu bölümde tanımlanmış bulunan sekil değiştirme ve iç kuvvet kapasiteleri ile karşılaştırılarak, kesit ve bina düzeyinde yapısal performans değerlendirmesi yapılır. 2007 Deprem Yönetmeliği kapsamında yer alan doğrusal elastik olmayan analiz yöntemleri, Artımsal Eşdeğer Deprem Yükü Yöntemi, Artımsal Mod Birleştirme Yöntemi ve Zaman Tanım Alanında Hesap Yöntemi'dir.

#### **3.10.1. Artımsal eşdeğer deprem yükü yöntemi**

Artımsal Eşdeğer Deprem Yükü Yöntemin'de yapısal kapasite, kapasite eğrisi ile temsil edilir. Bu eğri, genellikle taban kesme kuvveti ile yapının tepe noktasının yatay yerdeğistirmesi arasındaki bağıntı çizilerek elde edilmektedir. Kapasite eğrisinin elde edilmesi için, yapı sistemi sabit düşey yükler ve orantılı olarak artan yatay kuvvetler altında, sistemin tasıma kapasitesinin sona erdiği limit duruma kadar hesaplanır. Daha sonra, kapasite eğrisi spektral formata dönüştürülerek modal kapasite eğrisi elde edilir.

Artımsal itme analizi sırasında, eşdeğer deprem yükü dağılımının, taşıyıcı sistemdeki plastik mafsal oluşumlarından bağımsız biçimde sabit kaldığı varsayımlı yapılabilir. Bu durumda yük dağılımı, taşıyıcı sistemin başlangıçtaki doğrusal elastik davranışı için hesaplanan birinci (hakim) titreşim modu ile orantılı olacak şekilde tanımlanır.

Daha kesin bir sonuç için, artımsal itme analizi sırasında eşdeğer deprem yükü dağılımı, her bir itme adımda öncekilere göre değişken olarak gözönüne alınabilir.

Bu durumda yük dağılımı, her bir itme adımı öncesinde taşıyıcı sisteme oluşmuş bulunan tüm plastik mafsallar gözönüne alınarak hesaplanan birinci (hakim) titreşim modu ile orantılı olarak tanımlanır.

Artımsal eşdeğer deprem yükü yöntemi, bodrum kat üzerindeki toplam kat sayısı 8'i asmayan, ayrıca ek dışmerkezlik gözönüne alınmaksızın hesaplanan burulma düzensizliği katsayı  $\eta_{bi} < 1,4$  olan binalara uygulanır. Ayrıca gözönüne alınan deprem doğrultusunda, doğrusal elastik davranış esas alınarak hesaplanan birinci (hakim) titreşim moduna ait etkin kütlenin toplam bina kütlesine (rijit perdelerle çevrelenen bodrum katlarının küt勒leri hariç) oranının en az 0,70 olması gerekmektedir. Artımsal esdeger deprem yükü yönteminde, deprem istem limitine (performans noktasına) kadar monotonik olarak adım adım arttırılan eşdeğer deprem yüklerinin etkisi altında, doğrusal olmayan itme analizi yapılır. Analizde ardışık iki plastik mafsal oluşumu arasındaki her bir itme adımda taşıyıcı sisteme meydana gelen yerdeğiştirme, plastik şekildeğiştirme ve iç kuvvet artımları ile bu büyüklüklerde ait birikimli değerler ve son itme adımda deprem istemine karşı gelen maksimum değerler hesaplanır.

### **3.10.2. Artımsal mod birleştirme yöntemi**

Artımsal Mod birleştirme yönteminde, deprem istem limitine kadar her bir titreşim modunda monotonik olarak arttırılan modal yerdeğiştirmelere göre mod birleştirme yöntemi, ardışık iki plastik mafsal oluşumu arasındaki her bir itme adımda artımsal olarak uygulanır. Bu itme adımlarında taşıyıcı sisteme meydana gelen yerdeğiştirme, plastik şekildeğiştirme ve iç kuvvet artımları ile bu büyüklüklerde ait birikimli değerler ve son itme adımda deprem istemine karşı gelen maksimum değerler hesaplanır. Artımsal Mod birleştirme yöntemi tüm binalara uygulanabilemektedir.

### **3.10.3. Zaman tanım alanında hesap yöntemi**

Doğrusal olmayan dinamik analizde, yapının doğrusal olmayan özellikleri zaman tanım alanında analizin bir parçası olarak düşünülür. Bu analiz, yer hareketleri kayıtları ile detaylı yapı modelini içerdigi için elde edilen sonuçlar diğer metotlara kıyasla daha küçük oranlarda hata içerir (Yasin Fahjan ve diğ. ,2011).

Ama, burada en önemli olan nokta kullanılacak kayıtların belirlenmesidir. Bu belirlemede 3 yöntem kullanılmaktadır. Deprem ivme kayıtları;

a) Tasarım ivme spektrumu uyumlu yapay deprem kayıtları

b) Simule edilmiş (benzeştirilmiş) kayıtlar

c) Deprem sırasında kaydedilen ivme kayıtları

olmak üzere üç kaynaktan elde edilebilir (Fahjan ve Özdemir, 2007).

Kullanılan kayıtların kalitesi, gelişen teknolojiyle beraber artmaktadır. Bu gelişim, yapı performans analizlerinin gerçeğe yakınlık derecesini de artırmaktadır.

## **4. KUVVETLİ YER HAREKETİ ÖLÇEKLEME METOTLARI**

Gerçek deprem kayıtlarının tasarım ivme spektrumuna uygun olacak şekilde ölçeklenmesi için pek çok yöntem mevcuttur. Bu yöntemler, zaman tanım alanındaki yöntemler ve frekans tanım alanındaki yöntemler olmak üzere iki gruba ayrılabilir.

### **4.1. Deprem Hareketinin Zaman Tanım Alanında Ölçeklenmesi**

Bu yöntemde, yer hareketi kaydı aynı miktarda yukarı veya aşağı yönde ölçeklenerek (1'den büyük veya 1'den küçük, sabit bir katsayı ile çarpılarak), istenilen periyot aralığında, hedef tasarım ivme spektrumuna en uygun eşleştirme yapılır. Bu işlem kaydın frekans içeriğini değiştirmez. Birden fazla deprem kaydı kullanılmak istendiğinde ise, her bir kayıt için ayrı ayrı ölçekleme işlemi yapılabileceği gibi hedef tasarım ivme spektrumuna en iyi uyan kayıtların ortalaması da kullanılabilir. Tek bir deprem kaydı ya da birden çok deprem kaydı kullanılarak yer hareketinin zaman tanım alanında ölçeklenmesi mümkündür.

### **4.2. Deprem Hareketinin Frekans Tanım Alanında Ölçeklenmesi**

Bu yöntemde de, deprem esnasında kaydedilmiş ivme kayıtlarından tasarım ivme spektrumuna uyan kayıtlar türetilir. Frekans tanım alanında yapılan ölçekleme sırasında deprem hareketi fiziksel özelliklerini yitirmediği için, klasik yapay deprem kaydı üretme metotları ile karşılaştırıldığında daha etkili bir yöntemdir.

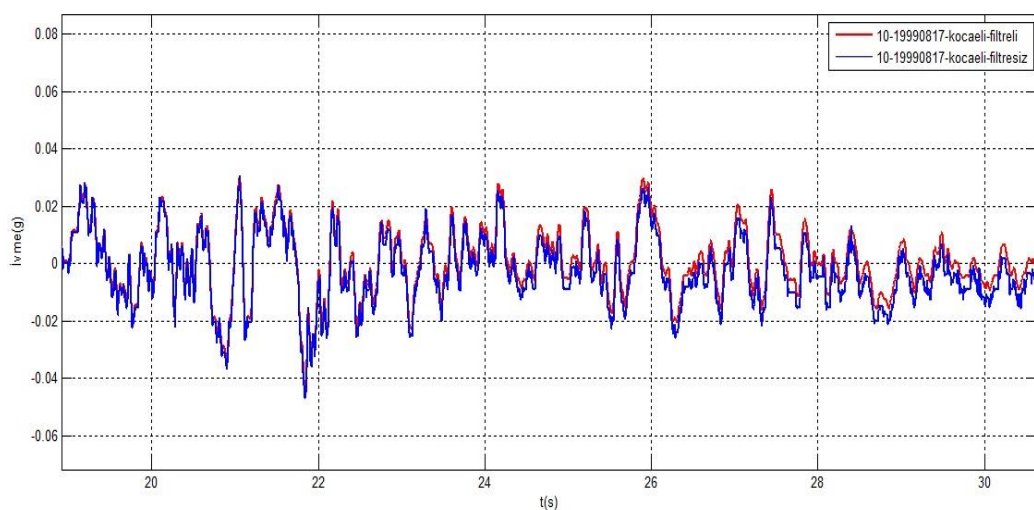
### **4.3. Yapı analizlerinde kullanılan depremler**

Yapılan bu çalışmada, Türkiye'de 1976-2013 yılları arasında kaydedilmiş depremlerden düşey ivme değeri en az 100 gal olan ve faya uzaklık mesafesi 50 km.'nin altında kalan kayıtlar kullanılmıştır.

Öncelikle, yerel zemin sınıfları, mesafe, süre, faylanma mekanizmaları ve depremin büyüklüğe bağlı olarak seçilen ham deprem kayıtlarının varsa sıfırdan sapma (baseline correction) düzeltilmesi yapılmalıdır (Beyen, 2011). Yer hareketi ivme kaydının entegrasyonu ile elde edilen hız ve yerdeğiştirme değerlerinin sıfır ile

bitmemesi olarak tanımlanan bu durum, kayıtta yer alan gürültünün uygun bir şekilde filtrelenmesi ile düzeltilebilmektedir.

Analizlerde kullandığımız tüm kayıtlar için sıfırdan sapma düzeltilmesi yapılmıştır. Daha sonra 4. dereceden Butterworth filtreleme yöntemiyle 0,05-50 Hz. dışında kalan frekans içerikleri kayıtlardan uzaklaştırılmıştır. Filtrelemenin sayısal aralık değerlerini oluştururken yapıda etkilerini görebileceğimiz frekans içerikleri göz önüne alınmıştır. Yüksek frekans içeriğinin yapı üzerindeki etkileri oldukça düşüktür.



Şekil 4.1. 17.08.1999 – Kocaeli-KGfiltreli ve filtersiz kayıtlar (20-30sn.)

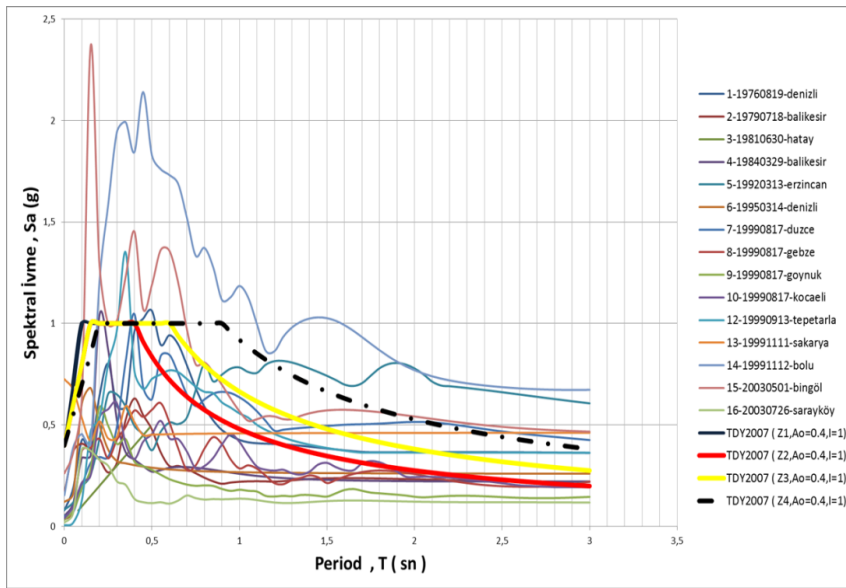
Yapılan bu işlemden sonra yine tüm depremlerin, %5 sönümlü Spektral ivme-Periyod grafikleri Matlab (R2009b) programında tek serbestlik dereceli sistem olarak Newmark Average metodıyla elde edilmiştir. Periyod değerleri 0,05 sn aralıklarla hesaplanmıştır ( $T=0$  değerinin spektral ivme hesabında, 0-0,05 sn'lik bölüm 0,001 sn aralıklı değerler için hesaplanıp, bu değerlerin ortalamasından elde edilen sonucun değeri yazılmıştır). Kayıtların analizinde kullanılan MATLAB yazılımı EK- A bölümünde verilmiştir. Kullanılan kayıtlar için AFAD-Türkiye Ulusal Kuvvetli Yer Hareketi Veri Tabanı'ndan yararlanılmıştır. Önceki bölümlerde belirtildiği üzere, kullanılan kayıtlara uygulanan kriterlere ait durum aşağıda belirtilmiştir.

Date between	<input type="text" value="01"/>	<input type="text" value="January"/>	<input type="text" value="1976"/>	<input type="text" value="and"/>	<input type="text" value="04"/>	<input type="text" value="November"/>	<input type="text" value="2013"/>
Horizontal PGA between	<input type="text"/>	<input type="text"/>	Repi between	<input type="text"/>	<input type="text"/>		
Vertical PGA between	<input type="text" value="99"/>	<input type="text" value="and 5000"/>	Rjb between	<input type="text" value="0.1"/>	<input type="text" value="and 50"/>		
Mean Vs,30 (m/s) between	<input type="text"/>	<input type="text"/>	Rrup between	<input type="text"/>	<input type="text"/>		
Station Code	<input type="text"/>						
<b>with Processed values</b>							
PGA between	<input type="text"/>	<input type="text"/>	PGV between	<input type="text"/>	<input type="text"/>	PGD between	<input type="text"/>
Note : Not all the record files are processed. Searching with processed values will narrow your search.							
<input type="button" value="Search"/>							

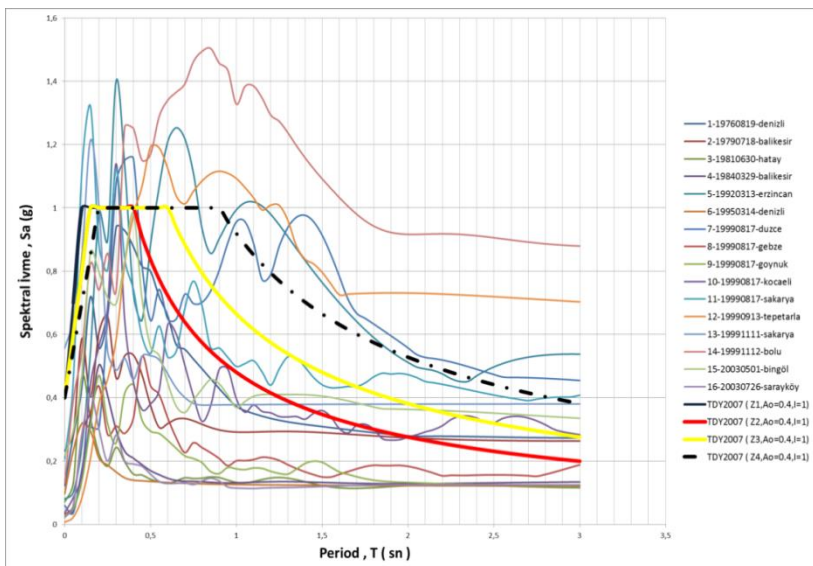
Şekil 4.2. Kayıt kriterleri

Tablo 4.1. Sayısal analizlerde kullanılacak olan kuvvetli yer hareketleri

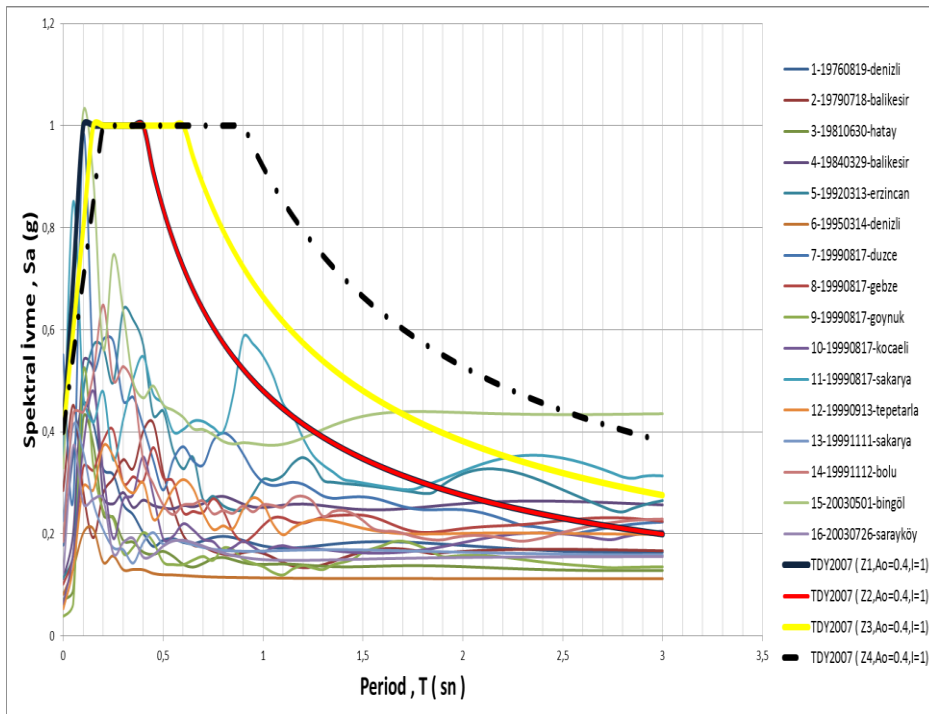
Yer hareketi	Şiddet	Rjb (km)	Mean Vs,30 (m/s)	V-PGA (gal)	H <sub>max</sub> PGA(gal)	V/H
19760819 denizli	5,0 - ML	6,4	346	173	349	0,50
19790718 balikesir	5,2 - ML	28,9	496	200	288	0,69
19810630 hatay	4,7 - ML	25,0	470	144	154	0,94
19840329 balikesir	4,6 - ML	2,6	-	297	224	1,33
19920313 erzincan	6,1 - ML	3,3	-	239	471	0,51
19950314 denizli	3,5 - ML	8,7	356	103	261	0,40
19990817 duzce	7,4 - MD	46,0	282	480	374	1,28
19990817 gebze	7,4 - MD	4,9	701	198	265	0,75
19990817 goyruk	7,4 - MD	44,2	348	130	138	0,94
19990817 kocaeli	7,4 - MD	0,6	826	146	225	0,65
19990817 sakarya	7,4 - MD	3,1	412	259	407	0,64
19990913 tepetarla	5,7 - MD	1,5	-	192	612	0,31
19991111 sakarya	5,7 - MD	10,4	412	133	946	0,14
19991112 bolu	7,2 - MD	8,0	294	200	806	0,25
20030501 bingöl	6,1 - MD	2,2	529	472	546	0,87
20030726 sarayköy	5,5 - MD	11,2	232	154	121	1,27



Şekil 4.3. Deprem kayıtlarının kuzey – güney bileşeni için spektral ivme-periyot ilişkisi (Sönüm Oranı=0,05)



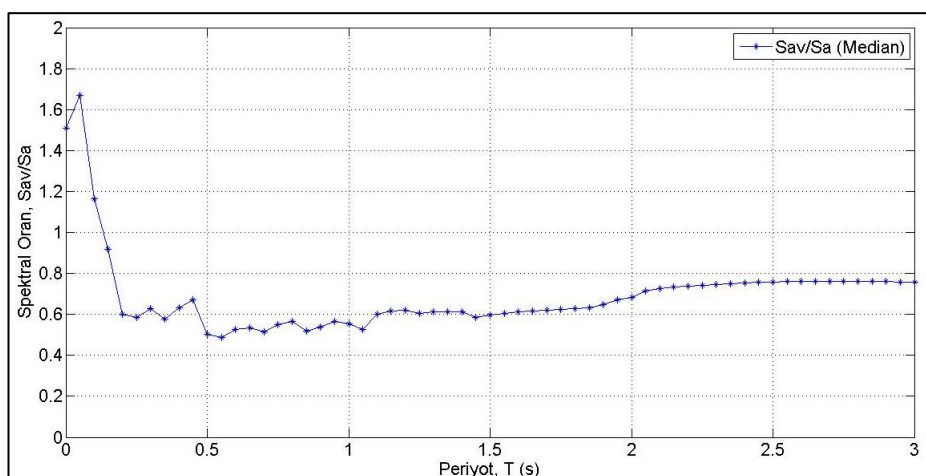
Şekil 4.3. Deprem kayıtlarının doğu – batı bileşeni için spektral ivme-periyot ilişkisi (Sönüm Oranı=0,05)



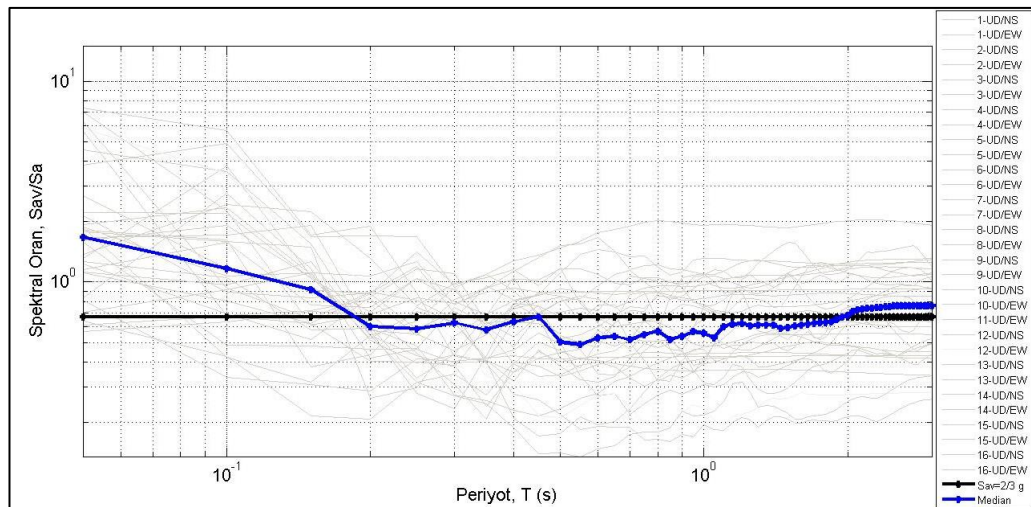
Şekil 4.4. Deprem kayıtlarının düşey bileşeni için spektral ivme- periyot ilişkisi (Sönüüm oranı=0,05)

TDY 2007 yönetmeliğine göre elde edilen spektral ivme-periyot grafiklerinden anlaşılabileceği gibi, düşey ivmenin yatay ivmeye yaklaşabilen değerleri görülebilmektedir.

Düşey/yatay spektral ivme oranı, kullanılan depremler için aşağıdaki grafikte gösterilmiştir.



Şekil 4.6. Yatay/Düşey spektral oran (Median)



Şekil 4.7.  $Sav/Sa=2/3$  ve median değerlerinin karşılaştırılması

Grafiklerden görüleceği gibi düşey/yatay spektral ivme oranı, kullanılan depremler için klasik yaklaşım değeri olan  $2/3$  oranında seyretmektedir. Yalnız bu oran düşük periyotlu yapılarda artmaktadır. Bu sonuçlardan yola çıkılarak geçmiş akademik çalışmalarla paralellik arzeden yöntemler kullanılabilir.

Bu tez kapsamında, düşey ivme spektrumunun elde edilmesinde kullanılan 2 ayrı metod aşağıda açıklanmıştır.

#### 4.3.1. Malhotra metodu (2006)

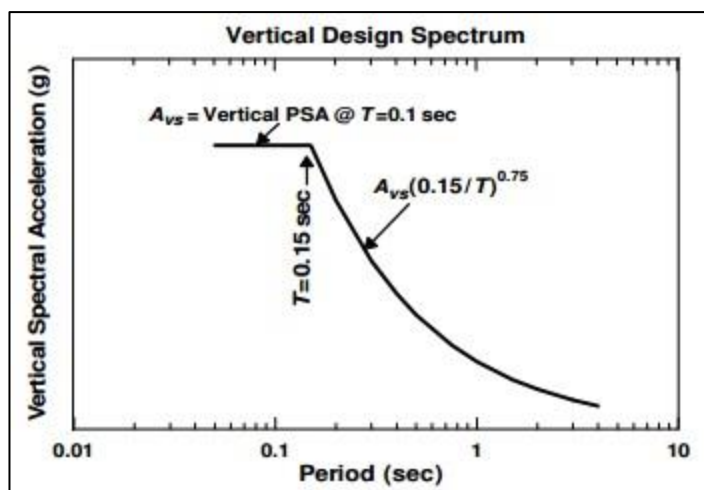
Praveen K.Malhotra, kaya ve yumuşak zeminler için düşey/yatay spektrum oranları elde ederek, yatay ivme spektrumundan düşey ivme spektrumu elde etmiştir. Bu yaklaşımı kullanılmamasının sebebi, yatay ivmenin frekans içeriğiyle düşey ivmenin frekans içeriğinin benzer olduğunun öne sürülmESİdir. Aslında, bu ve önceki çalışmalar bu frekans içeriğinin oldukça farklı olduğunu ortaya çıkarmıştır (P. K. Malhotra, 2006) .

Bu çalışmada, kaya zeminler için 33 kayıt, yumuşak zeminler için 30 kayıt kullanarak, düşey/yatay spektral oranları median işlemeye tabi tutmuştur.  $T=0,2$  ve  $T=1$  sn. ye karşılık gelen değerler, yatay spektrumun köşe noktalarındaki katsayı değerleriyle çarpılmıştır. Bu değerlerin çarpımıyla ortaya çıkan yeni spektrum, düşey ivme spektrumu olarak kullanılmıştır.

Yaptığımız çalışmadaki bu yöntemde, analizi yapılacak sayısal model Z3 zemininde bulunduğuundan, bu zemine ait tasarım ivme tasarım spektrumu kullanılmıştır. Yukarıdaki Şekil 4.6 da görülen grafik değerlerinden gerekli katsayıları kullanıp yatay spektrumundan düşey ivme spektrumu elde edilmiştir.

#### 4.3.2. Y.Bozorgnia ve K.Campbell metodu (2003)

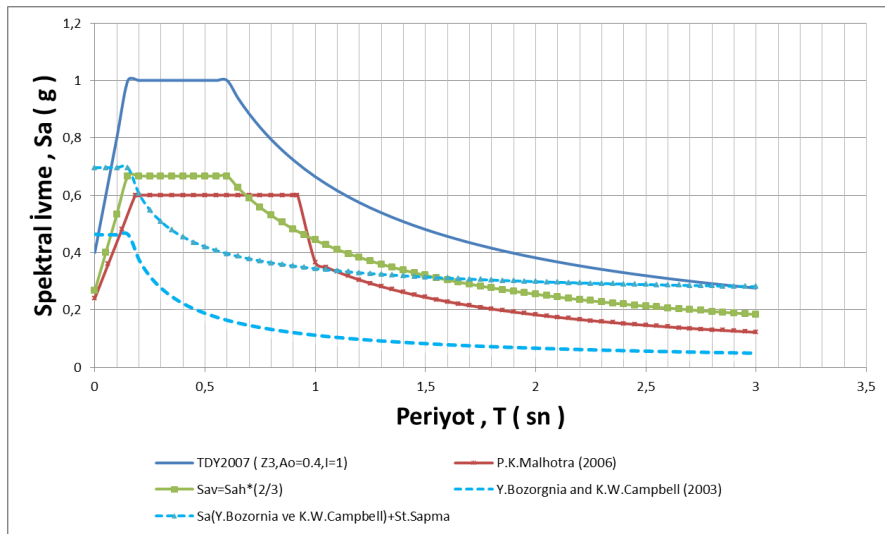
Bozorgnia ve Campbell, dünyadaki 36 farklı bölgeden,  $M_w=4,7-7,7$  aralığında, 443 deprem kaydını kullanarak %5 sönümlü oranına sahip bir spektrum modeli türetmişlerdir. Bu spektrumu zemin koşullarına, farklı faylanma tiplerine, farklı deprem büyüklüklerine ve faya uzaklık mesafelerine göre inceleyerek bir ön düşey tasarım spektrumu oluşturmuşlardır (Bozorgnia ve Campbell, 2003) .



Şekil 4.8. Yaklaşık düşey tasarım spektrumu

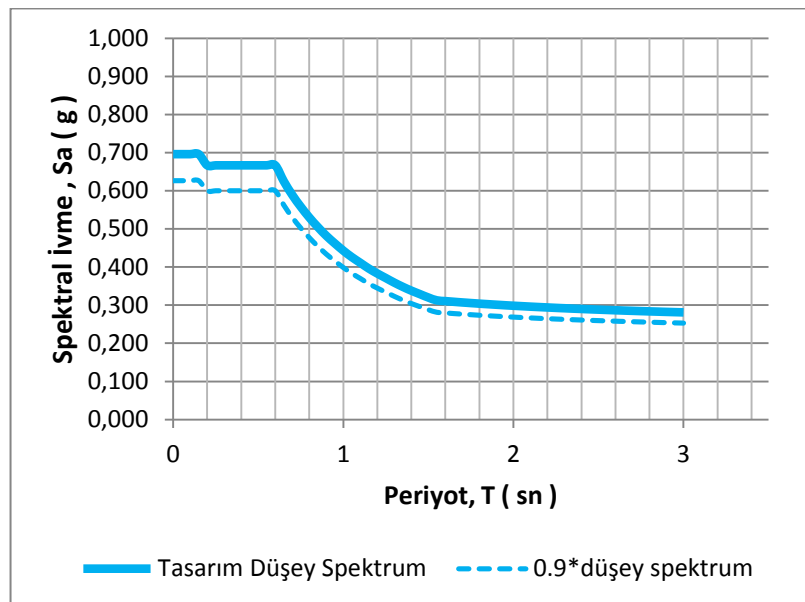
Bu spektruma göre  $T=0,1$  saniyedeki kullanılan kayda ait düşey ivme değerini  $T=0,15$  saniyeye kadar taşınmaktadır. 0,15 sn değeri daha önce yapılan çalışma ile uyumludur (Elnashai and Papazoglou, 1997) .Yine aynı sayısal değer  $T=0,15$  saniyeden sonra şekilde görülen bir eğri ile tariflendirilmektedir.

Yaptığımız çalışmada kullanılan 16 deprem kaydının  $T=0,1$  saniyedeki değerlerinin aritmetik ortalaması alınarak genel spektrumun  $T=0,1$  sn değeri olarak kullanılmıştır. Çalışmada kullanılan deprem kayıtlarının çok olmaması sebebiyle, + standart sapma değeri de gözönüğe alınmıştır.



Şekil 4.9. Düşey tasarım spektrumlarının karşılaştırılması

Tüm bu sayısal çözümlemelerin neticesinde ortaya çıkan düşey ivme tasarım spektrumlarından bir zarf düşey tasarım spektrumu oluşturulmuştur. Yapı analizlerinde düşey bileşen için bu spektrumun sonuçları verilecektir.



Şekil 4.10. Düşey tasarım spektrumu

Elde edilen düşey tasarım spektrumu değerleri  $T=0,05$  sn aralıklarla yapılmıştır.

Mevcut yapı olarak değerlendirilecek olan yapının zaman tanım alanında doğrusal olmayan analizi için kullanılacak deprem kayıtlarında 2 tür yaklaşım kullanılarak 4 ayrı kayıt kullanılmıştır. Birincisinde, TDY 2007 yönetmeliğinin zaman tanım alanı kriterine uyan 2 büyük yatay kayıt kullanılmıştır. Bu kayıtların yatay ve düşey bileşenleri, mevcut haliyle yapı analizinde kullanılmıştır. İkinci yaklaşım ise, oluşturulmuş olan düşey ivme spektrumuna göre yüksek bir düşey ivmeye sahip olan kayıtlardan iki tanesi seçilip elde edilen düşey spektruma göre ölçeklenmiştir. Buradaki ölçekleme katsayısı, bu kayıtların yatay bileşenlerine uygulanmamıştır.

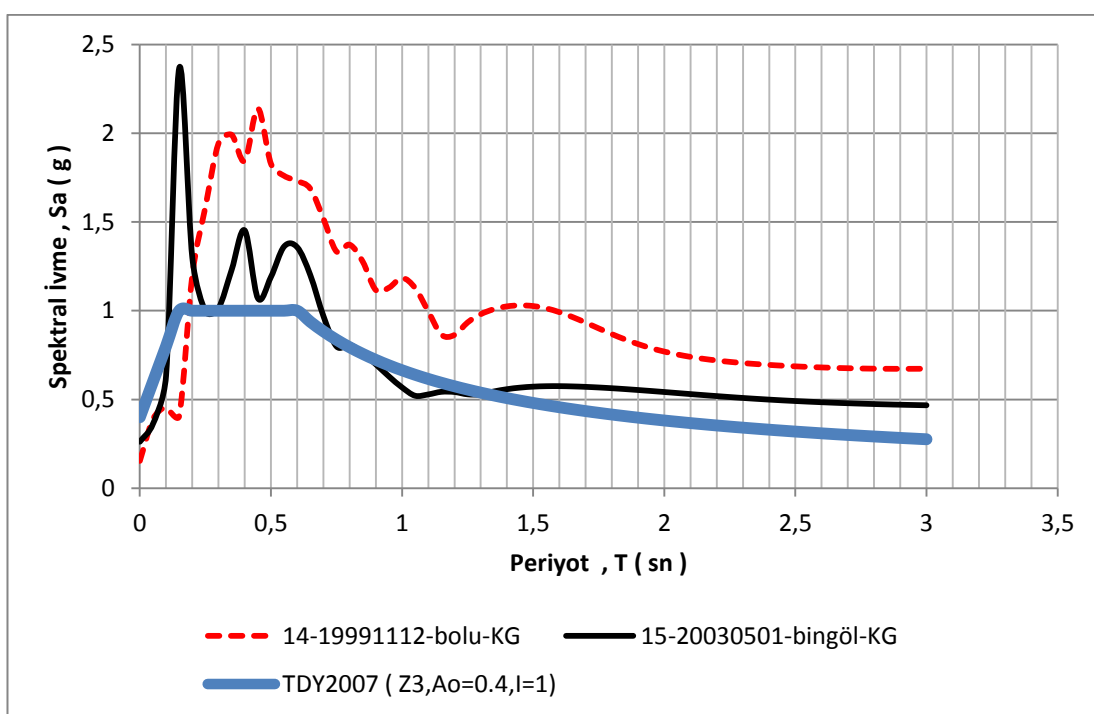
#### **4.4. Kayıtların Ölçeklenmesinde Gözönüne Alınan Hususlar**

Kayıtların ölçeklendirilmesinde en yaygın olarak kullanılan yer hareketi ölçekleme metodu zaman tanım alanındaki ivme değerlerinin skaler bir değer ile çarpılmasıyla bulunur. Bu ölçeklemede ivme genliklerinin faz ya da frekans içerikleri değişmez. Yer hareketlerinin parametreleri ve prosedürleri 2009 Provisions'la uyumlu olarak ASCE 7-10 Bölüm 11'de bulunmaktadır. Provisions 2009'da bir kısıtlama olmamasına rağmen, genellikle kayıtlara uygulanan ölçek 1/3 ile 3 arasındadır. Eğer çok büyük ya da çok küçük büyütme faktörlerine ihtiyaç duyulursa, maksimum deprem modellerinin içeriğinden dolayı tutarsız olabilir.

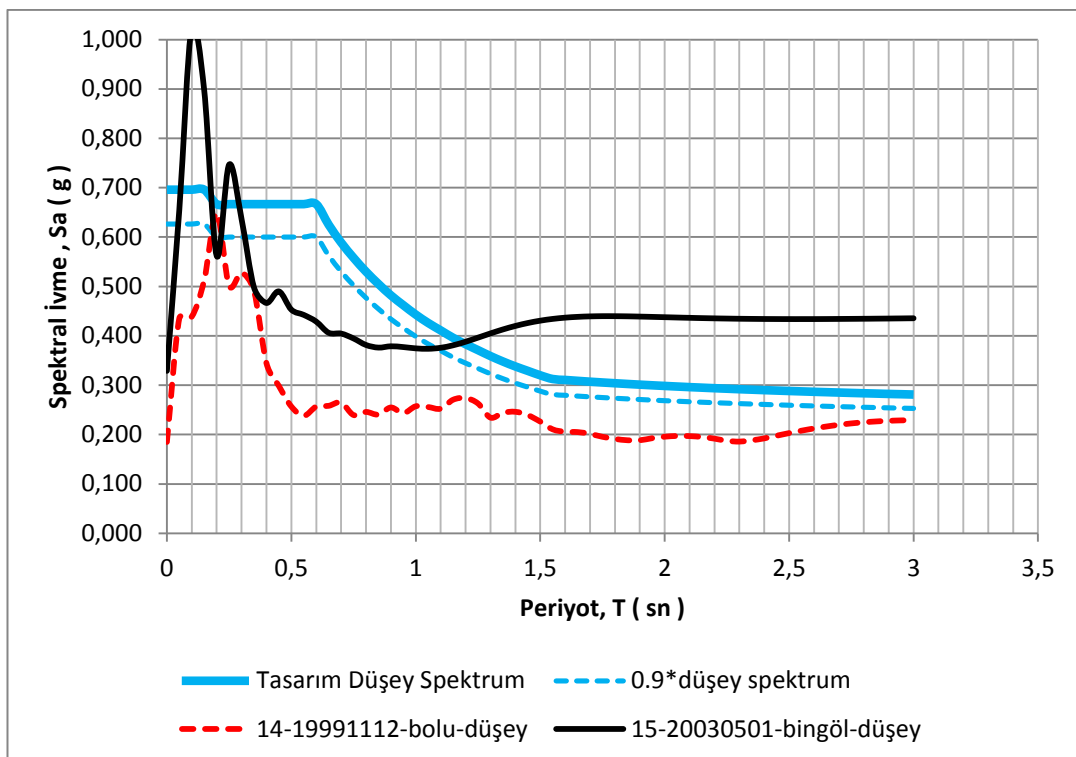
Bir diğer ölçekleme metodu olan frekans tanım alanında ölçekleme metodunda ise (örneğin hızlı Fourier dönüşümü (FFT) ile olduğu gibi), bazı ayarlamalarla (hedef spektrumla çoğunlukla örtüşen, belirli frekanslar) zaman tanım alanına geçilebilir. Bu metot, genlik etkileri, frekans ve faz içeriğinden etkilenmektedir (Bu durum toplam enerji girdisini artırma eğilimindedir). Bu metot daha az yer hareketi ile ortalama bir yaklaşım verebilir ama bu yanıt potansiyel bir değişkenliği de gizlemektedir. Provisions 2009 da bu metoda izin veriliyor olmasına rağmen zaman tanım alanında ölçekleme için aynı sayıda kayda ihtiyaç duymaktadır (FEMA 751-Chapter 3).

Bu bölümde yapılan ölçeklendirmede, binanın ilgilenilen yönüne ait periodu T olarak tariflenmektedir. Yapılan ölçeklendirme katsayısı belirlenirken 0,2T ile 1,5T aralığındaki ivme değerlerinin ortalaması alınarak bulunan değer hedef spektrum değeri ile oranlanır. Bu katsayı kaydın tümüyle çarpılarak mevcut kayıt ölçeklenmiş olur. Bu periyot aralıklarının alınmasının sebebi, 0,2T için daha büyük modların etkilerini de kapsamak ve 1,5T içinse yapının periyodu artması durumundaki etkilerini gözönüne almaktadır.

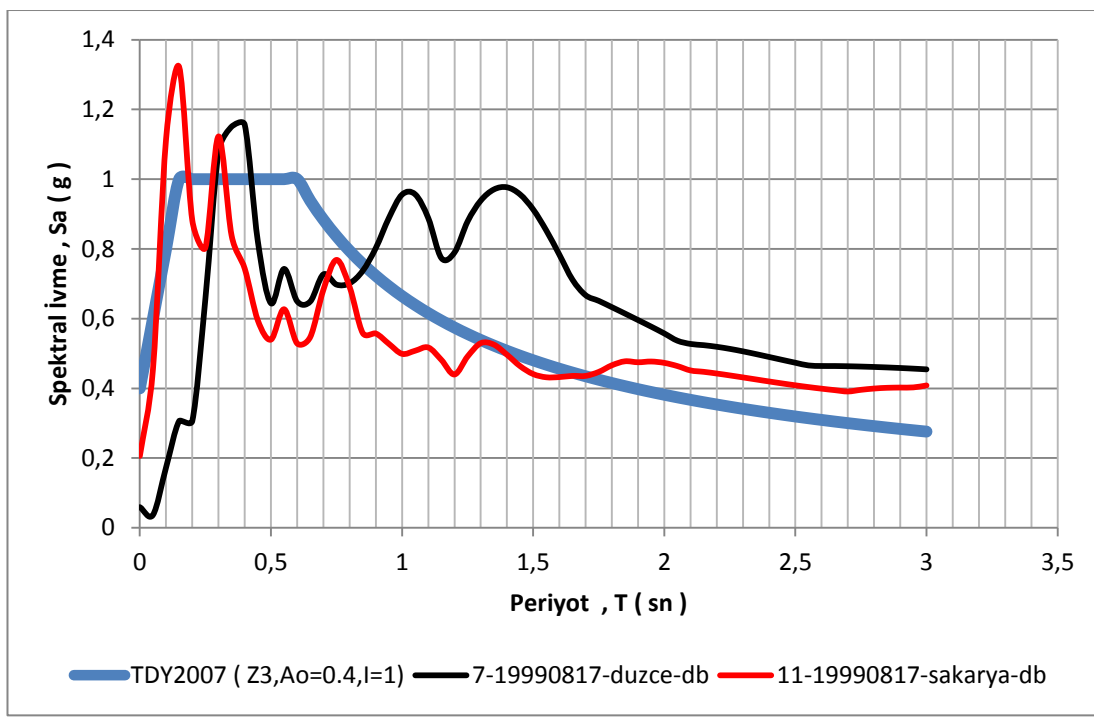
Bu kriterlere göre yapı analizinde kullanılacak kayıtlar aşağıda verilmiştir.



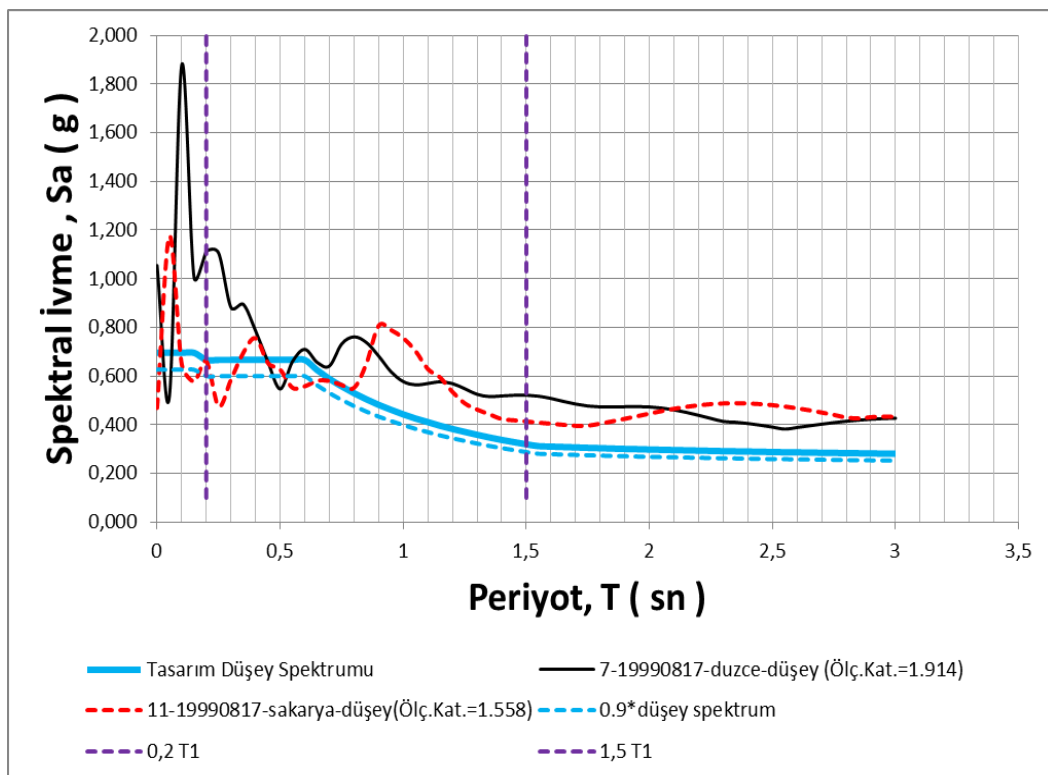
Şekil 4.11. Yatay deprem kayıtları (Yaklaşım 1)



Şekil 4.12. Düşey deprem kayıtları (Yaklaşım 1)



Şekil 4.13. Yatay deprem kayıtları (Yaklaşım 2)



Şekil 4.14. Düşey deprem kayıtları (Yaklaşım 2)

## **5. ÖRNEK BETONARME YAPI ÜZERİNDE DÜŞEY DEPREM ETKİSİNİN İNCELENMESİ**

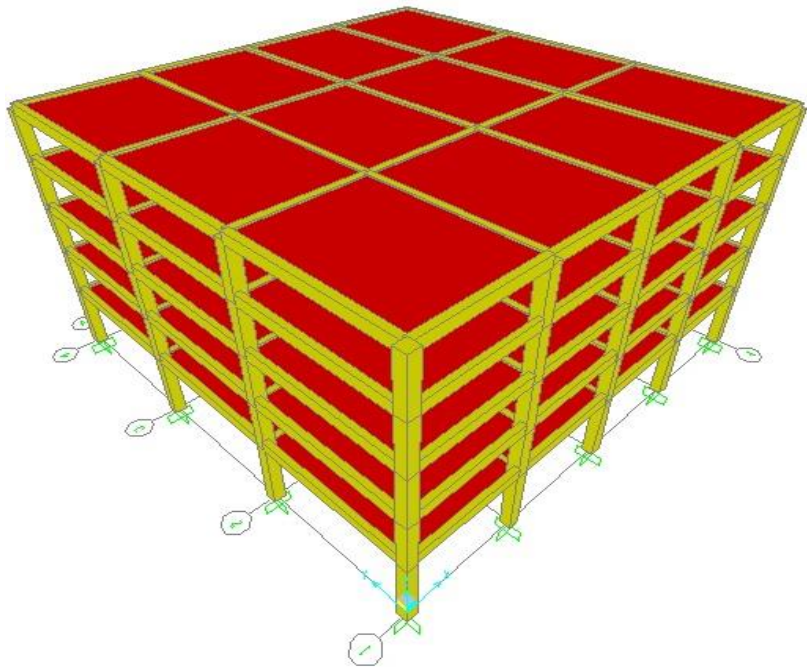
Bu bölümde, tez çalışması kapsamında gerçekleştirilen analizlere ait tüm parametreler açıklanmıştır. Bölüm 5.1 de, mevcut yapı sistemine ait bilgiler verilmiştir. Sonraki bölümlerde sırasıyla TDY 2007'ye göre yatay deprem etkisi altında spektral analiz yapılarak tasarlanan bir bina ile önceki bölümde üretilen düşey spektrumun da eklenmesiyle yapıda oluşan değişiklikler incelenmiştir. Daha sonra TDY 2007'ye göre tasarımlı yapılan bu yapı, mevcut bina olarak kabul edilip sadece yatay deprem yükü altında doğrusal olmayan analiz yöntemiyle (TDY 2007 kabulü) performansının yatay ve düşeyin beraber etkimesi sonucundaki durumları karşılaştırılmıştır.

### **5.1 Yapı Genel Bilgileri**

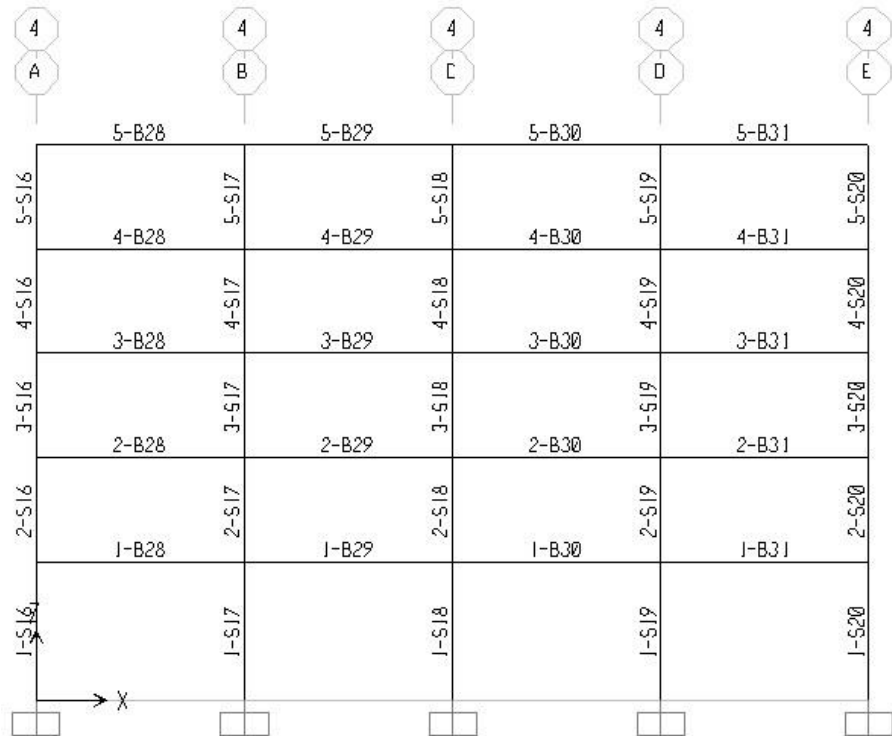
Bu bölümde, gerçekleştirilecek olan analizlerde kullanılacak olan mevcut bina ve elemanlarına ait özellikler verilmiştir. Ayrıca, kiriş ve kolon elemanlarına ait kesit analizleri gerçekleştirilerek eleman kapasiteleri elde edilmiştir.

#### **5.1.1. Yapı sistemine ait özellikler**

Ele alınan binanın taşıyıcı sistemi, zemin + 4 katlı, X yönünde 4 açıklığı bulunan, Y yönünde 3 açıklığı bulunan betonarme çerçevelere sahiptir. X yönündeki çerçevelerde tüm açıklıklar 6 m'dir. Y yönündeki çerçevelerde tüm açıklıklar 8 m'dir. Binada bulunan tüm kolon kesitleri 55x55 cm ve tüm kiriş kesitleri 30x60 cm boyutundadır. Döşeme kalınlığı 17 cm'dir. Binanın kat yükseklikleri zemin katta 4 m, diğer katlarda 3'er m'dir. Taşıyıcı sistem görüntüsü şekil 5.1 de verilmiştir, bu sistemdeki kolon isimleri örnek akstaki gibi şekil 5.2 de isimlendirilmiştir.



Şekil 5.1. Örnek yapıının 3 boyutlu sonlu eleman modeli



Şekil 5.2. Örnek yapıya ait kolon ve kiriş isimlendirmesi

### **5.1.2. Bina bilgileri**

Yapının toplam yüksekliği 16 m olup, 24x24 m plan boyutlarına sahiptir. Yapı içerik bakımından konut özelliklerini göstermektedir.

### **5.1.3. Malzeme bilgileri**

Yapıda kullanılan beton kalitesi C25 olup, beton içerisinde kullanılan donatı çeliği ise S420 kalitesindedir. Beton malzemesinin elastisite modülü 30250 Mpa olup, bu değer donatı çeliği için 200000 Mpa mertebesindedir.

### **5.1.4. Proje parametreleri**

Yapı 1. derece deprem bölgesinde üretilmiş olup, etkin yer ivmesi katsayısı  $A_0=0,4$ 'tür. Binanın bulunduğu yerel zemin koşulları Z3 zemin sınıfında olup, spektrum karakteristik köşe periyotları  $T_A=0,15$  sn,  $T_B=0,6$  sn'dir. Yapı konut olarak tasarlandığı için hareketli yük katılım katsayısı  $n=0,3$ 'tür.

### **5.1.5. Yükler**

Beton malzemesinin birim hacim ağırlığı  $25 \text{ kN/m}^3$  alınmıştır. Taşıyıcı sistemin üzerine tüm katlarda döşeme üzerine kaplama ve sıva yükü olarak  $2 \text{ kN/m}^2$  ölü yük, yine  $2 \text{ kN/m}^2$  hareketli yük yüklenmiştir. Kirişlerin üzerine gelen duvar yükü olarak dış duvarlarda  $10 \text{ kN/m}$ , iç duvarlarda  $5 \text{ kN/m}$  mertebesinde düzgün yayılı yük yüklenmiştir.

### **5.1.6 Modellemede yapılan varsayımlar**

Taşıyıcı sistem modellerinin oluşturulmasında ve boyutlandırılmasında yapılan başlıca varsayımlar şunlardır:

- Binanın 3 boyutlu matematiksel modeli kurulmuştur.
- Kolon ve kirişler çubuk elemanlar kullanılarak modellenmiştir.
- Düğüm noktaları rijit olarak alınmış, kolonların temele ankastre olarak mesnetlendikleri varsayılmıştır.
- Her katta dösemelerin kendi düzlemleri içinde rijit diyafram davranışını gösterdiği kabul edilmiştir.
- Betonarme elemanlarının bütün kesitlerinde, spektral analizde çatlamamış, zaman tanım alanında analizde ise çatlamış kesite ait eğilme rijitlikleri dikkate alınmıştır.
- Yapısal elemanların doğrusal olmayan davranışları yıgılı plastik davranış modeli ile modellenmiştir.
- Elastik deprem yükü azaltma katsayısı ( $R$ ), yeni bina için 8, mevcut bina için 1 alınmıştır.
- Modellemede Sap2000 programı kullanılmıştır.
- Taşıyıcı sistem tasarımda TDY 2007 ve TS 500 (2000) yönetmelikleri kullanılmıştır.
- Yapıda ikinci mertebe etkileri gözardı edilmiştir.
- Yapıya üzerindeki sabit ve hareketli yükler TS 498 yönetmeliğine göre belirlenmiştir.
- Mevcut yapı değerlendirmesinde ek dışmerkezlik gözönüne alınmamıştır.
- Taşıyıcı sistemde bölme duvarların yatay rijitlige katkısı gözönüne alınmamıştır.
- Zaman tanım alanında doğrusal olmayan analiz yöntemiyle analizde, yapı analizindeki zaman aralıkları deprem kayıtlarının zaman aralıklarıyla aynı tutulmuştur.
- Yapının özgül ağırlığı program tarafından otomatik olarak hesaplanmıştır.
- Yapı ile ilgili tüm bilgiler bulunduğuundan bilgi düzeyi katsayı 1 olarak kullanılmış olup, malzeme mukavemet değerlerinden herhangi bir azaltma yapılmamıştır.
- Zaman tanım alanında doğrusal olmayan analizde, periyoda bağlı rijitlik ve kütle katsayıları program tarafından otomatik olarak hesaplanmıştır.

## 5.2. Spektral Analiz Yöntemi İle Örnek Yapı Üzerinde Düşey Deprem Etkisinin İncelenmesi

### 5.2.1. Eleman iç kuvvetleri

Örnek yapı için bir statik analiz (zati ve hareketli yüklerin altında çözüm) ve iki dinamik analiz yapılmıştır. Dinamik analizlerin birincisinde dış yatay yük olarak yatay ivme spektrumu, ikincisinde ise bu yataya ilave olarak yeni tasarlanmış düşey ivme spektrumu etkittirilmiştir. Tablonun çok uzun olduğu gerekçesiyle her kattan bir elemanın iç kuvvetlerinin kesit değişim oranları gösterilecektir.

Tablo 5.1. Örnek yapı üzerinde kesit değişim oranları – ( Kirişler-x )

Kiriş adı	Kiriş ucu					Kesit Değişim Oranları (%)	
		G+Q+E <sub>X</sub> (a)		G+Q+E <sub>X</sub> +E <sub>Z</sub> (b)		(b)-(a) / (a) x 100	
		Kesit Tesiri		Kesit Tesiri			
1-B1	i(0 m)	163	145	163	145	0,0	0,0
	j(6 m)	-160	-335	-160	-335	0,0	0,0
2-B1	i(0 m)	152	127	152	127	0,0	0,1
	j(6 m)	-153	-313	-154	-313	0,0	0,0
3-B1	i(0 m)	136	85	136	85	0,0	0,1
	j(6 m)	-139	-268	-139	-268	0,0	0,0
4-B1	i(0 m)	115	31	115	32	0,0	0,5
	j(6 m)	-121	-213	-121	-213	0,0	0,1
5-B1	i(0 m)	100	-31	100	-31	0,0	-0,3
	j(6 m)	-99	-141	-99	-142	0,0	0,1
				Mak.	1,0	66,4	
				Min.	0,0	-24,2	

Tablo 5.2. Örnek yapı üzerinde kesit değişim oranları – ( Kirişler-y )

Kiriş adı	Kiriş ucu					Kesit Değişim Oranları (%)	
		G+Q+E <sub>Y</sub> (a)		G+Q+E <sub>Y</sub> +E <sub>Z</sub> (b)		(b)-(a) / (a) x 100	
		Kesit Tesiri		Kesit Tesiri			
1-B5	i(0 m)	176	28	176	145	0,0	0,3
	j(8 m)	-171	-386	-171	-335	0,0	0,0
2-B5	i(0 m)	171	22	170	127	0,0	0,6
	j(8 m)	-170	-380	-170	-313	0,0	0,0
3-B5	i(0 m)	161	-16	162	-15	0,0	-1,2
	j(8 m)	-160	-340	-160	-340	0,0	0,1
4-B5	i(0 m)	147	-63	147	-63	0,0	0,4
	j(8 m)	-148	-293	-148	-293	0,0	0,1
5-B5	i(0 m)	139	-123	139	-123	0,0	-0,2
	j(8 m)	-131	-219	-131	-219	0,0	0,1
				Mak.	0,5	1,1	
				Min.	0,0	-18,6	

Tablo 5.3. Örnek yapı üzerinde kesit değişim oranları – ( Kolonlar-x )

								Kesit Değişim Oranları (%)					
Kolon adi	Kolon ucusu	G+Q+E <sub>X</sub> (a)			G+Q+E <sub>X</sub> +E <sub>Z</sub> (b)			(b)-(a) / (a) x 100					
		Kesit Tesiri		Kesit Tesiri									
		P(kN)	V <sub>2</sub> (kN)	M <sub>3</sub> (kNm)	P(kN)	V <sub>2</sub> (kN)	M <sub>3</sub> (kNm)						
1-S1	i(0 m)	-847	113	333	-847	113	333	-0,1	0,0	0,0			
	j(4 m)	-817	113	179	-816	113	179	-0,1	0,0	0,0			
2-S1	i(0 m)	-701	49	54	-701	49	54	-0,1	0,1	0,1			
	j(3 m)	-679	49	186	-678	49	186	-0,1	0,1	0,0			
3-S1	i(0 m)	-551	43	44	-550	43	44	-0,1	0,1	0,1			
	j(3 m)	-528	43	178	-528	43	178	-0,1	0,1	0,0			
4-S1	i(0 m)	-385	25	6	-385	25	6	-0,1	0,2	1,2			
	j(3 m)	-362	25	150	-362	25	150	-0,1	0,2	0,0			
5-S1	i(0 m)	-198	-23	-43	-198	-22	-42	-0,1	-0,4	-0,2			
	j(3 m)	-175	-23	142	-175	-22	142	-0,1	-0,4	0,1			
								Mak.	-0,1	7,7			
								Min.	-11,9	-4,7			
										-15,7			

Tablo 5.4. Örnek yapı üzerinde kesit değişim oranları – ( Kolonlar-y )

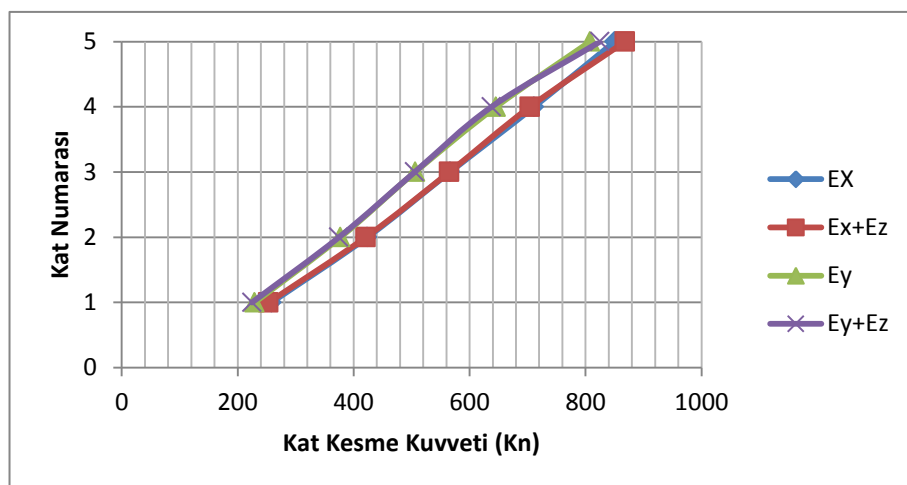
								Kesit Değişim Oranları (%)					
Kolon adi	Kolon ucusu	G+Q+E <sub>Y</sub> (a)			G+Q+E <sub>Y</sub> +E <sub>Z</sub> (b)			(b)-(a) / (a) x 100					
		Kesit Tesiri		Kesit Tesiri									
		P(kN)	V <sub>3</sub> (kN)	M <sub>2</sub> (kNm)	P(kN)	V <sub>3</sub> (kN)	M <sub>2</sub> (kNm)						
1-S1	i(0 m)	-847	113	333	-847	113	333	-0,1	0,0	0,0			
	j(4 m)	-817	113	179	-816	113	179	-0,1	0,0	0,0			
2-S1	i(0 m)	-701	49	54	-701	49	54	-0,1	0,3	0,8			
	j(3 m)	-679	49	186	-678	49	186	-0,1	0,3	0,0			
3-S1	i(0 m)	-551	43	44	-550	43	44	-0,1	0,4	0,1			
	j(3 m)	-528	43	178	-528	43	178	-0,1	0,4	0,0			
4-S1	i(0 m)	-385	25	6	-385	25	6	-0,1	28,0	1,2			
	j(3 m)	-362	25	150	-362	25	150	-0,1	28,0	0,0			
5-S1	i(0 m)	-198	-23	-43	-198	-22	-42	-0,1	-0,2	-0,2			
	j(3 m)	-175	-23	142	-175	-22	142	-0,1	-0,2	0,1			
								Mak.	-0,1	28,0			
								Min.	-11,9	-8,4			
										-3,5			

### 5.2.2. Kat kesme kuvvetleri

TDY 2007'ye göre azaltılmış ivme spektrumunun ürettiği yatay kuvvet, kat hizalarında kat kesme kuvveti olarak yapıya etkir. Elastik deprem yükü azaltma katsayısı, yatay deprem kuvveti için örnek yapı sisteminde 8'e bölündüğünden, düşey spektrumda da aynı azaltma yapılarak, tablo 5.5 de görüldüğü gibi kat kesme kuvvetleri karşılaştırılmıştır. Sayısal değerlerin grafiksel ifadesi şekil 5.3 de gösterilmiştir.

Tablo 5.5. Örnek yapı üzerinde kat kesme kuvvetinin değişim oranları

Kat no	Taban Kesme Kuvveti (kN)				Değişim Oranları (%)	Değişim Oranları (%)
	E <sub>x</sub>	E <sub>x</sub> +E <sub>z</sub>	E <sub>y</sub>	E <sub>y</sub> +E <sub>z</sub>		
1	258	253	229	225	-1,9	-2,0
2	424	421	377	375	-0,7	-0,7
3	566	565	506	505	-0,2	-0,2
4	711	704	646	638	-1,0	-1,2
5	850	868	808	825	2,1	2,1
Toplam	2810	2811	2566	2568		
				Mak.	2,1	2,1
				Min.	-1,9	-2,0



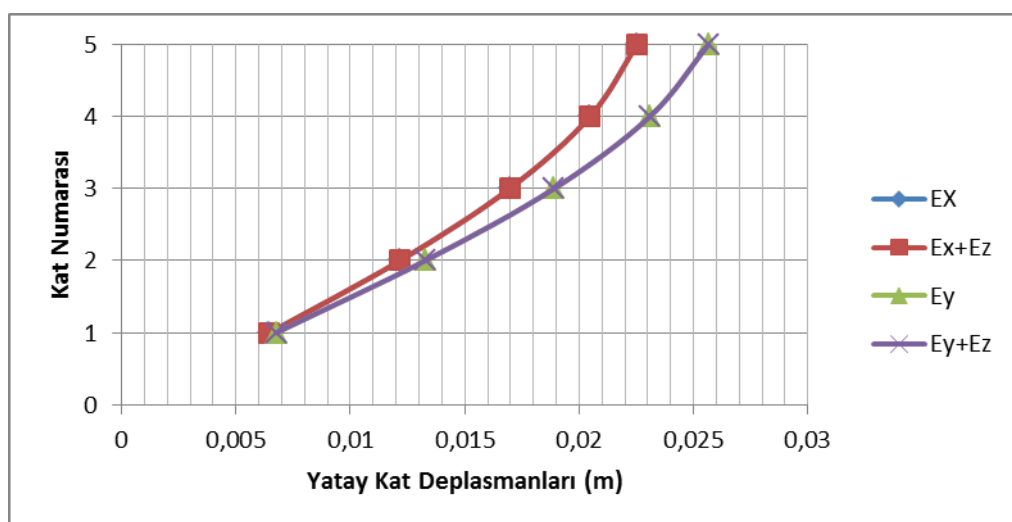
Şekil 5.3. Örnek yapıya ait kat kesme kuvveti değişim grafiği

### 5.2.3. Kat deplasmanları

Yapı tasarımı için en önemli parametrelerden birisi de kat deplasmanlarıdır. Yapıdaki deplasman miktarı iç kuvvetleri önemli ölçüde etkiler. Örnek yapının düşey ivme etkisinin de dahil edilip edilmesiyle oluşan yatay kat deplasmanları sayısal olarak tablo 5.6 da, grafiksel olarak şekil 5.4 de gösterilmiştir.

Tablo 5.6. Örnek yapı üzerinde yatay kat deplasmanları değişim oranları

Kat no	Yatay Kat Deplasmanları (m)				Değişim Oranları (%) $\frac{([(E_x+E_z)-(E_x]) - ((E_x))}{((E_x))} \times 100$	Değişim Oranları (%) $\frac{([(E_y+E_z)-(E_y]) - ((E_y))}{((E_y))} \times 100$		
	Deprem Doğrultusu							
	$E_x$	$E_x+E_z$	$E_y$	$E_y+E_z$				
1	0,006	0,006	0,007	0,007	0,0	0,0		
2	0,012	0,012	0,013	0,013	0,0	0,0		
3	0,017	0,017	0,019	0,019	0,0	0,0		
4	0,02	0,02	0,023	0,023	0,0	0,0		
5	0,023	0,023	0,026	0,026	0,0	0,0		
				Mak.	0,0	0,0		
				Min.	0,0	0,0		



Şekil 5.4. Örnek yapıya ait yatay kat deplasmanları değişim grafiği

### 5.3. Zaman Tanım Alanında Doğrusal Olmayan Analiz Yöntemi İle Örnek Yapı Üzerinde Düsey Deprem Etkisinin İncelenmesi

Bu başlık altında, TDY 2007- Bölüm 2' ye göre tasarlanan yapı, mevcut bina olarak değerlendirilmiştir. 4. bölümde verilmiş olan kayıtlar yapı üzerinde kullanılarak TDY 2007-Bölüm 7' ye göre hasar analizleri yapılarak performans seviyeleri belirlenmiştir.

Zaman tanım alanında analizden önce, düsey yük kombinasyonu yüklemesi sonucu kolonlar için çatlamış kesit rıjiliklerine ait katsayılar hesaplanmıştır. Kirişler için bu katsayı TDY 2007 gereği 0,4 tür.

Tablo 5.7. Taşıyıcı sistem kolonlarına ait çatlamış kesit rıjilikleri

Kolon	$N_D$ [kN]	$A_c$ [m <sup>2</sup> ]	$f_{cm}$ [kN/m <sup>2</sup> ]	$N_D/(A_c * f_{cm})$	$EI_e / EI_0$	Kolon	$N_D$ [kN]	$A_c$ [m <sup>2</sup> ]	$f_{cm}$ [kN/m <sup>2</sup> ]	$N_D/(A_c * f_{cm})$	$EI_e / EI_0$
1-S1	-1033	0,3025	25000	0,14	0,61	3-S11	-997	0,3025	25000	0,13	0,61
1-S2	-1560	0,3025	25000	0,21	0,55	3-S12	-1456	0,3025	25000	0,19	0,57
1-S3	-1562	0,3025	25000	0,21	0,55	3-S13	-1459	0,3025	25000	0,19	0,57
1-S4	-1560	0,3025	25000	0,21	0,55	3-S14	-1456	0,3025	25000	0,19	0,57
1-S5	-1033	0,3025	25000	0,14	0,61	3-S15	-997	0,3025	25000	0,13	0,61
1-S6	-1668	0,3025	25000	0,22	0,54	3-S16	-616	0,3025	25000	0,08	0,40
1-S7	-2437	0,3025	25000	0,32	0,46	3-S17	-931	0,3025	25000	0,12	0,62
1-S8	-2439	0,3025	25000	0,32	0,46	3-S18	-933	0,3025	25000	0,12	0,62
1-S9	-2437	0,3025	25000	0,32	0,46	3-S19	-931	0,3025	25000	0,12	0,62
1-S10	-1668	0,3025	25000	0,22	0,54	3-S20	-616	0,3025	25000	0,08	0,40
1-S11	-1668	0,3025	25000	0,22	0,54	4-S1	-410	0,3025	25000	0,05	0,40
1-S12	-2437	0,3025	25000	0,32	0,46	4-S2	-621	0,3025	25000	0,08	0,40
1-S13	-2439	0,3025	25000	0,32	0,46	4-S3	-621	0,3025	25000	0,08	0,40
1-S14	-2437	0,3025	25000	0,32	0,46	4-S4	-621	0,3025	25000	0,08	0,40
1-S15	-1668	0,3025	25000	0,22	0,54	4-S5	-410	0,3025	25000	0,05	0,40
1-S16	-1033	0,3025	25000	0,14	0,61	4-S6	-665	0,3025	25000	0,09	0,40
1-S17	-1560	0,3025	25000	0,21	0,55	4-S7	-971	0,3025	25000	0,13	0,62
1-S18	-1562	0,3025	25000	0,21	0,55	4-S8	-973	0,3025	25000	0,13	0,62
1-S19	-1560	0,3025	25000	0,21	0,55	4-S9	-971	0,3025	25000	0,13	0,62
1-S20	-1033	0,3025	25000	0,14	0,61	4-S10	-665	0,3025	25000	0,09	0,40
2-S1	-822	0,3025	25000	0,11	0,63	4-S11	-665	0,3025	25000	0,09	0,40
2-S2	-1242	0,3025	25000	0,16	0,59	4-S12	-971	0,3025	25000	0,13	0,62
2-S3	-1244	0,3025	25000	0,16	0,59	4-S13	-973	0,3025	25000	0,13	0,62
2-S4	-1242	0,3025	25000	0,16	0,59	4-S14	-971	0,3025	25000	0,13	0,62
2-S5	-822	0,3025	25000	0,11	0,63	4-S15	-665	0,3025	25000	0,09	0,40
2-S6	-1329	0,3025	25000	0,18	0,58	4-S16	-410	0,3025	25000	0,05	0,40
2-S7	-1941	0,3025	25000	0,26	0,51	4-S17	-621	0,3025	25000	0,08	0,40
2-S8	-1945	0,3025	25000	0,26	0,51	4-S18	-621	0,3025	25000	0,08	0,40
2-S9	-1941	0,3025	25000	0,26	0,51	4-S19	-621	0,3025	25000	0,08	0,40
2-S10	-1329	0,3025	25000	0,18	0,58	4-S20	-410	0,3025	25000	0,05	0,40
2-S11	-1329	0,3025	25000	0,18	0,58	5-S1	-203	0,3025	25000	0,03	0,40
2-S12	-1941	0,3025	25000	0,26	0,51	5-S2	-310	0,3025	25000	0,04	0,40
2-S13	-1945	0,3025	25000	0,26	0,51	5-S3	-309	0,3025	25000	0,04	0,40
2-S14	-1941	0,3025	25000	0,26	0,51	5-S4	-310	0,3025	25000	0,04	0,40
2-S15	-1329	0,3025	25000	0,18	0,58	5-S5	-203	0,3025	25000	0,03	0,40
2-S16	-822	0,3025	25000	0,11	0,63	5-S6	-332	0,3025	25000	0,04	0,40
2-S17	-1242	0,3025	25000	0,16	0,59	5-S7	-488	0,3025	25000	0,06	0,40
2-S18	-1244	0,3025	25000	0,16	0,59	5-S8	-488	0,3025	25000	0,06	0,40
2-S19	-1242	0,3025	25000	0,16	0,59	5-S9	-488	0,3025	25000	0,06	0,40
2-S20	-822	0,3025	25000	0,11	0,63	5-S10	-332	0,3025	25000	0,04	0,40
3-S1	-616	0,3025	25000	0,08	0,40	5-S11	-332	0,3025	25000	0,04	0,40
3-S2	-931	0,3025	25000	0,12	0,62	5-S12	-488	0,3025	25000	0,06	0,40
3-S3	-933	0,3025	25000	0,12	0,62	5-S13	-488	0,3025	25000	0,06	0,40
3-S4	-931	0,3025	25000	0,12	0,62	5-S14	-488	0,3025	25000	0,06	0,40
3-S5	-616	0,3025	25000	0,08	0,40	5-S15	-332	0,3025	25000	0,04	0,40
3-S6	-997	0,3025	25000	0,13	0,61	5-S16	-203	0,3025	25000	0,03	0,40
3-S7	-1456	0,3025	25000	0,19	0,57	5-S17	-310	0,3025	25000	0,04	0,40
3-S8	-1459	0,3025	25000	0,19	0,57	5-S18	-309	0,3025	25000	0,04	0,40
3-S9	-1456	0,3025	25000	0,19	0,57	5-S19	-310	0,3025	25000	0,04	0,40
3-S10	-997	0,3025	25000	0,13	0,61	5-S20	-203	0,3025	25000	0,03	0,40

### 5.3.1. Mevcut yapı malzemelerinin gerilme-birim şekil değiştirme değerleri

TDY 2007 yönetmeliğine göre, mevcut yapı malzemelerinin gerilme-birim şekil değiştirme grafiği aşağıda verilmiştir.



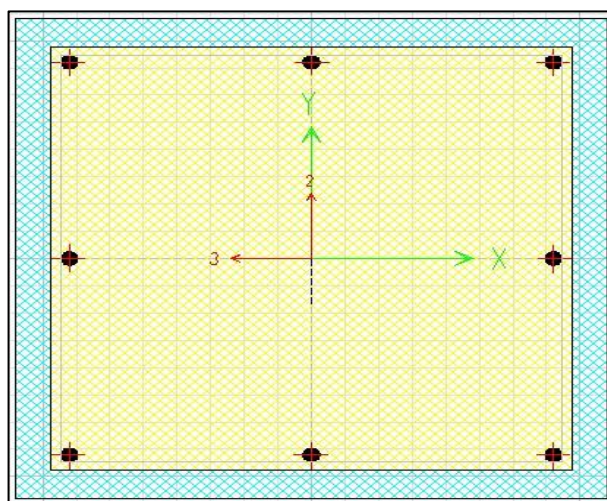
Şekil 5.5. C25 Betonu için gerilme-birim şekil değiştirme grafiği



Şekil 5.6. S420 Çeliği için gerilme-birim şekil değiştirme grafiği

### 5.3.2. Kolon kesit analizleri

Mevcut taşıyıcı sistemde bütün kolonların boyutları 55x55 cm dir. Kolon donatı oranı %1 ( $8\Phi 22$ ) mertebesindedir. Etriyeler, mafsallaşması beklenen sıklaşma bölgesinde  $\Phi 10/10$  cm aralıklla yerleştirilmiştir. Etriyelerin kancalarının  $135^\circ$  kıvrımlı ve TDY2007 de tanımlanan özel deprem etriyeleri olarak düzenlenmiştir. Doğrusal olmayan analizde kullanılmak üzere, Sap2000 programında eksenel yük ve iki eksenli eğilme akma yüzeyleri tanımlanmıştır.



Şekil 5.7. Kolonlar için Sap2000 kesit modeli

Kolonların plastik mafsal boyları, TDY 2007 de tanımlandığı üzere çalışan doğrultudaki kesit yüksekliğinin yarısı olarak göz önüne alınmıştır.

Kolonların kesme kapasiteleri, TS-500 standardına göre elde edilmiştir. TS-500'e göre betonarme elemanların kesme kapasitesi aşağıdaki ifadelere göre hesaplanmaktadır.

$$V_c = 0,52 \times f_{ctm} \times b_w \times d \quad (6.1)$$

$$V_w = (A_{sw}/s) \times f_{yw} \times d \quad (6.2)$$

$$V_r = V_c + V_w \quad (6.3)$$

Kolonlarda  $\Phi 10/10$  aralığında etriye kullanılması durumunda kolon kesme kapasitesi:

$$V_{cx}, V_{cy} = 0,52 \times 1,75 \times 550 \times 525 = 263 \text{ kN}$$

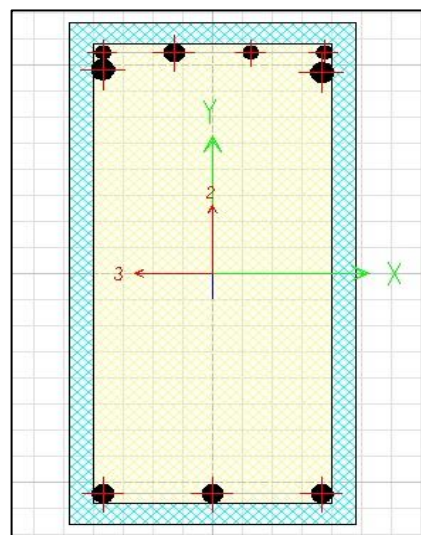
$$V_{wx}, V_{wy} = \frac{3 \times 78}{100} \times 420 \times 525 = 516 \text{ kN}$$

$$V_{rx}, V_{ry} = 263 + 516 = 779 \text{ kN}$$

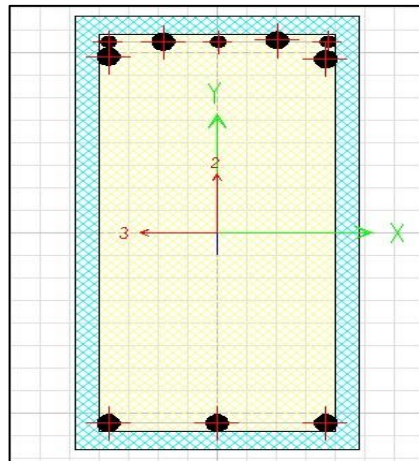
Kolon simetrik donatılı ve etriyeli olduğundan y yönlü kesme kapasitesi, x yönlü kesme kapasitesine eşittir.

### 5.3.3. Kiriş kesit analizleri

Mevcut yapının plan ölçülerinden dolayı kirişler 2 farklı açıklık (6m, 8m) mesafelerine sahiptir. Kiriş donatılmalıdırında bu iki farklı açıklık için iki tip donatılurma yapılmıştır. Mevcut taşıyıcı sistemde bütün kirişlerin boyutları 30x60 cm dir. Tüm kirişlerde etriye aralıkları  $\Phi 10/10$  cm dir. Etriyelerin kancalarının  $135^\circ$  kıvrımlı ve TDY2007 de tanımlanan özel etriyeleri olarak düzenlenmiştir. Doğrusal olmayan analizde kullanılmak üzere, Sap2000 programında moment-eğrilik ilişkisi tanımlanmıştır.



Şekil 5.8. Tipik kiriş kesiti (6m)  
(3Φ16+3Φ24 üst, 3Φ22 alt)



Şekil 5.9. Tipik kiriş kesiti (8m)  
(3Φ16+4Φ24 üst, 3Φ24 alt)

Kirişlerin kesme kapasiteleri, TS-500 standardına göre elde edilmiştir. TS-500'e göre betonarme elemanların kesme kapasitesi aşağıdaki ifadelere göre hesaplanmaktadır.

Kirişlerde  $\Phi 10/10$  aralığında etriye kullanılması durumunda kolon kesme kapasitesi:

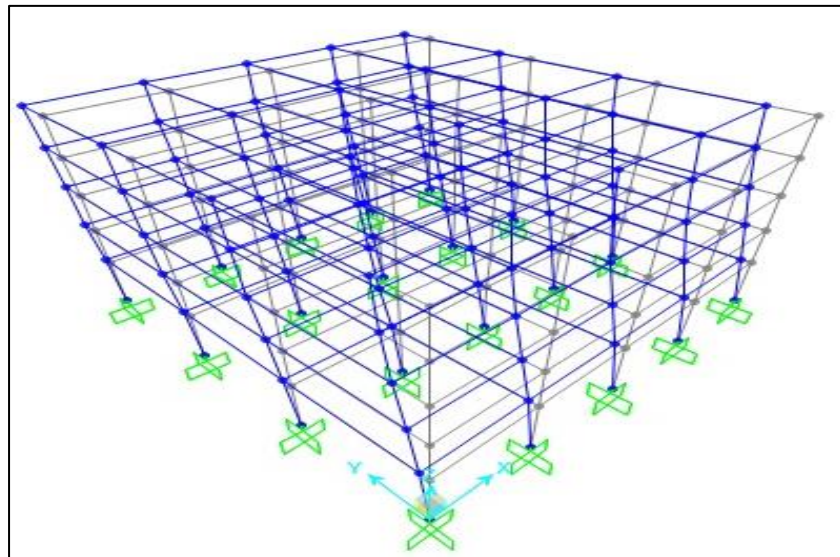
$$V_c = 0,52 \times 1,75 \times 300 \times 575 = 157 \text{ kN}$$

$$V_w = \frac{3 \times 78}{100} \times 420 \times 575 = 565 \text{ kN}$$

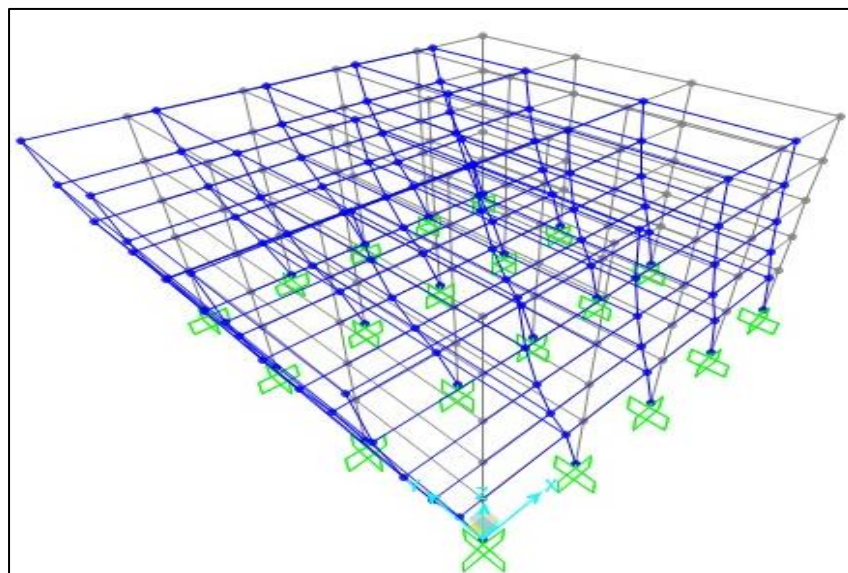
$V_r = 157 + 565 = 722 \text{ kN}$ , olarak hesaplanmıştır.

#### 5.3.4. Modal analiz sonuçları

Mevcut yapı elemanlarının çatlamış kesit rıjilikleriyle uyumlu modal analiz sonuçları, mod periyot değerleri ve modal kütle katılım oranları aşağıda verilmiştir.



Şekil 5.10. Mevcut yapının y yönündeki hakim modu (Mod 1)



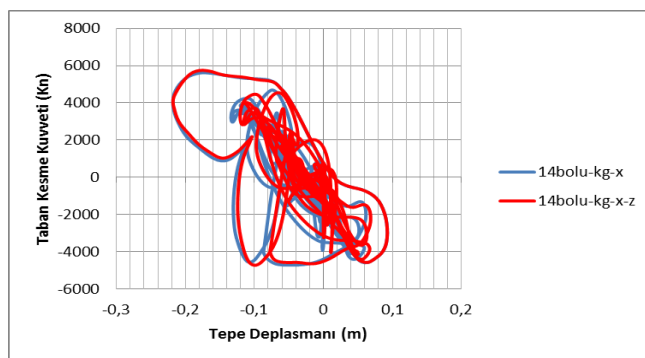
Şekil 5.11. Mevcut yapının x yönündeki hakim modu (Mod 2)

Tablo 5.8. Mevcut binanın kütle katılım oranları

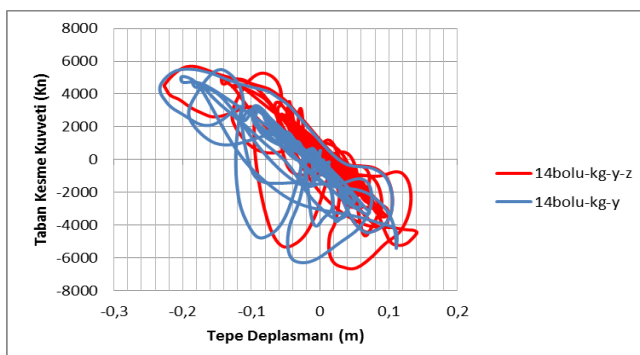
Analiz türü	Mod	Periyot	UX	UY	UZ
		$S_n$			
MODAL	1	1,458	0,00	0,85	0,00
MODAL	2	1,304	0,87	0,00	0,00
MODAL	3	1,206	0,00	0,00	0,00
MODAL	4	0,440	0,00	0,10	0,00
MODAL	5	0,403	0,09	0,00	0,00

### 5.3.5. Taban kesme kuvveti – tepe deplasmanı sonuçları

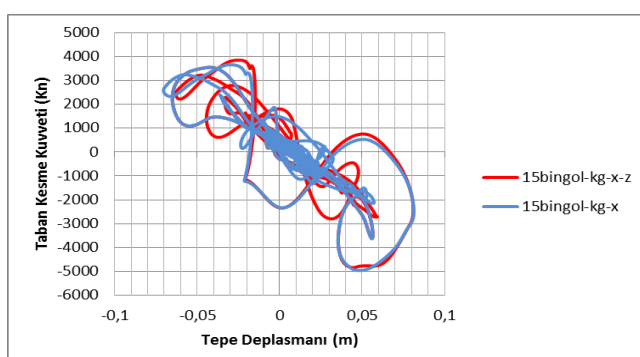
Mevcut yapının değişik deprem hareketleri sonucu oluşan taban kesme kuvveti ve tepe deplasmanı eğrileri aşağıda gösterilmiştir.



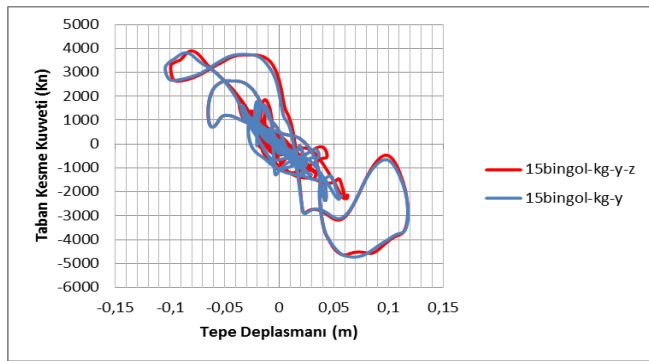
Şekil 5.12. Taban kesme kuvveti- tepe deplasmanı eğrisi (14bolu-kg-x, 14bolu-kg-x-z)



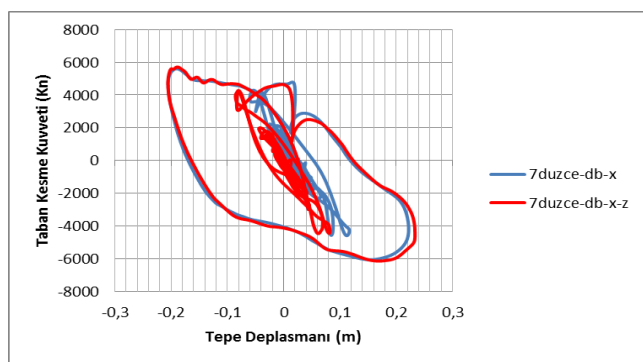
Şekil 5.13. Taban kesme kuvveti- tepe deplasmanı eğrisi (14bolu-kg-y, 14bolu-kg-y-z)



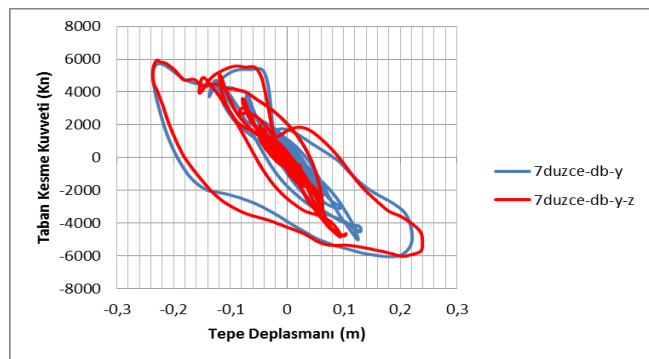
Şekil 5.14. Taban kesme kuvveti- tepe deplasmanı eğrisi (15bingöl-kg-x, 15bingöl-kg-x-z)



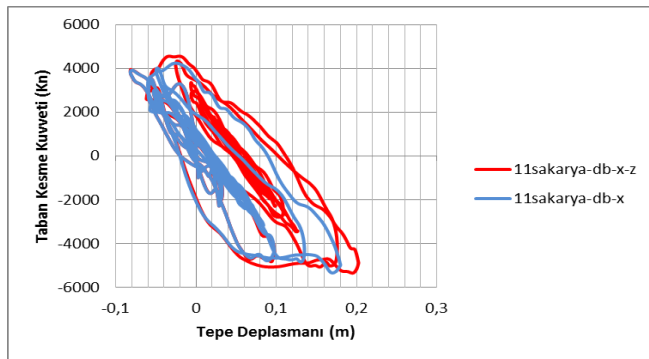
Şekil 5.15. Taban kesme kuvveti- tepe deplasmani eğrisi (15bingöl-kg-y, 15bingöl-kg-y-z)



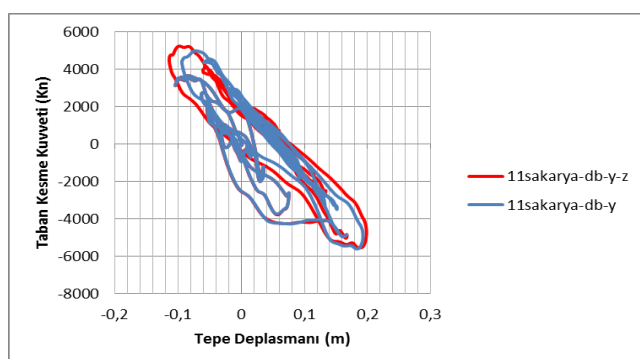
Şekil 5.16. Taban kesme kuvveti- tepe deplasmani eğrisi (7düzce-db-x, 7düzce-db-x-z)



Şekil 5.17. Taban kesme kuvveti- tepe deplasmani eğrisi (7düzce-db-y, 7düzce-db-y-z)



Şekil 5.18. Taban kesme kuvveti- tepe deplasmanı eğrisi (11sakarya-db-x, 11sakarya-db-x-z)



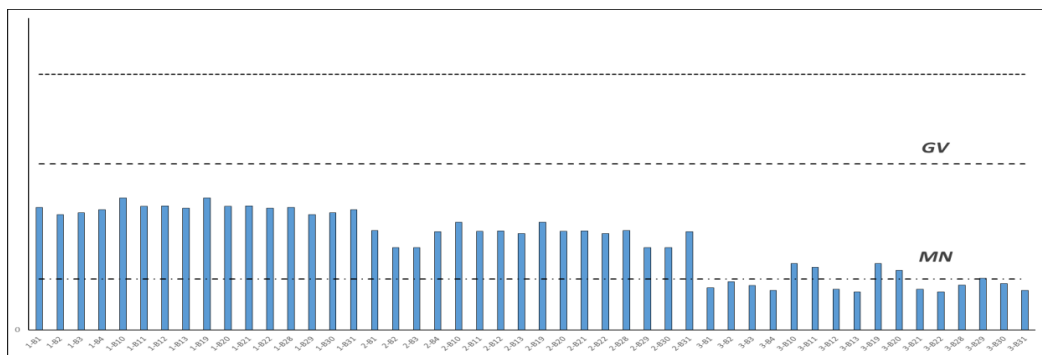
Şekil 5.19. Taban kesme kuvveti- tepe deplasmanı eğrisi (11sakarya-db-y, 11sakarya-db-y-z)

### 5.3.6. Kiriş hasar sonuçları

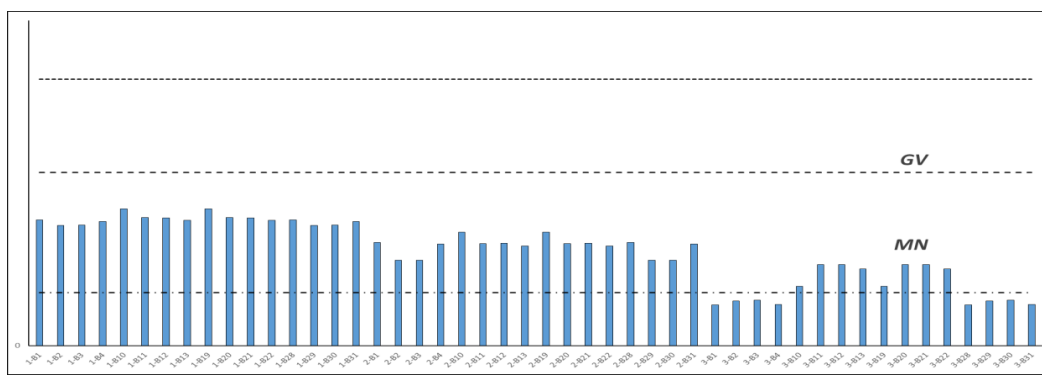
Mevcut yapıdaki kırışların deprem etkisi altındaki hasar seviyeleri belirlenmiştir. Listenin uzun olması sebebiyle örnek iki deprem etkisi altındaki hasar grafiği verilmiştir. Tüm depremlere ait detaylı kiriş hasar sonuçları Ek-D bölümünde verilmiştir. Hiç hasar almayan kırışlar dağılımda gösterilmemiştir. Tüm depremlere ait kiriş hasar sonuçları tablo 5.9 da gösterilmiştir.

Tablo 5.9. Kiriş hasar sonuçları

KAT NO	7-DÜZCE									
	YATAY (X)					YATAYDUSEY (X+Z)				
	HASARSIZ	MHB	BHB	İHB	GB	HASARSIZ	MHB	BHB	İHB	GB
1.KAT			16					16		
2.KAT			16					16		
3.KAT		12	4				10	6		
4.KAT	16					16				
5.KAT	16					16				
KAT NO	7-DÜZCE									
	YATAY (Y)					YATAYDUSEY (Y+Z)				
	HASARSIZ	MHB	BHB	İHB	GB	HASARSIZ	MHB	BHB	İHB	GB
1.KAT			15					9	6	
2.KAT		15						15		
3.KAT		15						15		
4.KAT	6	9				1	14			
5.KAT	16					16				
KAT NO	11-SAKARYA									
	YATAY (X)					YATAYDUSEY (X+Z)				
	HASARSIZ	MHB	BHB	İHB	GB	HASARSIZ	MHB	BHB	İHB	GB
1.KAT			16					16		
2.KAT			16					16		
3.KAT		16					16			
4.KAT	16					13	3			
5.KAT	16					16				
KAT NO	11-SAKARYA									
	YATAY (Y)					YATAYDUSEY (Y+Z)				
	HASARSIZ	MHB	BHB	İHB	GB	HASARSIZ	MHB	BHB	İHB	GB
1.KAT			15					15		
2.KAT			15					15		
3.KAT		6	9				6	9		
4.KAT	5	10				1	14			
5.KAT	15					15				
KAT NO	14-BOLU									
	YATAY (X)					YATAYDUSEY (X+Z)				
	HASARSIZ	MHB	BHB	İHB	GB	HASARSIZ	MHB	BHB	İHB	GB
1.KAT			16					16		
2.KAT			16					16		
3.KAT		11	5				8	8		
4.KAT	16					16				
5.KAT	16					16				
KAT NO	14-BOLU									
	YATAY (Y)					YATAYDUSEY (Y+Z)				
	HASARSIZ	MHB	BHB	İHB	GB	HASARSIZ	MHB	BHB	İHB	GB
1.KAT			15					15		
2.KAT			15					15		
3.KAT			15					15		
4.KAT	1	14				1	15			
5.KAT	15					15				
KAT NO	15-BİNGÖL									
	YATAY (X)					YATAYDUSEY (X+Z)				
	HASARSIZ	MHB	BHB	İHB	GB	HASARSIZ	MHB	BHB	İHB	GB
1.KAT		16						16		
2.KAT	12	4				12	4			
3.KAT	8	8				8	8			
4.KAT	16					16				
5.KAT	16					16				
KAT NO	15-BİNGÖL									
	YATAY (Y)					YATAYDUSEY (Y+Z)				
	HASARSIZ	MHB	BHB	İHB	GB	HASARSIZ	MHB	BHB	İHB	GB
1.KAT		11	4				15			
2.KAT		15					15			
3.KAT		15					15			
4.KAT	15					12	3			
5.KAT	15					15				



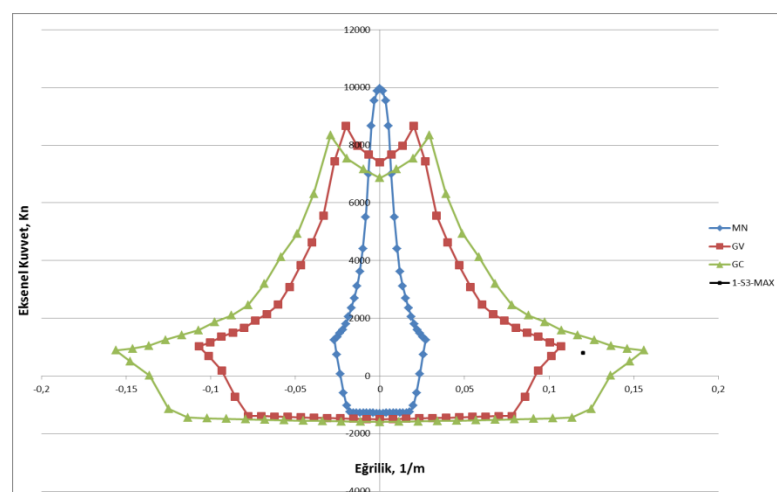
Şekil 5.20. Kiriş hasar dağılımı (14bolu-kg-x)



Şekil 5.21. Kiriş hasar dağılımı (14bolu-kg-x-z)

### 5.3.7. Kolon hasar sonuçları

Mevcut taşıyıcı sisteme tüm kolonlar aynı olduğundan örnek olarak bir deprem analizinden elde edilen sonuç gösterilmiştir. Tüm depremlere ait detaylı kolon hasar sonuçları Ek-C bölümünde verilmiştir.



Şekil 5.22. 1-S3 kolonu (15bingöl-kg-y-z)

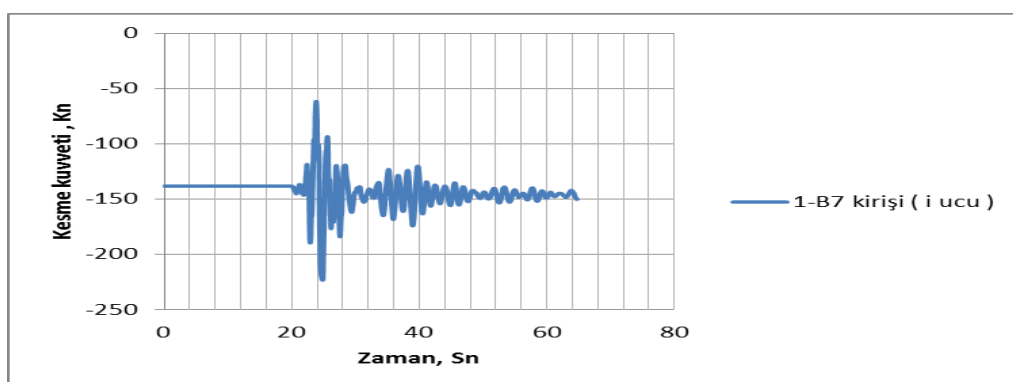
Tüm depremlere ait kolon hasar sonuçları tablo 5.10 da gösterilmiştir.

Tablo 5.10. Kolon hasar sonuçları

KAT NO	7-DÜZCE									
	YATAY (X)				YATAYDUSEY (X+Z)					
	HASARSIZ	MHB	BHB	İHB	GB	HASARSIZ	MHB	BHB	İHB	GB
1.KAT			10	9	1			2	8	10
2.KAT		20					20			
3.KAT		14		3	3		6	10		4
4.KAT	8	9	3			5	6	8		
5.KAT	15	5				14	6			
KAT NO	7-DÜZCE									
	YATAY (Y)				YATAYDUSEY (Y+Z)					
	HASARSIZ	MHB	BHB	İHB	GB	HASARSIZ	MHB	BHB	İHB	GB
1.KAT			4	4	12			2	9	9
2.KAT		19	1				20			
3.KAT		12	4	1	3		9	7	1	3
4.KAT	10	7	3			10	7	3		
5.KAT	15	5				5	15			
KAT NO	11-SAKARYA									
	YATAY (X)				YATAYDUSEY (X+Z)					
	HASARSIZ	MHB	BHB	İHB	GB	HASARSIZ	MHB	BHB	İHB	GB
1.KAT			8		12			4	2	14
2.KAT	6	14				6	14			
3.KAT	8	12				1	17	1		
4.KAT	16	4				8	12			
5.KAT	20					20				
KAT NO	11-SAKARYA									
	YATAY (Y)				YATAYDUSEY (Y+Z)					
	HASARSIZ	MHB	BHB	İHB	GB	HASARSIZ	MHB	BHB	İHB	GB
1.KAT			13	6	1			2	5	13
2.KAT	9	11				6	14			
3.KAT	9	11				10	10			
4.KAT	13	7				10	10			
5.KAT	20					20				
KAT NO	14-BOLU									
	YATAY (X)				YATAYDUSEY (X+Z)					
	HASARSIZ	MHB	BHB	İHB	GB	HASARSIZ	MHB	BHB	İHB	GB
1.KAT			5	1	14			3	9	8
2.KAT	2	18				4	14	2		
3.KAT		8					8			12
4.KAT	6	2	8	2	2	8	0	12		
5.KAT	14	6				14	6			
KAT NO	14-BOLU									
	YATAY (Y)				YATAYDUSEY (Y+Z)					
	HASARSIZ	MHB	BHB	İHB	GB	HASARSIZ	MHB	BHB	İHB	GB
1.KAT				1	19			2	3	15
2.KAT	5	15				4	14	2		
3.KAT		19				1	14	2		3
4.KAT	3	15				2	3	13	3	1
5.KAT	5	15				5	15			
KAT NO	15-BINGÖL									
	YATAY (X)				YATAYDUSEY (X+Z)					
	HASARSIZ	MHB	BHB	İHB	GB	HASARSIZ	MHB	BHB	İHB	GB
1.KAT		8					14			6
2.KAT	18	2				20				
3.KAT	20					20				
4.KAT	20					20				
5.KAT	20					20				
KAT NO	15-BINGÖL									
	YATAY (Y)				YATAYDUSEY (Y+Z)					
	HASARSIZ	MHB	BHB	İHB	GB	HASARSIZ	MHB	BHB	İHB	GB
1.KAT			11	1	8			12	2	6
2.KAT	19	1				19	1			
3.KAT	20					20				
4.KAT	20					20				
5.KAT	20					20				

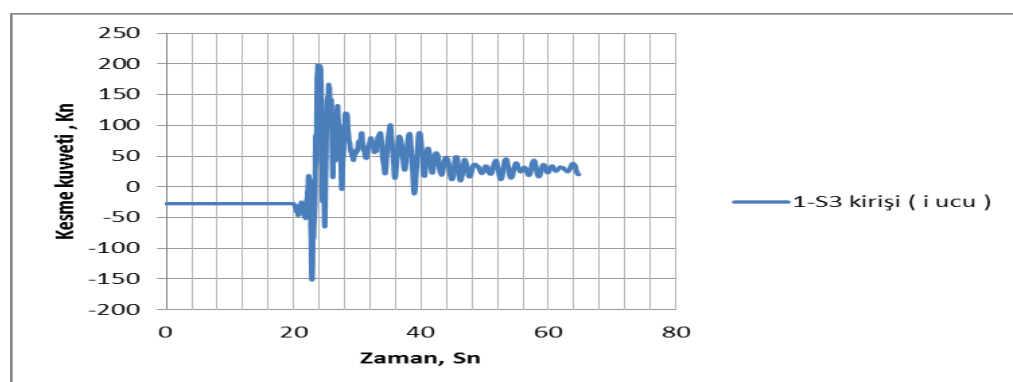
### 5.3.8. Kolon ve kiriş elemanları için kesme kuvveti tahkiki

Yapı performansında gözönüne alınan eğilmeye göre tasarım hesaplarının geçerliliğinin sağlıklı olabilmesi için elemanların kesme hasarıyla göçmemesi gerekmektedir. Bölüm 5.3.2 ve bölüm 5.3.3 e göre hesaplanmış olan kesme kuvveti kapasiteleri mevcut elemanlarda deprem sonrası oluşan kesme kuvvetleriyle karşılaştırılmıştır. Eleman sayısının fazla olması sebebiyle bir kolon ve bir kiriş için kesit tahkiki yapılacaktır.



Şekil 5.23. 1-B7 Kirişine ait kesme kuvveti-zaman grafiği (15bingöl-kg-y-z)

Şekil 5.23 de görüldüğü üzere, kiriş üzerindeki maksimum kesme kuvveti 223 kN dur. Kiriş kesme kapasitesi  $223 < 722$  kN olduğundan kirişin davranışını gösteren etki eğilme etkisidir.

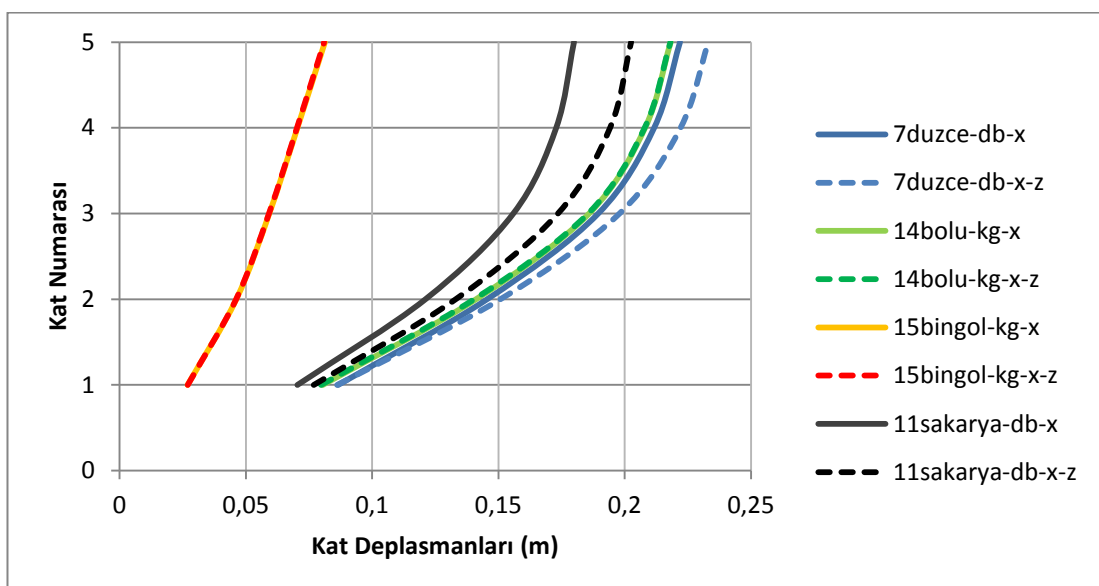


Şekil 5.24. 1-S3 Kolonuna ait kesme kuvveti-zaman grafiği (15bingöl-kg-y-z)

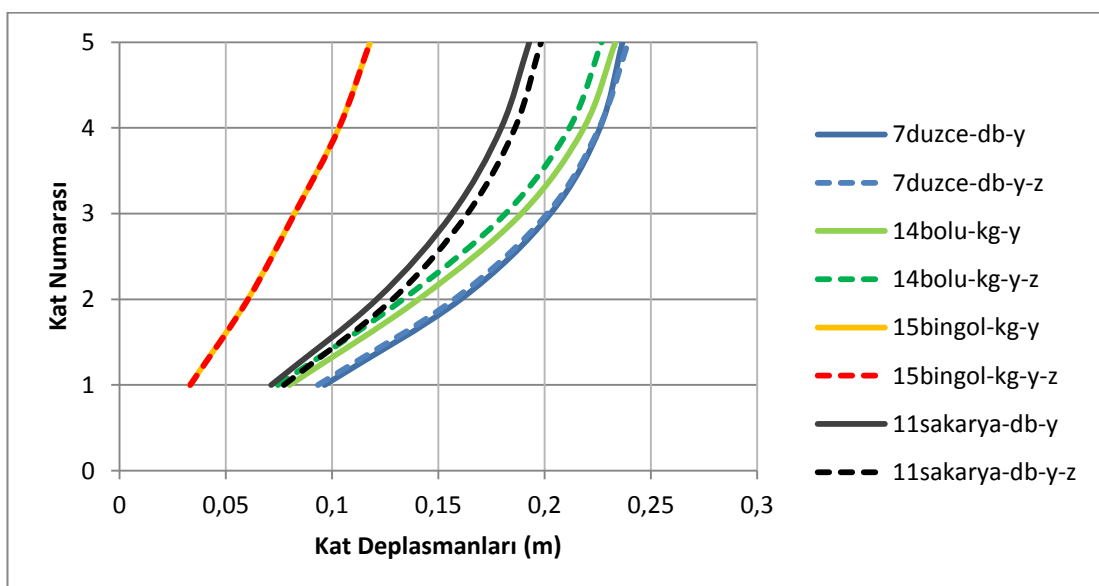
Şekil 5.24 de görüldüğü üzere, kolon üzerindeki maksimum kesme kuvveti 198 kN dur. Kolon kesme kapasitesi  $198 < 779$  kN olduğundan kolonun davranışını gösteren etki eğilme etkisidir.

### 5.3.9. Kat deplasmanları

Mevcut deprem yükleri altında katlarda oluşan deplasmanlar Şekil 5.25 ve şekil 5.26 da gösterilmiştir.



Şekil 5.25. X yönü kat deplasmanları



Şekil 5.26. Y yönü kat deplasmanları

## **6. SONUÇLAR VE ÖNERİLER**

Bu tez çalışması kapsamında betonarme bina türü yapıların tasarımında kullanılan TDY-2007 yönetmeliğinin öngördüğü yatay deprem analizlerine ilaveten düşey deprem etkisi de göz önüne alınarak incelenmiştir. Betonarme yapı, önce TDY2007-Bölüm 2 ye göre yeni bina olarak yatay yüze göre tasarlanmıştır. Daha sonra üretilen düşey ivme tepki spektrumu da eklenerek sonuçlar kıyaslanmıştır.

Buna ek olarak, yeni tasarlanan yapı, mevcut yapı olarak düşünülmüş ve TDY 2007-Bölüm 7 kurallarına göre zaman tanım alanında doğrusal olmayan analiz yöntemi ile performans seviyesi karşılaştırılmıştır. Öncelikle yalnız yatay deprem kayıtları kullanılmış, daha sonra üretilen düşey spektruma göre ölçeklenen düşey kayıtlar da ilave edilerek performans seviyesi karşılaştırılmıştır.

Yukarıda bahsedilen ve tez çalışması kapsamında TDY 2007 yönetmeliğine göre yapılan analizler ile elde edilen sonuçlar aşağıda özetlenmiştir;

- Spektral analizler sonucunda, tipik ve düzgün geometrili konut yapılarında düşey spektral depremin çok fazla etkili olmadığı görülmüştür. TDY 2007 içerisinde verilen yatay deprem spektrumları ile yapı analizi yapmak yeterli görülebilir. Fakat açıklığı fazla olan, planda ve düşeyde düzensizliği olan yapı tiplerinde düşey deprem spektrumlarının ayrıca incelenmesinde fayda olacağı düşünülmektedir.
- Deprem analizlerinde kullanılan kayıtların içerisindeki farklı parametrelere göre düşey deprem etkisi ayırtılamamıştır, buna sebep olarak deprem kayıtlarının azlığı gösterilebilir. Deprem kayıtlarının ve kayıt kalitesinin artmasıyla yapılar için daha doğru analizler yapılabilir.
- Ülkemizdeki kayıtların geneline bakıldığı zaman, güncel diğer yönetmeliklerin genelinde kabul edilen yatay bileşeninin 2/3 katı olan düşey ivme bileşeni değerleri kabul edilebilir.
- TDY 2007 Bölüm 7'ye göre yapılan performans analizlerinde düşey deprem kayıtlarının özellikle kolonlar için ek normal kuvvet getirdiği görülmektedir. Güncel yönetmeliklerde kolon ve perde elemanlarının normal kuvvet sınırları

elemanın sünek davranışabilmesi için oldukça küçük tutulmaktadır. Yapılan tez çalışmasında da bu normal kuvvet artışı altında elemanların hasar görebileceği görülmüştür. Bu sonuçlardan yola çıkılarak, yeni tasarlanan yapıların kolon boyutları düşey deprem ve ikinci mertebe etkileri düşünülerek normal kuvvet sınırları uygun seçilmelidir.

-Düşey ivmenin yatay kat deplasmanları ve taban kesme kuvveti üzerinde belirgin bir değişiklik yapmadığı gözlemlenmiştir.

-Yapı modellemesinde kabul gören rijit diyafram ve zemin kat kolonlarının temele ankastre olarak bağlanması, taşıyıcı sistemde perde bulundurulması gibi durumlar ele alınarak mevcut sonuçlarla karşılaştırılması başka bir araştırmnanın konusu olabilir.

## KAYNAKLAR

- Abrahamson N. A., Litehiser J. J., Attenuation of vertical peak acceleration, *Bulletin of the Seismological Society of America*, 1989, **79**, 549-580.
- Abrahamson N. A., Silva, W. J., Empirical response spectral attenuation relations for shallow crustal earthquakes, *Seismological Research Letters*, 1997, **68**, 94-127.
- Ambraseys N. N., The prediction of earthquake peak ground acceleration in Europe, *Earthquake Engineering and Structural Dynamics*, 1995, **24**, 467-490.
- Ansary M. H., Yamazaki F., Behavior of horizontal and vertical SV at JMA sites, Japan, *Journal of Geotechnical and Geoenvironmental Engineering*, 1998, **124**, 606-616.
- ASCE 7-10, Minimum Design Loads for Buildings and Other Structures, American Society of Civil Engineers, U.S.A, 2010.
- Beyen K., İleri Deprem Mühendisliği, Ders Notları, Kocaeli Üniversitesi, Fen Bilimleri Enstitüsü, Kocaeli, 2011.
- Bozorgnia Y., Niazi M., Distance scaling of vertical and horizontal response spectra of the Loma Prieta earthquake, *Earthquake Engineering and Structural Dynamics*, 1993, **22**, 695-707.
- Bozorgnia Y., Campbell K. W., The Vertical to Horizontal Response Spectral Ratio and Tentative Procedures for Developing Simplified V/H and Vertical Design Spectra, *Journal of Earthquake Engineering*, 2003, **2**, 175-207.
- Bozorgnia Y., Niazi M., Campbell K. W., Characteristics of free-field vertical ground motion during the Northridge earthquake, *Earthquake Spectra*, 1995, **11**, 515-525.
- Bozorgnia Y., Niazi M., Campbell K. W., Relationship between vertical and horizontal ground motion for the Northridge earthquake, *Eleventh World Conference on Earthquake Engineering*, Acapulco, Mexico, 23-28 June 1996.
- Elnashai A. S., Papazoglou A. J., Procedure and spectra for analysis of RC structures subjected to strong vertical earthquake loads, *Journal of Earthquake Engineering*, 1997, **1**, 121-155.
- Elnashai A. S., Seismic design with vertical earthquake motion, *Seismic Design Methodologies for the Next Generation of Codes*, Bled, Slovenia, 23-27 June 1997.

EUROCODE 8, Design of structures for earthquake resistance, Brussels, 1998.

Fahjan M. Y., Özdemir Z., Gerçek Deprem Kayıtlarının Tasarım Spektrumlarına Uygun Olarak Zaman ve Frekans Tanım Alanlarında Ölçeklenme Yöntemlerinin Karşılaştırılması, *Altıncı Ulusal Deprem Mühendisliği Konferansı*, İstanbul, Türkiye, 16-20 Ekim 2007.

Fahjan M.Y. , Vatansever S., Özdemir Z., Ölçeklenmiş Gerçek Deprem Kayıtları İle Yapıların Doğrusal Ve Doğrusal Olmayan Dinamik Analizleri, *1. Türkiye Deprem Mühendisliği ve Sismoloji Konferansı*, Ankara, Türkiye, 11-14 Ekim 2011.

FEMA P-751, NEHRP Recommended Seismic Provisions Design Examples, Federal Emergency Management Agency, U.S.A, 2012.

Friedland I., Power M., Mayes R., Proceedings of the FHWA/NCEER Workshop on the National Representation of Seismic Ground Motion for New and Existing Highway Facilities, *National Center for Earthquake Engineering Research*, NCEER-97-0010, 1-452, 1997.

Hongliu X., Jixin L., Jun H., Yingmin L., Yuntian W., Study on Seismic Behavior of Frame Structures Considering Effects of Vertical Earthquake Motion, *15th World Conference on Earthquake Engineering*, Lisbon, Portugal, 24-28 September 2012.

IS 1893, Indian Standard Criteria for Earthquake Resistant Design of Structures, Bureau of Indian Standards, New Delhi, 2000.

Kadid A., Yahiaoui D., Chebili R., Behaviour of Reinforced Concrete Buildings Under Simultaneous Horizontal And Vertical Ground Motions, *Asian Journal of Civil Engineering (Building and Housing)*, 2010, **4**, 463-476.

Kalkan E., Graizer V., Multi-Component Ground Motion Response Spectra for Coupled Horizontal, Vertical, Angular Accelerations and Tilt, *ISET Journal of Earthquake Technology*, 2007, **44**, 259-284.

Kunnath S., Abrahamson N., Chai Y.H., Erduran E., Yilmaz Z., Development of Guidelines for Incorporation of Vertical Ground Motion Effects in Seismic Design of Highway Bridges, *California Department of Transportation*, CA/UCD-SESM-08-01, 1-120, 2008.

Lachet C., Bouchon M., Theodoulidis N., and Bard P-Y., Horizontal to vertical spectral ratio and geological conditions, *Tenth European Conference on Earthquake Engineering*, Vienna, Austria, 28 August-2 September 1994.

Lawson J., Reflections on the effect of vertical seismic acceleration, *PCI Journal*, 1994, **39**, 40-41.

Malhotra K.P., Smooth Spectra of Horizontal and Vertical Ground Motions, *Bulletin of the Seismological Society of America*, 2006, **2**, 506-518.

MATLAB R2009b, the MathWorks Inc., Natick, MA, 2009.

Niazi M., Bozorgnia Y., Behavior of near-source peak vertical and horizontal ground motions over SMART-1 array Taiwan, *Bulletin of the Seismological Society of America*, 1991, **81**, 715-732.

Niazi M., Bozorgnia Y., Behavior of near-source vertical and horizontal response spectra at SMART-1 array, Taiwan, *Earthquake Engineering and Structural Dynamics*, 1992, **21**, 37-50.

Niazi M., Bozorgnia Y., Behavior of vertical ground motion parameters in the near-field, *Seismological Research Letters*, 1989, **60**, 4.

Niazi M., Bozorgnia Y., Observed ratios of PGV/PGA and PGD/PGA for deep soil sites across SMART-1 array, Taiwan, *Fourth US National Conference on Earthquake Engineering*, California, U.S.A, 20-24 May 1990.

NZS1170.5., Structural Design Actions Part 5: Earthquake Actions – New Zealand, Standards New Zealand, 2004.

Ohno S., Konno T., Abe K., Masao T., Iizuka S., Uebayashi H., Ground motions for aseismic design, *Eleventh World Conference on Earthquake Engineering*, Acapulco, Mexico, 23-28 June 1996.

Özer E., Yapı Sistemlerinin Lineer Olmayan Analizi, Ders Notları, İstanbul, 2007.

Papazoglou A. J., Elnashai A. S., Analytical and Field Evidence of the Damaging Effect of Vertical Earthquake Ground Motion, *Earthquake Engineering and Structural Dynamics*, 1996, **25**, 1109-1137.

Rahai A., Effect of Earthquake Vertical Motion On Rc Bridge Piers, *13th World Conference on Earthquake Engineering*, Vancouver, Canada, 1-6 August 2004.

Sabetta F., Pugliese A., Estimation of response spectra and simulation of nonstationary earthquake ground motions, *Bulletin of the Seismological Society of America*, 1996, **86**, 337-352.

Sadigh K., Chang C. Y., Abrahamson N. A., Chiou S. J. , Power M. S., Specification of long-period ground motions: Updated attenuation relationships for rock site conditions and adjustment factors for near-fault effects, *Seminar on Seismic Isolation, Passive Energy Dissipation, and Active Control*, California, U.S.A, 11-12 March 1993.

SAP2000 15.2.1, “Computers and Structures”, Inc. Berkeley, California, U.S.A, 2000.

TDY 2007, Türk Deprem Yönetmeliği, T.C. Bayındırlık ve İskan Bakanlığı, Ankara, 2007.

Trifunac M. D., Lee V. W., A note on scaling peak acceleration, velocity and displacement of strong earthquake shaking by Modified Mercalli Intensity (MMI) and site soil and geologic conditions, *Soil Dynamics and Earthquake Engineering*, 1992, **11**, 101-110.

Trifunac M. D., Lee V. W., Empirical models for scaling pseudo relative velocity spectra of strong earthquake accelerations in terms of magnitude, distance, site intensity and recording site conditions, *Soil Dynamics and Earthquake Engineering*, 1989, **8**, 126-144.

TS498, Yapı Elemanlarının Boyutlandırılmasında Alınacak Yüklerin Hesap Değerleri, Türk Standartları Enstitüsü, ICS 91.040, 1997.

TS500, Betonarme Yapıların Tasarım ve Yapım Kuralları, *Türk Standartları Enstitüsü*, ICS91.080.40, 2000.

UBC, Uniform Building Code, 1997, U.S.A.

URL-1: <http://kyh.deprem.gov.tr/ftpt.htm> (Ziyaret tarihi: 4 Kasım 2013)

Watabe M., Tohido M., Chiba O., Fukuzawa R., Peak accelerations and response spectra of vertical strong motions from near-field records in USA, *Eighth Japan Earthquake Engineering Symposium*, Tokyo, Japan, 12-14 December 1990.

**EKLER**

## EK-A

### SPEKTRAL ANALİZ İÇİN MATLAB PROGRAM YAZILIMI

```
%Read data, baseline correction and bandpass filter
close all
clear all
clc
%=====
% Read record file with One column data (NS direction)
format short
dt=0.005;
dataall= importdata('7-19990817-duzce.txt');% Read file
dataNS=dataall(:,3);
dataNS=dataNS*(1/980);
data1NS=detrend(dataNS);
t=(0.0:dt:dt*(length(data1NS)-1))';
%Bandpass filtering of data
filterorder=4;
fc=[.05 50];
[B3,A3]=butter(filterorder,fc/(1/dt));
accNS=filtfilt(B3,A3,data1NS);
figure(1)
%=====
% Input System Parameters
ksi=0.05; % Damping Ratio
T=[0.05:0.05:3.0]; % Select System Natural Period Range
%=====
% Loop to compute the Time history response for each Period
for j=1:length(T),
    Tn=T(j);
    m=1.0; % System Mass
    wn=2*pi/Tn; % System Circulra Frequency
    k=wn*wn*m; % System Stiffness computed from mass & Natural Period
    c=2*m*ksi*wn; % Damping Coefficent
    p=-m*accNS;
    %=====
    % Numerical Solution Using Newmark Average Method
    % intial condition
    u(1)=0; % Displacement at i=1
    v(1)=0; % Veloicity at i=1
    a(1)=0; % Acceleration at i=1
    % Recursive Relationship
    for i=1:length(t)-1,
        u(i+1)=1/(4*m/dt^2+2*c/dt+k)*(p(i+1)+m/dt^2*(4*u(i)+4*v(i)*dt+a(i)*dt^2)+c/dt*(2*u(i)+v(i)*dt)); % Displcament for step i+1
        v(i+1)=-v(i)+2/dt*(u(i+1)-u(i)); % Velocity for step i+1
        a(i+1)=4/dt^2*(u(i+1)-u(i)-v(i)*dt-a(i)*dt^2/4); % Acceleration for step i+1
    end
end
```

```

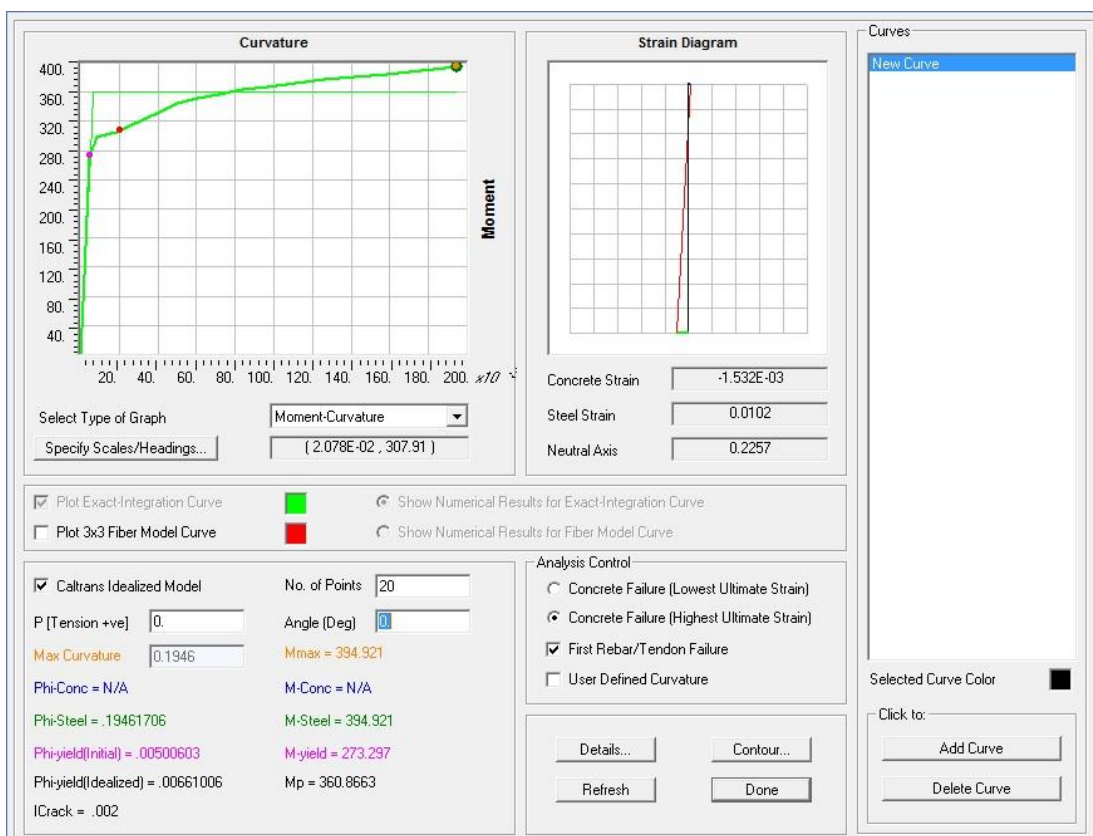
% Calculate maximum Displcament, Velocity & Acceleration
% For each system (T) to find SD,SV,SA
Sd(j)=max(abs(u));
Sv(j)=max(abs(v));
Sa(j)=max(abs(a));
% Compute Pseudo Velocity and Acceleration (PSV,PSA) from SD
PSv(j)=wn*Sd(j);
PSa(j)=wn^2*Sd(j);
% Online Plot for Reponse Spectra
figure(1)
[umax,imax]=max(abs(u));
subplot(4,1,1);plot(t,accNS),xlabel('time'),ylabel('Input Ground Motion
Acceleration');
title(['T=' num2str(Tn)]);
subplot(4,2,3);plot(t,u,'b-',dt*imax,u(imax),'ro'),xlabel('time'),ylabel('Displacement
Response');grid on
subplot(4,2,5);plot(t,v,'b-'),xlabel('time'),ylabel('Velocity Response');grid on
subplot(4,2,7);plot(t,a,'b-'),xlabel('time'),ylabel('Acceleration Response');grid on
subplot(4,2,4);plot(T(1:j),Sd(1:j),'b-
',T(j),Sd(j),'ro'),xlabel('Period'),ylabel('Displacement response Spectra (SD)');axis([0
max(T) 0 max(Sd)]);grid on
subplot(4,2,6);plot(T(1:j),Sv(1:j),'b-
',T(j),Sv(j),'ro'),xlabel('Period'),ylabel('Velocity response Spectra (SV)');axis([0
max(T) 0 max(Sv)]);grid on
subplot(4,2,8);plot(T(1:j),Sa(1:j),'b-
',T(j),Sa(j),'ro'),xlabel('Period'),ylabel('Acceleration response Spectra (SA)');axis([0
max(T) 0 max(Sa)]);grid on
end
%=====
figure(2)
subplot(3,2,1);plot(T,Sd,'b-'),xlabel('Period'),ylabel('Displacement response Spectra
(SD)'),grid on
subplot(3,2,3);plot(T,Sv,'b-'),xlabel('Period'),ylabel('Velocity response Spectra
(SV)'),grid on
subplot(3,2,5);plot(T,Sa,'b-'),xlabel('Period(sn)'),ylabel('Acceleration response
Spectra (SA),g');grid on
subplot(3,2,2);plot(T,Sd,'r-'),xlabel('Period'),ylabel('Displacement response Spectra
(SD)'),grid on
subplot(3,2,4);plot(T,PSv,'r-'),xlabel('Period'),ylabel('Pseudo Velocity response
Spectra (PSV)'),grid on
subplot(3,2,6);plot(T,PSa,'r-'),xlabel('Period'),ylabel('Pseudo Acceleration response
Spectra (PSA)'),grid on
Sadusey=Sa'
figure(3)
plot(t,accNS,t,data1NS)
xlabel('t(s)'),ylabel('Ivme(g)'),Legend('7-19990817-duzce-filtreli','7-19990817-
duzce-filtresiz')
set(gcf, 'color', 'white');
grid on

```

## EK-B 30/60 (8m) Betonarme Kiriş

30/60 betonarme kiriş, bölüm 5.3.3 de tariflenen donatı alanlarına göre Section Designer programı ile modellenmiştir.

Performans kabul kritelerine bağlı kalınarak, donatı çeliğinin birim şekildeğiştirme üst sınırlarına göre dönme değerleri hesaplanmıştır. Kesit hasar sınırları için 0,01, 0,04 ve 0,06 donatı çeliği birim şekildeğiştirmelerine karşılık gelen toplam eğrilik değerleri elde edilmiştir. Elde edilen toplam eğrilik değerlerinden, kesitin yapabileceği plastik dönme değerlerine ulaşılmış ve hesap programına kesit hasar bölgeleri tariflenmiştir.



Şekil B.1 30/60 (8m)Betonarme kirişin donatı çeliğinin %1 birim şekildeğiştirmesi için hesaplanan moment-eğrilik değerleri

Sap2000 Section Designer özelliği ile oluşturulan betonarme kiriş kesitine ait sonuçlar Şekil B.1'de verilmiştir, buradan görülebileceği gibi betonarme kiriş için hesaplanan plastikleşme momenti 360,87 tm olarak hesaplanmaktadır. Betonarme kirişin akma eğriliği  $\phi_y=0,0066$  rad/m olarak bulunmuştur. Şekil üzerinde işaretler

ile gösterildiği gibi %1 donatı çeliği şekildeğiştirmesine (minimum hasar) karşı gelen toplam eğrilik değeri 0,002078 rad/m'dir.

$$\phi_p = \phi_t - \phi_y = 0,02078 - 0,0066 = 0,01418 \text{ rad/m (Plastik eğrilik)}$$

$$\Theta_p = \phi_p * l_p = 0,01418 \times 0,30 = 0,004 \text{ radyan (Plastik dönme)}$$

$$l_p = 60/2 = 30 \text{ cm (Plastik mafsal boyu)}$$

## EK-C

Tablo C.1. 14bolu-x-kolon hasar sonuçları

KOLON	StepType	MAFSAL	P	$\theta_p$	Lp	$\Phi_p$	$\Phi_y$	P	$\Phi_t$	HASAR BÖLGESİ	KESİT HASAR
	Text		KN	Radians	m	1/m	1/m	KN	1/m		
1-S1	Min	1-S1H1	-1648	-0,02559	0,275	0,09306	0,00802	<b>1648,00</b>	<b>0,10108</b>	iHB	GB
1-S2	Min	1-S2H1	-1773,82	-0,04771	0,275	0,17350	0,00802	<b>1773,82</b>	<b>0,18152</b>	GB	GB
1-S2	Min	1-S2H2	-1743,57	-0,01289	0,275	0,04686	0,00802	<b>1743,57</b>	<b>0,05488</b>	BHB	
1-S3	Min	1-S3H1	-1771,69	-0,11040	0,275	0,40146	0,00802	<b>1771,69</b>	<b>0,40948</b>	GB	GB
1-S4	Min	1-S4H1	-1781,25	-0,05798	0,275	0,21082	0,00802	<b>1781,25</b>	<b>0,21884</b>	GB	GB
1-S5	Min	1-S5H1	-1491,29	-0,04799	0,275	0,17452	0,00802	<b>1491,29</b>	<b>0,18254</b>	GB	GB
1-S5	Min	1-S5H2	-1461,04	-0,00006	0,275	0,00022	0,00802	<b>1461,04</b>	<b>0,00824</b>	MHB	
1-S6	Max	1-S6H1	-1229,14	0,09593	0,275	0,34884	0,00802	<b>1229,14</b>	<b>0,35685</b>	GB	GB
1-S7	Min	1-S7H1	-2663,01	-0,01440	0,275	0,05235	0,00802	<b>2663,01</b>	<b>0,06036</b>	iHB	iHB
1-S7	Min	1-S7H2	-2632,76	-0,00002	0,275	0,00006	0,00802	<b>2632,76</b>	<b>0,00808</b>	MHB	
1-S8	Min	1-S8H1	-2624,51	-0,01439	0,275	0,05232	0,00802	<b>2624,51</b>	<b>0,06034</b>	BHB	BHB
1-S8	Min	1-S8H2	-2594,26	-0,00001	0,275	0,00002	0,00802	<b>2594,26</b>	<b>0,00804</b>	MHB	
1-S9	Min	1-S9H1	-2600,56	-0,01439	0,275	0,05233	0,00802	<b>2600,56</b>	<b>0,06035</b>	BHB	BHB
1-S9	Min	1-S9H2	-2570,31	-0,00003	0,275	0,00011	0,00802	<b>2570,31</b>	<b>0,00812</b>	MHB	
1-S10	Max	1-S10H1	-1159,82	0,14466	0,275	0,52602	0,00802	<b>1159,82</b>	<b>0,53404</b>	GB	GB
1-S10	Min	1-S10H2	-2155,04	-0,00109	0,275	0,00395	0,00802	<b>2155,04</b>	<b>0,01196</b>	MHB	
1-S11	Max	1-S11H1	-1229,14	0,10163	0,275	0,36958	0,00802	<b>1229,14</b>	<b>0,37760</b>	GB	GB
1-S12	Min	1-S12H1	-2663,01	-0,01440	0,275	0,05235	0,00802	<b>2663,01</b>	<b>0,06036</b>	BHB	BHB
1-S12	Min	1-S12H2	-2632,76	-0,00002	0,275	0,00006	0,00802	<b>2632,76</b>	<b>0,00808</b>	MHB	
1-S13	Min	1-S13H1	-2624,51	-0,01439	0,275	0,05232	0,00802	<b>2624,51</b>	<b>0,06034</b>	BHB	BHB
1-S13	Min	1-S13H2	-2594,26	-0,00001	0,275	0,00002	0,00802	<b>2594,26</b>	<b>0,00804</b>	MHB	
1-S14	Min	1-S14H1	-2600,56	-0,01439	0,275	0,05233	0,00802	<b>2600,56</b>	<b>0,06035</b>	BHB	BHB
1-S14	Min	1-S14H2	-2570,31	-0,00003	0,275	0,00011	0,00802	<b>2570,31</b>	<b>0,00812</b>	MHB	
1-S15	Max	1-S15H1	-1174,12	0,14026	0,275	0,51004	0,00802	<b>1174,12</b>	<b>0,51806</b>	GB	GB
1-S15	Min	1-S15H2	-2153,8	-0,00109	0,275	0,00395	0,00802	<b>2153,80</b>	<b>0,01196</b>	MHB	
1-S16	Min	1-S16H1	-1648	-0,03863	0,275	0,14048	0,00802	<b>1648,00</b>	<b>0,14849</b>	GB	GB
1-S16	Min	1-S16H2	-1617,75	-0,00011	0,275	0,00039	0,00802	<b>1617,75</b>	<b>0,00840</b>	MHB	
1-S17	Min	1-S17H1	-1773,82	-0,03168	0,275	0,11519	0,00802	<b>1773,82</b>	<b>0,12320</b>	GB	GB
1-S17	Min	1-S17H2	-1743,57	-0,01373	0,275	0,04991	0,00802	<b>1743,57</b>	<b>0,05793</b>	BHB	
1-S18	Min	1-S18H1	-1771,69	-0,06696	0,275	0,24349	0,00802	<b>1771,69</b>	<b>0,25151</b>	GB	GB
1-S18	Min	1-S18H2	-1741,44	-0,00425	0,275	0,01545	0,00802	<b>1741,44</b>	<b>0,02347</b>	MHB	
1-S19	Max	1-S19H1	-1333,8	0,00190	0,275	0,00689	0,00802	<b>1333,80</b>	<b>0,01491</b>	MHB	GB
1-S19	Min	1-S19H1	-1781,25	-0,04671	0,275	0,16986	0,00802	<b>1781,25</b>	<b>0,17788</b>	GB	
1-S20	Min	1-S20H1	-1491,29	-0,03131	0,275	0,11387	0,00802	<b>1491,29</b>	<b>0,12188</b>	GB	GB
1-S20	Min	1-S20H2	-1461,04	-0,00006	0,275	0,00022	0,00802	<b>1461,04</b>	<b>0,00824</b>	MHB	
2-S1	Max	2-S1H1	-439,912	0,00038	0,275	0,00139	0,00802	<b>439,91</b>	<b>0,00940</b>	MHB	MHB
2-S1	Max	2-S1H2	-417,224	0,00001	0,275	0,00004	0,00802	<b>417,22</b>	<b>0,00806</b>	MHB	
2-S2	Max	2-S2H2	-1074,52	0,00259	0,275	0,00941	0,00802	<b>1074,52</b>	<b>0,01743</b>	MHB	MHB
2-S2	Min	2-S2H1	-1308,55	-0,00093	0,275	0,00336	0,00802	<b>1308,55</b>	<b>0,01138</b>	MHB	
2-S3	Max	2-S3H1	-1160,64	0,00166	0,275	0,00603	0,00802	<b>1160,64</b>	<b>0,01405</b>	MHB	MHB
2-S3	Max	2-S3H2	-1137,95	0,00251	0,275	0,00914	0,00802	<b>1137,95</b>	<b>0,01716</b>	MHB	
2-S4	Max	2-S4H1	-1186,93	0,00305	0,275	0,01110	0,00802	<b>1186,93</b>	<b>0,01912</b>	MHB	MHB
2-S4	Max	2-S4H2	-1164,24	0,00251	0,275	0,00913	0,00802	<b>1164,24</b>	<b>0,01715</b>	MHB	
2-S5	Max	2-S5H1	-463,548	0,00072	0,275	0,00262	0,00802	<b>463,55</b>	<b>0,01064</b>	MHB	MHB
2-S5	Max	2-S5H2	-440,861	0,00028	0,275	0,00103	0,00802	<b>440,86</b>	<b>0,00905</b>	MHB	
2-S7	Max	2-S7H2	-1909,15	0,00072	0,275	0,00261	0,00802	<b>1909,15</b>	<b>0,01063</b>	MHB	MHB
2-S8	Max	2-S8H2	-1877,12	0,00070	0,275	0,00255	0,00802	<b>1877,12</b>	<b>0,01056</b>	MHB	MHB
2-S9	Max	2-S9H2	-1847,13	0,00070	0,275	0,00256	0,00802	<b>1847,13</b>	<b>0,01058</b>	MHB	MHB
2-S10	Max	2-S10H2	-948,207	0,00251	0,275	0,00912	0,00802	<b>948,21</b>	<b>0,01714</b>	MHB	MHB
2-S12	Max	2-S12H2	-1909,15	0,00072	0,275	0,00261	0,00802	<b>1909,15</b>	<b>0,01063</b>	MHB	MHB
2-S13	Max	2-S13H2	-1877,12	0,00070	0,275	0,00255	0,00802	<b>1877,12</b>	<b>0,01056</b>	MHB	MHB
2-S14	Max	2-S14H2	-1847,13	0,00070	0,275	0,00256	0,00802	<b>1847,13</b>	<b>0,01058</b>	MHB	MHB
2-S15	Max	2-S15H2	-948,207	0,00251	0,275	0,00912	0,00802	<b>948,21</b>	<b>0,01714</b>	MHB	MHB
2-S16	Max	2-S16H1	-439,912	0,00038	0,275	0,00139	0,00802	<b>439,91</b>	<b>0,00940</b>	MHB	MHB
2-S16	Max	2-S16H2	-417,224	0,00001	0,275	0,00004	0,00802	<b>417,22</b>	<b>0,00806</b>	MHB	
2-S17	Max	2-S17H2	-1064,18	0,00259	0,275	0,00941	0,00802	<b>1064,18</b>	<b>0,01743</b>	MHB	MHB
2-S17	Min	2-S17H1	-1308,55	-0,00246	0,275	0,00896	0,00802	<b>1308,55</b>	<b>0,01698</b>	MHB	

Tablo C.1.(Devam) 14bolu-x-kolon hasar sonuçları

2-S18	Max	2-S18H1	-1164,03	0,00166	0,275	0,00603	0,00802	<b>1164,03</b>	<b>0,01405</b>	MHB	<b>MHB</b>
2-S18	Max	2-S18H2	-1141,35	0,00252	0,275	0,00915	0,00802	<b>1141,35</b>	<b>0,01716</b>	MHB	
2-S19	Max	2-S19H1	-1186,93	0,00305	0,275	0,01110	0,00802	<b>1186,93</b>	<b>0,01912</b>	MHB	<b>MHB</b>
2-S19	Max	2-S19H2	-1164,24	0,00251	0,275	0,00913	0,00802	<b>1164,24</b>	<b>0,01715</b>	MHB	
2-S20	Max	2-S20H1	-463,549	0,00072	0,275	0,00262	0,00802	<b>463,55</b>	<b>0,01064</b>	MHB	<b>MHB</b>
2-S20	Max	2-S20H2	-440,861	0,00028	0,275	0,00103	0,00802	<b>440,86</b>	<b>0,00905</b>	MHB	
3-S1	Max	3-S1H1	-338,724	0,00107	0,275	0,00390	0,00802	<b>338,72</b>	<b>0,01192</b>	MHB	<b>MHB</b>
3-S1	Max	3-S1H2	-316,036	0,00096	0,275	0,00347	0,00802	<b>316,04</b>	<b>0,01149</b>	MHB	
3-S2	Max	3-S2H1	-618,324	0,00242	0,275	0,00881	0,00802	<b>618,32</b>	<b>0,01683</b>	MHB	<b>GB</b>
3-S2	Min	3-S2H2	-1157,84	-0,11458	0,275	0,41665	0,00802	<b>1157,84</b>	<b>0,42467</b>	GB	
3-S3	Max	3-S3H1	-701,541	0,00224	0,275	0,00813	0,00802	<b>701,54</b>	<b>0,01615</b>	MHB	<b>GB</b>
3-S3	Min	3-S3H2	-1122,19	-0,11079	0,275	0,40287	0,00802	<b>1122,19</b>	<b>0,41088</b>	GB	
3-S4	Max	3-S4H1	-733,975	0,00190	0,275	0,00689	0,00802	<b>733,98</b>	<b>0,01491</b>	MHB	<b>GB</b>
3-S4	Min	3-S4H2	-1165,05	-0,07168	0,275	0,26066	0,00802	<b>1165,05</b>	<b>0,26868</b>	GB	
3-S5	Max	3-S5H1	-369,076	0,00068	0,275	0,00248	0,00802	<b>369,08</b>	<b>0,01049</b>	MHB	<b>MHB</b>
3-S5	Max	3-S5H2	-346,389	0,00098	0,275	0,00357	0,00802	<b>346,39</b>	<b>0,01159</b>	MHB	
3-S6	Max	3-S6H1	-763,545	0,00123	0,275	0,00448	0,00802	<b>763,55</b>	<b>0,01250</b>	MHB	<b>MHB</b>
3-S6	Max	3-S6H2	-740,857	0,00115	0,275	0,00419	0,00802	<b>740,86</b>	<b>0,01221</b>	MHB	
3-S7	Max	3-S7H2	-1318,61	0,07594	0,275	0,27616	0,00802	<b>1318,61</b>	<b>0,28417</b>	GB	<b>GB</b>
3-S8	Max	3-S8H2	-1172,51	0,08142	0,275	0,29607	0,00802	<b>1172,51</b>	<b>0,30409</b>	GB	<b>GB</b>
3-S9	Max	3-S9H2	-1123,33	0,04262	0,275	0,15498	0,00802	<b>1123,33</b>	<b>0,16300</b>	GB	<b>GB</b>
3-S10	Max	3-S10H1	-742,646	0,00584	0,275	0,02124	0,00802	<b>742,65</b>	<b>0,02926</b>	BHB	<b>BHB</b>
3-S10	Max	3-S10H2	-719,959	0,00084	0,275	0,00307	0,00802	<b>719,96</b>	<b>0,01109</b>	MHB	
3-S11	Max	3-S11H1	-763,545	0,00123	0,275	0,00448	0,00802	<b>763,55</b>	<b>0,01250</b>	MHB	<b>MHB</b>
3-S11	Max	3-S11H2	-740,857	0,00115	0,275	0,00419	0,00802	<b>740,86</b>	<b>0,01221</b>	MHB	
3-S12	Max	3-S12H2	-1318,61	0,08771	0,275	0,31895	0,00802	<b>1318,61</b>	<b>0,32697</b>	GB	<b>GB</b>
3-S13	Max	3-S13H2	-1172,51	0,10287	0,275	0,37407	0,00802	<b>1172,51</b>	<b>0,38209</b>	GB	<b>GB</b>
3-S14	Max	3-S14H2	-1123,33	0,04549	0,275	0,16541	0,00802	<b>1123,33</b>	<b>0,17343</b>	GB	<b>GB</b>
3-S15	Max	3-S15H1	-742,646	0,00584	0,275	0,02123	0,00802	<b>742,65</b>	<b>0,02925</b>	BHB	<b>BHB</b>
3-S15	Max	3-S15H2	-719,959	0,00084	0,275	0,00307	0,00802	<b>719,96</b>	<b>0,01109</b>	MHB	
3-S16	Max	3-S16H1	-338,723	0,00107	0,275	0,00390	0,00802	<b>338,72</b>	<b>0,01192</b>	MHB	<b>MHB</b>
3-S16	Max	3-S16H2	-316,036	0,00096	0,275	0,00347	0,00802	<b>316,04</b>	<b>0,01149</b>	MHB	
3-S17	Max	3-S17H1	-618,323	0,00242	0,275	0,00881	0,00802	<b>618,32</b>	<b>0,01683</b>	MHB	<b>GB</b>
3-S17	Min	3-S17H2	-1157,84	-0,11166	0,275	0,40603	0,00802	<b>1157,84</b>	<b>0,41405</b>	GB	
3-S18	Max	3-S18H1	-701,541	0,00224	0,275	0,00813	0,00802	<b>701,54</b>	<b>0,01615</b>	MHB	<b>GB</b>
3-S18	Min	3-S18H2	-1122,19	-0,10711	0,275	0,38947	0,00802	<b>1122,19</b>	<b>0,39749</b>	GB	<b>GB</b>
3-S19	Max	3-S19H1	-733,976	0,00190	0,275	0,00689	0,00802	<b>733,98</b>	<b>0,01491</b>	MHB	<b>GB</b>
3-S19	Min	3-S19H2	-1165,05	-0,06962	0,275	0,25315	0,00802	<b>1165,05</b>	<b>0,26117</b>	GB	
3-S20	Max	3-S20H1	-369,076	0,00068	0,275	0,00248	0,00802	<b>369,08</b>	<b>0,01049</b>	MHB	<b>MHB</b>
3-S20	Max	3-S20H2	-346,389	0,00098	0,275	0,00357	0,00802	<b>346,39</b>	<b>0,01159</b>	MHB	
4-S2	Max	4-S2H2	-591,67	0,00090	0,275	0,00328	0,00802	<b>591,67</b>	<b>0,01129</b>	MHB	<b>BHB</b>
4-S2	Min	4-S2H1	-804,125	-0,00898	0,275	0,03267	0,00802	<b>804,13</b>	<b>0,04068</b>	BHB	
4-S3	Max	4-S3H2	-573,37	0,00094	0,275	0,00342	0,00802	<b>573,37</b>	<b>0,01144</b>	MHB	<b>BHB</b>
4-S3	Min	4-S3H1	-762,081	-0,00846	0,275	0,03076	0,00802	<b>762,08</b>	<b>0,03878</b>	BHB	
4-S4	Max	4-S4H2	-573,697	0,00092	0,275	0,00335	0,00802	<b>573,70</b>	<b>0,01136</b>	MHB	<b>MHB</b>
4-S4	Min	4-S4H1	-842,353	-0,00472	0,275	0,01717	0,00802	<b>842,35</b>	<b>0,02519</b>	MHB	
4-S5	Max	4-S5H1	-254,633	0,00008	0,275	0,00029	0,00802	<b>254,63</b>	<b>0,00831</b>	MHB	<b>MHB</b>
4-S7	Max	4-S7H1	-949,529	0,00964	0,275	0,03505	0,00802	<b>949,53</b>	<b>0,04307</b>	BHB	<b>BHB</b>
4-S7	Max	4-S7H2	-926,842	0,00068	0,275	0,00247	0,00802	<b>926,84</b>	<b>0,01048</b>	MHB	
4-S8	Max	4-S8H1	-530,84	0,07642	0,275	0,27791	0,00802	<b>530,84</b>	<b>0,28592</b>	GB	<b>GB</b>
4-S8	Max	4-S8H2	-508,153	0,00069	0,275	0,00250	0,00802	<b>508,15</b>	<b>0,01052</b>	MHB	
4-S9	Max	4-S9H1	-568,454	0,02874	0,275	0,10450	0,00802	<b>568,45</b>	<b>0,11252</b>	iHB	<b>iHB</b>
4-S9	Max	4-S9H2	-545,767	0,00060	0,275	0,00218	0,00802	<b>545,77</b>	<b>0,01020</b>	MHB	
4-S12	Max	4-S12H1	-949,529	0,00981	0,275	0,03567	0,00802	<b>949,53</b>	<b>0,04368</b>	BHB	<b>BHB</b>
4-S12	Max	4-S12H2	-926,842	0,00068	0,275	0,00247	0,00802	<b>926,84</b>	<b>0,01048</b>	MHB	
4-S13	Max	4-S13H1	-530,84	0,09459	0,275	0,34398	0,00802	<b>530,84</b>	<b>0,35200</b>	GB	<b>GB</b>
4-S13	Max	4-S13H2	-508,153	0,00069	0,275	0,00250	0,00802	<b>508,15</b>	<b>0,01052</b>	MHB	
4-S14	Max	4-S14H1	-568,454	0,02949	0,275	0,10723	0,00802	<b>568,45</b>	<b>0,11525</b>	iHB	<b>iHB</b>
4-S14	Max	4-S14H2	-545,767	0,00060	0,275	0,00218	0,00802	<b>545,77</b>	<b>0,01020</b>	MHB	
4-S17	Max	4-S17H2	-591,67	0,00090	0,275	0,00328	0,00802	<b>591,67</b>	<b>0,01129</b>	MHB	<b>BHB</b>
4-S17	Min	4-S17H1	-804,125	-0,00963	0,275	0,03500	0,00802	<b>804,13</b>	<b>0,04302</b>	BHB	

Tablo C.1.(Devam) 14bolu-x-kolon hasar sonuçları

4-S18	Max	4-S18H2	-573,369	0,00094	0,275	0,00342	0,00802	<b>573,37</b>	<b>0,01144</b>	MHB	<b>BHB</b>
4-S18	Min	4-S18H1	-762,08	-0,00904	0,275	0,03288	0,00802	<b>762,08</b>	<b>0,04090</b>	BHB	
4-S19	Max	4-S19H2	-573,697	0,00092	0,275	0,00335	0,00802	<b>573,70</b>	<b>0,01136</b>	MHB	<b>MHB</b>
4-S19	Min	4-S19H1	-842,353	-0,00504	0,275	0,01834	0,00802	<b>842,35</b>	<b>0,02636</b>	MHB	
4-S20	Max	4-S20H1	-254,633	0,00008	0,275	0,00029	0,00802	<b>254,63</b>	<b>0,00831</b>	MHB	<b>MHB</b>
5-S2	Min	5-S2H2	-369,446	-0,00046	0,275	0,00168	0,00802	<b>369,45</b>	<b>0,00970</b>	MHB	
5-S3	Min	5-S3H2	-321,31	-0,00024	0,275	0,00087	0,00802	<b>321,31</b>	<b>0,00888</b>	MHB	<b>MHB</b>
5-S4	Min	5-S4H2	-333,9	-0,00032	0,275	0,00115	0,00802	<b>333,90</b>	<b>0,00916</b>	MHB	
5-S17	Min	5-S17H2	-369,446	-0,00046	0,275	0,00168	0,00802	<b>369,45</b>	<b>0,00970</b>	MHB	<b>MHB</b>
5-S18	Min	5-S18H2	-321,31	-0,00024	0,275	0,00087	0,00802	<b>321,31</b>	<b>0,00888</b>	MHB	
5-S19	Min	5-S19H2	-333,899	-0,00032	0,275	0,00115	0,00802	<b>333,90</b>	<b>0,00916</b>	MHB	<b>MHB</b>

Tablo C.2. 14bolu-y-kolon hasar sonuçları

KOLON	StepType	MAFSAL	P	$\theta_p$	Lp	$\Phi_p$	$\Phi_y$	P	$\Phi_t$	HASAR	KESİT HASAR
			KN	Radians	m	1/m	1/m	KN	1/m	BÖLGESİ	
1-S1	Max	1-S1H1	-336,079	0,03561	0,275	0,12949	0,00802	<b>336,08</b>	<b>0,13751</b>	İHB	İHB
1-S1	Max	1-S1H2	-305,829	0,00241	0,275	0,00877	0,00802	<b>305,83</b>	<b>0,01679</b>	MHB	
1-S2	Max	1-S2H1	-968,471	0,10495	0,275	0,38165	0,00802	<b>968,47</b>	<b>0,38967</b>	GB	GB
1-S2	Min	1-S2H2	-2093,27	-0,00113	0,275	0,00409	0,00802	<b>2093,27</b>	<b>0,01211</b>	MHB	
1-S3	Max	1-S3H1	-926,772	0,09645	0,275	0,35074	0,00802	<b>926,77</b>	<b>0,35876</b>	GB	GB
1-S3	Max	1-S3H2	-896,522	0,00022	0,275	0,00079	0,00802	<b>896,52</b>	<b>0,00881</b>	MHB	
1-S4	Max	1-S4H2	-932,328	0,00796	0,275	0,02895	0,00802	<b>932,33</b>	<b>0,03697</b>	BHB	GB
1-S4	Min	1-S4H1	-2123,52	-0,07455	0,275	0,27110	0,00802	<b>2123,52</b>	<b>0,27912</b>	GB	
1-S5	Max	1-S5H1	-353,862	0,07418	0,275	0,26973	0,00802	<b>353,86</b>	<b>0,27775</b>	GB	GB
1-S5	Max	1-S5H2	-323,612	0,00764	0,275	0,02778	0,00802	<b>323,61</b>	<b>0,03580</b>	BHB	
1-S6	Max	1-S6H1	-1379,37	0,10263	0,275	0,37319	0,00802	<b>1379,37</b>	<b>0,38121</b>	GB	GB
1-S6	Min	1-S6H2	-1921,92	-0,00808	0,275	0,02940	0,00802	<b>1921,92</b>	<b>0,03741</b>	BHB	
1-S7	Max	1-S7H1	-2272,31	0,12845	0,275	0,46708	0,00802	<b>2272,31</b>	<b>0,47510</b>	GB	GB
1-S7	Max	1-S7H2	-2242,06	0,00655	0,275	0,02382	0,00802	<b>2242,06</b>	<b>0,03184</b>	BHB	
1-S8	Max	1-S8H1	-2355,53	0,08713	0,275	0,31682	0,00802	<b>2355,53</b>	<b>0,32484</b>	GB	GB
1-S8	Max	1-S8H2	-2325,28	0,00206	0,275	0,00749	0,00802	<b>2325,28</b>	<b>0,01551</b>	MHB	
1-S9	Max	1-S9H1	-2299,57	0,10287	0,275	0,37408	0,00802	<b>2299,57</b>	<b>0,38210</b>	GB	GB
1-S9	Max	1-S9H2	-2269,32	0,00211	0,275	0,00766	0,00802	<b>2269,32</b>	<b>0,01568</b>	MHB	
1-S10	Max	1-S10H2	-1310,34	0,00331	0,275	0,01203	0,00802	<b>1310,34</b>	<b>0,02005</b>	MHB	GB
1-S10	Min	1-S10H1	-1969,79	-0,08796	0,275	0,31987	0,00802	<b>1969,79</b>	<b>0,32788</b>	GB	
1-S11	Max	1-S11H2	-1319,54	0,00301	0,275	0,01093	0,00802	<b>1319,54</b>	<b>0,01895</b>	MHB	GB
1-S11	Min	1-S11H1	-1896,88	-0,10805	0,275	0,39291	0,00802	<b>1896,88</b>	<b>0,40093</b>	GB	
1-S12	Max	1-S12H1	-2374,7	0,05280	0,275	0,19201	0,00802	<b>2374,70</b>	<b>0,20003</b>	GB	GB
1-S12	Min	1-S12H1	-2654,78	-0,01452	0,275	0,05279	0,00802	<b>2654,78</b>	<b>0,06080</b>	BHB	
1-S13	Max	1-S13H2	-2300,16	0,00226	0,275	0,00823	0,00802	<b>2300,16</b>	<b>0,01625</b>	MHB	GB
1-S13	Min	1-S13H1	-2644,88	-0,02994	0,275	0,10888	0,00802	<b>2644,88</b>	<b>0,11689</b>	GB	
1-S14	Max	1-S14H1	-2332,6	0,04895	0,275	0,17800	0,00802	<b>2332,60</b>	<b>0,18602</b>	GB	GB
1-S14	Max	1-S14H2	-2302,35	0,00311	0,275	0,01129	0,00802	<b>2302,35</b>	<b>0,01931</b>	MHB	
1-S15	Max	1-S15H2	-1417,12	0,00290	0,275	0,01056	0,00802	<b>1417,12</b>	<b>0,01857</b>	MHB	GB
1-S15	Min	1-S15H1	-1889,34	-0,04131	0,275	0,15020	0,00802	<b>1889,34</b>	<b>0,15822</b>	GB	
1-S16	Max	1-S16H2	-481,436	0,00221	0,275	0,00803	0,00802	<b>481,44</b>	<b>0,01604</b>	MHB	GB
1-S16	Min	1-S16H1	-1418,36	-0,12867	0,275	0,46790	0,00802	<b>1418,36</b>	<b>0,47592</b>	GB	
1-S17	Max	1-S17H2	-988,947	0,00251	0,275	0,00914	0,00802	<b>988,95</b>	<b>0,01716</b>	MHB	GB
1-S17	Min	1-S17H1	-1955,61	-0,17522	0,275	0,63715	0,00802	<b>1955,61</b>	<b>0,64517</b>	GB	
1-S18	Max	1-S18H1	-1157,55	0,10020	0,275	0,36436	0,00802	<b>1157,55</b>	<b>0,37238</b>	GB	GB
1-S18	Max	1-S18H2	-1127,3	0,00208	0,275	0,00755	0,00802	<b>1127,30</b>	<b>0,01556</b>	MHB	
1-S19	Max	1-S19H2	-986,477	0,00216	0,275	0,00786	0,00802	<b>986,48</b>	<b>0,01588</b>	MHB	GB
1-S19	Min	1-S19H1	-1931,01	-0,15928	0,275	0,57919	0,00802	<b>1931,01</b>	<b>0,58721</b>	GB	

Tablo C.2.(Devam) 14bolu-y-kolon hasar sonuçları

1-S20	Max	1-S20H2	-466,131	0,00241	0,275	0,00875	0,00802	<b>466,13</b>	<b>0,01677</b>	MHB	<b>GB</b>
1-S20	Min	1-S20H1	-1621,76	-0,03757	0,275	0,13661	0,00802	<b>1621,76</b>	<b>0,14463</b>	GB	
2-S1	Max	2-S1H2	-422,243	0,00005	0,275	0,00018	0,00802	<b>422,24</b>	<b>0,00820</b>	MHB	<b>MHB</b>
2-S1	Min	2-S1H1	-1117,1	-0,00036	0,275	0,00130	0,00802	<b>1117,10</b>	<b>0,00932</b>	MHB	
2-S5	Max	2-S5H2	-425,228	0,00008	0,275	0,00028	0,00802	<b>425,23</b>	<b>0,00830</b>	MHB	<b>MHB</b>
2-S5	Min	2-S5H1	-1106,94	-0,00036	0,275	0,00130	0,00802	<b>1106,94</b>	<b>0,00932</b>	MHB	
2-S6	Max	2-S6H1	-1287,66	0,00463	0,275	0,01684	0,00802	<b>1287,66</b>	<b>0,02486</b>	MHB	<b>MHB</b>
2-S6	Max	2-S6H2	-1264,98	0,00185	0,275	0,00673	0,00802	<b>1264,98</b>	<b>0,01475</b>	MHB	
2-S7	Max	2-S7H2	-1899,39	0,00109	0,275	0,00395	0,00802	<b>1899,39</b>	<b>0,01196</b>	MHB	<b>MHB</b>
2-S7	Min	2-S7H1	-2008,83	-0,00124	0,275	0,00451	0,00802	<b>2008,83</b>	<b>0,01253</b>	MHB	
2-S8	Max	2-S8H2	-1910,68	0,00131	0,275	0,00476	0,00802	<b>1910,68</b>	<b>0,01278</b>	MHB	<b>MHB</b>
2-S8	Min	2-S8H1	-2040,43	-0,00068	0,275	0,00249	0,00802	<b>2040,43</b>	<b>0,01051</b>	MHB	
2-S9	Max	2-S9H2	-1828,58	0,00120	0,275	0,00437	0,00802	<b>1828,58</b>	<b>0,01239</b>	MHB	<b>MHB</b>
2-S9	Min	2-S9H1	-2019,6	-0,00029	0,275	0,00106	0,00802	<b>2019,60</b>	<b>0,00908</b>	MHB	
2-S10	Max	2-S10H1	-1262,73	0,00515	0,275	0,01873	0,00802	<b>1262,73</b>	<b>0,02675</b>	MHB	<b>MHB</b>
2-S10	Max	2-S10H2	-1240,04	0,00185	0,275	0,00673	0,00802	<b>1240,04</b>	<b>0,01475</b>	MHB	
2-S11	Max	2-S11H1	-1192,01	0,00318	0,275	0,01157	0,00802	<b>1192,01</b>	<b>0,01959</b>	MHB	<b>MHB</b>
2-S11	Max	2-S11H2	-1169,32	0,00187	0,275	0,00681	0,00802	<b>1169,32</b>	<b>0,01483</b>	MHB	
2-S13	Max	2-S13H2	-1900,68	0,00065	0,275	0,00236	0,00802	<b>1900,68</b>	<b>0,01038</b>	MHB	<b>MHB</b>
2-S14	Max	2-S14H2	-1874,77	0,00064	0,275	0,00233	0,00802	<b>1874,77</b>	<b>0,01035</b>	MHB	
2-S15	Max	2-S15H1	-1271,85	0,00331	0,275	0,01205	0,00802	<b>1271,85</b>	<b>0,02007</b>	MHB	<b>MHB</b>
2-S15	Max	2-S15H2	-1249,17	0,00188	0,275	0,00682	0,00802	<b>1249,17</b>	<b>0,01484</b>	MHB	
2-S16	Max	2-S16H1	-496,669	0,00208	0,275	0,00756	0,00802	<b>496,67</b>	<b>0,01558</b>	MHB	<b>MHB</b>
2-S16	Min	2-S16H2	-1179,83	-0,00006	0,275	0,00022	0,00802	<b>1179,83</b>	<b>0,00824</b>	MHB	
2-S17	Max	2-S17H1	-893,839	0,00034	0,275	0,00125	0,00802	<b>893,84</b>	<b>0,00927</b>	MHB	<b>MHB</b>
2-S19	Max	2-S19H1	-890,647	0,00276	0,275	0,01005	0,00802	<b>890,65</b>	<b>0,01807</b>	MHB	
2-S20	Max	2-S20H1	-478,091	0,00204	0,275	0,00740	0,00802	<b>478,09</b>	<b>0,01542</b>	MHB	<b>MHB</b>
3-S1	Max	3-S1H2	-330,634	0,00048	0,275	0,00173	0,00802	<b>330,63</b>	<b>0,00975</b>	MHB	
3-S2	Max	3-S2H1	-724,858	0,00031	0,275	0,00113	0,00802	<b>724,86</b>	<b>0,00915</b>	MHB	<b>MHB</b>
3-S2	Max	3-S2H2	-702,17	0,00075	0,275	0,00273	0,00802	<b>702,17</b>	<b>0,01075</b>	MHB	
3-S3	Max	3-S3H1	-708,869	0,00043	0,275	0,00156	0,00802	<b>708,87</b>	<b>0,00957</b>	MHB	<b>MHB</b>
3-S3	Max	3-S3H2	-686,182	0,00068	0,275	0,00245	0,00802	<b>686,18</b>	<b>0,01047</b>	MHB	
3-S4	Max	3-S4H1	-719,23	0,00026	0,275	0,00096	0,00802	<b>719,23</b>	<b>0,00898</b>	MHB	<b>MHB</b>
3-S4	Max	3-S4H2	-696,542	0,00075	0,275	0,00273	0,00802	<b>696,54</b>	<b>0,01075</b>	MHB	
3-S5	Max	3-S5H2	-318,734	0,00048	0,275	0,00173	0,00802	<b>318,73</b>	<b>0,00975</b>	MHB	<b>MHB</b>
3-S6	Max	3-S6H1	-947,133	0,00087	0,275	0,00316	0,00802	<b>947,13</b>	<b>0,01118</b>	MHB	
3-S6	Max	3-S6H2	-924,445	0,00401	0,275	0,01459	0,00802	<b>924,45</b>	<b>0,02261</b>	MHB	<b>MHB</b>
3-S7	Max	3-S7H2	-1339,71	0,00256	0,275	0,00932	0,00802	<b>1339,71</b>	<b>0,01734</b>	MHB	
3-S8	Max	3-S8H1	-1450,57	0,00033	0,275	0,00118	0,00802	<b>1450,57</b>	<b>0,00920</b>	MHB	<b>MHB</b>
3-S8	Max	3-S8H2	-1427,88	0,00257	0,275	0,00936	0,00802	<b>1427,88</b>	<b>0,01737</b>	MHB	
3-S9	Max	3-S9H2	-1208,82	0,04907	0,275	0,17844	0,00802	<b>1208,82</b>	<b>0,18646</b>	GB	<b>GB</b>
3-S10	Max	3-S10H1	-948,135	0,00072	0,275	0,00263	0,00802	<b>948,14</b>	<b>0,01065</b>	MHB	
3-S10	Max	3-S10H2	-925,448	0,00401	0,275	0,01460	0,00802	<b>925,45</b>	<b>0,02261</b>	MHB	<b>MHB</b>
3-S11	Max	3-S11H1	-901,315	0,00085	0,275	0,00308	0,00802	<b>901,32</b>	<b>0,01109</b>	MHB	
3-S11	Max	3-S11H2	-878,627	0,00406	0,275	0,01475	0,00802	<b>878,63</b>	<b>0,02277</b>	MHB	<b>MHB</b>
3-S12	Max	3-S12H1	-1379,49	0,00002	0,275	0,00007	0,00802	<b>1379,49</b>	<b>0,00808</b>	MHB	
3-S12	Max	3-S12H2	-1356,8	0,00222	0,275	0,00808	0,00802	<b>1356,80</b>	<b>0,01609</b>	MHB	<b>MHB</b>
3-S13	Max	3-S13H1	-1450,52	0,00025	0,275	0,00092	0,00802	<b>1450,52</b>	<b>0,00893</b>	MHB	
3-S13	Max	3-S13H2	-1427,83	0,00249	0,275	0,00906	0,00802	<b>1427,83</b>	<b>0,01708</b>	MHB	<b>MHB</b>
3-S14	Max	3-S14H2	-1351,19	0,01171	0,275	0,04258	0,00802	<b>1351,19</b>	<b>0,05060</b>	MHB	
3-S15	Max	3-S15H1	-961,178	0,00092	0,275	0,00333	0,00802	<b>961,18</b>	<b>0,01135</b>	MHB	<b>MHB</b>
3-S15	Max	3-S15H2	-938,491	0,00406	0,275	0,01475	0,00802	<b>938,49</b>	<b>0,02277</b>	MHB	
3-S16	Max	3-S16H2	-366,271	0,00013	0,275	0,00046	0,00802	<b>366,27</b>	<b>0,00848</b>	MHB	<b>MHB</b>
3-S17	Max	3-S17H1	-683,342	0,00009	0,275	0,00032	0,00802	<b>683,34</b>	<b>0,00834</b>	MHB	
3-S17	Max	3-S17H2	-660,655	0,00030	0,275	0,00107	0,00802	<b>660,66</b>	<b>0,00909</b>	MHB	<b>MHB</b>
3-S18	Max	3-S18H1	-722,782	0,00044	0,275	0,00160	0,00802	<b>722,78</b>	<b>0,00962</b>	MHB	
3-S18	Max	3-S18H2	-700,095	0,00024	0,275	0,00088	0,00802	<b>700,10</b>	<b>0,00890</b>	MHB	<b>MHB</b>
3-S19	Max	3-S19H1	-685,786	0,00006	0,275	0,00021	0,00802	<b>685,79</b>	<b>0,00823</b>	MHB	
3-S19	Max	3-S19H2	-663,099	0,00030	0,275	0,00107	0,00802	<b>663,10</b>	<b>0,00909</b>	MHB	<b>MHB</b>
3-S20	Max	3-S20H2	-364,501	0,00013	0,275	0,00045	0,00802	<b>364,50</b>	<b>0,00847</b>	MHB	
4-S1	Max	4-S1H1	-237,174	0,00006	0,275	0,00021	0,00802	<b>237,17</b>	<b>0,00823</b>	MHB	<b>MHB</b>
4-S1	Max	4-S1H2	-214,486	0,00000	0,275	0,00002	0,00802	<b>214,49</b>	<b>0,00803</b>	MHB	

Tablo C.2.(Devam) 14bolu-y-kolon hasar sonuçları

4-S5	Max	4-S5H2	-221,3	0,00000	0,275	0,00002	0,00802	<b>221,30</b>	<b>0,00803</b>	MHB	MHB
4-S6	Max	4-S6H1	-636,855	0,00017	0,275	0,00062	0,00802	<b>636,86</b>	<b>0,00864</b>	MHB	MHB
4-S6	Max	4-S6H2	-614,167	0,00118	0,275	0,00429	0,00802	<b>614,17</b>	<b>0,01231</b>	MHB	
4-S7	Max	4-S7H1	-960,6	0,00281	0,275	0,01023	0,00802	<b>960,60</b>	<b>0,01824</b>	MHB	MHB
4-S7	Max	4-S7H2	-937,912	0,00138	0,275	0,00501	0,00802	<b>937,91</b>	<b>0,01303</b>	MHB	
4-S8	Max	4-S8H1	-962,673	0,00104	0,275	0,00379	0,00802	<b>962,67</b>	<b>0,01180</b>	MHB	MHB
4-S8	Max	4-S8H2	-939,986	0,00164	0,275	0,00595	0,00802	<b>939,99</b>	<b>0,01397</b>	MHB	
4-S9	Max	4-S9H1	-678,145	0,06470	0,275	0,23528	0,00802	<b>678,15</b>	<b>0,24330</b>	GB	GB
4-S9	Max	4-S9H2	-655,457	0,00120	0,275	0,00436	0,00802	<b>655,46</b>	<b>0,01238</b>	MHB	
4-S10	Max	4-S10H1	-646,071	0,00013	0,275	0,00047	0,00802	<b>646,07</b>	<b>0,00849</b>	MHB	MHB
4-S10	Max	4-S10H2	-623,384	0,00118	0,275	0,00429	0,00802	<b>623,38</b>	<b>0,01231</b>	MHB	
4-S11	Max	4-S11H1	-610,991	0,00010	0,275	0,00036	0,00802	<b>610,99</b>	<b>0,00837</b>	MHB	MHB
4-S11	Max	4-S11H2	-588,304	0,00128	0,275	0,00465	0,00802	<b>588,30</b>	<b>0,01267</b>	MHB	
4-S12	Max	4-S12H1	-963,146	0,00182	0,275	0,00661	0,00802	<b>963,15</b>	<b>0,01463</b>	MHB	MHB
4-S12	Max	4-S12H2	-940,458	0,00140	0,275	0,00509	0,00802	<b>940,46</b>	<b>0,01311</b>	MHB	
4-S13	Max	4-S13H1	-969,268	0,00112	0,275	0,00407	0,00802	<b>969,27</b>	<b>0,01209</b>	MHB	MHB
4-S13	Max	4-S13H2	-946,58	0,00148	0,275	0,00536	0,00802	<b>946,58</b>	<b>0,01338</b>	MHB	
4-S14	Max	4-S14H1	-680,414	0,06240	0,275	0,22692	0,00802	<b>680,41</b>	<b>0,23494</b>	GB	GB
4-S14	Max	4-S14H2	-657,726	0,00110	0,275	0,00401	0,00802	<b>657,73</b>	<b>0,01203</b>	MHB	
4-S15	Max	4-S15H1	-642,946	0,00009	0,275	0,00034	0,00802	<b>642,95</b>	<b>0,00836</b>	MHB	MHB
4-S15	Max	4-S15H2	-620,258	0,00128	0,275	0,00465	0,00802	<b>620,26</b>	<b>0,01267</b>	MHB	
4-S16	Max	4-S16H1	-275,458	0,00093	0,275	0,00336	0,00802	<b>275,46</b>	<b>0,01138</b>	MHB	MHB
4-S17	Max	4-S17H1	-474,697	0,00085	0,275	0,00310	0,00802	<b>474,70</b>	<b>0,01112</b>	MHB	MHB
4-S18	Max	4-S18H1	-508,238	0,00079	0,275	0,00288	0,00802	<b>508,24</b>	<b>0,01089</b>	MHB	MHB
4-S19	Max	4-S19H1	-460,054	0,00065	0,275	0,00237	0,00802	<b>460,05</b>	<b>0,01039</b>	MHB	MHB
4-S20	Max	4-S20H1	-282,095	0,00089	0,275	0,00324	0,00802	<b>282,10</b>	<b>0,01126</b>	MHB	MHB
5-S6	Min	5-S6H2	-509,977	-0,00200	0,275	0,00729	0,00802	<b>509,98</b>	<b>0,01531</b>	MHB	MHB
5-S7	Min	5-S7H2	-588,832	-0,00083	0,275	0,00301	0,00802	<b>588,83</b>	<b>0,01103</b>	MHB	MHB
5-S8	Min	5-S8H2	-586,506	-0,00078	0,275	0,00284	0,00802	<b>586,51</b>	<b>0,01086</b>	MHB	MHB
5-S9	Min	5-S9H2	-587,02	-0,00075	0,275	0,00273	0,00802	<b>587,02</b>	<b>0,01075</b>	MHB	MHB
5-S10	Min	5-S10H2	-510,715	-0,00193	0,275	0,00703	0,00802	<b>510,72</b>	<b>0,01505</b>	MHB	MHB
5-S11	Min	5-S11H2	-433,979	-0,00123	0,275	0,00446	0,00802	<b>433,98</b>	<b>0,01248</b>	MHB	MHB
5-S12	Min	5-S12H2	-522,83	-0,00032	0,275	0,00115	0,00802	<b>522,83</b>	<b>0,00917</b>	MHB	MHB
5-S13	Min	5-S13H2	-524,735	-0,00036	0,275	0,00132	0,00802	<b>524,74</b>	<b>0,00934</b>	MHB	MHB
5-S14	Min	5-S14H2	-514,122	-0,00028	0,275	0,00100	0,00802	<b>514,12</b>	<b>0,00902</b>	MHB	MHB
5-S15	Min	5-S15H2	-439,733	-0,00120	0,275	0,00437	0,00802	<b>439,73</b>	<b>0,01239</b>	MHB	MHB
5-S16	Min	5-S16H2	-315,817	-0,00084	0,275	0,00304	0,00802	<b>315,82</b>	<b>0,01105</b>	MHB	MHB
5-S17	Min	5-S17H2	-458,616	-0,00129	0,275	0,00467	0,00802	<b>458,62</b>	<b>0,01269</b>	MHB	MHB
5-S18	Min	5-S18H2	-475,45	-0,00138	0,275	0,00500	0,00802	<b>475,45</b>	<b>0,01302</b>	MHB	MHB
5-S19	Min	5-S19H2	-452,335	-0,00125	0,275	0,00454	0,00802	<b>452,34</b>	<b>0,01256</b>	MHB	MHB
5-S20	Min	5-S20H2	-325,245	-0,00089	0,275	0,00323	0,00802	<b>325,25</b>	<b>0,01125</b>	MHB	MHB

Tablo C.3. 14bolu-x-z-kolon hasar sonuçları

KOLON	StepType	MAFSAL	P	$\theta_p$	Lp	$\Phi_p$	$\Phi_y$	P	$\Phi_t$	HASAR	KESİT HASAR
	Text		KN	Radians	m	1/m	1/m	KN	1/m	BÖLGESİ	
1-S1	Min	1-S1H1	-1852,58	-0,01607	0,275	0,05844	0,00802	<b>1852,58</b>	<b>0,06645</b>	BHB	BHB
1-S1	Min	1-S1H2	-1822,33	-0,00165	0,275	0,00599	0,00802	<b>1822,33</b>	<b>0,01401</b>	MHB	
1-S2	Min	1-S2H1	-2021,19	-0,04416	0,275	0,16056	0,00802	<b>2021,19</b>	<b>0,16858</b>	GB	GB
1-S2	Min	1-S2H2	-1990,94	-0,01991	0,275	0,07241	0,00802	<b>1990,94</b>	<b>0,08043</b>	iHB	
1-S3	Min	1-S3H1	-2013,04	-0,05329	0,275	0,19380	0,00802	<b>2013,04</b>	<b>0,20181</b>	GB	GB
1-S3	Min	1-S3H2	-1982,79	-0,00585	0,275	0,02127	0,00802	<b>1982,79</b>	<b>0,02928</b>	BHB	
1-S4	Min	1-S4H1	-2019,1	-0,06475	0,275	0,23544	0,00802	<b>2019,10</b>	<b>0,24346</b>	GB	GB
1-S4	Min	1-S4H2	-1988,85	-0,00438	0,275	0,01593	0,00802	<b>1988,85</b>	<b>0,02395</b>	BHB	
1-S5	Min	1-S5H1	-1551,17	-0,04585	0,275	0,16673	0,00802	<b>1551,17</b>	<b>0,17475</b>	GB	GB
1-S5	Min	1-S5H2	-1520,92	-0,02314	0,275	0,08416	0,00802	<b>1520,92</b>	<b>0,09217</b>	iHB	
1-S6	Max	1-S6H1	-928,798	0,15388	0,275	0,55957	0,00802	<b>928,80</b>	<b>0,56759</b>	GB	GB
1-S6	Min	1-S6H2	-2552,93	-0,00022	0,275	0,00079	0,00802	<b>2552,93</b>	<b>0,00880</b>	MHB	
1-S7	Min	1-S7H1	-2965,11	-0,01438	0,275	0,05229	0,00802	<b>2965,11</b>	<b>0,06031</b>	iHB	iHB
1-S7	Min	1-S7H2	-2934,86	-0,00072	0,275	0,00260	0,00802	<b>2934,86</b>	<b>0,01062</b>	MHB	
1-S8	Min	1-S8H1	-2951	-0,01438	0,275	0,05229	0,00802	<b>2951,00</b>	<b>0,06031</b>	iHB	iHB
1-S8	Min	1-S8H2	-2920,75	-0,00073	0,275	0,00265	0,00802	<b>2920,75</b>	<b>0,01067</b>	MHB	

Tablo C.3.(Devam) 14bolu-x-z-kolon hasar sonuçları

1-S9	Min	1-S9H1	-2947,16	-0,01441	0,275	0,05240	0,00802	<b>2947,16</b>	<b>0,06042</b>	<b>iHB</b>	<i>iHB</i>
1-S9	Min	1-S9H2	-2916,91	-0,00075	0,275	0,00273	0,00802	<b>2916,91</b>	<b>0,01075</b>	<b>MHB</b>	
1-S10	Min	1-S10H1	-2378,25	-0,01593	0,275	0,05791	0,00802	<b>2378,25</b>	<b>0,06593</b>	<b>iHB</b>	<i>iHB</i>
1-S10	Min	1-S10H2	-2348	-0,00075	0,275	0,00272	0,00802	<b>2348,00</b>	<b>0,01074</b>	<b>MHB</b>	
1-S11	Max	1-S11H1	-928,798	0,15388	0,275	0,55957	0,00802	<b>928,80</b>	<b>0,56759</b>	<b>GB</b>	GB
1-S11	Min	1-S11H2	-2552,93	-0,00022	0,275	0,00079	0,00802	<b>2552,93</b>	<b>0,00880</b>	<b>MHB</b>	
1-S12	Min	1-S12H1	-2965,11	-0,01438	0,275	0,05229	0,00802	<b>2965,11</b>	<b>0,06031</b>	<b>iHB</b>	<i>iHB</i>
1-S12	Min	1-S12H2	-2934,86	-0,00072	0,275	0,00260	0,00802	<b>2934,86</b>	<b>0,01062</b>	<b>MHB</b>	
1-S13	Min	1-S13H1	-2951	-0,01438	0,275	0,05229	0,00802	<b>2951,00</b>	<b>0,06031</b>	<b>iHB</b>	<i>iHB</i>
1-S13	Min	1-S13H2	-2920,75	-0,00073	0,275	0,00265	0,00802	<b>2920,75</b>	<b>0,01067</b>	<b>MHB</b>	
1-S14	Min	1-S14H1	-2947,16	-0,01441	0,275	0,05240	0,00802	<b>2947,16</b>	<b>0,06042</b>	<b>iHB</b>	<i>iHB</i>
1-S14	Min	1-S14H2	-2916,91	-0,00075	0,275	0,00273	0,00802	<b>2916,91</b>	<b>0,01075</b>	<b>MHB</b>	
1-S15	Min	1-S15H1	-2378,25	-0,01593	0,275	0,05791	0,00802	<b>2378,25</b>	<b>0,06593</b>	<b>iHB</b>	<i>iHB</i>
1-S15	Min	1-S15H2	-2348	-0,00075	0,275	0,00272	0,00802	<b>2348,00</b>	<b>0,01074</b>	<b>MHB</b>	
1-S16	Min	1-S16H1	-1852,58	-0,01607	0,275	0,05844	0,00802	<b>1852,58</b>	<b>0,06645</b>	<b>BHB</b>	BHB
1-S16	Min	1-S16H2	-1822,33	-0,00165	0,275	0,00599	0,00802	<b>1822,33</b>	<b>0,01401</b>	<b>MHB</b>	
1-S17	Min	1-S17H1	-2021,19	-0,04416	0,275	0,16056	0,00802	<b>2021,19</b>	<b>0,16858</b>	<b>GB</b>	<i>iHB</i>
1-S17	Min	1-S17H2	-1990,94	-0,01991	0,275	0,07241	0,00802	<b>1990,94</b>	<b>0,08043</b>	<b>iHB</b>	
1-S18	Min	1-S18H1	-2013,04	-0,05329	0,275	0,19380	0,00802	<b>2013,04</b>	<b>0,20181</b>	<b>GB</b>	BHB
1-S18	Min	1-S18H2	-1982,79	-0,00585	0,275	0,02127	0,00802	<b>1982,79</b>	<b>0,02928</b>	<b>BHB</b>	
1-S19	Min	1-S19H1	-2019,1	-0,06475	0,275	0,23544	0,00802	<b>2019,10</b>	<b>0,24346</b>	<b>GB</b>	GB
1-S19	Min	1-S19H2	-1988,85	-0,00438	0,275	0,01593	0,00802	<b>1988,85</b>	<b>0,02395</b>	<b>BHB</b>	
1-S20	Min	1-S20H1	-1551,17	-0,04585	0,275	0,16673	0,00802	<b>1551,17</b>	<b>0,17475</b>	<b>GB</b>	GB
1-S20	Min	1-S20H2	-1520,92	-0,02314	0,275	0,08416	0,00802	<b>1520,92</b>	<b>0,09217</b>	<b>iHB</b>	
2-S1	Max	2-S1H1	-325,84	0,00030	0,275	0,00109	0,00802	<b>325,84</b>	<b>0,00911</b>	<b>MHB</b>	MHB
2-S1	Max	2-S1H2	-303,152	0,00018	0,275	0,00067	0,00802	<b>303,15</b>	<b>0,00869</b>	<b>MHB</b>	
2-S2	Max	2-S2H2	-990,608	0,00274	0,275	0,00995	0,00802	<b>990,61</b>	<b>0,01797</b>	<b>MHB</b>	BHB
2-S2	Min	2-S2H1	-1533,62	-0,00562	0,275	0,02044	0,00802	<b>1533,62</b>	<b>0,02846</b>	<b>BHB</b>	
2-S3	Max	2-S3H1	-973,353	0,00167	0,275	0,00607	0,00802	<b>973,35</b>	<b>0,01409</b>	<b>MHB</b>	MHB
2-S3	Max	2-S3H2	-950,665	0,00273	0,275	0,00992	0,00802	<b>950,67</b>	<b>0,01794</b>	<b>MHB</b>	
2-S4	Max	2-S4H1	-968,108	0,00262	0,275	0,00952	0,00802	<b>968,11</b>	<b>0,01754</b>	<b>MHB</b>	MHB
2-S4	Max	2-S4H2	-945,42	0,00271	0,275	0,00986	0,00802	<b>945,42</b>	<b>0,01788</b>	<b>MHB</b>	
2-S5	Max	2-S5H2	-312,118	0,00050	0,275	0,00182	0,00802	<b>312,12</b>	<b>0,00984</b>	<b>MHB</b>	MHB
2-S5	Min	2-S5H1	-1267,41	-0,00427	0,275	0,01553	0,00802	<b>1267,41</b>	<b>0,02355</b>	<b>MHB</b>	
2-S7	Max	2-S7H2	-1518,72	0,00098	0,275	0,00355	0,00802	<b>1518,72</b>	<b>0,01156</b>	<b>MHB</b>	MHB
2-S8	Max	2-S8H2	-1519,7	0,00096	0,275	0,00350	0,00802	<b>1519,70</b>	<b>0,01152</b>	<b>MHB</b>	
2-S9	Max	2-S9H2	-1520,59	0,00098	0,275	0,00355	0,00802	<b>1520,59</b>	<b>0,01157</b>	<b>MHB</b>	MHB
2-S12	Max	2-S12H2	-1518,72	0,00098	0,275	0,00355	0,00802	<b>1518,72</b>	<b>0,01156</b>	<b>MHB</b>	
2-S13	Max	2-S13H2	-1519,7	0,00096	0,275	0,00350	0,00802	<b>1519,70</b>	<b>0,01152</b>	<b>MHB</b>	MHB
2-S14	Max	2-S14H2	-1520,59	0,00098	0,275	0,00355	0,00802	<b>1520,59</b>	<b>0,01157</b>	<b>MHB</b>	
2-S16	Max	2-S16H1	-325,839	0,00030	0,275	0,00109	0,00802	<b>325,84</b>	<b>0,00911</b>	<b>MHB</b>	MHB
2-S16	Max	2-S16H2	-303,152	0,00018	0,275	0,00067	0,00802	<b>303,15</b>	<b>0,00869</b>	<b>MHB</b>	
2-S17	Max	2-S17H2	-990,607	0,00274	0,275	0,00995	0,00802	<b>990,61</b>	<b>0,01797</b>	<b>MHB</b>	BHB
2-S17	Min	2-S17H1	-1533,62	-0,00562	0,275	0,02045	0,00802	<b>1533,62</b>	<b>0,02847</b>	<b>BHB</b>	
2-S18	Max	2-S18H1	-973,353	0,00167	0,275	0,00607	0,00802	<b>973,35</b>	<b>0,01409</b>	<b>MHB</b>	MHB
2-S18	Max	2-S18H2	-950,665	0,00273	0,275	0,00992	0,00802	<b>950,67</b>	<b>0,01794</b>	<b>MHB</b>	
2-S19	Max	2-S19H1	-968,107	0,00262	0,275	0,00952	0,00802	<b>968,11</b>	<b>0,01754</b>	<b>MHB</b>	MHB
2-S19	Max	2-S19H2	-945,42	0,00271	0,275	0,00986	0,00802	<b>945,42</b>	<b>0,01788</b>	<b>MHB</b>	
2-S20	Max	2-S20H2	-312,119	0,00050	0,275	0,00182	0,00802	<b>312,12</b>	<b>0,00984</b>	<b>MHB</b>	MHB
2-S20	Min	2-S20H1	-1267,41	-0,00427	0,275	0,01553	0,00802	<b>1267,41</b>	<b>0,02355</b>	<b>MHB</b>	
3-S1	Max	3-S1H1	-292,364	0,00104	0,275	0,00379	0,00802	<b>292,36</b>	<b>0,01180</b>	<b>MHB</b>	MHB
3-S1	Max	3-S1H2	-269,677	0,00106	0,275	0,00384	0,00802	<b>269,68</b>	<b>0,01186</b>	<b>MHB</b>	
3-S2	Max	3-S2H1	-633,891	0,00222	0,275	0,00807	0,00802	<b>633,89</b>	<b>0,01608</b>	<b>MHB</b>	GB
3-S2	Min	3-S2H2	-1232,88	-0,12306	0,275	0,44748	0,00802	<b>1232,88</b>	<b>0,45550</b>	<b>GB</b>	
3-S3	Max	3-S3H1	-687,837	0,00206	0,275	0,00748	0,00802	<b>687,84</b>	<b>0,01550</b>	<b>MHB</b>	GB
3-S3	Min	3-S3H2	-1204,81	-0,11864	0,275	0,43143	0,00802	<b>1204,81</b>	<b>0,43945</b>	<b>GB</b>	
3-S4	Max	3-S4H1	-718,571	0,00203	0,275	0,00739	0,00802	<b>718,57</b>	<b>0,01541</b>	<b>MHB</b>	GB
3-S4	Min	3-S4H2	-1209,24	-0,12005	0,275	0,43653	0,00802	<b>1209,24</b>	<b>0,44455</b>	<b>GB</b>	
3-S5	Max	3-S5H1	-332,639	0,00110	0,275	0,00400	0,00802	<b>332,64</b>	<b>0,01202</b>	<b>MHB</b>	MHB
3-S5	Max	3-S5H2	-309,951	0,00110	0,275	0,00400	0,00802	<b>309,95</b>	<b>0,01201</b>	<b>MHB</b>	
3-S6	Max	3-S6H1	-726,161	0,00184	0,275	0,00668	0,00802	<b>726,16</b>	<b>0,01469</b>	<b>MHB</b>	MHB
3-S6	Max	3-S6H2	-703,474	0,00107	0,275	0,00389	0,00802	<b>703,47</b>	<b>0,01191</b>	<b>MHB</b>	
3-S7	Max	3-S7H2	-1131,46	0,07075	0,275	0,25726	0,00802	<b>1131,46</b>	<b>0,26528</b>	<b>GB</b>	<b>GB</b>

Tablo C.3.(Devam) 14bolu-x-z-kolon hasar sonuçları

3-S8	Max	3-S8H2	-1119,03	0,07497	0,275	0,27263	0,00802	<b>1119,03</b>	<b>0,28065</b>	<b>GB</b>	<b>GB</b>
3-S9	Max	3-S9H2	-1096,63	0,06604	0,275	0,24013	0,00802	<b>1096,63</b>	<b>0,24815</b>	<b>GB</b>	<b>GB</b>
3-S10	Max	3-S10H1	-652,515	0,00146	0,275	0,00530	0,00802	<b>652,52</b>	<b>0,01332</b>	<b>MHB</b>	<b>MHB</b>
3-S10	Max	3-S10H2	-629,827	0,00112	0,275	0,00405	0,00802	<b>629,83</b>	<b>0,01207</b>	<b>MHB</b>	
3-S11	Max	3-S11H1	-726,161	0,00184	0,275	0,00668	0,00802	<b>726,16</b>	<b>0,01469</b>	<b>MHB</b>	<b>MHB</b>
3-S11	Max	3-S11H2	-703,473	0,00107	0,275	0,00389	0,00802	<b>703,47</b>	<b>0,01191</b>	<b>MHB</b>	
3-S12	Max	3-S12H2	-1131,46	0,07075	0,275	0,25726	0,00802	<b>1131,46</b>	<b>0,26528</b>	<b>GB</b>	<b>GB</b>
3-S13	Max	3-S13H2	-1119,03	0,07497	0,275	0,27263	0,00802	<b>1119,03</b>	<b>0,28065</b>	<b>GB</b>	<b>GB</b>
3-S14	Max	3-S14H2	-1096,63	0,06604	0,275	0,24013	0,00802	<b>1096,63</b>	<b>0,24815</b>	<b>GB</b>	<b>GB</b>
3-S15	Max	3-S15H1	-652,515	0,00146	0,275	0,00530	0,00802	<b>652,52</b>	<b>0,01332</b>	<b>MHB</b>	<b>MHB</b>
3-S15	Max	3-S15H2	-629,827	0,00112	0,275	0,00405	0,00802	<b>629,83</b>	<b>0,01207</b>	<b>MHB</b>	
3-S16	Max	3-S16H1	-292,363	0,00104	0,275	0,00379	0,00802	<b>292,36</b>	<b>0,01180</b>	<b>MHB</b>	<b>MHB</b>
3-S16	Max	3-S16H2	-269,676	0,00106	0,275	0,00384	0,00802	<b>269,68</b>	<b>0,01186</b>	<b>MHB</b>	
3-S17	Max	3-S17H1	-633,891	0,00222	0,275	0,00807	0,00802	<b>633,89</b>	<b>0,01608</b>	<b>MHB</b>	<b>GB</b>
3-S17	Min	3-S17H2	-1232,88	-0,12306	0,275	0,44749	0,00802	<b>1232,88</b>	<b>0,45551</b>	<b>GB</b>	
3-S18	Max	3-S18H1	-687,837	0,00206	0,275	0,00748	0,00802	<b>687,84</b>	<b>0,01550</b>	<b>MHB</b>	<b>GB</b>
3-S18	Min	3-S18H2	-1204,81	-0,11864	0,275	0,43143	0,00802	<b>1204,81</b>	<b>0,43945</b>	<b>GB</b>	
3-S19	Max	3-S19H1	-718,57	0,00203	0,275	0,00739	0,00802	<b>718,57</b>	<b>0,01541</b>	<b>MHB</b>	<b>GB</b>
3-S19	Min	3-S19H2	-1209,24	-0,12005	0,275	0,43653	0,00802	<b>1209,24</b>	<b>0,44455</b>	<b>GB</b>	
3-S20	Max	3-S20H1	-332,639	0,00110	0,275	0,00400	0,00802	<b>332,64</b>	<b>0,01202</b>	<b>MHB</b>	<b>MHB</b>
3-S20	Max	3-S20H2	-309,952	0,00110	0,275	0,00400	0,00802	<b>309,95</b>	<b>0,01201</b>	<b>MHB</b>	
4-S2	Max	4-S2H2	-487,879	0,00102	0,275	0,00369	0,00802	<b>487,88</b>	<b>0,01171</b>	<b>MHB</b>	<b>BHB</b>
4-S2	Min	4-S2H1	-766,104	-0,00780	0,275	0,02837	0,00802	<b>766,10</b>	<b>0,03639</b>	<b>BHB</b>	
4-S3	Max	4-S3H2	-472,312	0,00105	0,275	0,00381	0,00802	<b>472,31</b>	<b>0,01183</b>	<b>MHB</b>	<b>BHB</b>
4-S3	Min	4-S3H1	-749,11	-0,00534	0,275	0,01941	0,00802	<b>749,11</b>	<b>0,02743</b>	<b>BHB</b>	
4-S4	Max	4-S4H2	-466,156	0,00103	0,275	0,00373	0,00802	<b>466,16</b>	<b>0,01175</b>	<b>MHB</b>	<b>BHB</b>
4-S4	Min	4-S4H1	-768,223	-0,00755	0,275	0,02744	0,00802	<b>768,22</b>	<b>0,03546</b>	<b>BHB</b>	
4-S7	Max	4-S7H1	-794,413	0,00956	0,275	0,03477	0,00802	<b>794,41</b>	<b>0,04279</b>	<b>BHB</b>	<b>BHB</b>
4-S7	Max	4-S7H2	-771,726	0,00080	0,275	0,00291	0,00802	<b>771,73</b>	<b>0,01093</b>	<b>MHB</b>	
4-S8	Max	4-S8H1	-799,001	0,00928	0,275	0,03375	0,00802	<b>799,00</b>	<b>0,04177</b>	<b>BHB</b>	<b>BHB</b>
4-S8	Max	4-S8H2	-776,314	0,00079	0,275	0,00288	0,00802	<b>776,31</b>	<b>0,01090</b>	<b>MHB</b>	
4-S9	Max	4-S9H1	-793,189	0,00917	0,275	0,03336	0,00802	<b>793,19</b>	<b>0,04138</b>	<b>BHB</b>	<b>BHB</b>
4-S9	Max	4-S9H2	-770,501	0,00073	0,275	0,00264	0,00802	<b>770,50</b>	<b>0,01066</b>	<b>MHB</b>	
4-S12	Max	4-S12H1	-794,413	0,00956	0,275	0,03477	0,00802	<b>794,41</b>	<b>0,04279</b>	<b>BHB</b>	<b>BHB</b>
4-S12	Max	4-S12H2	-771,726	0,00080	0,275	0,00291	0,00802	<b>771,73</b>	<b>0,01093</b>	<b>MHB</b>	
4-S13	Max	4-S13H1	-799,001	0,00928	0,275	0,03375	0,00802	<b>799,00</b>	<b>0,04177</b>	<b>BHB</b>	<b>BHB</b>
4-S13	Max	4-S13H2	-776,314	0,00079	0,275	0,00288	0,00802	<b>776,31</b>	<b>0,01090</b>	<b>MHB</b>	
4-S14	Max	4-S14H1	-793,189	0,00917	0,275	0,03336	0,00802	<b>793,19</b>	<b>0,04138</b>	<b>BHB</b>	<b>BHB</b>
4-S14	Max	4-S14H2	-770,502	0,00073	0,275	0,00264	0,00802	<b>770,50</b>	<b>0,01066</b>	<b>MHB</b>	
4-S17	Max	4-S17H2	-487,879	0,00102	0,275	0,00369	0,00802	<b>487,88</b>	<b>0,01171</b>	<b>MHB</b>	<b>BHB</b>
4-S17	Min	4-S17H1	-766,104	-0,00780	0,275	0,02837	0,00802	<b>766,10</b>	<b>0,03639</b>	<b>BHB</b>	
4-S18	Max	4-S18H2	-472,312	0,00105	0,275	0,00381	0,00802	<b>472,31</b>	<b>0,01183</b>	<b>MHB</b>	<b>BHB</b>
4-S18	Min	4-S18H1	-749,11	-0,00534	0,275	0,01941	0,00802	<b>749,11</b>	<b>0,02743</b>	<b>BHB</b>	
4-S19	Max	4-S19H2	-466,156	0,00103	0,275	0,00373	0,00802	<b>466,16</b>	<b>0,01175</b>	<b>MHB</b>	<b>BHB</b>
4-S19	Min	4-S19H1	-768,223	-0,00755	0,275	0,02744	0,00802	<b>768,22</b>	<b>0,03546</b>	<b>BHB</b>	
5-S2	Min	5-S2H2	-352,464	-0,00059	0,275	0,00216	0,00802	<b>352,46</b>	<b>0,01017</b>	<b>MHB</b>	<b>MHB</b>
5-S3	Min	5-S3H2	-347,932	-0,00036	0,275	0,00130	0,00802	<b>347,93</b>	<b>0,00932</b>	<b>MHB</b>	<b>MHB</b>
5-S4	Min	5-S4H2	-352,982	-0,00041	0,275	0,00147	0,00802	<b>352,98</b>	<b>0,00949</b>	<b>MHB</b>	<b>MHB</b>
5-S17	Min	5-S17H2	-352,464	-0,00059	0,275	0,00216	0,00802	<b>352,46</b>	<b>0,01017</b>	<b>MHB</b>	<b>MHB</b>
5-S18	Min	5-S18H2	-347,932	-0,00036	0,275	0,00130	0,00802	<b>347,93</b>	<b>0,00932</b>	<b>MHB</b>	<b>MHB</b>
5-S19	Min	5-S19H2	-352,982	-0,00041	0,275	0,00147	0,00802	<b>352,98</b>	<b>0,00949</b>	<b>MHB</b>	<b>MHB</b>

Tablo C.4. 14bolu-y-z-kolon hasar sonuçları

KOLON	StepType	MAFSAL	P	$\theta_p$	Lp	$\Phi_p$	$\Phi_y$	P	$\Phi_t$	HASAR	KESİT HASAR
	Text		KN	Radians	m	1/m	1/m	KN	1/m	BÖLGESİ	
1-S1	Min	1-S1H1	-1785,57	-0,03451	0,275	0,12550	0,00802	<b>1785,57</b>	<b>0,13352</b>	<b>GB</b>	GB
1-S1	Min	1-S1H2	-1755,32	-0,00471	0,275	0,01712	0,00802	<b>1755,32</b>	<b>0,02514</b>	<b>BHB</b>	
1-S2	Max	1-S2H1	-808,748	0,13882	0,275	0,50481	0,00802	<b>808,75</b>	<b>0,51283</b>	<b>GB</b>	GB
1-S2	Min	1-S2H2	-2365,42	-0,00481	0,275	0,01747	0,00802	<b>2365,42</b>	<b>0,02549</b>	<b>BHB</b>	
1-S3	Max	1-S3H1	-706,89	0,12923	0,275	0,46992	0,00802	<b>706,89</b>	<b>0,47793</b>	<b>GB</b>	GB
1-S3	Min	1-S3H2	-2358,16	-0,00509	0,275	0,01849	0,00802	<b>2358,16</b>	<b>0,02651</b>	<b>BHB</b>	
1-S4	Max	1-S4H1	-839,176	0,15256	0,275	0,55475	0,00802	<b>839,18</b>	<b>0,56277</b>	<b>GB</b>	GB
1-S4	Min	1-S4H2	-2365,46	-0,00037	0,275	0,00134	0,00802	<b>2365,46</b>	<b>0,00936</b>	<b>MHB</b>	
1-S5	Min	1-S5H1	-1776,09	-0,07940	0,275	0,28874	0,00802	<b>1776,09</b>	<b>0,29676</b>	<b>GB</b>	GB
1-S5	Min	1-S5H2	-1745,84	-0,00097	0,275	0,00353	0,00802	<b>1745,84</b>	<b>0,01155</b>	<b>MHB</b>	
1-S6	Min	1-S6H1	-2182,9	-0,01325	0,275	0,04818	0,00802	<b>2182,90</b>	<b>0,05620</b>	<b>BHB</b>	BHB
1-S6	Min	1-S6H2	-2152,65	-0,00542	0,275	0,01971	0,00802	<b>2152,65</b>	<b>0,02773</b>	<b>BHB</b>	
1-S7	Min	1-S7H1	-3020,6	-0,01795	0,275	0,06528	0,00802	<b>3020,60</b>	<b>0,07330</b>	<b>GB</b>	GB
1-S7	Min	1-S7H2	-2990,35	-0,00406	0,275	0,01477	0,00802	<b>2990,35</b>	<b>0,02279</b>	<b>BHB</b>	
1-S8	Min	1-S8H1	-3024,92	-0,01302	0,275	0,04735	0,00802	<b>3024,92</b>	<b>0,05537</b>	<b>iHB</b>	iHB
1-S8	Min	1-S8H2	-2994,67	-0,00280	0,275	0,01017	0,00802	<b>2994,67</b>	<b>0,01819</b>	<b>BHB</b>	
1-S9	Min	1-S9H1	-3020,32	-0,02868	0,275	0,10428	0,00802	<b>3020,32</b>	<b>0,11230</b>	<b>GB</b>	GB
1-S9	Min	1-S9H2	-2990,07	-0,00177	0,275	0,00643	0,00802	<b>2990,07</b>	<b>0,01445</b>	<b>BHB</b>	
1-S10	Min	1-S10H1	-2168,89	-0,01472	0,275	0,05354	0,00802	<b>2168,89</b>	<b>0,06156</b>	<b>BHB</b>	BHB
1-S10	Min	1-S10H2	-2138,64	-0,00557	0,275	0,02027	0,00802	<b>2138,64</b>	<b>0,02829</b>	<b>BHB</b>	
1-S11	Min	1-S11H1	-2179,64	-0,02424	0,275	0,08813	0,00802	<b>2179,64</b>	<b>0,09615</b>	<b>GB</b>	GB
1-S11	Min	1-S11H2	-2149,39	-0,04135	0,275	0,15037	0,00802	<b>2149,39</b>	<b>0,15839</b>	<b>GB</b>	
1-S12	Min	1-S12H1	-3030,25	-0,02335	0,275	0,08489	0,00802	<b>3030,25</b>	<b>0,09291</b>	<b>GB</b>	GB
1-S12	Min	1-S12H2	-3000	-0,00309	0,275	0,01123	0,00802	<b>3000,00</b>	<b>0,01925</b>	<b>BHB</b>	
1-S13	Min	1-S13H1	-2994,1	-0,01415	0,275	0,05145	0,00802	<b>2994,10</b>	<b>0,05947</b>	<b>iHB</b>	iHB
1-S13	Min	1-S13H2	-2963,85	-0,00291	0,275	0,01059	0,00802	<b>2963,85</b>	<b>0,01861</b>	<b>BHB</b>	
1-S14	Min	1-S14H1	-2991,67	-0,03955	0,275	0,14381	0,00802	<b>2991,67</b>	<b>0,15183</b>	<b>GB</b>	GB
1-S14	Min	1-S14H2	-2961,42	-0,00361	0,275	0,01311	0,00802	<b>2961,42</b>	<b>0,02113</b>	<b>BHB</b>	
1-S15	Max	1-S15H1	-1281,85	0,04949	0,275	0,17998	0,00802	<b>1281,85</b>	<b>0,18800</b>	<b>GB</b>	GB
1-S15	Min	1-S15H2	-2049,06	-0,00152	0,275	0,00552	0,00802	<b>2049,06</b>	<b>0,01353</b>	<b>MHB</b>	
1-S16	Min	1-S16H1	-1423,49	-0,05639	0,275	0,20505	0,00802	<b>1423,49</b>	<b>0,21307</b>	<b>GB</b>	GB
1-S16	Min	1-S16H2	-1393,24	-0,00554	0,275	0,02013	0,00802	<b>1393,24</b>	<b>0,02815</b>	<b>BHB</b>	
1-S17	Min	1-S17H1	-2112,54	-0,02065	0,275	0,07508	0,00802	<b>2112,54</b>	<b>0,08310</b>	<b>iHB</b>	iHB
1-S17	Min	1-S17H2	-2082,29	-0,00325	0,275	0,01183	0,00802	<b>2082,29</b>	<b>0,01984</b>	<b>BHB</b>	
1-S18	Min	1-S18H1	-2099,72	-0,05226	0,275	0,19005	0,00802	<b>2099,72</b>	<b>0,19807</b>	<b>GB</b>	GB
1-S18	Min	1-S18H2	-2069,47	-0,00150	0,275	0,00546	0,00802	<b>2069,47</b>	<b>0,01348</b>	<b>MHB</b>	
1-S19	Min	1-S19H1	-2123,14	-0,02872	0,275	0,10444	0,00802	<b>2123,14</b>	<b>0,11246</b>	<b>GB</b>	GB
1-S19	Min	1-S19H2	-2092,89	-0,00073	0,275	0,00264	0,00802	<b>2092,89</b>	<b>0,01066</b>	<b>MHB</b>	
1-S20	Min	1-S20H1	-1510,19	-0,02676	0,275	0,09732	0,00802	<b>1510,19</b>	<b>0,10534</b>	<b>iHB</b>	GB
1-S20	Min	1-S20H2	-1479,94	-0,03573	0,275	0,12994	0,00802	<b>1479,94</b>	<b>0,13796</b>	<b>GB</b>	
2-S1	Max	2-S1H1	-355,347	0,00009	0,275	0,00031	0,00802	<b>355,35</b>	<b>0,00833</b>	<b>MHB</b>	MHB
2-S2	Min	2-S2H1	-1798,74	-0,00266	0,275	0,00966	0,00802	<b>1798,74</b>	<b>0,01768</b>	<b>MHB</b>	
2-S3	Min	2-S3H1	-1793,54	-0,00323	0,275	0,01176	0,00802	<b>1793,54</b>	<b>0,01977</b>	<b>BHB</b>	BHB
2-S5	Max	2-S5H1	-349,667	0,00235	0,275	0,00854	0,00802	<b>349,67</b>	<b>0,01656</b>	<b>MHB</b>	
2-S6	Max	2-S6H1	-1106,19	0,00149	0,275	0,00541	0,00802	<b>1106,19</b>	<b>0,01343</b>	<b>MHB</b>	MHB
2-S6	Max	2-S6H2	-1083,5	0,00186	0,275	0,00677	0,00802	<b>1083,50</b>	<b>0,01479</b>	<b>MHB</b>	
2-S7	Max	2-S7H1	-1535,96	0,00082	0,275	0,00298	0,00802	<b>1535,96</b>	<b>0,01100</b>	<b>MHB</b>	MHB
2-S7	Max	2-S7H2	-1513,28	0,00061	0,275	0,00221	0,00802	<b>1513,28</b>	<b>0,01023</b>	<b>MHB</b>	
2-S8	Max	2-S8H1	-1543,76	0,00065	0,275	0,00235	0,00802	<b>1543,76</b>	<b>0,01036</b>	<b>MHB</b>	MHB
2-S8	Max	2-S8H2	-1521,07	0,00057	0,275	0,00209	0,00802	<b>1521,07</b>	<b>0,01011</b>	<b>MHB</b>	
2-S9	Max	2-S9H1	-1537,48	0,00153	0,275	0,00555	0,00802	<b>1537,48</b>	<b>0,01356</b>	<b>MHB</b>	MHB
2-S9	Min	2-S9H2	-2342,53	-0,00132	0,275	0,00480	0,00802	<b>2342,53</b>	<b>0,01282</b>	<b>MHB</b>	
2-S10	Max	2-S10H1	-1102,87	0,00138	0,275	0,00503	0,00802	<b>1102,87</b>	<b>0,01305</b>	<b>MHB</b>	MHB
2-S10	Max	2-S10H2	-1080,18	0,00197	0,275	0,00717	0,00802	<b>1080,18</b>	<b>0,01519</b>	<b>MHB</b>	
2-S11	Max	2-S11H2	-1055,27	0,00175	0,275	0,00637	0,00802	<b>1055,27</b>	<b>0,01439</b>	<b>MHB</b>	BHB
2-S11	Min	2-S11H1	-1647,38	-0,01574	0,275	0,05725	0,00802	<b>1647,38</b>	<b>0,06527</b>	<b>BHB</b>	
2-S12	Max	2-S12H1	-1552,09	0,00047	0,275	0,00170	0,00802	<b>1552,09</b>	<b>0,00972</b>	<b>MHB</b>	MHB
2-S12	Max	2-S12H2	-1529,41	0,00057	0,275	0,00207	0,00802	<b>1529,41</b>	<b>0,01009</b>	<b>MHB</b>	

Tablo C.4.(Devam) 14bolu-y-z-kolon hasar sonuçları

2-S13	Max	2-S13H1	-1559,39	0,00102	0,275	0,00370	0,00802	<b>1559,39</b>	<b>0,01172</b>	MHB	<b>MHB</b>
2-S13	Max	2-S13H2	-1536,7	0,00065	0,275	0,00238	0,00802	<b>1536,70</b>	<b>0,01040</b>	MHB	
2-S14	Max	2-S14H1	-1552,59	0,00196	0,275	0,00714	0,00802	<b>1552,59</b>	<b>0,01516</b>	MHB	<b>MHB</b>
2-S14	Max	2-S14H2	-1529,9	0,00067	0,275	0,00242	0,00802	<b>1529,90</b>	<b>0,01044</b>	MHB	
2-S15	Max	2-S15H1	-1055,38	0,00173	0,275	0,00628	0,00802	<b>1055,38</b>	<b>0,01429</b>	MHB	<b>MHB</b>
2-S15	Max	2-S15H2	-1032,69	0,00200	0,275	0,00728	0,00802	<b>1032,69</b>	<b>0,01530</b>	MHB	
2-S16	Max	2-S16H1	-353,701	0,00299	0,275	0,01088	0,00802	<b>353,70</b>	<b>0,01890</b>	MHB	<b>MHB</b>
2-S20	Min	2-S20H1	-1249,43	-0,00378	0,275	0,01374	0,00802	<b>1249,43</b>	<b>0,02176</b>	MHB	<b>MHB</b>
3-S1	Max	3-S1H2	-245,109	0,00024	0,275	0,00086	0,00802	<b>245,11</b>	<b>0,00888</b>	MHB	<b>MHB</b>
3-S2	Max	3-S2H1	-630,049	0,00074	0,275	0,00267	0,00802	<b>630,05</b>	<b>0,01069</b>	MHB	<b>MHB</b>
3-S2	Max	3-S2H2	-607,361	0,00058	0,275	0,00209	0,00802	<b>607,36</b>	<b>0,01011</b>	MHB	
3-S3	Max	3-S3H1	-598,982	0,00085	0,275	0,00311	0,00802	<b>598,98</b>	<b>0,01112</b>	MHB	<b>MHB</b>
3-S3	Max	3-S3H2	-576,294	0,00056	0,275	0,00203	0,00802	<b>576,29</b>	<b>0,01005</b>	MHB	
3-S4	Max	3-S4H1	-644,583	0,00041	0,275	0,00150	0,00802	<b>644,58</b>	<b>0,00952</b>	MHB	<b>MHB</b>
3-S4	Max	3-S4H2	-621,895	0,00060	0,275	0,00218	0,00802	<b>621,90</b>	<b>0,01020</b>	MHB	
3-S5	Max	3-S5H2	-236,559	0,00028	0,275	0,00102	0,00802	<b>236,56</b>	<b>0,00904</b>	MHB	<b>MHB</b>
3-S6	Max	3-S6H1	-831,811	0,00103	0,275	0,00374	0,00802	<b>831,81</b>	<b>0,01176</b>	MHB	<b>MHB</b>
3-S6	Max	3-S6H2	-809,124	0,00384	0,275	0,01396	0,00802	<b>809,12</b>	<b>0,02198</b>	MHB	
3-S7	Max	3-S7H1	-1180,82	0,00073	0,275	0,00266	0,00802	<b>1180,82</b>	<b>0,01068</b>	MHB	<b>MHB</b>
3-S7	Max	3-S7H2	-1158,13	0,00198	0,275	0,00719	0,00802	<b>1158,13</b>	<b>0,01520</b>	MHB	
3-S8	Max	3-S8H2	-1130,32	0,00891	0,275	0,03239	0,00802	<b>1130,32</b>	<b>0,04040</b>	BHB	<b>BHB</b>
3-S9	Max	3-S9H2	-1044,14	0,04907	0,275	0,17842	0,00802	<b>1044,14</b>	<b>0,18644</b>	GB	<b>GB</b>
3-S10	Max	3-S10H1	-763,116	0,00209	0,275	0,00759	0,00802	<b>763,12</b>	<b>0,01560</b>	MHB	<b>GB</b>
3-S10	Min	3-S10H2	-1275,29	-0,07434	0,275	0,27032	0,00802	<b>1275,29</b>	<b>0,27834</b>	GB	
3-S11	Max	3-S11H1	-698,703	0,00252	0,275	0,00917	0,00802	<b>698,70</b>	<b>0,01719</b>	MHB	<b>GB</b>
3-S11	Min	3-S11H2	-1227,19	-0,08314	0,275	0,30234	0,00802	<b>1227,19</b>	<b>0,31036</b>	GB	
3-S12	Max	3-S12H1	-1210,14	0,00019	0,275	0,00069	0,00802	<b>1210,14</b>	<b>0,00871</b>	MHB	<b>BHB</b>
3-S12	Max	3-S12H2	-1187,45	0,00197	0,275	0,00718	0,00802	<b>1187,45</b>	<b>0,01520</b>	BHB	
3-S13	Max	3-S13H1	-1214,24	0,00017	0,275	0,00063	0,00802	<b>1214,24</b>	<b>0,00865</b>	MHB	<b>MHB</b>
3-S13	Max	3-S13H2	-1191,55	0,00207	0,275	0,00754	0,00802	<b>1191,55</b>	<b>0,01556</b>	MHB	
3-S14	Max	3-S14H1	-1191,2	0,00025	0,275	0,00089	0,00802	<b>1191,20</b>	<b>0,00891</b>	MHB	<b>MHB</b>
3-S14	Max	3-S14H2	-1168,51	0,00201	0,275	0,00731	0,00802	<b>1168,51</b>	<b>0,01533</b>	MHB	
3-S15	Max	3-S15H1	-844,109	0,00155	0,275	0,00563	0,00802	<b>844,11</b>	<b>0,01364</b>	MHB	<b>MHB</b>
3-S15	Max	3-S15H2	-821,422	0,00400	0,275	0,01453	0,00802	<b>821,42</b>	<b>0,02255</b>	MHB	
3-S17	Max	3-S17H1	-531,657	0,00018	0,275	0,00064	0,00802	<b>531,66</b>	<b>0,00866</b>	MHB	<b>MHB</b>
3-S17	Max	3-S17H2	-508,969	0,00015	0,275	0,00055	0,00802	<b>508,97</b>	<b>0,00857</b>	MHB	
3-S18	Max	3-S18H1	-537,79	0,00016	0,275	0,00056	0,00802	<b>537,79</b>	<b>0,00858</b>	MHB	<b>MHB</b>
3-S18	Max	3-S18H2	-515,102	0,00014	0,275	0,00052	0,00802	<b>515,10</b>	<b>0,00854</b>	MHB	
3-S19	Max	3-S19H1	-532,78	0,00029	0,275	0,00106	0,00802	<b>532,78</b>	<b>0,00908</b>	MHB	<b>MHB</b>
3-S19	Max	3-S19H2	-510,093	0,00021	0,275	0,00075	0,00802	<b>510,09</b>	<b>0,00877</b>	MHB	
3-S20	Max	3-S20H1	-295,473	0,00058	0,275	0,00211	0,00802	<b>295,47</b>	<b>0,01012</b>	MHB	<b>MHB</b>
4-S1	Max	4-S1H1	-192,68	0,00024	0,275	0,00088	0,00802	<b>192,68</b>	<b>0,00890</b>	MHB	<b>MHB</b>
4-S1	Max	4-S1H2	-169,992	0,00018	0,275	0,00064	0,00802	<b>169,99</b>	<b>0,00866</b>	MHB	
4-S5	Max	4-S5H1	-186,912	0,00037	0,275	0,00135	0,00802	<b>186,91</b>	<b>0,00937</b>	MHB	<b>MHB</b>
4-S5	Max	4-S5H2	-164,225	0,00028	0,275	0,00101	0,00802	<b>164,23</b>	<b>0,00903</b>	MHB	
4-S6	Max	4-S6H1	-557,112	0,00021	0,275	0,00077	0,00802	<b>557,11</b>	<b>0,00879</b>	MHB	<b>MHB</b>
4-S6	Max	4-S6H2	-534,425	0,00149	0,275	0,00543	0,00802	<b>534,43</b>	<b>0,01345</b>	MHB	
4-S7	Max	4-S7H1	-786,771	0,00169	0,275	0,00614	0,00802	<b>786,77</b>	<b>0,01416</b>	MHB	<b>MHB</b>
4-S7	Max	4-S7H2	-764,084	0,00140	0,275	0,00509	0,00802	<b>764,08</b>	<b>0,01311</b>	MHB	
4-S8	Max	4-S8H1	-697,122	0,02876	0,275	0,10458	0,00802	<b>697,12</b>	<b>0,11260</b>	iHB	<b>iHB</b>
4-S8	Max	4-S8H2	-674,435	0,00135	0,275	0,00491	0,00802	<b>674,44</b>	<b>0,01293</b>	MHB	
4-S9	Max	4-S9H1	-660,749	0,01694	0,275	0,06159	0,00802	<b>660,75</b>	<b>0,06960</b>	BHB	<b>BHB</b>
4-S9	Max	4-S9H2	-638,061	0,00147	0,275	0,00534	0,00802	<b>638,06</b>	<b>0,01336</b>	MHB	
4-S10	Max	4-S10H2	-542,34	0,00171	0,275	0,00620	0,00802	<b>542,34</b>	<b>0,01422</b>	MHB	<b>BHB</b>
4-S10	Min	4-S10H1	-819,646	-0,00450	0,275	0,01638	0,00802	<b>819,65</b>	<b>0,02440</b>	BHB	
4-S11	Max	4-S11H2	-524,237	0,00145	0,275	0,00527	0,00802	<b>524,24</b>	<b>0,01329</b>	MHB	<b>BHB</b>
4-S11	Min	4-S11H1	-836,93	-0,00794	0,275	0,02887	0,00802	<b>836,93</b>	<b>0,03689</b>	BHB	
4-S12	Max	4-S12H1	-806,47	0,00150	0,275	0,00545	0,00802	<b>806,47</b>	<b>0,01347</b>	MHB	<b>MHB</b>
4-S12	Max	4-S12H2	-783,782	0,00132	0,275	0,00479	0,00802	<b>783,78</b>	<b>0,01281</b>	MHB	
4-S13	Max	4-S13H1	-816,393	0,00136	0,275	0,00493	0,00802	<b>816,39</b>	<b>0,01295</b>	MHB	<b>MHB</b>
4-S13	Max	4-S13H2	-793,705	0,00131	0,275	0,00476	0,00802	<b>793,71</b>	<b>0,01278</b>	MHB	

Tablo C.4.(Devam) 14bolu-y-z-kolon hasar sonuçları

4-S14	Max	4-S14H1	-814,113	0,00127	0,275	0,00463	0,00802	<b>814,11</b>	<b>0,01265</b>	MHB	<b>MHB</b>
4-S14	Max	4-S14H2	-791,425	0,00136	0,275	0,00493	0,00802	<b>791,43</b>	<b>0,01295</b>	MHB	
4-S15	Max	4-S15H1	-528,57	0,00057	0,275	0,00207	0,00802	<b>528,57</b>	<b>0,01008</b>	MHB	<b>MHB</b>
4-S15	Max	4-S15H2	-505,883	0,00171	0,275	0,00620	0,00802	<b>505,88</b>	<b>0,01422</b>	MHB	
4-S16	Max	4-S16H1	-221,239	0,00123	0,275	0,00446	0,00802	<b>221,24</b>	<b>0,01248</b>	MHB	<b>MHB</b>
4-S17	Max	4-S17H1	-375,685	0,00088	0,275	0,00318	0,00802	<b>375,69</b>	<b>0,01120</b>	MHB	
4-S18	Max	4-S18H1	-380,62	0,00088	0,275	0,00320	0,00802	<b>380,62</b>	<b>0,01122</b>	MHB	<b>MHB</b>
4-S19	Max	4-S19H1	-376,416	0,00085	0,275	0,00308	0,00802	<b>376,42</b>	<b>0,01109</b>	MHB	
4-S20	Max	4-S20H1	-224,503	0,00093	0,275	0,00340	0,00802	<b>224,50</b>	<b>0,01141</b>	MHB	<b>MHB</b>
5-S6	Min	5-S6H2	-538,3	-0,00237	0,275	0,00863	0,00802	<b>538,30</b>	<b>0,01665</b>	MHB	
5-S7	Min	5-S7H2	-631,257	-0,00133	0,275	0,00483	0,00802	<b>631,26</b>	<b>0,01284</b>	MHB	<b>MHB</b>
5-S8	Min	5-S8H2	-633,99	-0,00149	0,275	0,00543	0,00802	<b>633,99</b>	<b>0,01345</b>	MHB	
5-S9	Min	5-S9H2	-628,825	-0,00150	0,275	0,00546	0,00802	<b>628,83</b>	<b>0,01348</b>	MHB	<b>MHB</b>
5-S10	Min	5-S10H2	-546,867	-0,00265	0,275	0,00964	0,00802	<b>546,87</b>	<b>0,01765</b>	MHB	
5-S11	Min	5-S11H2	-475,588	-0,00188	0,275	0,00683	0,00802	<b>475,59</b>	<b>0,01485</b>	MHB	<b>MHB</b>
5-S12	Min	5-S12H2	-583,443	-0,00079	0,275	0,00288	0,00802	<b>583,44</b>	<b>0,01090</b>	MHB	
5-S13	Min	5-S13H2	-582,786	-0,00081	0,275	0,00294	0,00802	<b>582,79</b>	<b>0,01096</b>	MHB	<b>MHB</b>
5-S14	Min	5-S14H2	-585,81	-0,00094	0,275	0,00342	0,00802	<b>585,81</b>	<b>0,01144</b>	MHB	
5-S15	Min	5-S15H2	-469,849	-0,00189	0,275	0,00686	0,00802	<b>469,85</b>	<b>0,01488</b>	MHB	<b>MHB</b>
5-S16	Min	5-S16H2	-383,065	-0,00170	0,275	0,00617	0,00802	<b>383,07</b>	<b>0,01419</b>	MHB	
5-S17	Min	5-S17H2	-487,304	-0,00206	0,275	0,00749	0,00802	<b>487,30</b>	<b>0,01551</b>	MHB	<b>MHB</b>
5-S18	Min	5-S18H2	-489,378	-0,00190	0,275	0,00692	0,00802	<b>489,38</b>	<b>0,01493</b>	MHB	
5-S19	Min	5-S19H2	-493,972	-0,00185	0,275	0,00672	0,00802	<b>493,97</b>	<b>0,01474</b>	MHB	<b>MHB</b>
5-S20	Min	5-S20H2	-369,772	-0,00155	0,275	0,00563	0,00802	<b>369,77</b>	<b>0,01365</b>	MHB	

Tablo C.5. 15bingöl-x-kolon hasar sonuçları

KOLON	StepType	MAFSAL	P	$\theta_p$	Lp	$\Phi_p$	$\Phi_y$	P	$\Phi_t$	HASAR	KESİT HASAR
	Text		KN	Radians	m	1/m	1/m	KN	1/m	BÖLGESİ	
1-S1	Max	1-S1H1	-437,903	0,09539	0,275	0,34687	0,00802	<b>437,90</b>	<b>0,35489</b>	GB	<b>GB</b>
1-S1	Min	1-S1H1	-1377,53	-0,00013	0,275	0,00046	0,00802	<b>1377,53</b>	<b>0,00848</b>	MHB	
1-S2	Max	1-S2H1	-1413,05	0,00251	0,275	0,00914	0,00802	<b>1413,05</b>	<b>0,01716</b>	MHB	<b>GB</b>
1-S2	Min	1-S2H1	-1730,15	-0,07376	0,275	0,26823	0,00802	<b>1730,15</b>	<b>0,27624</b>	GB	
1-S3	Max	1-S3H1	-1396,52	0,00252	0,275	0,00916	0,00802	<b>1396,52</b>	<b>0,01718</b>	MHB	<b>GB</b>
1-S3	Min	1-S3H1	-1706,96	-0,07828	0,275	0,28465	0,00802	<b>1706,96</b>	<b>0,29267</b>	GB	
1-S4	Max	1-S4H1	-1317,35	0,08058	0,275	0,29300	0,00802	<b>1317,35</b>	<b>0,30102</b>	GB	<b>GB</b>
1-S5	Max	1-S5H1	-649,233	0,00297	0,275	0,01078	0,00802	<b>649,23</b>	<b>0,01880</b>	MHB	
1-S5	Min	1-S5H1	-1443,86	-0,05834	0,275	0,21214	0,00802	<b>1443,86</b>	<b>0,22016</b>	GB	<b>GB</b>
1-S6	Max	1-S6H1	-1202,51	0,00481	0,275	0,01747	0,00802	<b>1202,51</b>	<b>0,02549</b>	MHB	
1-S7	Max	1-S7H1	-2422,89	0,00143	0,275	0,00521	0,00802	<b>2422,89</b>	<b>0,01323</b>	MHB	<b>GB</b>
1-S8	Max	1-S8H1	-2433,01	0,00144	0,275	0,00525	0,00802	<b>2433,01</b>	<b>0,01327</b>	MHB	
1-S9	Max	1-S9H1	-2427,21	0,00141	0,275	0,00512	0,00802	<b>2427,21</b>	<b>0,01314</b>	MHB	<b>GB</b>
1-S10	Max	1-S10H1	-1247,35	0,00196	0,275	0,00712	0,00802	<b>1247,35</b>	<b>0,01514</b>	MHB	
1-S10	Min	1-S10H1	-2075,92	-0,05866	0,275	0,21332	0,00802	<b>2075,92</b>	<b>0,22133</b>	GB	<b>GB</b>
1-S11	Max	1-S11H1	-1202,51	0,00429	0,275	0,01560	0,00802	<b>1202,51</b>	<b>0,02362</b>	MHB	
1-S12	Max	1-S12H1	-2422,89	0,00124	0,275	0,00452	0,00802	<b>2422,89</b>	<b>0,01253</b>	MHB	<b>GB</b>
1-S13	Max	1-S13H1	-2433,01	0,00125	0,275	0,00454	0,00802	<b>2433,01</b>	<b>0,01256</b>	MHB	
1-S14	Max	1-S14H1	-2427,21	0,00125	0,275	0,00456	0,00802	<b>2427,21</b>	<b>0,01257</b>	MHB	<b>GB</b>
1-S15	Max	1-S15H1	-1247,35	0,00196	0,275	0,00712	0,00802	<b>1247,35</b>	<b>0,01514</b>	MHB	
1-S15	Min	1-S15H1	-2075,92	-0,05855	0,275	0,21292	0,00802	<b>2075,92</b>	<b>0,22094</b>	GB	<b>GB</b>
1-S16	Max	1-S16H1	-437,903	0,07147	0,275	0,25988	0,00802	<b>437,90</b>	<b>0,26789</b>	GB	
1-S16	Min	1-S16H1	-1377,53	-0,00013	0,275	0,00046	0,00802	<b>1377,53</b>	<b>0,00848</b>	MHB	<b>GB</b>
1-S17	Max	1-S17H1	-1416,64	0,00251	0,275	0,00914	0,00802	<b>1416,64</b>	<b>0,01716</b>	MHB	
1-S17	Min	1-S17H1	-1730,15	-0,05363	0,275	0,19500	0,00802	<b>1730,15</b>	<b>0,20302</b>	GB	<b>GB</b>
1-S18	Max	1-S18H1	-1317,28	0,00252	0,275	0,00916	0,00802	<b>1317,28</b>	<b>0,01718</b>	MHB	
1-S18	Min	1-S18H1	-1706,96	-0,05778	0,275	0,21011	0,00802	<b>1706,96</b>	<b>0,21813</b>	GB	<b>GB</b>
1-S19	Max	1-S19H1	-1317,35	0,06463	0,275	0,23503	0,00802	<b>1317,35</b>	<b>0,24304</b>	GB	
1-S20	Max	1-S20H1	-649,233	0,00297	0,275	0,01078	0,00802	<b>649,23</b>	<b>0,01880</b>	MHB	<b>GB</b>
1-S20	Min	1-S20H1	-1443,86	-0,06007	0,275	0,21845	0,00802	<b>1443,86</b>	<b>0,22647</b>	GB	
2-S4	Min	2-S4H1	-1267,38	-0,00074	0,275	0,00269	0,00802	<b>1267,38</b>	<b>0,01071</b>	MHB	<b>MHB</b>
2-S19	Min	2-S19H1	-1267,38	-0,00074	0,275	0,00269	0,00802	<b>1267,38</b>	<b>0,01071</b>	MHB	

Tablo C.6. 15bingöl-y-kolon hasar sonuçları

KOLON	StepType	MAFSAL	P	$\theta_p$	Lp	$\Phi_p$	$\Phi_y$	P	$\Phi_t$	HASAR	KESİT BÖLGESİ
	Text		KN	Radians	m	1/m	1/m	KN	1/m	BHB	BHB
1-S1	Max	1-S1H1	-456,096	0,01964	0,275	0,07140	0,00802	<b>456,10</b>	<b>0,07942</b>	BHB	
1-S2	Max	1-S2H1	-1238,17	0,00338	0,275	0,01230	0,00802	<b>1238,17</b>	<b>0,02032</b>	MHB	
1-S2	Min	1-S2H1	-1982,74	-0,02751	0,275	0,10004	0,00802	<b>1982,74</b>	<b>0,10806</b>	GB	
1-S3	Max	1-S3H1	-1235,93	0,00338	0,275	0,01228	0,00802	<b>1235,93</b>	<b>0,02030</b>	MHB	
1-S3	Min	1-S3H1	-1928,89	-0,02996	0,275	0,10896	0,00802	<b>1928,89</b>	<b>0,11697</b>	GB	
1-S4	Max	1-S4H1	-1238,19	0,00338	0,275	0,01230	0,00802	<b>1238,19</b>	<b>0,02032</b>	MHB	
1-S4	Min	1-S4H1	-1975,63	-0,03370	0,275	0,12255	0,00802	<b>1975,63</b>	<b>0,13057</b>	GB	
1-S5	Max	1-S5H1	-454,688	0,01696	0,275	0,06168	0,00802	<b>454,69</b>	<b>0,06969</b>	BHB	
1-S6	Max	1-S6H1	-1475,66	0,01328	0,275	0,04829	0,00802	<b>1475,66</b>	<b>0,05631</b>	BHB	
1-S7	Max	1-S7H1	-2441,29	0,00236	0,275	0,00857	0,00802	<b>2441,29</b>	<b>0,01659</b>	MHB	
1-S7	Min	1-S7H1	-2556,29	-0,00290	0,275	0,01053	0,00802	<b>2556,29</b>	<b>0,01855</b>	BHB	
1-S8	Max	1-S8H1	-2424,37	0,00235	0,275	0,00856	0,00802	<b>2424,37</b>	<b>0,01657</b>	MHB	
1-S8	Min	1-S8H1	-2529,31	-0,00324	0,275	0,01177	0,00802	<b>2529,31</b>	<b>0,01979</b>	BHB	
1-S9	Max	1-S9H1	-2441,29	0,00236	0,275	0,00857	0,00802	<b>2441,29</b>	<b>0,01659</b>	MHB	
1-S9	Min	1-S9H1	-2563,32	-0,00356	0,275	0,01295	0,00802	<b>2563,32</b>	<b>0,02096</b>	BHB	
1-S10	Max	1-S10H1	-1476,1	0,04493	0,275	0,16337	0,00802	<b>1476,10</b>	<b>0,17139</b>	GB	
1-S11	Max	1-S11H1	-1436,22	0,06452	0,275	0,23462	0,00802	<b>1436,22</b>	<b>0,24264</b>	GB	
1-S12	Max	1-S12H1	-2428,95	0,00237	0,275	0,00861	0,00802	<b>2428,95</b>	<b>0,01663</b>	MHB	
1-S12	Min	1-S12H1	-2576,2	-0,00290	0,275	0,01055	0,00802	<b>2576,20</b>	<b>0,01857</b>	BHB	
1-S13	Max	1-S13H1	-2427,42	0,00236	0,275	0,00860	0,00802	<b>2427,42</b>	<b>0,01661</b>	MHB	
1-S13	Min	1-S13H1	-2556,23	-0,00318	0,275	0,01156	0,00802	<b>2556,23</b>	<b>0,01957</b>	BHB	
1-S14	Max	1-S14H1	-2428,95	0,00237	0,275	0,00861	0,00802	<b>2428,95</b>	<b>0,01663</b>	MHB	
1-S14	Min	1-S14H1	-2578,68	-0,00351	0,275	0,01277	0,00802	<b>2578,68</b>	<b>0,02079</b>	BHB	
1-S15	Max	1-S15H1	-1488,56	0,01384	0,275	0,05031	0,00802	<b>1488,56</b>	<b>0,05833</b>	BHB	
1-S16	Max	1-S16H1	-738,782	0,00427	0,275	0,01552	0,00802	<b>738,78</b>	<b>0,02354</b>	MHB	
1-S16	Min	1-S16H1	-1373,84	-0,03584	0,275	0,13031	0,00802	<b>1373,84</b>	<b>0,13833</b>	GB	
1-S17	Max	1-S17H1	-1189,23	0,02149	0,275	0,07814	0,00802	<b>1189,23</b>	<b>0,08616</b>	BHB	
1-S18	Max	1-S18H1	-1232,29	0,04256	0,275	0,15476	0,00802	<b>1232,29</b>	<b>0,16277</b>	GB	
1-S19	Max	1-S19H1	-1174,13	0,03842	0,275	0,13972	0,00802	<b>1174,13</b>	<b>0,14774</b>	GB	
1-S20	Max	1-S20H1	-738,962	0,00427	0,275	0,01552	0,00802	<b>738,96</b>	<b>0,02354</b>	MHB	
1-S20	Min	1-S20H1	-1373,48	-0,03116	0,275	0,11332	0,00802	<b>1373,48</b>	<b>0,12133</b>	iHB	
2-S11	Min	2-S11H1	-1337,35	-0,00069	0,275	0,00252	0,00802	<b>1337,35</b>	<b>0,01053</b>	MHB	

Tablo C.7. 15bingöl-x-z-kolon hasar sonuçları

KOLON	StepType	MAFSAL	P	$\theta_p$	Lp	$\Phi_p$	$\Phi_y$	P	$\Phi_t$	HASAR	KESİT HASAR
	Text		KN	Radians	m	1/m	1/m	KN	1/m	BÖLGESİ	
1-S1	Max	1-S1H1	-423,735	0,00307	0,275	0,01115	0,00802	<b>423,74</b>	<b>0,01917</b>	MHB	GB
1-S1	Min	1-S1H1	-1486,14	-0,05716	0,275	0,20787	0,00802	<b>1486,14</b>	<b>0,21588</b>	GB	
1-S2	Max	1-S2H1	-1080,8	0,00247	0,275	0,00897	0,00802	<b>1080,80</b>	<b>0,01699</b>	MHB	GB
1-S2	Min	1-S2H1	-2162,14	-0,07311	0,275	0,26586	0,00802	<b>2162,14</b>	<b>0,27388</b>	GB	
1-S3	Max	1-S3H1	-1072,12	0,00247	0,275	0,00899	0,00802	<b>1072,12</b>	<b>0,01701</b>	MHB	MHB
1-S3	Min	1-S3H1	-2157,62	-0,00201	0,275	0,00730	0,00802	<b>2157,62</b>	<b>0,01532</b>	MHB	
1-S4	Max	1-S4H1	-1078,98	0,00248	0,275	0,00900	0,00802	<b>1078,98</b>	<b>0,01702</b>	MHB	MHB
1-S5	Max	1-S5H1	-468,209	0,07108	0,275	0,25846	0,00802	<b>468,21</b>	<b>0,26648</b>	GB	GB
1-S5	Min	1-S5H1	-1453,06	-0,00050	0,275	0,00181	0,00802	<b>1453,06</b>	<b>0,00983</b>	MHB	
1-S6	Max	1-S6H1	-919,281	0,00276	0,275	0,01003	0,00802	<b>919,28</b>	<b>0,01805</b>	MHB	MHB
1-S7	Max	1-S7H1	-1706,32	0,00130	0,275	0,00474	0,00802	<b>1706,32</b>	<b>0,01276</b>	MHB	MHB
1-S8	Max	1-S8H1	-1695,58	0,00131	0,275	0,00477	0,00802	<b>1695,58</b>	<b>0,01279</b>	MHB	MHB
1-S9	Max	1-S9H1	-1703,88	0,00132	0,275	0,00479	0,00802	<b>1703,88</b>	<b>0,01280</b>	MHB	MHB
1-S10	Max	1-S10H1	-1052,44	0,00312	0,275	0,01135	0,00802	<b>1052,44</b>	<b>0,01937</b>	MHB	MHB
1-S11	Max	1-S11H1	-919,281	0,00276	0,275	0,01003	0,00802	<b>919,28</b>	<b>0,01805</b>	MHB	MHB
1-S12	Max	1-S12H1	-1706,32	0,00130	0,275	0,00474	0,00802	<b>1706,32</b>	<b>0,01276</b>	MHB	MHB
1-S13	Max	1-S13H1	-1695,58	0,00131	0,275	0,00477	0,00802	<b>1695,58</b>	<b>0,01279</b>	MHB	MHB
1-S14	Max	1-S14H1	-1703,88	0,00132	0,275	0,00479	0,00802	<b>1703,88</b>	<b>0,01280</b>	MHB	MHB
1-S15	Max	1-S15H1	-1052,44	0,00312	0,275	0,01135	0,00802	<b>1052,44</b>	<b>0,01937</b>	MHB	MHB
1-S16	Max	1-S16H1	-423,735	0,00307	0,275	0,01115	0,00802	<b>423,74</b>	<b>0,01917</b>	MHB	GB
1-S16	Min	1-S16H1	-1486,14	-0,05716	0,275	0,20787	0,00802	<b>1486,14</b>	<b>0,21588</b>	GB	
1-S17	Max	1-S17H1	-1080,8	0,00247	0,275	0,00897	0,00802	<b>1080,80</b>	<b>0,01699</b>	MHB	GB
1-S17	Min	1-S17H1	-2162,14	-0,07311	0,275	0,26586	0,00802	<b>2162,14</b>	<b>0,27388</b>	GB	
1-S18	Max	1-S18H1	-1072,12	0,00247	0,275	0,00899	0,00802	<b>1072,12</b>	<b>0,01701</b>	MHB	MHB
1-S18	Min	1-S18H1	-2157,62	-0,00201	0,275	0,00730	0,00802	<b>2157,62</b>	<b>0,01532</b>	MHB	
1-S19	Max	1-S19H1	-1078,98	0,00248	0,275	0,00900	0,00802	<b>1078,98</b>	<b>0,01702</b>	MHB	MHB
1-S20	Max	1-S20H1	-468,209	0,07108	0,275	0,25846	0,00802	<b>468,21</b>	<b>0,26648</b>	GB	GB
1-S20	Min	1-S20H1	-1453,06	-0,00050	0,275	0,00181	0,00802	<b>1453,06</b>	<b>0,00983</b>	MHB	

Tablo C.8. 15bingöl-y-z-kolon hasar sonuçları

KOLON	StepType	MAFSAL	P	$\theta_p$	Lp	$\Phi_p$	$\Phi_y$	P	$\Phi_t$	HASAR	KESİT BÖLGESİ
	Text		KN	Radians	m	1/m	1/m	KN	1/m		
1-S1	Max	1-S1H1	-271,045	0,04629	0,275	0,16831	0,00802	<b>271,05</b>	<b>0,17633</b>	<b>GB</b>	<b>GB</b>
1-S2	Max	1-S2H1	-791,553	0,05235	0,275	0,19037	0,00802	<b>791,55</b>	<b>0,19839</b>	<b>GB</b>	<b>GB</b>
1-S3	Max	1-S3H1	-788,038	0,03181	0,275	0,11567	0,00802	<b>788,04</b>	<b>0,12368</b>	<b>İHB</b>	<b>İHB</b>
1-S4	Max	1-S4H1	-794,306	0,03085	0,275	0,11218	0,00802	<b>794,31</b>	<b>0,12020</b>	<b>İHB</b>	<b>İHB</b>
1-S5	Max	1-S5H1	-323,006	0,00651	0,275	0,02368	0,00802	<b>323,01</b>	<b>0,03170</b>	<b>BHB</b>	<b>BHB</b>
1-S6	Max	1-S6H1	-1156,82	0,00338	0,275	0,01230	0,00802	<b>1156,82</b>	<b>0,02032</b>	<b>MHB</b>	<b>BHB</b>
1-S6	Min	1-S6H1	-2308,69	-0,00293	0,275	0,01066	0,00802	<b>2308,69</b>	<b>0,01868</b>	<b>BHB</b>	
1-S7	Max	1-S7H1	-1705,14	0,00230	0,275	0,00837	0,00802	<b>1705,14</b>	<b>0,01639</b>	<b>MHB</b>	<b>BHB</b>
1-S7	Min	1-S7H1	-3311,26	-0,00187	0,275	0,00678	0,00802	<b>3311,26</b>	<b>0,01480</b>	<b>BHB</b>	
1-S8	Max	1-S8H1	-1695,63	0,00230	0,275	0,00835	0,00802	<b>1695,63</b>	<b>0,01636</b>	<b>MHB</b>	<b>BHB</b>
1-S8	Min	1-S8H1	-3306,47	-0,00192	0,275	0,00697	0,00802	<b>3306,47</b>	<b>0,01499</b>	<b>BHB</b>	
1-S9	Max	1-S9H1	-1705,14	0,00230	0,275	0,00837	0,00802	<b>1705,14</b>	<b>0,01639</b>	<b>MHB</b>	<b>BHB</b>
1-S9	Min	1-S9H1	-3311,26	-0,00195	0,275	0,00708	0,00802	<b>3311,26</b>	<b>0,01509</b>	<b>BHB</b>	
1-S10	Max	1-S10H1	-1156,82	0,00338	0,275	0,01229	0,00802	<b>1156,82</b>	<b>0,02031</b>	<b>MHB</b>	<b>BHB</b>
1-S10	Min	1-S10H1	-2308,69	-0,00367	0,275	0,01333	0,00802	<b>2308,69</b>	<b>0,02135</b>	<b>BHB</b>	
1-S11	Max	1-S11H1	-1156,98	0,00351	0,275	0,01275	0,00802	<b>1156,98</b>	<b>0,02077</b>	<b>MHB</b>	<b>BHB</b>
1-S11	Min	1-S11H1	-2308,22	-0,00289	0,275	0,01052	0,00802	<b>2308,22</b>	<b>0,01853</b>	<b>BHB</b>	
1-S12	Max	1-S12H1	-1705,06	0,00231	0,275	0,00839	0,00802	<b>1705,06</b>	<b>0,01640</b>	<b>MHB</b>	<b>BHB</b>
1-S12	Min	1-S12H1	-3310,39	-0,00182	0,275	0,00662	0,00802	<b>3310,39</b>	<b>0,01464</b>	<b>BHB</b>	
1-S13	Max	1-S13H1	-1695,54	0,00230	0,275	0,00836	0,00802	<b>1695,54</b>	<b>0,01637</b>	<b>MHB</b>	<b>BHB</b>
1-S13	Min	1-S13H1	-3305,59	-0,00187	0,275	0,00678	0,00802	<b>3305,59</b>	<b>0,01480</b>	<b>BHB</b>	
1-S14	Max	1-S14H1	-1705,06	0,00230	0,275	0,00838	0,00802	<b>1705,06</b>	<b>0,01640</b>	<b>MHB</b>	<b>BHB</b>
1-S14	Min	1-S14H1	-3310,39	-0,00196	0,275	0,00714	0,00802	<b>3310,39</b>	<b>0,01516</b>	<b>BHB</b>	
1-S15	Max	1-S15H1	-1156,98	0,00350	0,275	0,01274	0,00802	<b>1156,98</b>	<b>0,02076</b>	<b>MHB</b>	<b>GB</b>
1-S15	Min	1-S15H1	-2308,22	-0,04077	0,275	0,14826	0,00802	<b>2308,22</b>	<b>0,15628</b>	<b>GB</b>	
1-S16	Max	1-S16H1	-512,165	0,02194	0,275	0,07979	0,00802	<b>512,17</b>	<b>0,08781</b>	<b>BHB</b>	<b>GB</b>
1-S17	Max	1-S17H1	-1057,3	0,00326	0,275	0,01185	0,00802	<b>1057,30</b>	<b>0,01987</b>	<b>MHB</b>	
1-S17	Min	1-S17H1	-2167,63	-0,03584	0,275	0,13033	0,00802	<b>2167,63</b>	<b>0,13835</b>	<b>GB</b>	<b>GB</b>
1-S18	Max	1-S18H1	-1014,94	0,00326	0,275	0,01184	0,00802	<b>1014,94</b>	<b>0,01986</b>	<b>MHB</b>	
1-S18	Min	1-S18H1	-2164,56	-0,01148	0,275	0,04174	0,00802	<b>2164,56</b>	<b>0,04976</b>	<b>BHB</b>	<b>GB</b>
1-S19	Max	1-S19H1	-1057,31	0,00326	0,275	0,01184	0,00802	<b>1057,31</b>	<b>0,01986</b>	<b>MHB</b>	<b>GB</b>
1-S19	Min	1-S19H1	-2167,63	-0,03825	0,275	0,13908	0,00802	<b>2167,63</b>	<b>0,14709</b>	<b>GB</b>	
1-S20	Max	1-S20H1	-512,306	0,05575	0,275	0,20272	0,00802	<b>512,31</b>	<b>0,21074</b>	<b>GB</b>	<b>GB</b>
2-S1	Min	2-S1H1	-1117,92	-0,00002	0,275	0,00008	0,00802	<b>1117,92</b>	<b>0,00810</b>	<b>MHB</b>	<b>MHB</b>

Tablo C.9. 7düzce-x-kolon hasar sonuçları

KOLON	StepType	MAFSAL	P	$\theta_p$	Lp	$\Phi_p$	$\Phi_y$	P	$\Phi_t$	HASAR	KESİT HASAR
	Text		KN	Radians	m	1/m	1/m	KN	1/m	BÖLGESİ	
1-S1	Max	1-S1H1	-351,762	0,01366	0,275	0,04969	0,00802	<b>351,76</b>	<b>0,05771</b>	<b>BHB</b>	BHB
1-S1	Min	1-S1H1	-1629,43	-0,01739	0,275	0,06322	0,00802	<b>1629,43</b>	<b>0,07124</b>	<b>BHB</b>	
1-S2	Max	1-S2H1	-1255,2	0,00337	0,275	0,01224	0,00802	<b>1255,20</b>	<b>0,02026</b>	<b>MHB</b>	BHB
1-S2	Min	1-S2H1	-1830,87	-0,01732	0,275	0,06299	0,00802	<b>1830,87</b>	<b>0,07100</b>	<b>BHB</b>	
1-S3	Max	1-S3H1	-1245,01	0,00331	0,275	0,01202	0,00802	<b>1245,01</b>	<b>0,02004</b>	<b>MHB</b>	BHB
1-S3	Min	1-S3H1	-1804,69	-0,01736	0,275	0,06312	0,00802	<b>1804,69</b>	<b>0,07113</b>	<b>BHB</b>	
1-S4	Max	1-S4H1	-1232,41	0,00304	0,275	0,01105	0,00802	<b>1232,41</b>	<b>0,01907</b>	<b>MHB</b>	BHB
1-S4	Min	1-S4H1	-1793,87	-0,01732	0,275	0,06297	0,00802	<b>1793,87</b>	<b>0,07099</b>	<b>BHB</b>	
1-S5	Max	1-S5H2	-349,84	0,00005	0,275	0,00017	0,00802	<b>349,84</b>	<b>0,00819</b>	<b>MHB</b>	BHB
1-S5	Min	1-S5H1	-1802,04	-0,01861	0,275	0,06768	0,00802	<b>1802,04</b>	<b>0,07569</b>	<b>BHB</b>	
1-S6	Max	1-S6H1	-1055,78	0,01567	0,275	0,05699	0,00802	<b>1055,78</b>	<b>0,06501</b>	<b>BHB</b>	iHB
1-S6	Min	1-S6H1	-2243,94	-0,01713	0,275	0,06227	0,00802	<b>2243,94</b>	<b>0,07029</b>	<b>iHB</b>	
1-S7	Max	1-S7H1	-2432	0,01524	0,275	0,05541	0,00802	<b>2432,00</b>	<b>0,06343</b>	<b>iHB</b>	iHB
1-S7	Min	1-S7H1	-2626,53	-0,01660	0,275	0,06036	0,00802	<b>2626,53</b>	<b>0,06837</b>	<b>iHB</b>	
1-S8	Max	1-S8H1	-2437,09	0,01524	0,275	0,05541	0,00802	<b>2437,09</b>	<b>0,06343</b>	<b>iHB</b>	iHB
1-S8	Min	1-S8H1	-2629,5	-0,01659	0,275	0,06034	0,00802	<b>2629,50</b>	<b>0,06836</b>	<b>iHB</b>	
1-S9	Max	1-S9H1	-2433,21	0,01524	0,275	0,05543	0,00802	<b>2433,21</b>	<b>0,06345</b>	<b>iHB</b>	iHB
1-S9	Min	1-S9H1	-2681,56	-0,01660	0,275	0,06035	0,00802	<b>2681,56</b>	<b>0,06836</b>	<b>iHB</b>	
1-S10	Max	1-S10H1	-1123,81	0,04112	0,275	0,14951	0,00802	<b>1123,81</b>	<b>0,15753</b>	<b>GB</b>	GB
1-S10	Min	1-S10H1	-2393,64	-0,01755	0,275	0,06382	0,00802	<b>2393,64</b>	<b>0,07184</b>	<b>iHB</b>	
1-S11	Max	1-S11H1	-1055,57	0,01558	0,275	0,05666	0,00802	<b>1055,57</b>	<b>0,06468</b>	<b>BHB</b>	iHB
1-S11	Min	1-S11H1	-2243,94	-0,01713	0,275	0,06228	0,00802	<b>2243,94</b>	<b>0,07029</b>	<b>iHB</b>	
1-S12	Max	1-S12H1	-2434,74	0,01527	0,275	0,05552	0,00802	<b>2434,74</b>	<b>0,06353</b>	<b>iHB</b>	iHB
1-S12	Min	1-S12H1	-2625,99	-0,01660	0,275	0,06036	0,00802	<b>2625,99</b>	<b>0,06837</b>	<b>iHB</b>	
1-S13	Max	1-S13H1	-2439,24	0,01528	0,275	0,05555	0,00802	<b>2439,24</b>	<b>0,06357</b>	<b>iHB</b>	iHB
1-S13	Min	1-S13H1	-2619,7	-0,01659	0,275	0,06034	0,00802	<b>2619,70</b>	<b>0,06836</b>	<b>iHB</b>	
1-S14	Max	1-S14H1	-2427,27	0,01527	0,275	0,05553	0,00802	<b>2427,27</b>	<b>0,06355</b>	<b>iHB</b>	iHB
1-S14	Min	1-S14H1	-2653,01	-0,01660	0,275	0,06035	0,00802	<b>2653,01</b>	<b>0,06836</b>	<b>iHB</b>	
1-S15	Max	1-S15H1	-1183,86	0,02882	0,275	0,10479	0,00802	<b>1183,86</b>	<b>0,11280</b>	<b>iHB</b>	iHB
1-S15	Min	1-S15H1	-2310,55	-0,01755	0,275	0,06382	0,00802	<b>2310,55</b>	<b>0,07184</b>	<b>iHB</b>	
1-S16	Max	1-S16H1	-351,581	0,00791	0,275	0,02877	0,00802	<b>351,58</b>	<b>0,03679</b>	<b>BHB</b>	BHB
1-S16	Min	1-S16H1	-1629,43	-0,01739	0,275	0,06322	0,00802	<b>1629,43</b>	<b>0,07124</b>	<b>BHB</b>	
1-S17	Max	1-S17H1	-1255,34	0,00304	0,275	0,01105	0,00802	<b>1255,34</b>	<b>0,01907</b>	<b>MHB</b>	BHB
1-S17	Min	1-S17H1	-1832,38	-0,01732	0,275	0,06299	0,00802	<b>1832,38</b>	<b>0,07101</b>	<b>BHB</b>	
1-S18	Min	1-S18H1	-1808,14	-0,01736	0,275	0,06312	0,00802	<b>1808,14</b>	<b>0,07114</b>	<b>BHB</b>	BHB
1-S18	Min	1-S18H2	-1777,89	-0,00005	0,275	0,00018	0,00802	<b>1777,89</b>	<b>0,00820</b>	<b>MHB</b>	
1-S19	Max	1-S19H1	-1232,56	0,00327	0,275	0,01189	0,00802	<b>1232,56</b>	<b>0,01991</b>	<b>MHB</b>	BHB
1-S19	Min	1-S19H1	-1789,19	-0,01732	0,275	0,06297	0,00802	<b>1789,19</b>	<b>0,07099</b>	<b>BHB</b>	
1-S20	Max	1-S20H2	-349,836	0,00016	0,275	0,00060	0,00802	<b>349,84</b>	<b>0,00861</b>	<b>MHB</b>	BHB
1-S20	Min	1-S20H1	-1822,91	-0,01861	0,275	0,06768	0,00802	<b>1822,91</b>	<b>0,07569</b>	<b>BHB</b>	
2-S1	Max	2-S1H2	-394,506	0,00092	0,275	0,00334	0,00802	<b>394,51</b>	<b>0,01136</b>	<b>MHB</b>	MHB
2-S1	Min	2-S1H2	-1168	-0,00065	0,275	0,00235	0,00802	<b>1168,00</b>	<b>0,01037</b>	<b>MHB</b>	
2-S2	Max	2-S2H1	-1179,56	0,00046	0,275	0,00167	0,00802	<b>1179,56</b>	<b>0,00969</b>	<b>MHB</b>	MHB
2-S2	Max	2-S2H2	-1156,87	0,00336	0,275	0,01223	0,00802	<b>1156,87</b>	<b>0,02025</b>	<b>MHB</b>	
2-S3	Max	2-S3H1	-1187,28	0,00130	0,275	0,00472	0,00802	<b>1187,28</b>	<b>0,01274</b>	<b>MHB</b>	MHB
2-S3	Max	2-S3H2	-1164,59	0,00338	0,275	0,01228	0,00802	<b>1164,59</b>	<b>0,02030</b>	<b>MHB</b>	
2-S4	Max	2-S4H2	-1163,43	0,00335	0,275	0,01218	0,00802	<b>1163,43</b>	<b>0,02020</b>	<b>MHB</b>	MHB
2-S4	Min	2-S4H1	-1333,04	-0,00023	0,275	0,00084	0,00802	<b>1333,04</b>	<b>0,00885</b>	<b>MHB</b>	
2-S5	Max	2-S5H2	-418,088	0,00112	0,275	0,00406	0,00802	<b>418,09</b>	<b>0,01208</b>	<b>MHB</b>	MHB
2-S5	Min	2-S5H2	-1206,48	-0,00021	0,275	0,00077	0,00802	<b>1206,48</b>	<b>0,00879</b>	<b>MHB</b>	
2-S6	Max	2-S6H2	-917,098	0,00026	0,275	0,00093	0,00802	<b>917,10</b>	<b>0,00895</b>	<b>MHB</b>	MHB
2-S7	Max	2-S7H2	-1905,2	0,00156	0,275	0,00567	0,00802	<b>1905,20</b>	<b>0,01369</b>	<b>MHB</b>	
2-S7	Min	2-S7H2	-1988,6	-0,00143	0,275	0,00520	0,00802	<b>1988,60</b>	<b>0,01321</b>	<b>MHB</b>	MHB
2-S8	Max	2-S8H2	-1913,3	0,00155	0,275	0,00564	0,00802	<b>1913,30</b>	<b>0,01366</b>	<b>MHB</b>	MHB
2-S8	Min	2-S8H2	-1985,8	-0,00146	0,275	0,00529	0,00802	<b>1985,80</b>	<b>0,01331</b>	<b>MHB</b>	
2-S9	Max	2-S9H2	-1907,33	0,00155	0,275	0,00565	0,00802	<b>1907,33</b>	<b>0,01367</b>	<b>MHB</b>	MHB
2-S9	Min	2-S9H2	-2038,51	-0,00150	0,275	0,00544	0,00802	<b>2038,51</b>	<b>0,01346</b>	<b>MHB</b>	

Tablo C.9.(Devam) 7düzce-x-kolon hasar sonuçları

2-S10	Max	2-S10H2	-927,05	0,00026	0,275	0,00094	0,00802	<b>927,05</b>	<b>0,00896</b>	MHB	MHB
2-S11	Max	2-S11H2	-920,096	0,00026	0,275	0,00093	0,00802	<b>920,10</b>	<b>0,00895</b>	MHB	MHB
2-S12	Max	2-S12H2	-1920,11	0,00156	0,275	0,00567	0,00802	<b>1920,11</b>	<b>0,01369</b>	MHB	MHB
2-S12	Min	2-S12H2	-1989,37	-0,00145	0,275	0,00527	0,00802	<b>1989,37</b>	<b>0,01329</b>	MHB	MHB
2-S13	Max	2-S13H2	-1917,46	0,00155	0,275	0,00563	0,00802	<b>1917,46</b>	<b>0,01365</b>	MHB	MHB
2-S13	Min	2-S13H2	-1986,92	-0,00152	0,275	0,00551	0,00802	<b>1986,92</b>	<b>0,01353</b>	MHB	MHB
2-S14	Max	2-S14H2	-1901	0,00155	0,275	0,00565	0,00802	<b>1901,00</b>	<b>0,01367</b>	MHB	MHB
2-S14	Min	2-S14H2	-2014,03	-0,00148	0,275	0,00538	0,00802	<b>2014,03</b>	<b>0,01340</b>	MHB	MHB
2-S15	Max	2-S15H2	-927,05	0,00026	0,275	0,00094	0,00802	<b>927,05</b>	<b>0,00896</b>	MHB	MHB
2-S16	Max	2-S16H2	-394,938	0,00092	0,275	0,00335	0,00802	<b>394,94</b>	<b>0,01136</b>	MHB	MHB
2-S16	Min	2-S16H2	-1168	-0,00072	0,275	0,00260	0,00802	<b>1168,00</b>	<b>0,01062</b>	MHB	MHB
2-S17	Max	2-S17H1	-1149,03	0,00048	0,275	0,00173	0,00802	<b>1149,03</b>	<b>0,00975</b>	MHB	MHB
2-S17	Max	2-S17H2	-1126,35	0,00336	0,275	0,01223	0,00802	<b>1126,35</b>	<b>0,02025</b>	MHB	MHB
2-S18	Max	2-S18H1	-1188,57	0,00131	0,275	0,00475	0,00802	<b>1188,57</b>	<b>0,01277</b>	MHB	MHB
2-S18	Max	2-S18H2	-1165,89	0,00338	0,275	0,01228	0,00802	<b>1165,89</b>	<b>0,02030</b>	MHB	MHB
2-S19	Max	2-S19H1	-1177,18	0,00056	0,275	0,00204	0,00802	<b>1177,18</b>	<b>0,01006</b>	MHB	MHB
2-S19	Max	2-S19H2	-1154,49	0,00335	0,275	0,01218	0,00802	<b>1154,49</b>	<b>0,02020</b>	MHB	MHB
2-S20	Max	2-S20H2	-418,088	0,00112	0,275	0,00406	0,00802	<b>418,09</b>	<b>0,01208</b>	MHB	MHB
2-S20	Min	2-S20H2	-1206,17	-0,00022	0,275	0,00081	0,00802	<b>1206,17</b>	<b>0,00883</b>	MHB	MHB
3-S1	Min	3-S1H2	-843,751	-0,00094	0,275	0,00342	0,00802	<b>843,75</b>	<b>0,01144</b>	MHB	MHB
3-S2	Max	3-S2H2	-681,724	0,00342	0,275	0,01244	0,00802	<b>681,72</b>	<b>0,02046</b>	MHB	iHB
3-S2	Min	3-S2H2	-1087,97	-0,02936	0,275	0,10676	0,00802	<b>1087,97</b>	<b>0,11478</b>	iHB	iHB
3-S3	Max	3-S3H2	-729,003	0,00339	0,275	0,01234	0,00802	<b>729,00</b>	<b>0,02036</b>	MHB	iHB
3-S3	Min	3-S3H2	-1080,11	-0,03612	0,275	0,13133	0,00802	<b>1080,11</b>	<b>0,13935</b>	iHB	iHB
3-S4	Max	3-S4H2	-689,728	0,00343	0,275	0,01248	0,00802	<b>689,73</b>	<b>0,02049</b>	MHB	GB
3-S4	Min	3-S4H2	-1056,36	-0,04981	0,275	0,18113	0,00802	<b>1056,36</b>	<b>0,18915</b>	GB	GB
3-S5	Min	3-S5H2	-875,167	-0,00080	0,275	0,00289	0,00802	<b>875,17</b>	<b>0,01091</b>	MHB	MHB
3-S6	Min	3-S6H1	-1258,95	-0,00024	0,275	0,00086	0,00802	<b>1258,95</b>	<b>0,00888</b>	MHB	MHB
3-S6	Min	3-S6H2	-1236,27	-0,00077	0,275	0,00279	0,00802	<b>1236,27</b>	<b>0,01081</b>	MHB	MHB
3-S7	Max	3-S7H2	-1321,69	0,00157	0,275	0,00569	0,00802	<b>1321,69</b>	<b>0,01371</b>	MHB	MHB
3-S7	Min	3-S7H2	-1522,56	-0,00282	0,275	0,01024	0,00802	<b>1522,56</b>	<b>0,01826</b>	MHB	MHB
3-S8	Max	3-S8H2	-1331,36	0,00151	0,275	0,00547	0,00802	<b>1331,36</b>	<b>0,01349</b>	MHB	MHB
3-S8	Min	3-S8H2	-1528,83	-0,00293	0,275	0,01066	0,00802	<b>1528,83</b>	<b>0,01868</b>	MHB	MHB
3-S9	Min	3-S9H1	-1573,23	-0,00006	0,275	0,00020	0,00802	<b>1573,23</b>	<b>0,00822</b>	MHB	MHB
3-S9	Min	3-S9H2	-1550,54	-0,00302	0,275	0,01099	0,00802	<b>1550,54</b>	<b>0,01901</b>	MHB	MHB
3-S10	Min	3-S10H2	-1256,47	-0,00097	0,275	0,00353	0,00802	<b>1256,47</b>	<b>0,01155</b>	MHB	MHB
3-S11	Min	3-S11H1	-1258,95	-0,00011	0,275	0,00039	0,00802	<b>1258,95</b>	<b>0,00841</b>	MHB	MHB
3-S11	Min	3-S11H2	-1236,27	-0,00078	0,275	0,00282	0,00802	<b>1236,27</b>	<b>0,01084</b>	MHB	MHB
3-S12	Max	3-S12H2	-1330,77	0,00157	0,275	0,00569	0,00802	<b>1330,77</b>	<b>0,01371</b>	MHB	MHB
3-S12	Min	3-S12H2	-1521,39	-0,00289	0,275	0,01051	0,00802	<b>1521,39</b>	<b>0,01853</b>	MHB	MHB
3-S13	Max	3-S13H2	-1319,25	0,00154	0,275	0,00559	0,00802	<b>1319,25</b>	<b>0,01361</b>	MHB	MHB
3-S13	Min	3-S13H2	-1506,44	-0,00163	0,275	0,00591	0,00802	<b>1506,44</b>	<b>0,01393</b>	MHB	MHB
3-S14	Max	3-S14H2	-1424,22	0,00157	0,275	0,00571	0,00802	<b>1424,22</b>	<b>0,01373</b>	MHB	MHB
3-S14	Min	3-S14H1	-1563,98	-0,00006	0,275	0,00021	0,00802	<b>1563,98</b>	<b>0,00823</b>	MHB	MHB
3-S15	Min	3-S15H2	-1253,93	-0,00101	0,275	0,00366	0,00802	<b>1253,93</b>	<b>0,01168</b>	MHB	MHB
3-S16	Min	3-S16H2	-843,751	-0,00095	0,275	0,00345	0,00802	<b>843,75</b>	<b>0,01147</b>	MHB	MHB
3-S17	Max	3-S17H2	-628,222	0,00342	0,275	0,01244	0,00802	<b>628,22</b>	<b>0,02046</b>	MHB	GB
3-S17	Min	3-S17H2	-1088,64	-0,05142	0,275	0,18698	0,00802	<b>1088,64</b>	<b>0,19500</b>	GB	GB
3-S18	Max	3-S18H2	-740,41	0,00339	0,275	0,01234	0,00802	<b>740,41</b>	<b>0,02036</b>	MHB	iHB
3-S18	Min	3-S18H2	-1081,6	-0,03544	0,275	0,12887	0,00802	<b>1081,60</b>	<b>0,13689</b>	iHB	iHB
3-S19	Max	3-S19H2	-686,102	0,00343	0,275	0,01248	0,00802	<b>686,10</b>	<b>0,02049</b>	MHB	GB
3-S19	Min	3-S19H2	-1056,73	-0,05131	0,275	0,18657	0,00802	<b>1056,73</b>	<b>0,19459</b>	GB	GB
3-S20	Min	3-S20H2	-878,62	-0,00081	0,275	0,00294	0,00802	<b>878,62</b>	<b>0,01096</b>	MHB	MHB
4-S2	Min	4-S2H1	-701,213	-0,00378	0,275	0,01376	0,00802	<b>701,21</b>	<b>0,02177</b>	MHB	MHB
4-S2	Min	4-S2H2	-678,525	-0,00095	0,275	0,00345	0,00802	<b>678,53</b>	<b>0,01147</b>	MHB	MHB
4-S3	Min	4-S3H1	-697,872	-0,00233	0,275	0,00845	0,00802	<b>697,87</b>	<b>0,01647</b>	MHB	MHB
4-S3	Min	4-S3H2	-675,184	-0,00094	0,275	0,00341	0,00802	<b>675,18</b>	<b>0,01143</b>	MHB	MHB
4-S4	Min	4-S4H1	-725,717	-0,00954	0,275	0,03470	0,00802	<b>725,72</b>	<b>0,04272</b>	BHB	BHB
4-S4	Min	4-S4H2	-703,029	-0,00114	0,275	0,00414	0,00802	<b>703,03</b>	<b>0,01216</b>	MHB	BHB
4-S7	Min	4-S7H2	-1010	-0,00086	0,275	0,00314	0,00802	<b>1010,00</b>	<b>0,01116</b>	MHB	MHB
4-S8	Min	4-S8H2	-1008,43	-0,00096	0,275	0,00347	0,00802	<b>1008,43</b>	<b>0,01149</b>	MHB	MHB
4-S9	Min	4-S9H2	-1001,09	-0,00105	0,275	0,00382	0,00802	<b>1001,09</b>	<b>0,01184</b>	MHB	MHB
4-S12	Min	4-S12H2	-1011,7	-0,00085	0,275	0,00310	0,00802	<b>1011,70</b>	<b>0,01112</b>	MHB	MHB
4-S13	Max	4-S13H1	-962,92	0,00046	0,275	0,00167	0,00802	<b>962,92</b>	<b>0,00969</b>	MHB	MHB
4-S13	Min	4-S13H2	-1022,55	-0,00102	0,275	0,00372	0,00802	<b>1022,55</b>	<b>0,01174</b>	MHB	MHB
4-S14	Min	4-S14H2	-1007,34	-0,00102	0,275	0,00369	0,00802	<b>1007,34</b>	<b>0,01171</b>	MHB	MHB
4-S17	Min	4-S17H1	-726,378	-0,00820	0,275	0,02983	0,00802	<b>726,38</b>	<b>0,03785</b>	BHB	BHB
4-S17	Min	4-S17H2	-703,69	-0,00094	0,275	0,00341	0,00802	<b>703,69</b>	<b>0,01143</b>	MHB	BHB
4-S18	Min	4-S18H1	-675,317	-0,00147	0,275	0,00534	0,00802	<b>675,32</b>	<b>0,01336</b>	MHB	MHB
4-S18	Min	4-S18H2	-652,63	-0,00094	0,275	0,00342	0,00802	<b>652,63</b>	<b>0,01144</b>	MHB	MHB
4-S19	Min	4-S19H1	-722,19	-0,00955	0,275	0,03473	0,00802	<b>722,19</b>	<b>0,04275</b>	BHB	BHB
4-S19	Min	4-S19H2	-699,502	-0,00113	0,275	0,00410	0,00802	<b>699,50</b>	<b>0,01212</b>	MHB	BHB
5-S2	Min	5-S2H2	-313,919	-0,00008	0,275	0,00028	0,00802	<b>313,92</b>	<b>0,00830</b>	MHB	MHB
5-S4	Min	5-S4H2	-314,124	-0,00020	0,275	0,00074	0,00802	<b>314,12</b>	<b>0,00876</b>	MHB	MHB
5-S17	Min	5-S17H2	-314,71	-0,00008	0,275	0,00029	0,00802	<b>314,71</b>	<b>0,00831</b>	MHB	MHB
5-S18	Min	5-S18H2	-289,884	-0,00001	0,275	0,00002	0,00802	<b>289,88</b>	<b>0,00804</b>	MHB	MHB
5-S19	Min	5-S19H2	-314,665	-0,00021	0,275	0,00076	0,00802	<b>314,67</b>	<b>0,00877</b>	MHB	MHB

Tablo C.10. 7düzce-y-kolon hasar sonuçları

KOLON	StepType	MAFSAL	P	$\theta_p$	Lp	$\Phi_p$	$\Phi_y$	P	$\Phi_t$	HASAR	KESİT BÖLGESİ	KESİT HASAR
	Text		KN	Radians	m	1/m	1/m	KN	1/m			
1-S1	Max	1-S1H1	-431,648	0,08900	0,275	0,32362	0,00802	431,65	0,33164	GB		
1-S1	Min	1-S1H2	-1587,38	-0,00051	0,275	0,00184	0,00802	1587,38	0,00986	MHB		
1-S2	Max	1-S2H1	-975,656	0,02095	0,275	0,07616	0,00802	975,66	0,08418	BHB		
1-S2	Min	1-S2H1	-2037,56	-0,02006	0,275	0,07296	0,00802	2037,56	0,08098	iHB		
1-S3	Max	1-S3H1	-995,972	0,02057	0,275	0,07481	0,00802	995,97	0,08283	BHB		
1-S3	Min	1-S3H1	-2044,79	-0,02005	0,275	0,07292	0,00802	2044,79	0,08093	iHB		
1-S4	Max	1-S4H1	-964,764	0,02512	0,275	0,09134	0,00802	964,76	0,09936	BHB		
1-S4	Min	1-S4H2	-2007,33	-0,00007	0,275	0,00024	0,00802	2007,33	0,00826	MHB		
1-S5	Max	1-S5H1	-440,309	0,07947	0,275	0,28899	0,00802	440,31	0,29700	GB		
1-S5	Min	1-S5H2	-1587,35	-0,00090	0,275	0,00327	0,00802	1587,35	0,01128	MHB		
1-S6	Max	1-S6H2	-1304,97	0,00173	0,275	0,00628	0,00802	1304,97	0,01429	MHB		
1-S6	Min	1-S6H1	-1891,44	-0,01958	0,275	0,07120	0,00802	1891,44	0,07922	iHB		
1-S7	Min	1-S7H1	-2622,14	-0,02762	0,275	0,10043	0,00802	2622,14	0,10845	GB		
1-S7	Min	1-S7H2	-2591,89	-0,00013	0,275	0,00046	0,00802	2591,89	0,00848	MHB		
1-S8	Min	1-S8H1	-2615,47	-0,02918	0,275	0,10609	0,00802	2615,47	0,11411	GB		
1-S8	Min	1-S8H2	-2585,22	-0,00005	0,275	0,00016	0,00802	2585,22	0,00818	MHB		
1-S9	Min	1-S9H1	-2635,57	-0,02912	0,275	0,10590	0,00802	2635,57	0,11392	GB		
1-S9	Min	1-S9H2	-2605,32	-0,00055	0,275	0,00201	0,00802	2605,32	0,01003	MHB		
1-S10	Max	1-S10H2	-1226,62	0,00101	0,275	0,00367	0,00802	1226,62	0,01169	MHB		
1-S10	Min	1-S10H1	-1893,43	-0,05749	0,275	0,20905	0,00802	1893,43	0,21707	GB		
1-S11	Min	1-S11H1	-1797,5	-0,03689	0,275	0,13413	0,00802	1797,50	0,14215	GB		
1-S11	Min	1-S11H2	-1767,25	-0,00115	0,275	0,00417	0,00802	1767,25	0,01219	MHB		
1-S12	Max	1-S12H1	-2442,01	0,01447	0,275	0,05260	0,00802	2442,01	0,06062	BHB		
1-S12	Min	1-S12H1	-2675,4	-0,02222	0,275	0,08078	0,00802	2675,40	0,08880	GB		
1-S13	Min	1-S13H1	-2614,59	-0,02111	0,275	0,07677	0,00802	2614,59	0,08479	GB		
1-S13	Min	1-S13H2	-2584,34	-0,00007	0,275	0,00024	0,00802	2584,34	0,00825	MHB		
1-S14	Min	1-S14H1	-2661,04	-0,02939	0,275	0,10688	0,00802	2661,04	0,11489	GB		
1-S14	Min	1-S14H2	-2630,79	-0,00017	0,275	0,00063	0,00802	2630,79	0,00865	MHB		
1-S15	Min	1-S15H1	-1797,49	-0,04083	0,275	0,14847	0,00802	1797,49	0,15649	GB		
1-S15	Min	1-S15H2	-1767,24	-0,00365	0,275	0,01327	0,00802	1767,24	0,02128	MHB		
1-S16	Max	1-S16H1	-368,109	0,07787	0,275	0,28315	0,00802	368,11	0,29116	GB		
1-S16	Min	1-S16H2	-1694,23	-0,00096	0,275	0,00348	0,00802	1694,23	0,01149	MHB		
1-S17	Max	1-S17H1	-1180,76	0,02264	0,275	0,08231	0,00802	1180,76	0,09033	BHB		
1-S17	Min	1-S17H2	-2232,54	-0,00110	0,275	0,00401	0,00802	2232,54	0,01203	MHB		
1-S18	Min	1-S18H1	-2235,47	-0,03339	0,275	0,12143	0,00802	2235,47	0,12945	GB		
1-S18	Min	1-S18H2	-2205,22	-0,00025	0,275	0,00091	0,00802	2205,22	0,00892	MHB		
1-S19	Max	1-S19H1	-1151,24	0,02328	0,275	0,08465	0,00802	1151,24	0,09267	BHB		
1-S19	Min	1-S19H2	-2234,94	-0,00115	0,275	0,00420	0,00802	2234,94	0,01221	MHB		
1-S20	Max	1-S20H1	-370,754	0,03755	0,275	0,13653	0,00802	370,75	0,14455	iHB		
1-S20	Max	1-S20H2	-340,504	0,00076	0,275	0,00277	0,00802	340,50	0,01079	MHB		
2-S1	Max	2-S1H2	-488,657	0,00156	0,275	0,00568	0,00802	488,66	0,01369	MHB		
2-S1	Min	2-S1H1	-1145,13	-0,00147	0,275	0,00536	0,00802	1145,13	0,01338	MHB		
2-S2	Max	2-S2H2	-896,223	0,00124	0,275	0,00450	0,00802	896,22	0,01252	MHB		
2-S3	Max	2-S3H2	-906,238	0,00127	0,275	0,00461	0,00802	906,24	0,01263	MHB		
2-S4	Max	2-S4H2	-882,748	0,00123	0,275	0,00449	0,00802	882,75	0,01251	MHB		
2-S5	Max	2-S5H2	-490,05	0,00156	0,275	0,00566	0,00802	490,05	0,01368	MHB		
2-S5	Min	2-S5H1	-1143,38	-0,00051	0,275	0,00186	0,00802	1143,38	0,00988	MHB		
2-S6	Min	2-S6H1	-1462,43	-0,00155	0,275	0,00564	0,00802	1462,43	0,01365	MHB		
2-S6	Min	2-S6H2	-1439,74	-0,00835	0,275	0,03035	0,00802	1439,74	0,03837	BHB		
2-S7	Max	2-S7H2	-1910,19	0,00264	0,275	0,00961	0,00802	1910,19	0,01763	MHB		
2-S7	Min	2-S7H2	-2010,98	-0,00198	0,275	0,00718	0,00802	2010,98	0,01520	MHB		
2-S8	Max	2-S8H2	-1862,56	0,00261	0,275	0,00948	0,00802	1862,56	0,01749	MHB		
2-S8	Min	2-S8H2	-2014,11	-0,00197	0,275	0,00716	0,00802	2014,11	0,01517	MHB		
2-S9	Max	2-S9H2	-1910,32	0,00264	0,275	0,00961	0,00802	1910,32	0,01763	MHB		
2-S9	Min	2-S9H2	-2059,99	-0,00208	0,275	0,00755	0,00802	2059,99	0,01556	MHB		
2-S10	Max	2-S10H1	-1082,04	0,00154	0,275	0,00559	0,00802	1082,04	0,01361	MHB		
2-S10	Max	2-S10H2	-1059,36	0,00399	0,275	0,01449	0,00802	1059,36	0,02251	MHB		

Tablo C.10.(Devam) 7düzce-y-kolon hasar sonuçları

2-S11	Max	2-S11H1	-1140,68	0,00388	0,275	0,01410	0,00802	<b>1140,68</b>	<b>0,02212</b>	MHB	MHB
2-S11	Max	2-S11H2	-1118	0,00403	0,275	0,01467	0,00802	<b>1118,00</b>	<b>0,02268</b>	MHB	
2-S12	Max	2-S12H2	-1926,17	0,00262	0,275	0,00952	0,00802	<b>1926,17</b>	<b>0,01753</b>	MHB	MHB
2-S12	Min	2-S12H2	-2086,55	-0,00194	0,275	0,00704	0,00802	<b>2086,55</b>	<b>0,01505</b>	MHB	
2-S13	Max	2-S13H2	-1904,8	0,00259	0,275	0,00940	0,00802	<b>1904,80</b>	<b>0,01742</b>	MHB	MHB
2-S13	Min	2-S13H2	-2062,86	-0,00199	0,275	0,00725	0,00802	<b>2062,86</b>	<b>0,01527</b>	MHB	
2-S14	Max	2-S14H2	-1926,17	0,00262	0,275	0,00952	0,00802	<b>1926,17</b>	<b>0,01754</b>	MHB	MHB
2-S14	Min	2-S14H2	-2041,47	-0,00197	0,275	0,00717	0,00802	<b>2041,47</b>	<b>0,01519</b>	MHB	
2-S15	Max	2-S15H1	-1172,59	0,00403	0,275	0,01464	0,00802	<b>1172,59</b>	<b>0,02266</b>	MHB	MHB
2-S15	Max	2-S15H2	-1149,9	0,00403	0,275	0,01466	0,00802	<b>1149,90</b>	<b>0,02268</b>	MHB	
2-S16	Max	2-S16H1	-509,912	0,00022	0,275	0,00080	0,00802	<b>509,91</b>	<b>0,00881</b>	MHB	MHB
2-S16	Max	2-S16H2	-487,224	0,00125	0,275	0,00453	0,00802	<b>487,22</b>	<b>0,01255</b>	MHB	
2-S17	Max	2-S17H2	-927,978	0,00085	0,275	0,00308	0,00802	<b>927,98</b>	<b>0,01110</b>	MHB	MHB
2-S18	Max	2-S18H1	-937,811	0,00003	0,275	0,00009	0,00802	<b>937,81</b>	<b>0,00811</b>	MHB	
2-S18	Min	2-S18H2	-1548,94	-0,00038	0,275	0,00137	0,00802	<b>1548,94</b>	<b>0,00939</b>	MHB	MHB
2-S19	Max	2-S19H2	-927,978	0,00085	0,275	0,00308	0,00802	<b>927,98</b>	<b>0,01110</b>	MHB	
2-S20	Max	2-S20H1	-509,912	0,00027	0,275	0,00099	0,00802	<b>509,91</b>	<b>0,00900</b>	MHB	MHB
2-S20	Max	2-S20H2	-487,225	0,00124	0,275	0,00452	0,00802	<b>487,23</b>	<b>0,01253</b>	MHB	
3-S1	Min	3-S1H1	-819,797	-0,00001	0,275	0,00003	0,00802	<b>819,80</b>	<b>0,00805</b>	MHB	MHB
3-S1	Min	3-S1H2	-797,109	-0,00056	0,275	0,00204	0,00802	<b>797,11</b>	<b>0,01006</b>	MHB	
3-S2	Min	3-S2H1	-1125,97	-0,00114	0,275	0,00415	0,00802	<b>1125,97</b>	<b>0,01217</b>	MHB	MHB
3-S2	Min	3-S2H2	-1103,28	-0,00091	0,275	0,00332	0,00802	<b>1103,28</b>	<b>0,01133</b>	MHB	
3-S3	Min	3-S3H1	-1124,92	-0,00123	0,275	0,00447	0,00802	<b>1124,92</b>	<b>0,01249</b>	MHB	MHB
3-S3	Min	3-S3H2	-1102,23	-0,00085	0,275	0,00311	0,00802	<b>1102,23</b>	<b>0,01112</b>	MHB	
3-S4	Min	3-S4H1	-1143	-0,00158	0,275	0,00575	0,00802	<b>1143,00</b>	<b>0,01377</b>	MHB	MHB
3-S4	Min	3-S4H2	-1120,31	-0,00099	0,275	0,00360	0,00802	<b>1120,31</b>	<b>0,01161</b>	MHB	
3-S5	Min	3-S5H1	-820,288	-0,00096	0,275	0,00348	0,00802	<b>820,29</b>	<b>0,01149</b>	MHB	MHB
3-S5	Min	3-S5H2	-797,601	-0,00055	0,275	0,00199	0,00802	<b>797,60</b>	<b>0,01001</b>	MHB	
3-S6	Min	3-S6H1	-1201,93	0,00736	0,275	0,02676	0,00802	<b>1201,93</b>	<b>0,03478</b>	BHB	iHB
3-S6	Min	3-S6H2	-1179,24	-0,02722	0,275	0,09897	0,00802	<b>1179,24</b>	<b>0,10699</b>	iHB	
3-S7	Min	3-S7H1	-1567,56	-0,00036	0,275	0,00130	0,00802	<b>1567,56</b>	<b>0,00932</b>	MHB	MHB
3-S7	Min	3-S7H2	-1544,87	-0,00185	0,275	0,00673	0,00802	<b>1544,87</b>	<b>0,01475</b>	MHB	
3-S8	Max	3-S8H2	-1248,79	0,00125	0,275	0,00453	0,00802	<b>1248,79</b>	<b>0,01255</b>	MHB	BHB
3-S8	Min	3-S8H2	-1575,23	-0,00661	0,275	0,02404	0,00802	<b>1575,23</b>	<b>0,03205</b>	BHB	
3-S9	Max	3-S9H2	-1280	0,00157	0,275	0,00569	0,00802	<b>1280,00</b>	<b>0,01371</b>	MHB	MHB
3-S9	Min	3-S9H1	-1569,26	-0,00061	0,275	0,00220	0,00802	<b>1569,26</b>	<b>0,01022</b>	MHB	
3-S10	Min	3-S10H1	-1199,01	-0,00021	0,275	0,00075	0,00802	<b>1199,01</b>	<b>0,00876</b>	MHB	BHB
3-S10	Min	3-S10H2	-1176,32	-0,02503	0,275	0,09102	0,00802	<b>1176,32</b>	<b>0,09904</b>	BHB	
3-S11	Max	3-S11H2	-707,489	0,00303	0,275	0,01103	0,00802	<b>707,49</b>	<b>0,01904</b>	MHB	GB
3-S11	Min	3-S11H2	-1152,51	-0,05270	0,275	0,19162	0,00802	<b>1152,51</b>	<b>0,19964</b>	GB	
3-S12	Max	3-S12H2	-1354,9	0,00127	0,275	0,00461	0,00802	<b>1354,90</b>	<b>0,01263</b>	MHB	GB
3-S12	Min	3-S12H2	-1594,44	-0,03088	0,275	0,11228	0,00802	<b>1594,44</b>	<b>0,12029</b>	GB	
3-S13	Max	3-S13H2	-1310,78	0,00122	0,275	0,00443	0,00802	<b>1310,78</b>	<b>0,01244</b>	MHB	BHB
3-S13	Min	3-S13H2	-1553,47	-0,00582	0,275	0,02116	0,00802	<b>1553,47</b>	<b>0,02918</b>	BHB	
3-S14	Max	3-S14H2	-1365,81	0,00127	0,275	0,00462	0,00802	<b>1365,81</b>	<b>0,01264</b>	MHB	BHB
3-S14	Min	3-S14H2	-1577,88	-0,01605	0,275	0,05838	0,00802	<b>1577,88</b>	<b>0,06640</b>	BHB	
3-S15	Max	3-S15H2	-698,219	0,00304	0,275	0,01104	0,00802	<b>698,22</b>	<b>0,01905</b>	MHB	GB
3-S15	Min	3-S15H2	-1148,49	-0,05665	0,275	0,20600	0,00802	<b>1148,49</b>	<b>0,21401</b>	GB	
3-S16	Min	3-S16H2	-790,77	-0,00096	0,275	0,00349	0,00802	<b>790,77</b>	<b>0,01151</b>	MHB	MHB
3-S17	Min	3-S17H1	-1181,64	-0,00022	0,275	0,00081	0,00802	<b>1181,64</b>	<b>0,00883</b>	MHB	
3-S17	Min	3-S17H2	-1158,96	-0,00133	0,275	0,00483	0,00802	<b>1158,96</b>	<b>0,01285</b>	MHB	MHB
3-S18	Min	3-S18H1	-1152,05	-0,00043	0,275	0,00155	0,00802	<b>1152,05</b>	<b>0,00956</b>	MHB	
3-S18	Min	3-S18H2	-1129,36	-0,00126	0,275	0,00456	0,00802	<b>1129,36</b>	<b>0,01258</b>	MHB	MHB
3-S19	Min	3-S19H1	-1182,25	-0,00056	0,275	0,00202	0,00802	<b>1182,25</b>	<b>0,01004</b>	MHB	
3-S19	Min	3-S19H2	-1159,56	0,00136	0,275	0,00494	0,00802	<b>1159,56</b>	<b>0,01296</b>	MHB	MHB
3-S20	Min	3-S20H1	-813,06	-0,00010	0,275	0,00035	0,00802	<b>813,06</b>	<b>0,00837</b>	MHB	
3-S20	Min	3-S20H2	-790,373	-0,00096	0,275	0,00347	0,00802	<b>790,37</b>	<b>0,01149</b>	MHB	MHB
4-S6	Max	4-S6H2	-589,819	0,00067	0,275	0,00243	0,00802	<b>589,82</b>	<b>0,01045</b>	MHB	MHB
4-S6	Min	4-S6H1	-735,547	-0,00392	0,275	0,01427	0,00802	<b>735,55</b>	<b>0,02228</b>	MHB	
4-S7	Max	4-S7H1	-957,997	0,00075	0,275	0,00274	0,00802	<b>959,00</b>	<b>0,01076</b>	MHB	MHB
4-S7	Min	4-S7H2	-1060,79	-0,00011	0,275	0,00038	0,00802	<b>1060,79</b>	<b>0,00840</b>	MHB	
4-S8	Min	4-S8H1	-1024,55	-0,00032	0,275	0,00117	0,00802	<b>1024,55</b>	<b>0,00919</b>	MHB	MHB
4-S8	Min	4-S8H2	-1001,86	-0,00018	0,275	0,00064	0,00802	<b>1001,86</b>	<b>0,00866</b>	MHB	
4-S9	Max	4-S9H1	-959,204	0,00157	0,275	0,00571	0,00802	<b>959,20</b>	<b>0,01372</b>	MHB	MHB
4-S9	Max	4-S9H2	-936,517	0,00045	0,275	0,00162	0,00802	<b>936,52</b>	<b>0,00964</b>	MHB	
4-S10	Max	4-S10H2	-566,095	0,00067	0,275	0,00243	0,00802	<b>566,10</b>	<b>0,01045</b>	MHB	MHB
4-S10	Min	4-S10H1	-730,968	-0,00434	0,275	0,01578	0,00802	<b>730,97</b>	<b>0,02380</b>	MHB	
4-S11	Min	4-S11H1	-793,115	-0,00998	0,275	0,03630	0,00802	<b>793,12</b>	<b>0,04432</b>	BHB	BHB
4-S11	Min	4-S11H2	-770,428	-0,00006	0,275	0,00022	0,00802	<b>770,43</b>	<b>0,00824</b>	MHB	
4-S12	Max	4-S12H2	-947,32	0,00043	0,275	0,00155	0,00802	<b>947,32</b>	<b>0,00957</b>	MHB	BHB
4-S12	Min	4-S12H1	-1106,15	-0,00607	0,275	0,02207	0,00802	<b>1106,15</b>	<b>0,03009</b>	BHB	
4-S13	Min	4-S13H1	-1038,16	-0,00091	0,275	0,00331	0,00802	<b>1038,16</b>	<b>0,01133</b>	MHB	MHB
4-S13	Min	4-S13H2	-1015,47	-0,00030	0,275	0,00107	0,00802	<b>1015,47</b>	<b>0,00909</b>	MHB	
4-S14	Min	4-S14H1	-1076,05	-0,00290	0,275	0,01055	0,00802	<b>1076,05</b>	<b>0,01857</b>	MHB	MHB
4-S14	Min	4-S14H2	-1053,36	-0,00028	0,275	0,00103	0,00802	<b>1053,36</b>	<b>0,00905</b>	MHB	
4-S15	Min	4-S15H1	-827,53	-0,01100	0,275	0,03999	0,00802	<b>827,53</b>	<b>0,04801</b>	BHB	BHB
4-S15	Min	4-S15H2	-804,843	-0,00008	0,275	0,00028	0,00802	<b>804,84</b>	<b>0,00829</b>	MHB	
5-S16	Min	5-S16H2	-230,454	-0,00004	0,275	0,00015	0,00802	<b>230,45</b>	<b>0,00816</b>	MHB	MHB
5-S17	Min	5-S17H2	-378,134	-0,00028							

Tablo C.11. 7düzce-x-z-kolon hasar sonuçları

KOLON	StepType	MAFSAL	P	$\theta_p$	Lp	$\Phi_p$	$\Phi_y$	P	$\Phi_t$	HASAR	KESİT HASAR
	Text		KN	Radians	m	1/m	1/m	KN	1/m	BÖLGESİ	
1-S1	Max	1-S1H1	-257,616	0,00816	0,275	0,02967	0,00802	<b>257,62</b>	<b>0,03769</b>	BHB	BHB
1-S1	Min	1-S1H1	-1851,18	-0,01656	0,275	0,06023	0,00802	<b>1851,18</b>	<b>0,06824</b>	BHB	
1-S2	Max	1-S2H1	-817,96	0,00583	0,275	0,02121	0,00802	<b>817,96</b>	<b>0,02923</b>	BHB	İHB
1-S2	Min	1-S2H1	-2196,59	-0,01647	0,275	0,05988	0,00802	<b>2196,59</b>	<b>0,06790</b>	İHB	
1-S3	Max	1-S3H2	-779,092	0,00008	0,275	0,00028	0,00802	<b>779,09</b>	<b>0,00829</b>	MHB	İHB
1-S3	Min	1-S3H1	-2194,14	-0,01652	0,275	0,06007	0,00802	<b>2194,14</b>	<b>0,06809</b>	İHB	
1-S4	Max	1-S4H2	-790,616	0,00003	0,275	0,00011	0,00802	<b>790,62</b>	<b>0,00812</b>	MHB	İHB
1-S4	Min	1-S4H1	-2194,2	-0,01633	0,275	0,05936	0,00802	<b>2194,20</b>	<b>0,06738</b>	İHB	
1-S5	Max	1-S5H1	-315,347	0,00555	0,275	0,02019	0,00802	<b>315,35</b>	<b>0,02820</b>	BHB	GB
1-S5	Min	1-S5H1	-1973,69	-0,04121	0,275	0,14985	0,00802	<b>1973,69</b>	<b>0,15787</b>	GB	
1-S6	Max	1-S6H1	-797,227	0,06056	0,275	0,22021	0,00802	<b>797,23</b>	<b>0,22823</b>	GB	GB
1-S6	Min	1-S6H1	-2616,93	-0,01650	0,275	0,06001	0,00802	<b>2616,93</b>	<b>0,06803</b>	İHB	
1-S7	Max	1-S7H1	-1245,37	0,01558	0,275	0,05666	0,00802	<b>1245,37</b>	<b>0,06468</b>	BHB	GB
1-S7	Min	1-S7H1	-3520,12	-0,01558	0,275	0,05666	0,00802	<b>3520,12</b>	<b>0,06468</b>	GB	
1-S8	Max	1-S8H1	-1238,19	0,01557	0,275	0,05661	0,00802	<b>1238,19</b>	<b>0,06463</b>	BHB	GB
1-S8	Min	1-S8H1	-3519,42	-0,01559	0,275	0,05668	0,00802	<b>3519,42</b>	<b>0,06469</b>	GB	
1-S9	Max	1-S9H1	-1248,54	0,01556	0,275	0,05659	0,00802	<b>1248,54</b>	<b>0,06460</b>	BHB	GB
1-S9	Min	1-S9H1	-3517,07	-0,01559	0,275	0,05668	0,00802	<b>3517,07</b>	<b>0,06470</b>	GB	
1-S10	Max	1-S10H1	-842,821	0,00496	0,275	0,01804	0,00802	<b>842,82</b>	<b>0,02605</b>	BHB	İHB
1-S10	Min	1-S10H1	-2666,45	-0,01623	0,275	0,05901	0,00802	<b>2666,45</b>	<b>0,06703</b>	İHB	
1-S11	Max	1-S11H1	-797,227	0,06056	0,275	0,22021	0,00802	<b>797,23</b>	<b>0,22823</b>	GB	GB
1-S11	Min	1-S11H1	-2616,93	-0,01650	0,275	0,06001	0,00802	<b>2616,93</b>	<b>0,06803</b>	İHB	
1-S12	Max	1-S12H1	-1245,37	0,01558	0,275	0,05666	0,00802	<b>1245,37</b>	<b>0,06468</b>	BHB	GB
1-S12	Min	1-S12H1	-3520,12	-0,01558	0,275	0,05666	0,00802	<b>3520,12</b>	<b>0,06468</b>	GB	
1-S13	Max	1-S13H1	-1238,19	0,01557	0,275	0,05661	0,00802	<b>1238,19</b>	<b>0,06463</b>	BHB	GB
1-S13	Min	1-S13H1	-3519,42	-0,01559	0,275	0,05668	0,00802	<b>3519,42</b>	<b>0,06469</b>	GB	
1-S14	Max	1-S14H1	-1248,54	0,01556	0,275	0,05659	0,00802	<b>1248,54</b>	<b>0,06460</b>	BHB	GB
1-S14	Min	1-S14H1	-3517,07	-0,01559	0,275	0,05668	0,00802	<b>3517,07</b>	<b>0,06470</b>	GB	
1-S15	Max	1-S15H1	-842,821	0,00496	0,275	0,01804	0,00802	<b>842,82</b>	<b>0,02605</b>	BHB	İHB
1-S15	Min	1-S15H1	-2666,46	-0,01623	0,275	0,05901	0,00802	<b>2666,46</b>	<b>0,06703</b>	İHB	
1-S16	Max	1-S16H1	-257,617	0,00816	0,275	0,02967	0,00802	<b>257,62</b>	<b>0,03769</b>	BHB	BHB
1-S16	Min	1-S16H1	-1851,18	-0,01656	0,275	0,06022	0,00802	<b>1851,18</b>	<b>0,06824</b>	BHB	
1-S17	Max	1-S17H1	-817,96	0,00583	0,275	0,02121	0,00802	<b>817,96</b>	<b>0,02923</b>	BHB	İHB
1-S17	Min	1-S17H1	-2196,59	-0,01647	0,275	0,05988	0,00802	<b>2196,59</b>	<b>0,06790</b>	İHB	
1-S18	Max	1-S18H2	-779,092	0,00008	0,275	0,00028	0,00802	<b>779,09</b>	<b>0,00829</b>	MHB	İHB
1-S18	Min	1-S18H1	-2194,14	-0,01652	0,275	0,06007	0,00802	<b>2194,14</b>	<b>0,06809</b>	İHB	
1-S19	Max	1-S19H2	-790,616	0,00003	0,275	0,00011	0,00802	<b>790,62</b>	<b>0,00812</b>	MHB	İHB
1-S19	Min	1-S19H1	-2194,2	-0,01633	0,275	0,05936	0,00802	<b>2194,20</b>	<b>0,06738</b>	İHB	
1-S20	Max	1-S20H1	-315,342	0,00555	0,275	0,02019	0,00802	<b>315,34</b>	<b>0,02821</b>	BHB	GB
1-S20	Min	1-S20H1	-1973,68	-0,04123	0,275	0,14992	0,00802	<b>1973,68</b>	<b>0,15793</b>	GB	
2-S1	Max	2-S1H2	-301,45	0,00076	0,275	0,00276	0,00802	<b>301,45</b>	<b>0,01077</b>	MHB	MHB
2-S1	Min	2-S1H2	-1356,09	-0,00058	0,275	0,00209	0,00802	<b>1356,09</b>	<b>0,01011</b>	MHB	
2-S2	Max	2-S2H2	-606,679	0,00324	0,275	0,01177	0,00802	<b>606,68</b>	<b>0,01979</b>	MHB	MHB
2-S2	Min	2-S2H1	-1766,33	-0,00064	0,275	0,00232	0,00802	<b>1766,33</b>	<b>0,01033</b>	MHB	
2-S3	Max	2-S3H2	-599,278	0,00324	0,275	0,01178	0,00802	<b>599,28</b>	<b>0,01980</b>	MHB	MHB
2-S3	Min	2-S3H1	-1765,88	-0,00097	0,275	0,00351	0,00802	<b>1765,88</b>	<b>0,01153</b>	MHB	
2-S4	Max	2-S4H2	-608,401	0,00319	0,275	0,01161	0,00802	<b>608,40</b>	<b>0,01963</b>	MHB	MHB
2-S4	Min	2-S4H1	-1766,14	-0,00099	0,275	0,00360	0,00802	<b>1766,14</b>	<b>0,01161</b>	MHB	
2-S5	Max	2-S5H2	-270,09	0,00099	0,275	0,00361	0,00802	<b>270,09</b>	<b>0,01163</b>	MHB	MHB
2-S5	Min	2-S5H2	-1388,76	-0,00024	0,275	0,00086	0,00802	<b>1388,76</b>	<b>0,00888</b>	MHB	
2-S6	Max	2-S6H2	-607,144	0,00014	0,275	0,00052	0,00802	<b>607,14</b>	<b>0,00854</b>	MHB	MHB
2-S6	Min	2-S6H1	-2034,29	-0,00002	0,275	0,00008	0,00802	<b>2034,29</b>	<b>0,00810</b>	MHB	
2-S7	Max	2-S7H2	-920,639	0,00138	0,275	0,00502	0,00802	<b>920,64</b>	<b>0,01304</b>	MHB	MHB
2-S7	Min	2-S7H2	-2825,13	-0,00132	0,275	0,00479	0,00802	<b>2825,13</b>	<b>0,01281</b>	MHB	
2-S8	Max	2-S8H2	-915,165	0,00139	0,275	0,00504	0,00802	<b>915,17</b>	<b>0,01305</b>	MHB	MHB
2-S8	Min	2-S8H2	-2824,7	-0,00128	0,275	0,00465	0,00802	<b>2824,70</b>	<b>0,01267</b>	MHB	
2-S9	Max	2-S9H2	-922,507	0,00136	0,275	0,00493	0,00802	<b>922,51</b>	<b>0,01295</b>	MHB	MHB
2-S9	Min	2-S9H2	-2820,91	-0,00131	0,275	0,00477	0,00802	<b>2820,91</b>	<b>0,01279</b>	MHB	

Tablo C.11.(Devam) 7düzce-x-z-kolon hasar sonuçları

2-S10	Max	2-S10H2	-626,464	0,00018	0,275	0,00066	0,00802	<b>626,46</b>	<b>0,00868</b>	MHB	MHB
2-S11	Max	2-S11H2	-607,144	0,00014	0,275	0,00052	0,00802	<b>607,14</b>	<b>0,00854</b>	MHB	MHB
2-S11	Min	2-S11H1	-2034,29	-0,00002	0,275	0,00008	0,00802	<b>2034,29</b>	<b>0,00810</b>	MHB	
2-S12	Max	2-S12H2	-920,639	0,00138	0,275	0,00502	0,00802	<b>920,64</b>	<b>0,01304</b>	MHB	MHB
2-S12	Min	2-S12H2	-2825,13	-0,00132	0,275	0,00479	0,00802	<b>2825,13</b>	<b>0,01281</b>	MHB	
2-S13	Max	2-S13H2	-915,165	0,00139	0,275	0,00504	0,00802	<b>915,17</b>	<b>0,01305</b>	MHB	MHB
2-S13	Min	2-S13H2	-2824,7	-0,00128	0,275	0,00465	0,00802	<b>2824,70</b>	<b>0,01267</b>	MHB	
2-S14	Max	2-S14H2	-922,507	0,00136	0,275	0,00493	0,00802	<b>922,51</b>	<b>0,01295</b>	MHB	MHB
2-S14	Min	2-S14H2	-2820,91	-0,00131	0,275	0,00477	0,00802	<b>2820,91</b>	<b>0,01279</b>	MHB	
2-S15	Max	2-S15H2	-626,464	0,00018	0,275	0,00066	0,00802	<b>626,46</b>	<b>0,00868</b>	MHB	MHB
2-S16	Max	2-S16H2	-301,45	0,00076	0,275	0,00276	0,00802	<b>301,45</b>	<b>0,01077</b>	MHB	MHB
2-S16	Min	2-S16H2	-1356,09	-0,00058	0,275	0,00209	0,00802	<b>1356,09</b>	<b>0,01011</b>	MHB	
2-S17	Max	2-S17H2	-606,679	0,00324	0,275	0,01177	0,00802	<b>606,68</b>	<b>0,01979</b>	MHB	MHB
2-S17	Min	2-S17H1	-1766,33	-0,00064	0,275	0,00232	0,00802	<b>1766,33</b>	<b>0,01033</b>	MHB	
2-S18	Max	2-S18H2	-599,278	0,00324	0,275	0,01178	0,00802	<b>599,28</b>	<b>0,01980</b>	MHB	MHB
2-S18	Min	2-S18H1	-1765,88	-0,00097	0,275	0,00351	0,00802	<b>1765,88</b>	<b>0,01153</b>	MHB	
2-S19	Max	2-S19H2	-608,401	0,00319	0,275	0,01161	0,00802	<b>608,40</b>	<b>0,01963</b>	MHB	MHB
2-S19	Min	2-S19H1	-1766,14	-0,00099	0,275	0,00360	0,00802	<b>1766,14</b>	<b>0,01161</b>	MHB	
2-S20	Max	2-S20H2	-270,09	0,00099	0,275	0,00361	0,00802	<b>270,09</b>	<b>0,01163</b>	MHB	MHB
2-S20	Min	2-S20H2	-1388,76	-0,00024	0,275	0,00086	0,00802	<b>1388,76</b>	<b>0,00888</b>	MHB	
3-S1	Max	3-S1H2	-274,636	0,00246	0,275	0,00893	0,00802	<b>274,64</b>	<b>0,01695</b>	MHB	MHB
3-S1	Min	3-S1H1	-1006,6	-0,00124	0,275	0,00450	0,00802	<b>1006,60</b>	<b>0,01252</b>	MHB	
3-S2	Min	3-S2H1	-1332,91	-0,00119	0,275	0,00433	0,00802	<b>1332,91</b>	<b>0,01235</b>	MHB	BHB
3-S2	Min	3-S2H2	-1310,22	-0,01496	0,275	0,05439	0,00802	<b>1310,22</b>	<b>0,06241</b>	BHB	
3-S3	Max	3-S3H2	-430,602	0,00379	0,275	0,01379	0,00802	<b>430,60</b>	<b>0,02180</b>	MHB	GB
3-S3	Min	3-S3H2	-1309,73	-0,03759	0,275	0,13668	0,00802	<b>1309,73</b>	<b>0,14470</b>	GB	
3-S4	Max	3-S4H2	-438,515	0,00384	0,275	0,01398	0,00802	<b>438,52</b>	<b>0,02200</b>	MHB	GB
3-S4	Min	3-S4H2	-1310,91	-0,04783	0,275	0,17391	0,00802	<b>1310,91</b>	<b>0,18193</b>	GB	
3-S5	Min	3-S5H1	-1030,53	-0,00184	0,275	0,00670	0,00802	<b>1030,53</b>	<b>0,01472</b>	MHB	MHB
3-S5	Min	3-S5H2	-1007,84	-0,00109	0,275	0,00395	0,00802	<b>1007,84</b>	<b>0,01197</b>	MHB	
3-S6	Max	3-S6H2	-458,494	0,00778	0,275	0,02830	0,00802	<b>458,49</b>	<b>0,03632</b>	BHB	BHB
3-S6	Min	3-S6H1	-1508,8	-0,00124	0,275	0,00451	0,00802	<b>1508,80</b>	<b>0,01253</b>	MHB	
3-S7	Max	3-S7H2	-660,165	0,00205	0,275	0,00744	0,00802	<b>660,17</b>	<b>0,01546</b>	MHB	BHB
3-S7	Min	3-S7H2	-2145,09	-0,00682	0,275	0,02479	0,00802	<b>2145,09</b>	<b>0,03281</b>	BHB	
3-S8	Max	3-S8H2	-652,322	0,00196	0,275	0,00714	0,00802	<b>652,32</b>	<b>0,01516</b>	MHB	BHB
3-S8	Min	3-S8H2	-2144,64	-0,01304	0,275	0,04740	0,00802	<b>2144,64</b>	<b>0,05542</b>	BHB	
3-S9	Min	3-S9H1	-2160,77	-0,00007	0,275	0,00024	0,00802	<b>2160,77</b>	<b>0,00826</b>	MHB	BHB
3-S9	Min	3-S9H2	-2138,08	-0,01085	0,275	0,03945	0,00802	<b>2138,08</b>	<b>0,04747</b>	BHB	
3-S10	Max	3-S10H2	-454,217	0,00218	0,275	0,00792	0,00802	<b>454,22</b>	<b>0,01593</b>	MHB	MHB
3-S10	Min	3-S10H1	-1524,81	-0,00164	0,275	0,00596	0,00802	<b>1524,81</b>	<b>0,01398</b>	MHB	
3-S11	Max	3-S11H2	-458,494	0,00778	0,275	0,02830	0,00802	<b>458,49</b>	<b>0,03632</b>	BHB	BHB
3-S11	Min	3-S11H1	-1508,8	-0,00124	0,275	0,00451	0,00802	<b>1508,80</b>	<b>0,01253</b>	MHB	
3-S12	Max	3-S12H2	-660,165	0,00205	0,275	0,00744	0,00802	<b>660,17</b>	<b>0,01546</b>	MHB	BHB
3-S12	Min	3-S12H2	-2145,09	-0,00682	0,275	0,02479	0,00802	<b>2145,09</b>	<b>0,03281</b>	BHB	
3-S13	Max	3-S13H2	-652,322	0,00196	0,275	0,00714	0,00802	<b>652,32</b>	<b>0,01516</b>	MHB	BHB
3-S13	Min	3-S13H2	-2144,64	-0,01304	0,275	0,04740	0,00802	<b>2144,64</b>	<b>0,05542</b>	BHB	
3-S14	Min	3-S14H1	-2160,77	-0,00007	0,275	0,00024	0,00802	<b>2160,77</b>	<b>0,00826</b>	MHB	BHB
3-S14	Min	3-S14H2	-2138,08	-0,01085	0,275	0,03945	0,00802	<b>2138,08</b>	<b>0,04747</b>	BHB	
3-S15	Min	3-S15H1	-1524,81	-0,00164	0,275	0,00596	0,00802	<b>1524,81</b>	<b>0,01398</b>	MHB	MHB
3-S15	Min	3-S15H2	-1502,12	-0,00130	0,275	0,00473	0,00802	<b>1502,12</b>	<b>0,01275</b>	MHB	
3-S16	Min	3-S16H1	-1006,6	-0,00124	0,275	0,00450	0,00802	<b>1006,60</b>	<b>0,01252</b>	MHB	MHB
3-S16	Min	3-S16H2	-983,913	-0,00120	0,275	0,00436	0,00802	<b>983,91</b>	<b>0,01237</b>	MHB	
3-S17	Min	3-S17H1	-1332,91	-0,00119	0,275	0,00433	0,00802	<b>1332,91</b>	<b>0,01235</b>	MHB	BHB
3-S17	Min	3-S17H2	-1310,22	-0,01495	0,275	0,05437	0,00802	<b>1310,22</b>	<b>0,06239</b>	BHB	
3-S18	Max	3-S18H2	-430,602	0,00379	0,275	0,01379	0,00802	<b>430,60</b>	<b>0,02180</b>	MHB	GB
3-S18	Min	3-S18H2	-1309,73	-0,03759	0,275	0,13668	0,00802	<b>1309,73</b>	<b>0,14470</b>	GB	
3-S19	Max	3-S19H2	-438,515	0,00384	0,275	0,01398	0,00802	<b>438,52</b>	<b>0,02200</b>	MHB	GB
3-S19	Min	3-S19H2	-1310,91	-0,04783	0,275	0,17391	0,00802	<b>1310,91</b>	<b>0,18193</b>	GB	
3-S20	Max	3-S20H2	-218,62	0,00211	0,275	0,00767	0,00802	<b>218,62</b>	<b>0,01569</b>	MHB	MHB
3-S20	Min	3-S20H1	-1030,52	-0,00184	0,275	0,00670	0,00802	<b>1030,52</b>	<b>0,01472</b>	MHB	

Tablo C.11.(Devam) 7düzce-x-z-kolon hasar sonuçları

4-S2	Min	4-S2H1	-891,126	-0,00138	0,275	0,00502	0,00802	<b>891,13</b>	<b>0,01304</b>	MHB	<b>MHB</b>
4-S2	Min	4-S2H2	-868,439	-0,00152	0,275	0,00553	0,00802	<b>868,44</b>	<b>0,01355</b>	MHB	
4-S3	Min	4-S3H1	-890,474	-0,00747	0,275	0,02716	0,00802	<b>890,47</b>	<b>0,03518</b>	BHB	<b>BHB</b>
4-S3	Min	4-S3H2	-867,786	-0,00149	0,275	0,00543	0,00802	<b>867,79</b>	<b>0,01345</b>	MHB	
4-S4	Min	4-S4H1	-891,518	-0,00935	0,275	0,03399	0,00802	<b>891,52</b>	<b>0,04200</b>	BHB	<b>BHB</b>
4-S4	Min	4-S4H2	-868,83	-0,00151	0,275	0,00548	0,00802	<b>868,83</b>	<b>0,01350</b>	MHB	
4-S6	Max	4-S6H1	-325,698	0,00214	0,275	0,00778	0,00802	<b>325,70</b>	<b>0,01580</b>	MHB	<b>MHB</b>
4-S7	Min	4-S7H1	-1460,35	-0,00400	0,275	0,01453	0,00802	<b>1460,35</b>	<b>0,02255</b>	BHB	<b>BHB</b>
4-S7	Min	4-S7H2	-1437,66	-0,00139	0,275	0,00504	0,00802	<b>1437,66</b>	<b>0,01306</b>	MHB	
4-S8	Max	4-S8H2	-414,326	0,00007	0,275	0,00026	0,00802	<b>414,33</b>	<b>0,00828</b>	MHB	<b>BHB</b>
4-S8	Min	4-S8H1	-1459,41	-0,00621	0,275	0,02258	0,00802	<b>1459,41</b>	<b>0,03060</b>	BHB	
4-S9	Min	4-S9H1	-1455,82	-0,00268	0,275	0,00973	0,00802	<b>1455,82</b>	<b>0,01775</b>	MHB	<b>MHB</b>
4-S9	Min	4-S9H2	-1433,13	-0,00148	0,275	0,00538	0,00802	<b>1433,13</b>	<b>0,01340</b>	MHB	
4-S11	Max	4-S11H1	-325,698	0,00214	0,275	0,00778	0,00802	<b>325,70</b>	<b>0,01580</b>	MHB	<b>MHB</b>
4-S12	Max	4-S12H2	-420,275	0,00007	0,275	0,00027	0,00802	<b>420,28</b>	<b>0,00828</b>	MHB	<b>BHB</b>
4-S12	Min	4-S12H1	-1460,35	-0,00400	0,275	0,01453	0,00802	<b>1460,35</b>	<b>0,02255</b>	BHB	
4-S13	Max	4-S13H2	-414,326	0,00007	0,275	0,00026	0,00802	<b>414,33</b>	<b>0,00828</b>	MHB	<b>BHB</b>
4-S13	Min	4-S13H1	-1459,41	-0,00621	0,275	0,02258	0,00802	<b>1459,41</b>	<b>0,03060</b>	BHB	
4-S14	Min	4-S14H1	-1455,82	-0,00268	0,275	0,00973	0,00802	<b>1455,82</b>	<b>0,01775</b>	MHB	<b>MHB</b>
4-S14	Min	4-S14H2	-1433,13	-0,00148	0,275	0,00538	0,00802	<b>1433,13</b>	<b>0,01340</b>	MHB	
4-S17	Min	4-S17H1	-891,126	-0,00138	0,275	0,00502	0,00802	<b>891,13</b>	<b>0,01304</b>	MHB	<b>MHB</b>
4-S17	Min	4-S17H2	-868,439	-0,00152	0,275	0,00553	0,00802	<b>868,44</b>	<b>0,01355</b>	MHB	
4-S18	Min	4-S18H1	-890,474	-0,00747	0,275	0,02716	0,00802	<b>890,47</b>	<b>0,03518</b>	BHB	<b>BHB</b>
4-S18	Min	4-S18H2	-867,786	-0,00149	0,275	0,00543	0,00802	<b>867,79</b>	<b>0,01345</b>	MHB	
4-S19	Min	4-S19H1	-891,518	-0,00935	0,275	0,03399	0,00802	<b>891,52</b>	<b>0,04200</b>	BHB	<b>BHB</b>
4-S19	Min	4-S19H2	-868,83	-0,00151	0,275	0,00548	0,00802	<b>868,83</b>	<b>0,01350</b>	MHB	
5-S2	Min	5-S2H2	-421,198	-0,00017	0,275	0,00063	0,00802	<b>421,20</b>	<b>0,00864</b>	MHB	<b>MHB</b>
5-S3	Min	5-S3H2	-418,817	-0,00006	0,275	0,00023	0,00802	<b>418,82</b>	<b>0,00825</b>	MHB	<b>MHB</b>
5-S4	Min	5-S4H2	-421,482	-0,00010	0,275	0,00035	0,00802	<b>421,48</b>	<b>0,00837</b>	MHB	<b>MHB</b>
5-S17	Min	5-S17H2	-421,198	-0,00017	0,275	0,00063	0,00802	<b>421,20</b>	<b>0,00864</b>	MHB	<b>MHB</b>
5-S18	Min	5-S18H2	-418,817	-0,00006	0,275	0,00023	0,00802	<b>418,82</b>	<b>0,00825</b>	MHB	<b>MHB</b>
5-S19	Min	5-S19H2	-421,482	-0,00010	0,275	0,00035	0,00802	<b>421,48</b>	<b>0,00837</b>	MHB	<b>MHB</b>

Tablo C.12. 7düzce-y-z-kolon hasar sonuçları

KOLON	StepType	MAFSAL	P	$\theta_p$	Lp	$\Phi_p$	$\Phi_y$	P	$\Phi_t$	HASAR	KESİT HASAR
	Text		KN	Radians	m	1/m	1/m	KN	1/m	BÖLGESİ	
1-S1	Max	1-S1H1	-339,925	0,02945	0,275	0,10708	0,00802	<b>339,93</b>	<b>0,11510</b>	<b>iHB</b>	<i>iHB</i>
1-S1	Max	1-S1H2	-309,675	0,00112	0,275	0,00407	0,00802	<b>309,68</b>	<b>0,01209</b>	<b>MHB</b>	
1-S2	Max	1-S2H1	-743,634	0,02772	0,275	0,10081	0,00802	<b>743,63</b>	<b>0,10883</b>	<b>iHB</b>	<i>iHB</i>
1-S2	Min	1-S2H1	-2392,05	-0,01886	0,275	0,06857	0,00802	<b>2392,05</b>	<b>0,07659</b>	<b>iHB</b>	
1-S3	Max	1-S3H1	-734,023	0,02214	0,275	0,08050	0,00802	<b>734,02</b>	<b>0,08852</b>	<b>BHB</b>	<i>iHB</i>
1-S3	Min	1-S3H1	-2393,56	-0,01885	0,275	0,06856	0,00802	<b>2393,56</b>	<b>0,07658</b>	<b>iHB</b>	
1-S4	Max	1-S4H1	-743,634	0,02010	0,275	0,07308	0,00802	<b>743,63</b>	<b>0,08109</b>	<b>BHB</b>	<i>BHB</i>
1-S4	Max	1-S4H2	-713,384	0,00012	0,275	0,00043	0,00802	<b>713,38</b>	<b>0,00844</b>	<b>MHB</b>	
1-S5	Max	1-S5H2	-376,239	0,00200	0,275	0,00729	0,00802	<b>376,24</b>	<b>0,01531</b>	<b>MHB</b>	GB
1-S5	Min	1-S5H1	-1793,24	-0,04429	0,275	0,16105	0,00802	<b>1793,24</b>	<b>0,16907</b>	<b>GB</b>	
1-S6	Max	1-S6H2	-840,658	0,00067	0,275	0,00243	0,00802	<b>840,66</b>	<b>0,01044</b>	<b>MHB</b>	<i>iHB</i>
1-S6	Min	1-S6H1	-2357,13	-0,01844	0,275	0,06707	0,00802	<b>2357,13</b>	<b>0,07509</b>	<b>iHB</b>	
1-S7	Max	1-S7H1	-1245,91	0,04127	0,275	0,15006	0,00802	<b>1245,91</b>	<b>0,15808</b>	<b>GB</b>	GB
1-S7	Max	1-S7H2	-1215,66	0,00080	0,275	0,00291	0,00802	<b>1215,66</b>	<b>0,01092</b>	<b>MHB</b>	
1-S8	Max	1-S8H2	-1206,89	0,00135	0,275	0,00491	0,00802	<b>1206,89</b>	<b>0,01293</b>	<b>MHB</b>	GB
1-S8	Min	1-S8H1	-3519,33	-0,01834	0,275	0,06669	0,00802	<b>3519,33</b>	<b>0,07471</b>	<b>GB</b>	
1-S9	Max	1-S9H2	-1215,66	0,00223	0,275	0,00812	0,00802	<b>1215,66</b>	<b>0,01613</b>	<b>MHB</b>	GB
1-S9	Min	1-S9H1	-3518,51	-0,01832	0,275	0,06662	0,00802	<b>3518,51</b>	<b>0,07464</b>	<b>GB</b>	
1-S10	Max	1-S10H2	-840,658	0,00392	0,275	0,01425	0,00802	<b>840,66</b>	<b>0,02227</b>	<b>MHB</b>	GB
1-S10	Min	1-S10H1	-2357,13	-0,06555	0,275	0,23836	0,00802	<b>2357,13</b>	<b>0,24638</b>	<b>GB</b>	
1-S11	Max	1-S11H2	-842,685	0,00019	0,275	0,00069	0,00802	<b>842,69</b>	<b>0,00871</b>	<b>MHB</b>	<i>iHB</i>
1-S11	Min	1-S11H1	-2357,41	-0,01855	0,275	0,06747	0,00802	<b>2357,41</b>	<b>0,07549</b>	<b>iHB</b>	
1-S12	Max	1-S12H1	-1248	0,02097	0,275	0,07625	0,00802	<b>1248,00</b>	<b>0,08427</b>	<b>BHB</b>	<i>BHB</i>
1-S12	Max	1-S12H2	-1217,75	0,00048	0,275	0,00174	0,00802	<b>1217,75</b>	<b>0,00976</b>	<b>MHB</b>	
1-S13	Max	1-S13H2	-1208,99	0,00091	0,275	0,00332	0,00802	<b>1208,99</b>	<b>0,01134</b>	<b>MHB</b>	GB
1-S13	Min	1-S13H1	-3519,5	-0,01821	0,275	0,06621	0,00802	<b>3519,50</b>	<b>0,07423</b>	<b>GB</b>	
1-S14	Max	1-S14H2	-1217,75	0,00147	0,275	0,00536	0,00802	<b>1217,75</b>	<b>0,01338</b>	<b>MHB</b>	GB
1-S14	Min	1-S14H1	-3518,68	-0,01835	0,275	0,06671	0,00802	<b>3518,68</b>	<b>0,07473</b>	<b>GB</b>	
1-S15	Max	1-S15H2	-842,685	0,00368	0,275	0,01337	0,00802	<b>842,69</b>	<b>0,02139</b>	<b>MHB</b>	GB
1-S15	Min	1-S15H1	-2357,41	-0,02160	0,275	0,07855	0,00802	<b>2357,41</b>	<b>0,08657</b>	<b>GB</b>	
1-S16	Max	1-S16H2	-283,057	0,00060	0,275	0,00217	0,00802	<b>283,06</b>	<b>0,01019</b>	<b>MHB</b>	<i>iHB</i>
1-S16	Min	1-S16H1	-1872,8	-0,01950	0,275	0,07090	0,00802	<b>1872,80</b>	<b>0,07892</b>	<b>iHB</b>	
1-S17	Max	1-S17H2	-754,273	0,00048	0,275	0,00173	0,00802	<b>754,27</b>	<b>0,00975</b>	<b>MHB</b>	<i>iHB</i>
1-S17	Min	1-S17H1	-2438,45	-0,01844	0,275	0,06706	0,00802	<b>2438,45</b>	<b>0,07508</b>	<b>iHB</b>	
1-S18	Max	1-S18H2	-757,823	0,00114	0,275	0,00413	0,00802	<b>757,82</b>	<b>0,01215</b>	<b>MHB</b>	<i>iHB</i>
1-S18	Min	1-S18H1	-2480,6	-0,01864	0,275	0,06779	0,00802	<b>2480,60</b>	<b>0,07580</b>	<b>iHB</b>	
1-S19	Max	1-S19H2	-741,015	0,00225	0,275	0,00820	0,00802	<b>741,02</b>	<b>0,01621</b>	<b>MHB</b>	GB
1-S19	Min	1-S19H1	-2421,99	-0,04708	0,275	0,17119	0,00802	<b>2421,99</b>	<b>0,17921</b>	<b>GB</b>	
1-S20	Max	1-S20H2	-280,242	0,00331	0,275	0,01204	0,00802	<b>280,24</b>	<b>0,02005</b>	<b>MHB</b>	<i>iHB</i>
1-S20	Min	1-S20H1	-1876,08	-0,01950	0,275	0,07090	0,00802	<b>1876,08</b>	<b>0,07892</b>	<b>iHB</b>	
2-S1	Max	2-S1H2	-346,646	0,00131	0,275	0,00476	0,00802	<b>346,65</b>	<b>0,01277</b>	<b>MHB</b>	<i>MHB</i>
2-S1	Min	2-S1H1	-1339,76	-0,00114	0,275	0,00414	0,00802	<b>1339,76</b>	<b>0,01216</b>	<b>MHB</b>	
2-S2	Max	2-S2H2	-565,239	0,00099	0,275	0,00359	0,00802	<b>565,24</b>	<b>0,01161</b>	<b>MHB</b>	<i>MHB</i>
2-S2	Min	2-S2H1	-1854,45	-0,00025	0,275	0,00090	0,00802	<b>1854,45</b>	<b>0,00892</b>	<b>MHB</b>	
2-S3	Max	2-S3H2	-557,454	0,00097	0,275	0,00351	0,00802	<b>557,45</b>	<b>0,01153</b>	<b>MHB</b>	<i>MHB</i>
2-S4	Max	2-S4H2	-565,239	0,00099	0,275	0,00361	0,00802	<b>565,24</b>	<b>0,01163</b>	<b>MHB</b>	
2-S5	Max	2-S5H1	-375,936	0,00047	0,275	0,00171	0,00802	<b>375,94</b>	<b>0,00972</b>	<b>MHB</b>	<i>MHB</i>
2-S5	Max	2-S5H2	-353,248	0,00134	0,275	0,00485	0,00802	<b>353,25</b>	<b>0,01287</b>	<b>MHB</b>	
2-S6	Max	2-S6H2	-647,413	0,00368	0,275	0,01339	0,00802	<b>647,41</b>	<b>0,02141</b>	<b>MHB</b>	<i>MHB</i>
2-S6	Min	2-S6H1	-1898,66	-0,00137	0,275	0,00498	0,00802	<b>1898,66</b>	<b>0,01300</b>	<b>MHB</b>	
2-S7	Max	2-S7H2	-920,802	0,00257	0,275	0,00933	0,00802	<b>920,80</b>	<b>0,01735</b>	<b>MHB</b>	<i>MHB</i>
2-S8	Max	2-S8H2	-914,39	0,00254	0,275	0,00923	0,00802	<b>914,39</b>	<b>0,01725</b>	<b>MHB</b>	
2-S8	Min	2-S8H2	-2830,38	-0,00090	0,275	0,00327	0,00802	<b>2830,38</b>	<b>0,01128</b>	<b>MHB</b>	<i>MHB</i>
2-S9	Max	2-S9H2	-920,802	0,00257	0,275	0,00935	0,00802	<b>920,80</b>	<b>0,01737</b>	<b>MHB</b>	
2-S10	Max	2-S10H1	-670,101	0,00194	0,275	0,00707	0,00802	<b>670,10</b>	<b>0,01509</b>	<b>MHB</b>	<i>MHB</i>
2-S10	Max	2-S10H2	-647,413	0,00371	0,275	0,01349	0,00802	<b>647,41</b>	<b>0,02151</b>	<b>MHB</b>	
2-S11	Max	2-S11H1	-671,608	0,00057	0,275	0,00208	0,00802	<b>671,61</b>	<b>0,01009</b>	<b>MHB</b>	<i>MHB</i>
2-S11	Max	2-S11H2	-648,92	0,00367	0,275	0,01336	0,00802	<b>648,92</b>	<b>0,02137</b>	<b>MHB</b>	

Tablo C.12.(Devam) 7düzce-y-z-kolon hasar sonuçları

2-S12	Max	2-S12H2	-922,344	0,00254	0,275	0,00922	0,00802	<b>922,34</b>	<b>0,01724</b>	MHB	MHB
2-S13	Max	2-S13H2	-915,939	0,00250	0,275	0,00910	0,00802	<b>915,94</b>	<b>0,01712</b>	MHB	MHB
2-S13	Min	2-S13H2	-2824,84	-0,00088	0,275	0,00319	0,00802	<b>2824,84</b>	<b>0,01120</b>	MHB	
2-S14	Max	2-S14H2	-922,344	0,00255	0,275	0,00926	0,00802	<b>922,34</b>	<b>0,01728</b>	MHB	MHB
2-S15	Max	2-S15H1	-671,608	0,00023	0,275	0,00084	0,00802	<b>671,61</b>	<b>0,00886</b>	MHB	MHB
2-S15	Max	2-S15H2	-648,92	0,00366	0,275	0,01331	0,00802	<b>648,92</b>	<b>0,02132</b>	MHB	
2-S16	Max	2-S16H2	-343,756	0,00108	0,275	0,00392	0,00802	<b>343,76</b>	<b>0,01193</b>	MHB	MHB
2-S17	Max	2-S17H2	-590,104	0,00070	0,275	0,00253	0,00802	<b>590,10</b>	<b>0,01055</b>	MHB	MHB
2-S18	Max	2-S18H2	-581,835	0,00071	0,275	0,00259	0,00802	<b>581,84</b>	<b>0,01061</b>	MHB	MHB
2-S19	Max	2-S19H2	-590,104	0,00070	0,275	0,00253	0,00802	<b>590,10</b>	<b>0,01055</b>	MHB	MHB
2-S20	Max	2-S20H2	-343,757	0,00108	0,275	0,00392	0,00802	<b>343,76</b>	<b>0,01194</b>	MHB	MHB
3-S1	Max	3-S1H2	-267,74	0,00212	0,275	0,00770	0,00802	<b>267,74</b>	<b>0,01572</b>	MHB	MHB
3-S1	Min	3-S1H1	-983,952	-0,00116	0,275	0,00420	0,00802	<b>983,95</b>	<b>0,01222</b>	MHB	
3-S2	Max	3-S2H2	-421,753	0,00296	0,275	0,01076	0,00802	<b>421,75</b>	<b>0,01878</b>	MHB	MHB
3-S2	Min	3-S2H1	-1383,04	-0,00134	0,275	0,00488	0,00802	<b>1383,04</b>	<b>0,01289</b>	MHB	
3-S3	Max	3-S3H2	-415,361	0,00332	0,275	0,01208	0,00802	<b>415,36</b>	<b>0,02009</b>	MHB	MHB
3-S3	Min	3-S3H1	-1384,38	-0,00162	0,275	0,00589	0,00802	<b>1384,38</b>	<b>0,01391</b>	MHB	
3-S4	Max	3-S4H2	-421,753	0,00353	0,275	0,01283	0,00802	<b>421,75</b>	<b>0,02085</b>	MHB	MHB
3-S4	Min	3-S4H1	-1383,04	-0,00178	0,275	0,00648	0,00802	<b>1383,04</b>	<b>0,01450</b>	MHB	
3-S5	Max	3-S5H2	-267,74	0,00404	0,275	0,01469	0,00802	<b>267,74</b>	<b>0,02271</b>	BHB	BHB
3-S5	Min	3-S5H1	-983,957	-0,00131	0,275	0,00477	0,00802	<b>983,96</b>	<b>0,01279</b>	MHB	
3-S6	Min	3-S6H1	-1434,58	-0,00045	0,275	0,00164	0,00802	<b>1434,58</b>	<b>0,00966</b>	MHB	GB
3-S6	Min	3-S6H2	-1411,89	-0,03603	0,275	0,13101	0,00802	<b>1411,89</b>	<b>0,13903</b>	GB	
3-S7	Max	3-S7H2	-659,738	0,00191	0,275	0,00693	0,00802	<b>659,74</b>	<b>0,01495</b>	MHB	BHB
3-S7	Min	3-S7H2	-2145,4	-0,00554	0,275	0,02016	0,00802	<b>2145,40</b>	<b>0,02818</b>	BHB	
3-S8	Max	3-S8H2	-652,014	0,00188	0,275	0,00682	0,00802	<b>652,01</b>	<b>0,01484</b>	MHB	BHB
3-S8	Min	3-S8H2	-2148,46	-0,00752	0,275	0,02733	0,00802	<b>2148,46</b>	<b>0,03535</b>	BHB	
3-S9	Max	3-S9H2	-659,738	0,00194	0,275	0,00706	0,00802	<b>659,74</b>	<b>0,01508</b>	MHB	BHB
3-S9	Min	3-S9H2	-2145,4	-0,00492	0,275	0,01790	0,00802	<b>2145,40</b>	<b>0,02592</b>	BHB	
3-S10	Min	3-S10H1	-1434,58	-0,00073	0,275	0,00264	0,00802	<b>1434,58</b>	<b>0,01066</b>	MHB	GB
3-S10	Min	3-S10H2	-1411,89	-0,03175	0,275	0,11544	0,00802	<b>1411,89</b>	<b>0,12346</b>	GB	
3-S11	Min	3-S11H1	-1435,43	-0,00121	0,275	0,00441	0,00802	<b>1435,43</b>	<b>0,01243</b>	MHB	BHB
3-S11	Min	3-S11H2	-1412,74	-0,01748	0,275	0,06356	0,00802	<b>1412,74</b>	<b>0,07157</b>	BHB	
3-S12	Min	3-S12H1	-2160,5	-0,00066	0,275	0,00239	0,00802	<b>2160,50</b>	<b>0,01041</b>	MHB	BHB
3-S12	Min	3-S12H2	-2137,81	-0,00572	0,275	0,02079	0,00802	<b>2137,81</b>	<b>0,02881</b>	BHB	
3-S13	Max	3-S13H2	-652,63	0,00186	0,275	0,00675	0,00802	<b>652,63</b>	<b>0,01477</b>	MHB	iHB
3-S13	Min	3-S13H2	-2140,82	-0,02049	0,275	0,07449	0,00802	<b>2140,82</b>	<b>0,08251</b>	iHB	
3-S14	Max	3-S14H2	-660,376	0,00189	0,275	0,00687	0,00802	<b>660,38</b>	<b>0,01489</b>	MHB	BHB
3-S14	Min	3-S14H2	-2137,81	-0,00711	0,275	0,02585	0,00802	<b>2137,81</b>	<b>0,03387</b>	BHB	
3-S15	Min	3-S15H1	-1435,43	-0,00033	0,275	0,00121	0,00802	<b>1435,43</b>	<b>0,00923</b>	MHB	GB
3-S15	Min	3-S15H2	-1412,74	-0,03069	0,275	0,11159	0,00802	<b>1412,74</b>	<b>0,11960</b>	GB	
3-S16	Max	3-S16H2	-268,673	0,00149	0,275	0,00542	0,00802	<b>268,67</b>	<b>0,01344</b>	MHB	MHB
3-S16	Min	3-S16H1	-1016,36	-0,00085	0,275	0,00308	0,00802	<b>1016,36</b>	<b>0,01109</b>	MHB	
3-S17	Min	3-S17H1	-1397,8	-0,00167	0,275	0,00607	0,00802	<b>1397,80</b>	<b>0,01408</b>	MHB	MHB
3-S17	Min	3-S17H2	-1375,11	-0,00185	0,275	0,00673	0,00802	<b>1375,11</b>	<b>0,01475</b>	MHB	
3-S18	Min	3-S18H1	-1414,06	-0,00171	0,275	0,00621	0,00802	<b>1414,06</b>	<b>0,01423</b>	MHB	MHB
3-S18	Min	3-S18H2	-1391,37	-0,00187	0,275	0,00681	0,00802	<b>1391,37</b>	<b>0,01483</b>	MHB	
3-S19	Min	3-S19H1	-1395,61	-0,00219	0,275	0,00795	0,00802	<b>1395,61</b>	<b>0,01597</b>	MHB	MHB
3-S19	Min	3-S19H2	-1372,92	-0,00194	0,275	0,00707	0,00802	<b>1372,92</b>	<b>0,01509</b>	MHB	
3-S20	Min	3-S20H1	-1003,22	-0,00114	0,275	0,00416	0,00802	<b>1003,22</b>	<b>0,01218</b>	MHB	MHB
3-S20	Min	3-S20H2	-980,531	-0,00147	0,275	0,00535	0,00802	<b>980,53</b>	<b>0,01337</b>	MHB	
4-S6	Min	4-S6H1	-959,925	-0,00971	0,275	0,03532	0,00802	<b>959,93</b>	<b>0,04333</b>	BHB	BHB
4-S6	Min	4-S6H2	-937,237	-0,00046	0,275	0,00167	0,00802	<b>937,24</b>	<b>0,00969</b>	MHB	
4-S7	Min	4-S7H1	-1460,43	-0,00300	0,275	0,01089	0,00802	<b>1460,43</b>	<b>0,01891</b>	MHB	MHB
4-S7	Min	4-S7H2	-1437,74	-0,00038	0,275	0,00138	0,00802	<b>1437,74</b>	<b>0,00940</b>	MHB	
4-S8	Min	4-S8H1	-1461,75	-0,00277	0,275	0,01007	0,00802	<b>1461,75</b>	<b>0,01808</b>	MHB	MHB
4-S8	Min	4-S8H2	-1439,06	-0,00036	0,275	0,00132	0,00802	<b>1439,06</b>	<b>0,00934</b>	MHB	
4-S9	Min	4-S9H1	-1460,43	-0,00263	0,275	0,00957	0,00802	<b>1460,43</b>	<b>0,01759</b>	MHB	MHB
4-S9	Min	4-S9H2	-1437,74	-0,00050	0,275	0,00182	0,00802	<b>1437,74</b>	<b>0,00984</b>	MHB	

Tablo C.12.(Devam) 7düzce-y-z-kolon hasar sonuçları

4-S10	Min	4-S10H1	-959,925	-0,00671	0,275	0,02439	0,00802	<b>959,93</b>	<b>0,03240</b>	<b>BHB</b>	<b>BHB</b>
4-S10	Min	4-S10H2	-937,237	-0,00064	0,275	0,00233	0,00802	<b>937,24</b>	<b>0,01035</b>	<b>MHB</b>	
4-S11	Min	4-S11H1	-960,481	-0,00197	0,275	0,00715	0,00802	<b>960,48</b>	<b>0,01517</b>	<b>MHB</b>	<b>MHB</b>
4-S11	Min	4-S11H2	-937,794	-0,00053	0,275	0,00192	0,00802	<b>937,79</b>	<b>0,00993</b>	<b>MHB</b>	
4-S12	Max	4-S12H2	-421,176	0,00073	0,275	0,00265	0,00802	<b>421,18</b>	<b>0,01067</b>	<b>MHB</b>	<b>MHB</b>
4-S12	Min	4-S12H1	-1455,73	-0,00184	0,275	0,00668	0,00802	<b>1455,73</b>	<b>0,01470</b>	<b>MHB</b>	
4-S13	Min	4-S13H1	-1457,07	-0,00398	0,275	0,01448	0,00802	<b>1457,07</b>	<b>0,02250</b>	<b>BHB</b>	<b>BHB</b>
4-S13	Min	4-S13H2	-1434,38	-0,00040	0,275	0,00146	0,00802	<b>1434,38</b>	<b>0,00948</b>	<b>MHB</b>	
4-S14	Max	4-S14H2	-421,176	0,00103	0,275	0,00375	0,00802	<b>421,18</b>	<b>0,01177</b>	<b>MHB</b>	<b>MHB</b>
4-S14	Min	4-S14H1	-1455,73	-0,00293	0,275	0,01066	0,00802	<b>1455,73</b>	<b>0,01868</b>	<b>MHB</b>	
4-S15	Min	4-S15H1	-960,481	-0,00423	0,275	0,01536	0,00802	<b>960,48</b>	<b>0,02338</b>	<b>MHB</b>	<b>MHB</b>
4-S15	Min	4-S15H2	-937,794	-0,00066	0,275	0,00240	0,00802	<b>937,79</b>	<b>0,01042</b>	<b>MHB</b>	
5-S2	Max	5-S2H2	-130,774	0,00001	0,275	0,00002	0,00802	<b>130,77</b>	<b>0,00804</b>	<b>MHB</b>	<b>MHB</b>
5-S3	Max	5-S3H2	-126,178	0,00002	0,275	0,00007	0,00802	<b>126,18</b>	<b>0,00808</b>	<b>MHB</b>	<b>MHB</b>
5-S4	Max	5-S4H2	-130,774	0,00001	0,275	0,00002	0,00802	<b>130,77</b>	<b>0,00804</b>	<b>MHB</b>	<b>MHB</b>
5-S6	Min	5-S6H2	-509,488	-0,00128	0,275	0,00466	0,00802	<b>509,49</b>	<b>0,01268</b>	<b>MHB</b>	<b>MHB</b>
5-S7	Min	5-S7H2	-714,641	-0,00012	0,275	0,00042	0,00802	<b>714,64</b>	<b>0,00844</b>	<b>MHB</b>	<b>MHB</b>
5-S8	Min	5-S8H2	-713,034	-0,00008	0,275	0,00028	0,00802	<b>713,03</b>	<b>0,00830</b>	<b>MHB</b>	<b>MHB</b>
5-S9	Min	5-S9H2	-714,641	-0,00007	0,275	0,00025	0,00802	<b>714,64</b>	<b>0,00827</b>	<b>MHB</b>	<b>MHB</b>
5-S10	Min	5-S10H2	-474,572	-0,00098	0,275	0,00356	0,00802	<b>474,57</b>	<b>0,01158</b>	<b>MHB</b>	<b>MHB</b>
5-S11	Min	5-S11H2	-470,451	-0,00089	0,275	0,00325	0,00802	<b>470,45</b>	<b>0,01127</b>	<b>MHB</b>	<b>MHB</b>
5-S15	Min	5-S15H2	-456,543	-0,00071	0,275	0,00259	0,00802	<b>456,54</b>	<b>0,01060</b>	<b>MHB</b>	<b>MHB</b>
5-S16	Min	5-S16H2	-327,579	-0,00064	0,275	0,00232	0,00802	<b>327,58</b>	<b>0,01034</b>	<b>MHB</b>	<b>MHB</b>
5-S17	Min	5-S17H2	-454,486	-0,00074	0,275	0,00268	0,00802	<b>454,49</b>	<b>0,01070</b>	<b>MHB</b>	<b>MHB</b>
5-S18	Min	5-S18H2	-456,924	-0,00074	0,275	0,00268	0,00802	<b>456,92</b>	<b>0,01070</b>	<b>MHB</b>	<b>MHB</b>
5-S19	Min	5-S19H2	-448,651	-0,00068	0,275	0,00249	0,00802	<b>448,65</b>	<b>0,01051</b>	<b>MHB</b>	<b>MHB</b>
5-S20	Min	5-S20H2	-310,567	-0,00050	0,275	0,00181	0,00802	<b>310,57</b>	<b>0,00983</b>	<b>MHB</b>	<b>MHB</b>

Tablo C.13. 11sakarya-x-kolon hasar sonuçları

KOLON	StepType	MAFSAL	P	$\theta_p$	Lp	$\Phi_p$	$\Phi_y$	P	$\Phi_t$	HASAR	KESİT HASAR
	Text		KN	Radians	m	1/m	1/m	KN	1/m	BÖLGESİ	
1-S1	Max	1-S1H1	-465,225	0,10377	0,275	0,37735	0,00802	<b>465,23</b>	<b>0,38536</b>	<b>GB</b>	GB
1-S1	Min	1-S1H1	-1465,77	-0,00104	0,275	0,00377	0,00802	<b>1465,77</b>	<b>0,01179</b>	<b>MHB</b>	
1-S2	Max	1-S2H1	-1359,79	0,05387	0,275	0,19590	0,00802	<b>1359,79</b>	<b>0,20392</b>	<b>GB</b>	GB
1-S2	Max	1-S2H2	-1329,54	0,00098	0,275	0,00355	0,00802	<b>1329,54</b>	<b>0,01157</b>	<b>MHB</b>	
1-S3	Max	1-S3H1	-1306,77	0,17973	0,275	0,65357	0,00802	<b>1306,77</b>	<b>0,66159</b>	<b>GB</b>	GB
1-S3	Min	1-S3H1	-1796,64	-0,00094	0,275	0,00341	0,00802	<b>1796,64</b>	<b>0,01143</b>	<b>MHB</b>	
1-S4	Max	1-S4H1	-1365,59	0,06603	0,275	0,24012	0,00802	<b>1365,59</b>	<b>0,24814</b>	<b>GB</b>	GB
1-S4	Max	1-S4H2	-1335,34	0,00139	0,275	0,00505	0,00802	<b>1335,34</b>	<b>0,01307</b>	<b>MHB</b>	
1-S5	Max	1-S5H2	-517,602	0,00063	0,275	0,00228	0,00802	<b>517,60</b>	<b>0,01030</b>	<b>MHB</b>	GB
1-S5	Min	1-S5H1	-1483,73	-0,16496	0,275	0,59984	0,00802	<b>1483,73</b>	<b>0,60786</b>	<b>GB</b>	
1-S6	Max	1-S6H1	-1150,45	0,02311	0,275	0,08403	0,00802	<b>1150,45</b>	<b>0,09205</b>	<b>BHB</b>	BHB
1-S6	Max	1-S6H2	-1120,2	0,00003	0,275	0,00011	0,00802	<b>1120,20</b>	<b>0,00813</b>	<b>MHB</b>	
1-S7	Max	1-S7H1	-2424,39	0,01203	0,275	0,04376	0,00802	<b>2424,39</b>	<b>0,05177</b>	<b>BHB</b>	BHB
1-S7	Min	1-S7H1	-2586,23	-0,00214	0,275	0,00779	0,00802	<b>2586,23</b>	<b>0,01581</b>	<b>MHB</b>	
1-S8	Max	1-S8H1	-2437,23	0,01203	0,275	0,04374	0,00802	<b>2437,23</b>	<b>0,05176</b>	<b>BHB</b>	BHB
1-S8	Min	1-S8H1	-2569,61	-0,00217	0,275	0,00788	0,00802	<b>2569,61</b>	<b>0,01590</b>	<b>MHB</b>	
1-S9	Max	1-S9H1	-2423,13	0,01203	0,275	0,04376	0,00802	<b>2423,13</b>	<b>0,05178</b>	<b>BHB</b>	BHB
1-S9	Min	1-S9H1	-2584,13	-0,00215	0,275	0,00783	0,00802	<b>2584,13</b>	<b>0,01585</b>	<b>MHB</b>	
1-S10	Max	1-S10H1	-1194,68	0,01267	0,275	0,04606	0,00802	<b>1194,68</b>	<b>0,05408</b>	<b>BHB</b>	GB
1-S10	Min	1-S10H1	-2236,74	-0,09973	0,275	0,36265	0,00802	<b>2236,74</b>	<b>0,37067</b>	<b>GB</b>	
1-S11	Max	1-S11H1	-1150,45	0,02311	0,275	0,08403	0,00802	<b>1150,45</b>	<b>0,09204</b>	<b>BHB</b>	BHB
1-S11	Max	1-S11H2	-1120,2	0,00003	0,275	0,00011	0,00802	<b>1120,20</b>	<b>0,00813</b>	<b>MHB</b>	
1-S12	Max	1-S12H1	-2424,39	0,01203	0,275	0,04376	0,00802	<b>2424,39</b>	<b>0,05177</b>	<b>BHB</b>	BHB
1-S12	Min	1-S12H1	-2586,23	-0,00214	0,275	0,00779	0,00802	<b>2586,23</b>	<b>0,01581</b>	<b>MHB</b>	
1-S13	Max	1-S13H1	-2437,23	0,01203	0,275	0,04374	0,00802	<b>2437,23</b>	<b>0,05176</b>	<b>BHB</b>	BHB
1-S13	Min	1-S13H1	-2569,61	-0,00217	0,275	0,00788	0,00802	<b>2569,61</b>	<b>0,01590</b>	<b>MHB</b>	
1-S14	Max	1-S14H1	-2423,13	0,01203	0,275	0,04376	0,00802	<b>2423,13</b>	<b>0,05178</b>	<b>BHB</b>	BHB
1-S14	Min	1-S14H1	-2584,13	-0,00215	0,275	0,00783	0,00802	<b>2584,13</b>	<b>0,01585</b>	<b>MHB</b>	
1-S15	Max	1-S15H1	-1194,68	0,01267	0,275	0,04606	0,00802	<b>1194,68</b>	<b>0,05408</b>	<b>BHB</b>	GB
1-S15	Min	1-S15H1	-2236,74	-0,09974	0,275	0,36268	0,00802	<b>2236,74</b>	<b>0,37070</b>	<b>GB</b>	
1-S16	Max	1-S16H1	-465,226	0,10384	0,275	0,37759	0,00802	<b>465,23</b>	<b>0,38561</b>	<b>GB</b>	GB
1-S16	Min	1-S16H1	-1465,77	-0,00104	0,275	0,00377	0,00802	<b>1465,77</b>	<b>0,01179</b>	<b>MHB</b>	
1-S17	Max	1-S17H1	-1359,79	0,05387	0,275	0,19590	0,00802	<b>1359,79</b>	<b>0,20392</b>	<b>GB</b>	GB
1-S17	Max	1-S17H2	-1329,54	0,00098	0,275	0,00355	0,00802	<b>1329,54</b>	<b>0,01157</b>	<b>MHB</b>	
1-S18	Max	1-S18H1	-1306,77	0,17974	0,275	0,65359	0,00802	<b>1306,77</b>	<b>0,66161</b>	<b>GB</b>	GB
1-S18	Min	1-S18H1	-1796,64	-0,00094	0,275	0,00341	0,00802	<b>1796,64</b>	<b>0,01143</b>	<b>MHB</b>	
1-S19	Max	1-S19H1	-1365,59	0,06603	0,275	0,24012	0,00802	<b>1365,59</b>	<b>0,24813</b>	<b>GB</b>	GB
1-S19	Max	1-S19H2	-1335,34	0,00139	0,275	0,00505	0,00802	<b>1335,34</b>	<b>0,01307</b>	<b>MHB</b>	
1-S20	Max	1-S20H2	-517,601	0,00063	0,275	0,00228	0,00802	<b>517,60</b>	<b>0,01030</b>	<b>MHB</b>	GB
1-S20	Min	1-S20H1	-1483,73	-0,16497	0,275	0,59987	0,00802	<b>1483,73</b>	<b>0,60789</b>	<b>GB</b>	
2-S2	Min	2-S2H1	-1320,05	-0,00066	0,275	0,00241	0,00802	<b>1320,05</b>	<b>0,01043</b>	<b>MHB</b>	MHB
2-S2	Min	2-S2H2	-1297,36	-0,00175	0,275	0,00638	0,00802	<b>1297,36</b>	<b>0,01440</b>	<b>MHB</b>	
2-S3	Min	2-S3H1	-1309	-0,00189	0,275	0,00689	0,00802	<b>1309,00</b>	<b>0,01491</b>	<b>MHB</b>	MHB
2-S3	Min	2-S3H2	-1286,31	-0,00173	0,275	0,00630	0,00802	<b>1286,31</b>	<b>0,01432</b>	<b>MHB</b>	
2-S4	Min	2-S4H2	-1299,82	-0,00173	0,275	0,00629	0,00802	<b>1299,82</b>	<b>0,01431</b>	<b>MHB</b>	MHB
2-S5	Max	2-S5H1	-508,813	0,00080	0,275	0,00289	0,00802	<b>508,81</b>	<b>0,01091</b>	<b>MHB</b>	
2-S5	Min	2-S5H2	-1161,61	-0,00022	0,275	0,00080	0,00802	<b>1161,61</b>	<b>0,00882</b>	<b>MHB</b>	MHB
2-S7	Min	2-S7H2	-1987,14	-0,00007	0,275	0,00026	0,00802	<b>1987,14</b>	<b>0,00828</b>	<b>MHB</b>	
2-S8	Min	2-S8H2	-1966,36	-0,00006	0,275	0,00021	0,00802	<b>1966,36</b>	<b>0,00823</b>	<b>MHB</b>	MHB
2-S9	Min	2-S9H2	-1987,69	-0,00007	0,275	0,00027	0,00802	<b>1987,69</b>	<b>0,00829</b>	<b>MHB</b>	
2-S12	Min	2-S12H2	-1987,14	-0,00007	0,275	0,00026	0,00802	<b>1987,14</b>	<b>0,00828</b>	<b>MHB</b>	MHB
2-S13	Min	2-S13H2	-1966,36	-0,00006	0,275	0,00021	0,00802	<b>1966,36</b>	<b>0,00823</b>	<b>MHB</b>	
2-S14	Min	2-S14H2	-1987,69	-0,00007	0,275	0,00027	0,00802	<b>1987,69</b>	<b>0,00829</b>	<b>MHB</b>	MHB
2-S17	Min	2-S17H1	-1320,05	-0,00066	0,275	0,00241	0,00802	<b>1320,05</b>	<b>0,01043</b>	<b>MHB</b>	
2-S17	Min	2-S17H2	-1297,36	-0,00175	0,275	0,00638	0,00802	<b>1297,36</b>	<b>0,01440</b>	<b>MHB</b>	MHB
2-S18	Min	2-S18H1	-1309	-0,00189	0,275	0,00689	0,00802	<b>1309,00</b>	<b>0,01491</b>	<b>MHB</b>	
2-S18	Min	2-S18H2	-1286,31	-0,00173	0,275	0,00630	0,00802	<b>1286,31</b>	<b>0,01432</b>	<b>MHB</b>	

Tablo C.13.(Devam) 11sakarya-x-kolon hasar sonuçları

2-S19	Min	2-S19H2	-1299,82	-0,00173	0,275	0,00629	0,00802	<b>1299,82</b>	<b>0,01431</b>	MHB	MHB
2-S20	Max	2-S20H1	-508,813	0,00080	0,275	0,00289	0,00802	<b>508,81</b>	<b>0,01091</b>	MHB	MHB
2-S20	Min	2-S20H2	-1161,61	-0,00022	0,275	0,00080	0,00802	<b>1161,61</b>	<b>0,00882</b>	MHB	
3-S2	Min	3-S2H2	-984,743	-0,00250	0,275	0,00909	0,00802	<b>984,74</b>	<b>0,01711</b>	MHB	MHB
3-S3	Min	3-S3H2	-975,807	-0,00249	0,275	0,00907	0,00802	<b>975,81</b>	<b>0,01708</b>	MHB	MHB
3-S4	Min	3-S4H2	-981,066	-0,00243	0,275	0,00883	0,00802	<b>981,07</b>	<b>0,01685</b>	MHB	MHB
3-S7	Min	3-S7H2	-1488,1	-0,00073	0,275	0,00264	0,00802	<b>1488,10</b>	<b>0,01065</b>	MHB	MHB
3-S8	Min	3-S8H2	-1471,67	-0,00065	0,275	0,00236	0,00802	<b>1471,67</b>	<b>0,01037</b>	MHB	MHB
3-S9	Min	3-S9H2	-1481,03	-0,00073	0,275	0,00264	0,00802	<b>1481,03</b>	<b>0,01066</b>	MHB	MHB
3-S12	Min	3-S12H2	-1488,1	-0,00073	0,275	0,00264	0,00802	<b>1488,10</b>	<b>0,01065</b>	MHB	MHB
3-S13	Min	3-S13H2	-1471,67	-0,00065	0,275	0,00236	0,00802	<b>1471,67</b>	<b>0,01037</b>	MHB	MHB
3-S14	Min	3-S14H2	-1481,03	-0,00073	0,275	0,00264	0,00802	<b>1481,03</b>	<b>0,01066</b>	MHB	MHB
3-S17	Min	3-S17H2	-984,743	-0,00250	0,275	0,00909	0,00802	<b>984,74</b>	<b>0,01711</b>	MHB	MHB
3-S18	Min	3-S18H2	-975,807	-0,00249	0,275	0,00907	0,00802	<b>975,81</b>	<b>0,01708</b>	MHB	MHB
3-S19	Min	3-S19H2	-981,065	-0,00243	0,275	0,00883	0,00802	<b>981,07</b>	<b>0,01685</b>	MHB	MHB
4-S8	Min	4-S8H2	-971,467	-0,00006	0,275	0,00021	0,00802	<b>971,47</b>	<b>0,00823</b>	MHB	MHB
4-S9	Min	4-S9H2	-977,243	-0,00007	0,275	0,00027	0,00802	<b>977,24</b>	<b>0,00828</b>	MHB	MHB
4-S13	Min	4-S13H2	-971,467	-0,00006	0,275	0,00021	0,00802	<b>971,47</b>	<b>0,00823</b>	MHB	MHB
4-S14	Min	4-S14H2	-977,243	-0,00007	0,275	0,00027	0,00802	<b>977,24</b>	<b>0,00828</b>	MHB	MHB

Tablo C.14. 11sakarya-y-kolon hasar sonuçları

KOLON	StepType	MAFSAL	P	$\theta_p$	Lp	$\Phi_p$	$\Phi_y$	P	$\Phi_t$	HASAR	KESİT HASAR
	Text		KN	Radians	m	1/m	1/m	KN	1/m	BÖLGESİ	
1-S1	Max	1-S1H1	-632,181	0,03131	0,275	0,11384	0,00802	<b>632,18</b>	<b>0,12186</b>	iHB	iHB
1-S1	Min	1-S1H1	-1438,75	-0,00119	0,275	0,00432	0,00802	<b>1438,75</b>	<b>0,01234</b>	MHB	
1-S2	Max	1-S2H1	-1025,95	0,01048	0,275	0,03810	0,00802	<b>1025,95</b>	<b>0,04612</b>	BHB	BHB
1-S2	Min	1-S2H1	-1971,22	-0,00494	0,275	0,01797	0,00802	<b>1971,22</b>	<b>0,02599</b>	BHB	
1-S3	Max	1-S3H1	-1058,92	0,01046	0,275	0,03805	0,00802	<b>1058,92</b>	<b>0,04607</b>	BHB	BHB
1-S3	Min	1-S3H1	-1968,59	-0,00420	0,275	0,01528	0,00802	<b>1968,59</b>	<b>0,02330</b>	BHB	
1-S4	Max	1-S4H1	-1022,81	0,01048	0,275	0,03812	0,00802	<b>1022,81</b>	<b>0,04613</b>	BHB	BHB
1-S4	Min	1-S4H1	-1951,01	-0,00394	0,275	0,01431	0,00802	<b>1951,01</b>	<b>0,02233</b>	BHB	
1-S5	Max	1-S5H1	-445,876	0,02553	0,275	0,09284	0,00802	<b>445,88</b>	<b>0,10086</b>	iHB	iHB
1-S5	Min	1-S5H1	-1518,51	-0,010308	0,275	0,04755	0,00802	<b>1518,51</b>	<b>0,05557</b>	BHB	
1-S6	Max	1-S6H1	-1402,94	0,02626	0,275	0,09548	0,00802	<b>1402,94</b>	<b>0,10349</b>	iHB	iHB
1-S6	Min	1-S6H1	-1825,14	-0,00063	0,275	0,00228	0,00802	<b>1825,14</b>	<b>0,01030</b>	MHB	
1-S7	Max	1-S7H1	-2425,66	0,01317	0,275	0,04789	0,00802	<b>2425,66</b>	<b>0,05591</b>	BHB	BHB
1-S7	Min	1-S7H1	-2600,82	-0,00265	0,275	0,00964	0,00802	<b>2600,82</b>	<b>0,01766</b>	BHB	
1-S8	Max	1-S8H1	-2389,23	0,01255	0,275	0,04564	0,00802	<b>2389,23</b>	<b>0,05366</b>	BHB	BHB
1-S8	Min	1-S8H1	-2573,36	-0,00261	0,275	0,00949	0,00802	<b>2573,36</b>	<b>0,01751</b>	MHB	
1-S9	Max	1-S9H1	-2434,11	0,01269	0,275	0,04613	0,00802	<b>2434,11</b>	<b>0,05415</b>	BHB	BHB
1-S9	Min	1-S9H1	-2605,25	-0,00256	0,275	0,00929	0,00802	<b>2605,25</b>	<b>0,01731</b>	MHB	
1-S10	Max	1-S10H1	-1320,65	0,05983	0,275	0,21755	0,00802	<b>1320,65</b>	<b>0,22557</b>	GB	GB
1-S10	Min	1-S10H1	-1865,92	-0,00063	0,275	0,00228	0,00802	<b>1865,92</b>	<b>0,01030</b>	MHB	
1-S11	Max	1-S11H1	-1392,28	0,02686	0,275	0,09768	0,00802	<b>1392,28</b>	<b>0,10569</b>	iHB	iHB
1-S11	Min	1-S11H1	-1801,12	-0,00061	0,275	0,00223	0,00802	<b>1801,12</b>	<b>0,01025</b>	MHB	
1-S12	Max	1-S12H1	-2376,09	0,01328	0,275	0,04829	0,00802	<b>2376,09</b>	<b>0,05631</b>	BHB	BHB
1-S12	Min	1-S12H1	-2548,74	-0,00302	0,275	0,01096	0,00802	<b>2548,74</b>	<b>0,01898</b>	BHB	
1-S13	Max	1-S13H1	-2367,17	0,00948	0,275	0,03447	0,00802	<b>2367,17</b>	<b>0,04249</b>	BHB	iHB
1-S13	Min	1-S13H1	-2533,52	-0,01677	0,275	0,06099	0,00802	<b>2533,52</b>	<b>0,06900</b>	iHB	
1-S14	Max	1-S14H1	-2391,02	0,01148	0,275	0,04175	0,00802	<b>2391,02</b>	<b>0,04977</b>	BHB	BHB
1-S14	Min	1-S14H1	-2563,29	-0,00245	0,275	0,00890	0,00802	<b>2563,29</b>	<b>0,01692</b>	MHB	
1-S15	Max	1-S15H1	-1399,23	0,02446	0,275	0,08894	0,00802	<b>1399,23</b>	<b>0,09696</b>	iHB	iHB
1-S15	Min	1-S15H1	-1844,18	-0,01133	0,275	0,04120	0,00802	<b>1844,18</b>	<b>0,04922</b>	BHB	
1-S16	Max	1-S16H1	-554,224	0,01937	0,275	0,07045	0,00802	<b>554,22</b>	<b>0,07847</b>	BHB	BHB
1-S16	Min	1-S16H1	-1604,44	-0,00150	0,275	0,00546	0,00802	<b>1604,44</b>	<b>0,01348</b>	MHB	
1-S17	Max	1-S17H1	-1119,96	0,01013	0,275	0,03683	0,00802	<b>1119,96</b>	<b>0,04485</b>	BHB	BHB
1-S17	Min	1-S17H1	-2027,17	-0,00410	0,275	0,01491	0,00802	<b>2027,17</b>	<b>0,02292</b>	BHB	
1-S18	Max	1-S18H1	-1085,68	0,01012	0,275	0,03681	0,00802	<b>1085,68</b>	<b>0,04483</b>	BHB	BHB
1-S18	Min	1-S18H1	-2033,06	-0,00213	0,275	0,00775	0,00802	<b>2033,06</b>	<b>0,01576</b>	MHB	

Tablo C.14.(Devam) 11 sakarya-y-kolon hasar sonuçları

1-S19	Max	1-S19H1	-1115,03	0,01013	0,275	0,03684	0,00802	<b>1115,03</b>	<b>0,04485</b>	BHB	<b>BHB</b>
1-S19	Min	1-S19H1	-2027,24	-0,00352	0,275	0,01281	0,00802	<b>2027,24</b>	<b>0,02083</b>	BHB	
1-S20	Max	1-S20H1	-599,461	0,02070	0,275	0,07528	0,00802	<b>599,46</b>	<b>0,08329</b>	BHB	<b>BHB</b>
1-S20	Min	1-S20H1	-1658,03	-0,00150	0,275	0,00546	0,00802	<b>1658,03</b>	<b>0,01348</b>	MHB	
2-S6	Min	2-S6H2	-1372,53	-0,00202	0,275	0,00736	0,00802	<b>1372,53</b>	<b>0,01537</b>	MHB	<b>MHB</b>
2-S7	Min	2-S7H2	-1977,74	-0,00072	0,275	0,00261	0,00802	<b>1977,74</b>	<b>0,01063</b>	MHB	<b>MHB</b>
2-S8	Min	2-S8H2	-1964,3	-0,00071	0,275	0,00258	0,00802	<b>1964,30</b>	<b>0,01060</b>	MHB	<b>MHB</b>
2-S9	Min	2-S9H2	-1972,35	-0,00070	0,275	0,00253	0,00802	<b>1972,35</b>	<b>0,01055</b>	MHB	<b>MHB</b>
2-S10	Min	2-S10H1	-1420,58	-0,00132	0,275	0,00481	0,00802	<b>1420,58</b>	<b>0,01283</b>	MHB	<b>MHB</b>
2-S10	Min	2-S10H2	-1397,89	-0,00210	0,275	0,00764	0,00802	<b>1397,89</b>	<b>0,01565</b>	MHB	
2-S11	Min	2-S11H2	-1377,29	-0,00207	0,275	0,00754	0,00802	<b>1377,29</b>	<b>0,01556</b>	MHB	<b>MHB</b>
2-S12	Min	2-S12H2	-1974,13	-0,00091	0,275	0,00330	0,00802	<b>1974,13</b>	<b>0,01132</b>	MHB	<b>MHB</b>
2-S13	Min	2-S13H2	-1963,58	-0,00078	0,275	0,00285	0,00802	<b>1963,58</b>	<b>0,01087</b>	MHB	<b>MHB</b>
2-S14	Min	2-S14H2	-1969,22	-0,00089	0,275	0,00325	0,00802	<b>1969,22</b>	<b>0,01127</b>	MHB	<b>MHB</b>
2-S15	Min	2-S15H2	-1381,98	-0,00198	0,275	0,00719	0,00802	<b>1381,98</b>	<b>0,01520</b>	MHB	<b>MHB</b>
2-S16	Min	2-S16H2	-1167,19	-0,00011	0,275	0,00039	0,00802	<b>1167,19</b>	<b>0,00841</b>	MHB	<b>MHB</b>
3-S6	Min	3-S6H2	-1040,97	-0,00175	0,275	0,00635	0,00802	<b>1040,97</b>	<b>0,01437</b>	MHB	<b>MHB</b>
3-S7	Min	3-S7H2	-1479,84	-0,00039	0,275	0,00142	0,00802	<b>1479,84</b>	<b>0,00944</b>	MHB	<b>MHB</b>
3-S8	Min	3-S8H2	-1473,47	-0,00044	0,275	0,00160	0,00802	<b>1473,47</b>	<b>0,00961</b>	MHB	<b>MHB</b>
3-S9	Min	3-S9H2	-1482,3	-0,00050	0,275	0,00181	0,00802	<b>1482,30</b>	<b>0,00983</b>	MHB	<b>MHB</b>
3-S10	Min	3-S10H2	-1025	-0,00180	0,275	0,00655	0,00802	<b>1025,00</b>	<b>0,01457</b>	MHB	<b>MHB</b>
3-S11	Max	3-S11H2	-903,511	0,00001	0,275	0,00003	0,00802	<b>903,51</b>	<b>0,00805</b>	MHB	<b>MHB</b>
3-S11	Min	3-S11H2	-1036,75	-0,00183	0,275	0,00664	0,00802	<b>1036,75</b>	<b>0,01466</b>	MHB	<b>MHB</b>
3-S12	Min	3-S12H2	-1474,39	-0,00053	0,275	0,00193	0,00802	<b>1474,39</b>	<b>0,00995</b>	MHB	<b>MHB</b>
3-S13	Min	3-S13H2	-1460,15	-0,00051	0,275	0,00187	0,00802	<b>1460,15</b>	<b>0,00989</b>	MHB	<b>MHB</b>
3-S14	Min	3-S14H2	-1471,72	-0,00063	0,275	0,00228	0,00802	<b>1471,72</b>	<b>0,01029</b>	MHB	<b>MHB</b>
3-S15	Max	3-S15H2	-894,237	0,00001	0,275	0,00003	0,00802	<b>894,24</b>	<b>0,00805</b>	MHB	<b>MHB</b>
3-S15	Min	3-S15H2	-1026,4	-0,00196	0,275	0,00713	0,00802	<b>1026,40</b>	<b>0,01515</b>	MHB	
4-S7	Min	4-S7H2	-976,301	-0,00001	0,275	0,00004	0,00802	<b>976,30</b>	<b>0,00805</b>	MHB	<b>MHB</b>
4-S9	Min	4-S9H2	-975,227	-0,00001	0,275	0,00003	0,00802	<b>975,23</b>	<b>0,00805</b>	MHB	<b>MHB</b>
4-S11	Min	4-S11H2	-666,943	-0,00007	0,275	0,00025	0,00802	<b>666,94</b>	<b>0,00827</b>	MHB	<b>MHB</b>
4-S12	Min	4-S12H2	-975,752	-0,00009	0,275	0,00032	0,00802	<b>975,75</b>	<b>0,00834</b>	MHB	<b>MHB</b>
4-S13	Min	4-S13H2	-964,636	-0,00005	0,275	0,00019	0,00802	<b>964,64</b>	<b>0,00820</b>	MHB	<b>MHB</b>
4-S14	Min	4-S14H2	-974,888	-0,00009	0,275	0,00032	0,00802	<b>974,89</b>	<b>0,00834</b>	MHB	<b>MHB</b>
4-S15	Min	4-S15H2	-671,958	-0,00007	0,275	0,00025	0,00802	<b>671,96</b>	<b>0,00827</b>	MHB	<b>MHB</b>

Tablo C.15. 11sakarya-x-z-kolon hasar sonuçları

KOLON	StepType	MAFSAL	P	$\theta_p$	Lp	$\Phi_p$	$\Phi_y$	P	$\Phi_t$	HASAR	KESİT HASAR
	Text		KN	Radians	m	1/m	1/m	KN	1/m	BÖLGESİ	
1-S1	Max	1-S1H1	-266,885	0,04063	0,275	0,14775	0,00802	<b>266,89</b>	<b>0,15577</b>	<b>GB</b>	GB
1-S1	Min	1-S1H1	-1630,73	-0,00697	0,275	0,02534	0,00802	<b>1630,73</b>	<b>0,03336</b>	<b>BHB</b>	
1-S2	Max	1-S2H1	-976,274	0,14399	0,275	0,52361	0,00802	<b>976,27</b>	<b>0,53163</b>	<b>GB</b>	GB
1-S2	Min	1-S2H1	-2144,89	-0,00080	0,275	0,00292	0,00802	<b>2144,89</b>	<b>0,01094</b>	<b>MHB</b>	
1-S3	Max	1-S3H1	-977,377	0,11580	0,275	0,42109	0,00802	<b>977,38</b>	<b>0,42911</b>	<b>GB</b>	GB
1-S3	Min	1-S3H1	-2146,32	-0,00080	0,275	0,00291	0,00802	<b>2146,32</b>	<b>0,01093</b>	<b>MHB</b>	
1-S4	Max	1-S4H1	-996,337	0,10159	0,275	0,36940	0,00802	<b>996,34</b>	<b>0,37742</b>	<b>GB</b>	GB
1-S4	Min	1-S4H1	-2152,72	-0,00080	0,275	0,00290	0,00802	<b>2152,72</b>	<b>0,01092</b>	<b>MHB</b>	
1-S5	Max	1-S5H1	-465,612	0,03715	0,275	0,13508	0,00802	<b>465,61</b>	<b>0,14309</b>	<b>iHB</b>	iHB
1-S5	Min	1-S5H1	-1706,91	-0,00165	0,275	0,00601	0,00802	<b>1706,91</b>	<b>0,01403</b>	<b>MHB</b>	
1-S6	Max	1-S6H1	-708,914	0,05602	0,275	0,20372	0,00802	<b>708,91</b>	<b>0,21174</b>	<b>GB</b>	GB
1-S7	Max	1-S7H1	-1531,12	0,01383	0,275	0,05030	0,00802	<b>1531,12</b>	<b>0,05832</b>	<b>BHB</b>	GB
1-S7	Min	1-S7H1	-3401,51	-0,06604	0,275	0,24015	0,00802	<b>3401,51</b>	<b>0,24817</b>	<b>GB</b>	BHB
1-S8	Max	1-S8H1	-1534,27	0,01354	0,275	0,04922	0,00802	<b>1534,27</b>	<b>0,05724</b>	<b>BHB</b>	BHB
1-S9	Max	1-S9H1	-1554,03	0,01380	0,275	0,05017	0,00802	<b>1554,03</b>	<b>0,05819</b>	<b>BHB</b>	BHB
1-S10	Max	1-S10H1	-859,36	0,01569	0,275	0,05706	0,00802	<b>859,36</b>	<b>0,06508</b>	<b>BHB</b>	GB
1-S10	Min	1-S10H1	-2550,17	-0,05097	0,275	0,18536	0,00802	<b>2550,17</b>	<b>0,19337</b>	<b>GB</b>	iHB
1-S11	Max	1-S11H1	-707,516	0,02558	0,275	0,09302	0,00802	<b>707,52</b>	<b>0,10104</b>	<b>iHB</b>	GB
1-S12	Max	1-S12H1	-1531,12	0,01382	0,275	0,05024	0,00802	<b>1531,12</b>	<b>0,05826</b>	<b>BHB</b>	GB
1-S12	Min	1-S12H1	-3401,51	-0,05312	0,275	0,19317	0,00802	<b>3401,51</b>	<b>0,20119</b>	<b>GB</b>	
1-S13	Max	1-S13H1	-1534,27	0,01262	0,275	0,04589	0,00802	<b>1534,27</b>	<b>0,05391</b>	<b>BHB</b>	BHB
1-S13	Min	1-S13H1	-3407,34	-0,00039	0,275	0,00141	0,00802	<b>3407,34</b>	<b>0,00943</b>	<b>MHB</b>	
1-S14	Max	1-S14H1	-1554,03	0,01389	0,275	0,05052	0,00802	<b>1554,03</b>	<b>0,05854</b>	<b>BHB</b>	GB
1-S14	Min	1-S14H1	-3410,39	-0,11985	0,275	0,43581	0,00802	<b>3410,39</b>	<b>0,44383</b>	<b>GB</b>	GB
1-S15	Max	1-S15H1	-859,36	0,01369	0,275	0,04977	0,00802	<b>859,36</b>	<b>0,05779</b>	<b>BHB</b>	GB
1-S15	Min	1-S15H1	-2548,19	-0,03885	0,275	0,14128	0,00802	<b>2548,19</b>	<b>0,14930</b>	<b>GB</b>	
1-S16	Max	1-S16H2	-242,981	0,00056	0,275	0,00205	0,00802	<b>242,98</b>	<b>0,01007</b>	<b>MHB</b>	GB
1-S16	Min	1-S16H1	-1630,73	-0,05886	0,275	0,21403	0,00802	<b>1630,73</b>	<b>0,22204</b>	<b>GB</b>	
1-S17	Max	1-S17H1	-976,274	0,03653	0,275	0,13285	0,00802	<b>976,27</b>	<b>0,14087</b>	<b>GB</b>	GB
1-S17	Max	1-S17H2	-946,024	0,00144	0,275	0,00525	0,00802	<b>946,02</b>	<b>0,01327</b>	<b>MHB</b>	
1-S18	Max	1-S18H1	-977,377	0,05755	0,275	0,20929	0,00802	<b>977,38</b>	<b>0,21731</b>	<b>GB</b>	GB
1-S18	Max	1-S18H2	-947,127	0,00118	0,275	0,00429	0,00802	<b>947,13</b>	<b>0,01231</b>	<b>MHB</b>	
1-S19	Max	1-S19H1	-996,337	0,04905	0,275	0,17837	0,00802	<b>996,34</b>	<b>0,18639</b>	<b>GB</b>	GB
1-S19	Max	1-S19H2	-966,087	0,00108	0,275	0,00393	0,00802	<b>966,09</b>	<b>0,01195</b>	<b>MHB</b>	
1-S20	Max	1-S20H1	-471,938	0,02015	0,275	0,07327	0,00802	<b>471,94</b>	<b>0,08129</b>	<b>BHB</b>	BHB
1-S20	Max	1-S20H2	-441,688	0,00146	0,275	0,00531	0,00802	<b>441,69</b>	<b>0,01332</b>	<b>MHB</b>	
2-S1	Min	2-S1H1	-1261,99	-0,00007	0,275	0,00024	0,00802	<b>1261,99</b>	<b>0,00826</b>	<b>MHB</b>	MHB
2-S1	Min	2-S1H2	-1239,3	-0,00003	0,275	0,00011	0,00802	<b>1239,30</b>	<b>0,00813</b>	<b>MHB</b>	
2-S2	Min	2-S2H1	-1714,58	-0,00164	0,275	0,00596	0,00802	<b>1714,58</b>	<b>0,01398</b>	<b>MHB</b>	MHB
2-S2	Min	2-S2H2	-1691,89	-0,00196	0,275	0,00713	0,00802	<b>1691,89</b>	<b>0,01515</b>	<b>MHB</b>	
2-S3	Min	2-S3H1	-1714,69	-0,00235	0,275	0,00853	0,00802	<b>1714,69</b>	<b>0,01655</b>	<b>MHB</b>	MHB
2-S3	Min	2-S3H2	-1692,01	-0,00201	0,275	0,00731	0,00802	<b>1692,01</b>	<b>0,01532</b>	<b>MHB</b>	
2-S4	Min	2-S4H1	-1717,76	-0,00166	0,275	0,00602	0,00802	<b>1717,76</b>	<b>0,01404</b>	<b>MHB</b>	MHB
2-S4	Min	2-S4H2	-1695,07	-0,00199	0,275	0,00722	0,00802	<b>1695,07</b>	<b>0,01524</b>	<b>MHB</b>	
2-S7	Min	2-S7H2	-2701,52	-0,00014	0,275	0,00050	0,00802	<b>2701,52</b>	<b>0,00852</b>	<b>MHB</b>	MHB
2-S8	Min	2-S8H2	-2705,97	-0,00018	0,275	0,00064	0,00802	<b>2705,97</b>	<b>0,00865</b>	<b>MHB</b>	MHB
2-S9	Min	2-S9H2	-2705,05	-0,00015	0,275	0,00053	0,00802	<b>2705,05</b>	<b>0,00855</b>	<b>MHB</b>	MHB
2-S12	Min	2-S12H2	-2701,52	-0,00019	0,275	0,00068	0,00802	<b>2701,52</b>	<b>0,00870</b>	<b>MHB</b>	MHB
2-S13	Min	2-S13H2	-2705,97	-0,00016	0,275	0,00058	0,00802	<b>2705,97</b>	<b>0,00860</b>	<b>MHB</b>	MHB
2-S14	Max	2-S14H1	-1216,16	0,00030	0,275	0,00110	0,00802	<b>1216,16</b>	<b>0,00912</b>	<b>MHB</b>	MHB
2-S14	Min	2-S14H2	-2705,05	-0,00034	0,275	0,00124	0,00802	<b>2705,05</b>	<b>0,00926</b>	<b>MHB</b>	
2-S16	Min	2-S16H2	-1239,3	-0,00004	0,275	0,00013	0,00802	<b>1239,30</b>	<b>0,00815</b>	<b>MHB</b>	MHB
2-S17	Min	2-S17H2	-1691,89	-0,00207	0,275	0,00751	0,00802	<b>1691,89</b>	<b>0,01553</b>	<b>MHB</b>	MHB
2-S18	Min	2-S18H1	-1714,69	-0,00124	0,275	0,00452	0,00802	<b>1714,69</b>	<b>0,01254</b>	<b>MHB</b>	MHB
2-S18	Min	2-S18H2	-1692,01	-0,00208	0,275	0,00756	0,00802	<b>1692,01</b>	<b>0,01558</b>	<b>MHB</b>	
2-S19	Min	2-S19H1	-1717,76	-0,00071	0,275	0,00260	0,00802	<b>1717,76</b>	<b>0,01061</b>	<b>MHB</b>	MHB
2-S19	Min	2-S19H2	-1695,07	-0,00206	0,275	0,00750	0,00802	<b>1695,07</b>	<b>0,01552</b>	<b>MHB</b>	

Tablo C.15.(Devam) 11sakarya-x-z-kolon hasar sonuçları

3-S2	Min	3-S2H2	-1264,53	-0,00330	0,275	0,01201	0,00802	<b>1264,53</b>	<b>0,02003</b>	MHB	MHB
3-S3	Min	3-S3H2	-1263,57	-0,00329	0,275	0,01197	0,00802	<b>1263,57</b>	<b>0,01999</b>	MHB	MHB
3-S4	Min	3-S4H2	-1266,12	-0,00331	0,275	0,01203	0,00802	<b>1266,12</b>	<b>0,02004</b>	MHB	MHB
3-S6	Min	3-S6H2	-1382,45	-0,00002	0,275	0,00006	0,00802	<b>1382,45</b>	<b>0,00808</b>	MHB	MHB
3-S7	Min	3-S7H2	-2027,6	-0,00410	0,275	0,01489	0,00802	<b>2027,60</b>	<b>0,02291</b>	BHB	BHB
3-S8	Min	3-S8H2	-2029,73	-0,00176	0,275	0,00639	0,00802	<b>2029,73</b>	<b>0,01441</b>	MHB	MHB
3-S9	Min	3-S9H2	-2029,25	-0,00178	0,275	0,00649	0,00802	<b>2029,25</b>	<b>0,01451</b>	MHB	MHB
3-S10	Min	3-S10H2	-1476,2	-0,00021	0,275	0,00075	0,00802	<b>1476,20</b>	<b>0,00876</b>	MHB	MHB
3-S11	Min	3-S11H2	-1382,45	-0,00008	0,275	0,00029	0,00802	<b>1382,45</b>	<b>0,00831</b>	MHB	MHB
3-S12	Min	3-S12H2	-2027,6	-0,00175	0,275	0,00635	0,00802	<b>2027,60</b>	<b>0,01437</b>	MHB	MHB
3-S13	Min	3-S13H2	-2029,73	-0,00181	0,275	0,00658	0,00802	<b>2029,73</b>	<b>0,01460</b>	MHB	MHB
3-S14	Min	3-S14H2	-2029,25	-0,00183	0,275	0,00664	0,00802	<b>2029,25</b>	<b>0,01466</b>	MHB	MHB
3-S15	Min	3-S15H2	-1474,95	-0,00028	0,275	0,00101	0,00802	<b>1474,95</b>	<b>0,00903</b>	MHB	MHB
3-S16	Min	3-S16H2	-883,917	-0,00001	0,275	0,00005	0,00802	<b>883,92</b>	<b>0,00807</b>	MHB	MHB
3-S17	Min	3-S17H2	-1264,53	-0,00362	0,275	0,01315	0,00802	<b>1264,53</b>	<b>0,02117</b>	MHB	MHB
3-S18	Min	3-S18H2	-1263,57	-0,00360	0,275	0,01307	0,00802	<b>1263,57</b>	<b>0,02109</b>	MHB	MHB
3-S19	Min	3-S19H2	-1266,12	-0,00362	0,275	0,01316	0,00802	<b>1266,12</b>	<b>0,02117</b>	MHB	MHB
3-S20	Min	3-S20H2	-966,488	-0,00008	0,275	0,00029	0,00802	<b>966,49</b>	<b>0,00831</b>	MHB	MHB
4-S2	Min	4-S2H2	-834,221	-0,00071	0,275	0,00257	0,00802	<b>834,22</b>	<b>0,01059</b>	MHB	MHB
4-S3	Min	4-S3H2	-833,34	-0,00068	0,275	0,00249	0,00802	<b>833,34</b>	<b>0,01051</b>	MHB	MHB
4-S4	Min	4-S4H2	-835,483	-0,00075	0,275	0,00273	0,00802	<b>835,48</b>	<b>0,01075</b>	MHB	MHB
4-S7	Min	4-S7H1	-1370,2	-0,00025	0,275	0,00091	0,00802	<b>1370,20</b>	<b>0,00893</b>	MHB	MHB
4-S7	Min	4-S7H2	-1347,51	-0,00059	0,275	0,00215	0,00802	<b>1347,51</b>	<b>0,01017</b>	MHB	MHB
4-S8	Min	4-S8H2	-1347,76	-0,00067	0,275	0,00242	0,00802	<b>1347,76</b>	<b>0,01044</b>	MHB	MHB
4-S9	Min	4-S9H2	-1347,88	-0,00073	0,275	0,00264	0,00802	<b>1347,88</b>	<b>0,01066</b>	MHB	MHB
4-S12	Min	4-S12H2	-1347,51	-0,00052	0,275	0,00191	0,00802	<b>1347,51</b>	<b>0,00992</b>	MHB	MHB
4-S13	Min	4-S13H2	-1347,76	-0,00063	0,275	0,00227	0,00802	<b>1347,76</b>	<b>0,01029</b>	MHB	MHB
4-S14	Min	4-S14H2	-1347,88	-0,00066	0,275	0,00241	0,00802	<b>1347,88</b>	<b>0,01043</b>	MHB	MHB
4-S17	Min	4-S17H2	-834,221	-0,00052	0,275	0,00187	0,00802	<b>834,22</b>	<b>0,00989</b>	MHB	MHB
4-S18	Min	4-S18H2	-833,34	-0,00054	0,275	0,00196	0,00802	<b>833,34</b>	<b>0,00998</b>	MHB	MHB
4-S19	Min	4-S19H2	-835,483	-0,00057	0,275	0,00209	0,00802	<b>835,48</b>	<b>0,01011</b>	MHB	MHB

Tablo C.16. 11sakarya-y-z-kolon hasar sonuçları

KOLON	StepType	MAFSAL	P	$\theta_p$	Lp	$\Phi_p$	$\Phi_y$	P	$\Phi_t$	HASAR	KESİT HASAR
	Text		KN	Radians	m	1/m	1/m	KN	1/m	BÖLGESİ	
1-S1	Max	1-S1H1	-299,935	0,03543	0,275	0,12884	0,00802	299,94	0,13685	İHB	İHB
1-S1	Min	1-S1H1	-1582,97	-0,01449	0,275	0,05271	0,00802	1582,97	0,06072	BHB	
1-S2	Max	1-S2H1	-757,034	0,01929	0,275	0,07014	0,00802	757,03	0,07816	BHB	GB
1-S2	Min	1-S2H1	-2242,35	-0,05597	0,275	0,20352	0,00802	2242,35	0,21154	GB	
1-S3	Max	1-S3H1	-764,333	0,02628	0,275	0,09556	0,00802	764,33	0,10358	İHB	İHB
1-S3	Min	1-S3H1	-2250,74	-0,00047	0,275	0,00171	0,00802	2250,74	0,00973	MHB	
1-S4	Max	1-S4H2	-727,828	0,00072	0,275	0,00263	0,00802	727,83	0,01064	MHB	GB
1-S4	Min	1-S4H1	-2268,24	-0,06389	0,275	0,23233	0,00802	2268,24	0,24035	GB	
1-S5	Max	1-S5H1	-410,997	0,06793	0,275	0,24700	0,00802	411,00	0,25502	GB	GB
1-S5	Min	1-S5H1	-1550,34	-0,00139	0,275	0,00507	0,00802	1550,34	0,01308	MHB	
1-S6	Max	1-S6H1	-1046,45	0,02513	0,275	0,09137	0,00802	1046,45	0,09939	BHB	BHB
1-S6	Max	1-S6H2	-1016,2	0,00043	0,275	0,00156	0,00802	1016,20	0,00958	MHB	
1-S7	Max	1-S7H1	-1535,79	0,09683	0,275	0,35212	0,00802	1535,79	0,36013	GB	GB
1-S7	Max	1-S7H2	-1505,54	0,00015	0,275	0,00055	0,00802	1505,54	0,00856	MHB	
1-S8	Max	1-S8H1	-1527,45	0,05970	0,275	0,21708	0,00802	1527,45	0,22510	GB	GB
1-S8	Max	1-S8H2	-1497,2	0,00077	0,275	0,00279	0,00802	1497,20	0,01080	MHB	
1-S9	Max	1-S9H1	-1535,79	0,05186	0,275	0,18859	0,00802	1535,79	0,19660	GB	GB
1-S9	Max	1-S9H2	-1505,54	0,00104	0,275	0,00377	0,00802	1505,54	0,01179	MHB	
1-S10	Max	1-S10H1	-1046,45	0,14641	0,275	0,53241	0,00802	1046,45	0,54043	GB	GB
1-S10	Min	1-S10H1	-2296,86	-0,00074	0,275	0,00270	0,00802	2296,86	0,01072	MHB	
1-S11	Max	1-S11H1	-1058,39	0,03136	0,275	0,11403	0,00802	1058,39	0,12204	İHB	İHB
1-S11	Min	1-S11H2	-2271,15	-0,00040	0,275	0,00144	0,00802	2271,15	0,00946	MHB	
1-S12	Max	1-S12H1	-1549,35	0,05174	0,275	0,18813	0,00802	1549,35	0,19615	GB	GB
1-S12	Min	1-S12H1	-3408,5	-0,00659	0,275	0,02397	0,00802	3408,50	0,03199	BHB	
1-S13	Max	1-S13H1	-1541,09	0,02482	0,275	0,09025	0,00802	1541,09	0,09827	İHB	İHB
1-S13	Max	1-S13H2	-1510,84	0,00034	0,275	0,00123	0,00802	1510,84	0,00924	MHB	
1-S14	Max	1-S14H1	-1549,35	0,00968	0,275	0,03519	0,00802	1549,35	0,04320	MHB	BHB
1-S14	Min	1-S14H1	-3408,5	-0,00566	0,275	0,02059	0,00802	3408,50	0,02861	BHB	
1-S15	Max	1-S15H2	-1028,14	0,00171	0,275	0,00623	0,00802	1028,14	0,01425	MHB	GB
1-S15	Min	1-S15H1	-2301,4	-0,09755	0,275	0,35471	0,00802	2301,40	0,36273	GB	
1-S16	Max	1-S16H2	-506,714	0,00031	0,275	0,00113	0,00802	506,71	0,00915	MHB	GB
1-S16	Min	1-S16H1	-1633,95	-0,12427	0,275	0,45189	0,00802	1633,95	0,45991	GB	
1-S17	Max	1-S17H1	-859,593	0,02295	0,275	0,08345	0,00802	859,59	0,09147	BHB	GB
1-S17	Min	1-S17H1	-2349,52	-0,09525	0,275	0,34637	0,00802	2349,52	0,35439	GB	
1-S18	Max	1-S18H1	-850,665	0,11338	0,275	0,41228	0,00802	850,67	0,42030	GB	GB
1-S18	Min	1-S18H1	-2353,28	-0,00041	0,275	0,00149	0,00802	2353,28	0,00951	MHB	
1-S19	Max	1-S19H1	-859,593	0,02673	0,275	0,09721	0,00802	859,59	0,10523	İHB	GB
1-S19	Min	1-S19H1	-2349,57	-0,05260	0,275	0,19129	0,00802	2349,57	0,19931	GB	
1-S20	Max	1-S20H1	-452,268	0,02731	0,275	0,09930	0,00802	452,27	0,10732	İHB	İHB
1-S20	Max	1-S20H2	-422,018	0,00082	0,275	0,00300	0,00802	422,02	0,01101	MHB	
2-S1	Min	2-S1H1	-1200,55	-0,00131	0,275	0,00475	0,00802	1200,55	0,01277	MHB	MHB
2-S1	Min	2-S1H2	-1177,86	-0,00016	0,275	0,00058	0,00802	1177,86	0,00860	MHB	
2-S6	Max	2-S6H2	-800,541	0,00057	0,275	0,00208	0,00802	800,54	0,01009	MHB	MHB
2-S6	Min	2-S6H2	-1814,32	-0,00205	0,275	0,00747	0,00802	1814,32	0,01549	MHB	
2-S7	Min	2-S7H2	-2702,18	-0,00097	0,275	0,00352	0,00802	2702,18	0,01154	MHB	MHB
2-S8	Min	2-S8H2	-2704,86	-0,00092	0,275	0,00336	0,00802	2704,86	0,01138	MHB	
2-S9	Min	2-S9H2	-2702,18	-0,00092	0,275	0,00333	0,00802	2702,18	0,01135	MHB	MHB
2-S10	Min	2-S10H1	-1837,01	-0,00171	0,275	0,00622	0,00802	1837,01	0,01424	MHB	
2-S10	Min	2-S10H2	-1814,32	-0,00158	0,275	0,00575	0,00802	1814,32	0,01377	MHB	MHB
2-S11	Max	2-S11H2	-806,816	0,00068	0,275	0,00247	0,00802	806,82	0,01049	MHB	MHB
2-S11	Min	2-S11H2	-1816,35	-0,00211	0,275	0,00767	0,00802	1816,35	0,01569	MHB	
2-S12	Min	2-S12H2	-2704,38	-0,00111	0,275	0,00403	0,00802	2704,38	0,01204	MHB	MHB
2-S13	Max	2-S13H2	-1185,51	0,00001	0,275	0,00004	0,00802	1185,51	0,00805	MHB	
2-S13	Min	2-S13H2	-2707,07	-0,00104	0,275	0,00379	0,00802	2707,07	0,01181	MHB	MHB
2-S14	Min	2-S14H2	-2704,38	-0,00098	0,275	0,00355	0,00802	2704,38	0,01157	MHB	
2-S15	Min	2-S15H1	-1839,04	-0,00005	0,275	0,00019	0,00802	1839,04	0,00820	MHB	MHB
2-S15	Min	2-S15H2	-1816,35	-0,00205	0,275	0,00744	0,00802	1816,35	0,01545	MHB	

Tablo C.16.(Devam) 11sakarya-y-z-kolon hasar sonuçları

2-S16	Max	2-S16H1	-432,895	0,00028	0,275	0,00102	0,00802	<b>432,90</b>	<b>0,00904</b>	MHB	<b>MHB</b>
2-S16	Min	2-S16H2	-1275,47	-0,00163	0,275	0,00594	0,00802	<b>1275,47</b>	<b>0,01396</b>	MHB	
2-S17	Min	2-S17H2	-1846,26	-0,00015	0,275	0,00055	0,00802	<b>1846,26</b>	<b>0,00857</b>	MHB	<b>MHB</b>
2-S20	Min	2-S20H2	-1275,46	-0,00029	0,275	0,00104	0,00802	<b>1275,46</b>	<b>0,00906</b>	MHB	<b>MHB</b>
3-S6	Max	3-S6H2	-589,27	0,00002	0,275	0,00008	0,00802	<b>589,27</b>	<b>0,00810</b>	MHB	<b>MHB</b>
3-S6	Min	3-S6H2	-1357,38	-0,00161	0,275	0,00584	0,00802	<b>1357,38</b>	<b>0,01386</b>	MHB	
3-S7	Min	3-S7H2	-2027,84	-0,00036	0,275	0,00132	0,00802	<b>2027,84</b>	<b>0,00934</b>	MHB	<b>MHB</b>
3-S8	Min	3-S8H2	-2029,13	-0,00029	0,275	0,00104	0,00802	<b>2029,13</b>	<b>0,00906</b>	MHB	<b>MHB</b>
3-S9	Min	3-S9H2	-2027,84	-0,00029	0,275	0,00106	0,00802	<b>2027,84</b>	<b>0,00908</b>	MHB	<b>MHB</b>
3-S10	Max	3-S10H2	-589,27	0,00002	0,275	0,00008	0,00802	<b>589,27</b>	<b>0,00810</b>	MHB	<b>MHB</b>
3-S10	Min	3-S10H2	-1357,38	-0,00148	0,275	0,00537	0,00802	<b>1357,38</b>	<b>0,01339</b>	MHB	
3-S11	Max	3-S11H2	-592,898	0,00004	0,275	0,00015	0,00802	<b>592,90</b>	<b>0,00816</b>	MHB	<b>MHB</b>
3-S11	Min	3-S11H2	-1358,41	-0,00141	0,275	0,00512	0,00802	<b>1358,41</b>	<b>0,01314</b>	MHB	
3-S12	Min	3-S12H2	-2029,01	-0,00054	0,275	0,00197	0,00802	<b>2029,01</b>	<b>0,00999</b>	MHB	<b>MHB</b>
3-S13	Min	3-S13H2	-2030,33	-0,00046	0,275	0,00169	0,00802	<b>2030,33</b>	<b>0,00971</b>	MHB	<b>MHB</b>
3-S14	Min	3-S14H2	-2029,01	-0,00038	0,275	0,00140	0,00802	<b>2029,01</b>	<b>0,00941</b>	MHB	<b>MHB</b>
3-S15	Max	3-S15H2	-592,898	0,00004	0,275	0,00015	0,00802	<b>592,90</b>	<b>0,00816</b>	MHB	<b>MHB</b>
3-S15	Min	3-S15H2	-1358,41	-0,00154	0,275	0,00559	0,00802	<b>1358,41</b>	<b>0,01361</b>	MHB	
4-S6	Min	4-S6H2	-896,714	-0,00010	0,275	0,00036	0,00802	<b>896,71</b>	<b>0,00838</b>	MHB	<b>MHB</b>
4-S7	Min	4-S7H2	-1347,53	-0,00010	0,275	0,00035	0,00802	<b>1347,53</b>	<b>0,00837</b>	MHB	<b>MHB</b>
4-S8	Min	4-S8H2	-1347,6	-0,00007	0,275	0,00024	0,00802	<b>1347,60</b>	<b>0,00826</b>	MHB	<b>MHB</b>
4-S9	Min	4-S9H2	-1347,53	-0,00010	0,275	0,00035	0,00802	<b>1347,53</b>	<b>0,00837</b>	MHB	<b>MHB</b>
4-S10	Min	4-S10H2	-896,714	-0,00010	0,275	0,00036	0,00802	<b>896,71</b>	<b>0,00838</b>	MHB	<b>MHB</b>
4-S11	Min	4-S11H2	-897,561	-0,00018	0,275	0,00065	0,00802	<b>897,56</b>	<b>0,00867</b>	MHB	<b>MHB</b>
4-S12	Min	4-S12H2	-1347,86	-0,00019	0,275	0,00069	0,00802	<b>1347,86</b>	<b>0,00871</b>	MHB	<b>MHB</b>
4-S13	Min	4-S13H2	-1347,93	-0,00015	0,275	0,00055	0,00802	<b>1347,93</b>	<b>0,00856</b>	MHB	<b>MHB</b>
4-S14	Min	4-S14H2	-1347,86	-0,00019	0,275	0,00069	0,00802	<b>1347,86</b>	<b>0,00871</b>	MHB	<b>MHB</b>
4-S15	Min	4-S15H2	-897,561	-0,00018	0,275	0,00065	0,00802	<b>897,56</b>	<b>0,00867</b>	MHB	<b>MHB</b>

## EK-D

Tablo D.1. 14bolu-x-kiriş hasar sonuçları

KİRİŞ	KESİT	14 (YATAY) X YÖNÜ KİRİŞ DÖNMELERİ						HASAR SINIR DEĞERLERİ			HASAR DURUMU	KESİT HASAR
		mafşal dönme (i)		mafşal dönme (j)		mafşal dönme		MN	GV	GÇ		
		radian - max	radian - min	radian - max	radian - min	Sağ	Sol	rad	rad	rad	Sağ	SOL
1-B1	30/60	0,0018	-0,0157	0,0144	-0,0010	<b>0,0157</b>	<b>0,0144</b>	<b>0,0065</b>	<b>0,0213</b>	<b>0,0328</b>	<b>BHB</b>	<b>BHB</b>
1-B2	30/60	0,0009	-0,0148	0,0147	-0,0012	<b>0,0148</b>	<b>0,0147</b>	<b>0,0065</b>	<b>0,0213</b>	<b>0,0328</b>	<b>BHB</b>	<b>BHB</b>
1-B3	30/60	0,0009	-0,0150	0,0147	-0,0012	<b>0,0150</b>	<b>0,0147</b>	<b>0,0065</b>	<b>0,0213</b>	<b>0,0328</b>	<b>BHB</b>	<b>BHB</b>
1-B4	30/60	0,0009	-0,0147	0,0154	-0,0020	<b>0,0147</b>	<b>0,0154</b>	<b>0,0065</b>	<b>0,0213</b>	<b>0,0328</b>	<b>BHB</b>	<b>BHB</b>
1-B10	30/60	0,0009	-0,0169	0,0135	-0,0022	<b>0,0169</b>	<b>0,0135</b>	<b>0,0065</b>	<b>0,0213</b>	<b>0,0328</b>	<b>BHB</b>	<b>BHB</b>
1-B11	30/60	0,0000	-0,0159	0,0134	-0,0022	<b>0,0159</b>	<b>0,0134</b>	<b>0,0065</b>	<b>0,0213</b>	<b>0,0328</b>	<b>BHB</b>	<b>BHB</b>
1-B12	30/60	0,0000	-0,0159	0,0134	-0,0021	<b>0,0159</b>	<b>0,0134</b>	<b>0,0065</b>	<b>0,0213</b>	<b>0,0328</b>	<b>BHB</b>	<b>BHB</b>
1-B13	30/60	0,0000	-0,0156	0,0145	-0,0031	<b>0,0156</b>	<b>0,0145</b>	<b>0,0065</b>	<b>0,0213</b>	<b>0,0328</b>	<b>BHB</b>	<b>BHB</b>
1-B19	30/60	0,0009	-0,0169	0,0135	-0,0022	<b>0,0169</b>	<b>0,0135</b>	<b>0,0065</b>	<b>0,0213</b>	<b>0,0328</b>	<b>BHB</b>	<b>BHB</b>
1-B20	30/60	0,0000	-0,0159	0,0134	-0,0022	<b>0,0159</b>	<b>0,0134</b>	<b>0,0065</b>	<b>0,0213</b>	<b>0,0328</b>	<b>BHB</b>	<b>BHB</b>
1-B21	30/60	0,0000	-0,0159	0,0134	-0,0021	<b>0,0159</b>	<b>0,0134</b>	<b>0,0065</b>	<b>0,0213</b>	<b>0,0328</b>	<b>BHB</b>	<b>BHB</b>
1-B22	30/60	0,0000	-0,0156	0,0145	-0,0031	<b>0,0156</b>	<b>0,0145</b>	<b>0,0065</b>	<b>0,0213</b>	<b>0,0328</b>	<b>BHB</b>	<b>BHB</b>
1-B28	30/60	0,0018	-0,0157	0,0144	-0,0010	<b>0,0157</b>	<b>0,0144</b>	<b>0,0065</b>	<b>0,0213</b>	<b>0,0328</b>	<b>BHB</b>	<b>BHB</b>
1-B29	30/60	0,0009	-0,0148	0,0147	-0,0012	<b>0,0148</b>	<b>0,0147</b>	<b>0,0065</b>	<b>0,0213</b>	<b>0,0328</b>	<b>BHB</b>	<b>BHB</b>
1-B30	30/60	0,0009	-0,0150	0,0147	-0,0012	<b>0,0150</b>	<b>0,0147</b>	<b>0,0065</b>	<b>0,0213</b>	<b>0,0328</b>	<b>BHB</b>	<b>BHB</b>
1-B31	30/60	0,0009	-0,0147	0,0154	-0,0020	<b>0,0147</b>	<b>0,0154</b>	<b>0,0065</b>	<b>0,0213</b>	<b>0,0328</b>	<b>BHB</b>	<b>BHB</b>
2-B1	30/60	0,0016	-0,0127	0,0101	-0,0019	<b>0,0127</b>	<b>0,0101</b>	<b>0,0065</b>	<b>0,0213</b>	<b>0,0328</b>	<b>BHB</b>	<b>BHB</b>
2-B2	30/60	0,0014	-0,0105	0,0103	-0,0013	<b>0,0105</b>	<b>0,0103</b>	<b>0,0065</b>	<b>0,0213</b>	<b>0,0328</b>	<b>BHB</b>	<b>BHB</b>
2-B3	30/60	0,0011	-0,0106	0,0103	-0,0013	<b>0,0106</b>	<b>0,0103</b>	<b>0,0065</b>	<b>0,0213</b>	<b>0,0328</b>	<b>BHB</b>	<b>BHB</b>
2-B4	30/60	0,0011	-0,0103	0,0126	-0,0017	<b>0,0103</b>	<b>0,0126</b>	<b>0,0065</b>	<b>0,0213</b>	<b>0,0328</b>	<b>BHB</b>	<b>BHB</b>
2-B10	30/60	0,0004	-0,0138	0,0103	-0,0021	<b>0,0138</b>	<b>0,0103</b>	<b>0,0065</b>	<b>0,0213</b>	<b>0,0328</b>	<b>BHB</b>	<b>BHB</b>
2-B11	30/60	0,0000	-0,0127	0,0102	-0,0021	<b>0,0127</b>	<b>0,0102</b>	<b>0,0065</b>	<b>0,0213</b>	<b>0,0328</b>	<b>BHB</b>	<b>BHB</b>
2-B12	30/60	0,0000	-0,0127	0,0102	-0,0021	<b>0,0127</b>	<b>0,0102</b>	<b>0,0065</b>	<b>0,0213</b>	<b>0,0328</b>	<b>BHB</b>	<b>BHB</b>
2-B13	30/60	0,0000	-0,0124	0,0113	-0,0039	<b>0,0124</b>	<b>0,0113</b>	<b>0,0065</b>	<b>0,0213</b>	<b>0,0328</b>	<b>BHB</b>	<b>BHB</b>
2-B19	30/60	0,0004	-0,0138	0,0103	-0,0021	<b>0,0138</b>	<b>0,0103</b>	<b>0,0065</b>	<b>0,0213</b>	<b>0,0328</b>	<b>BHB</b>	<b>BHB</b>
2-B20	30/60	0,0000	-0,0127	0,0102	-0,0021	<b>0,0127</b>	<b>0,0102</b>	<b>0,0065</b>	<b>0,0213</b>	<b>0,0328</b>	<b>BHB</b>	<b>BHB</b>
2-B21	30/60	0,0000	-0,0127	0,0102	-0,0021	<b>0,0127</b>	<b>0,0102</b>	<b>0,0065</b>	<b>0,0213</b>	<b>0,0328</b>	<b>BHB</b>	<b>BHB</b>
2-B22	30/60	0,0000	-0,0124	0,0113	-0,0039	<b>0,0124</b>	<b>0,0113</b>	<b>0,0065</b>	<b>0,0213</b>	<b>0,0328</b>	<b>BHB</b>	<b>BHB</b>
2-B28	30/60	0,0016	-0,0127	0,0101	-0,0019	<b>0,0127</b>	<b>0,0101</b>	<b>0,0065</b>	<b>0,0213</b>	<b>0,0328</b>	<b>BHB</b>	<b>BHB</b>
2-B29	30/60	0,0014	-0,0105	0,0103	-0,0013	<b>0,0105</b>	<b>0,0103</b>	<b>0,0065</b>	<b>0,0213</b>	<b>0,0328</b>	<b>BHB</b>	<b>BHB</b>
2-B30	30/60	0,0011	-0,0106	0,0103	-0,0013	<b>0,0106</b>	<b>0,0103</b>	<b>0,0065</b>	<b>0,0213</b>	<b>0,0328</b>	<b>BHB</b>	<b>BHB</b>
2-B31	30/60	0,0011	-0,0103	0,0126	-0,0017	<b>0,0103</b>	<b>0,0126</b>	<b>0,0065</b>	<b>0,0213</b>	<b>0,0328</b>	<b>BHB</b>	<b>BHB</b>
3-B1	30/60	0,0017	-0,0047	0,0025	-0,0054	<b>0,0047</b>	<b>0,0054</b>	<b>0,0065</b>	<b>0,0213</b>	<b>0,0328</b>	<b>MHB</b>	<b>MHB</b>
3-B2	30/60	0,0062	-0,0031	0,0028	-0,0060	<b>0,0062</b>	<b>0,0060</b>	<b>0,0065</b>	<b>0,0213</b>	<b>0,0328</b>	<b>MHB</b>	<b>MHB</b>
3-B3	30/60	0,0057	-0,0031	0,0029	-0,0041	<b>0,0057</b>	<b>0,0041</b>	<b>0,0065</b>	<b>0,0213</b>	<b>0,0328</b>	<b>MHB</b>	<b>MHB</b>
3-B4	30/60	0,0030	-0,0030	0,0051	-0,0009	<b>0,0030</b>	<b>0,0051</b>	<b>0,0065</b>	<b>0,0213</b>	<b>0,0328</b>	<b>MHB</b>	<b>MHB</b>
3-B10	30/60	0,0000	-0,0069	0,0085	-0,0010	<b>0,0069</b>	<b>0,0085</b>	<b>0,0065</b>	<b>0,0213</b>	<b>0,0328</b>	<b>BHB</b>	<b>BHB</b>
3-B11	30/60	0,0000	-0,0080	0,0027	-0,0009	<b>0,0080</b>	<b>0,0027</b>	<b>0,0065</b>	<b>0,0213</b>	<b>0,0328</b>	<b>BHB</b>	<b>MHB</b>
3-B12	30/60	0,0000	-0,0052	0,0027	-0,0009	<b>0,0052</b>	<b>0,0027</b>	<b>0,0065</b>	<b>0,0213</b>	<b>0,0328</b>	<b>MHB</b>	<b>MHB</b>
3-B13	30/60	0,0000	-0,0049	0,0046	-0,0014	<b>0,0049</b>	<b>0,0046</b>	<b>0,0065</b>	<b>0,0213</b>	<b>0,0328</b>	<b>MHB</b>	<b>MHB</b>
3-B19	30/60	0,0000	-0,0069	0,0085	-0,0010	<b>0,0069</b>	<b>0,0085</b>	<b>0,0065</b>	<b>0,0213</b>	<b>0,0328</b>	<b>BHB</b>	<b>BHB</b>
3-B20	30/60	0,0000	-0,0077	0,0027	-0,0009	<b>0,0077</b>	<b>0,0027</b>	<b>0,0065</b>	<b>0,0213</b>	<b>0,0328</b>	<b>BHB</b>	<b>MHB</b>
3-B21	30/60	0,0000	-0,0052	0,0027	-0,0009	<b>0,0052</b>	<b>0,0027</b>	<b>0,0065</b>	<b>0,0213</b>	<b>0,0328</b>	<b>MHB</b>	<b>MHB</b>
3-B22	30/60	0,0000	-0,0049	0,0046	-0,0014	<b>0,0049</b>	<b>0,0046</b>	<b>0,0065</b>	<b>0,0213</b>	<b>0,0328</b>	<b>MHB</b>	<b>MHB</b>
3-B28	30/60	0,0017	-0,0047	0,0025	-0,0057	<b>0,0047</b>	<b>0,0057</b>	<b>0,0065</b>	<b>0,0213</b>	<b>0,0328</b>	<b>MHB</b>	<b>MHB</b>
3-B29	30/60	0,0066	-0,0031	0,0028	-0,0064	<b>0,0066</b>	<b>0,0064</b>	<b>0,0065</b>	<b>0,0213</b>	<b>0,0328</b>	<b>BHB</b>	<b>MHB</b>
3-B30	30/60	0,0059	-0,0031	0,0029	-0,0042	<b>0,0059</b>	<b>0,0042</b>	<b>0,0065</b>	<b>0,0213</b>	<b>0,0328</b>	<b>MHB</b>	<b>MHB</b>
3-B31	30/60	0,0030	-0,0030	0,0051	-0,0009	<b>0,0030</b>	<b>0,0051</b>	<b>0,0065</b>	<b>0,0213</b>	<b>0,0328</b>	<b>MHB</b>	<b>MHB</b>

Tablo D.2. 14bolu-y-kiriş hasar sonuçları

KİRİŞ	KESİT	14 (YATAY) Y YÖNÜ KİRİŞ DÖNMELERİ				HASAR SINIR DEĞERLERİ			HASAR DURUMU		KESİT HASAR
		radyan - max	radyan - min	radyan - max	radyan - min	Sağ	Sol	rad	rad	rad	
1-B5	30/60	0,0000	-0,0157	0,0079	-0,0018	0,0157	0,0079	0,0050	0,0217	0,0334	BHB BHB BHB
1-B6	30/60	0,0000	-0,0199	0,0034	-0,0092	0,0199	0,0092	0,0050	0,0217	0,0334	BHB BHB BHB
1-B7	30/60	0,0000	-0,0199	0,0034	-0,0076	0,0199	0,0076	0,0050	0,0217	0,0334	BHB BHB BHB
1-B8	30/60	0,0000	-0,0199	0,0034	-0,0061	0,0199	0,0061	0,0050	0,0217	0,0334	BHB BHB BHB
1-B9	30/60	0,0000	-0,0157	0,0070	-0,0011	0,0157	0,0070	0,0050	0,0217	0,0334	BHB BHB BHB
1-B14	30/60	0,0000	-0,0165	0,0073	-0,0017	0,0165	0,0073	0,0050	0,0217	0,0334	BHB BHB BHB
1-B15	30/60	0,0000	-0,0187	0,0034	-0,0077	0,0187	0,0077	0,0050	0,0217	0,0334	BHB BHB BHB
1-B16	30/60	0,0000	-0,0187	0,0034	-0,0063	0,0187	0,0063	0,0050	0,0217	0,0334	BHB BHB BHB
1-B17	30/60	0,0000	-0,0187	0,0034	-0,0044	0,0187	0,0044	0,0050	0,0217	0,0334	BHB MHB BHB
1-B18	30/60	0,0000	-0,0155	0,0076	-0,0006	0,0155	0,0076	0,0050	0,0217	0,0334	BHB BHB BHB
1-B23	30/60	0,0000	-0,0153	0,0085	-0,0035	0,0153	0,0085	0,0050	0,0217	0,0334	BHB BHB BHB
1-B24	30/60	0,0000	-0,0185	0,0049	-0,0064	0,0185	0,0064	0,0050	0,0217	0,0334	BHB BHB BHB
1-B25	30/60	0,0000	-0,0185	0,0048	-0,0082	0,0185	0,0082	0,0050	0,0217	0,0334	BHB BHB BHB
1-B26	30/60	0,0000	-0,0185	0,0049	-0,0032	0,0185	0,0049	0,0050	0,0217	0,0334	BHB MHB BHB
1-B27	30/60	0,0000	-0,0157	0,0085	-0,0012	0,0157	0,0085	0,0050	0,0217	0,0334	BHB BHB BHB
2-B5	30/60	0,0000	-0,0137	0,0036	-0,0024	0,0137	0,0036	0,0050	0,0217	0,0334	BHB MHB BHB
2-B6	30/60	0,0000	-0,0176	0,0011	-0,0053	0,0176	0,0053	0,0050	0,0217	0,0334	BHB BHB BHB
2-B7	30/60	0,0000	-0,0176	0,0011	-0,0047	0,0176	0,0047	0,0050	0,0217	0,0334	BHB MHB BHB
2-B8	30/60	0,0000	-0,0176	0,0011	-0,0042	0,0176	0,0042	0,0050	0,0217	0,0334	BHB MHB BHB
2-B9	30/60	0,0000	-0,0137	0,0036	-0,0016	0,0137	0,0036	0,0050	0,0217	0,0334	BHB MHB BHB
2-B14	30/60	0,0000	-0,0121	0,0040	-0,0011	0,0121	0,0040	0,0050	0,0217	0,0334	BHB MHB BHB
2-B15	30/60	0,0000	-0,0163	0,0010	-0,0050	0,0163	0,0050	0,0050	0,0217	0,0334	BHB MHB BHB
2-B16	30/60	0,0000	-0,0163	0,0010	-0,0047	0,0163	0,0047	0,0050	0,0217	0,0334	BHB MHB BHB
2-B17	30/60	0,0000	-0,0163	0,0010	-0,0044	0,0163	0,0044	0,0050	0,0217	0,0334	BHB MHB BHB
2-B18	30/60	0,0000	-0,0121	0,0040	-0,0016	0,0121	0,0040	0,0050	0,0217	0,0334	BHB MHB BHB
2-B23	30/60	0,0000	-0,0120	0,0063	-0,0023	0,0120	0,0063	0,0050	0,0217	0,0334	BHB BHB BHB
2-B24	30/60	0,0000	-0,0161	0,0023	-0,0054	0,0161	0,0054	0,0050	0,0217	0,0334	BHB BHB BHB
2-B25	30/60	0,0000	-0,0161	0,0023	-0,0051	0,0161	0,0051	0,0050	0,0217	0,0334	BHB BHB BHB
2-B26	30/60	0,0000	-0,0161	0,0023	-0,0051	0,0161	0,0051	0,0050	0,0217	0,0334	BHB BHB BHB
2-B27	30/60	0,0000	-0,0120	0,0063	-0,0014	0,0120	0,0063	0,0050	0,0217	0,0334	BHB BHB BHB
3-B5	30/60	0,0000	-0,0059	0,0000	-0,0037	0,0059	0,0037	0,0050	0,0217	0,0334	BHB MHB BHB
3-B6	30/60	0,0000	-0,0106	0,0000	-0,0048	0,0106	0,0048	0,0050	0,0217	0,0334	BHB MHB BHB
3-B7	30/60	0,0000	-0,0107	0,0000	-0,0068	0,0107	0,0068	0,0050	0,0217	0,0334	BHB BHB BHB
3-B8	30/60	0,0000	-0,0106	0,0000	-0,0047	0,0106	0,0047	0,0050	0,0217	0,0334	BHB MHB BHB
3-B9	30/60	0,0000	-0,0059	0,0000	-0,0038	0,0059	0,0038	0,0050	0,0217	0,0334	BHB MHB BHB
3-B14	30/60	0,0000	-0,0050	0,0000	-0,0036	0,0050	0,0036	0,0050	0,0217	0,0334	BHB MHB BHB
3-B15	30/60	0,0000	-0,0104	0,0000	-0,0053	0,0104	0,0053	0,0050	0,0217	0,0334	BHB BHB BHB
3-B16	30/60	0,0000	-0,0087	0,0000	-0,0069	0,0087	0,0069	0,0050	0,0217	0,0334	BHB BHB BHB
3-B17	30/60	0,0000	-0,0088	0,0000	-0,0095	0,0088	0,0095	0,0050	0,0217	0,0334	BHB BHB BHB
3-B18	30/60	0,0000	-0,0050	0,0000	-0,0038	0,0050	0,0038	0,0050	0,0217	0,0334	BHB MHB BHB
3-B23	30/60	0,0000	-0,0060	0,0002	-0,0023	0,0060	0,0023	0,0050	0,0217	0,0334	BHB MHB BHB
3-B24	30/60	0,0000	-0,0097	0,0000	-0,0066	0,0097	0,0066	0,0050	0,0217	0,0334	BHB BHB BHB
3-B25	30/60	0,0000	-0,0097	0,0000	-0,0070	0,0097	0,0070	0,0050	0,0217	0,0334	BHB BHB BHB
3-B26	30/60	0,0000	-0,0097	0,0000	-0,0068	0,0097	0,0068	0,0050	0,0217	0,0334	BHB BHB BHB
3-B27	30/60	0,0000	-0,0060	0,0002	-0,0028	0,0060	0,0028	0,0050	0,0217	0,0334	BHB MHB BHB
4-B5	30/60	0,0000	0,0000	0,0000	-0,0006	0,0000	0,0006	0,0050	0,0217	0,0334	MHB MHB MHB
4-B6	30/60	0,0000	-0,0023	0,0000	-0,0033	0,0023	0,0033	0,0050	0,0217	0,0334	MHB MHB MHB
4-B7	30/60	0,0000	-0,0024	0,0000	-0,0032	0,0024	0,0032	0,0050	0,0217	0,0334	MHB MHB MHB
4-B8	30/60	0,0000	-0,0023	0,0000	-0,0034	0,0023	0,0034	0,0050	0,0217	0,0334	MHB MHB MHB
4-B9	30/60	0,0000	0,0000	0,0000	-0,0007	0,0000	0,0007	0,0050	0,0217	0,0334	MHB MHB MHB
4-B14	30/60	0,0000	0,0000	0,0000	0,0000	0,0000	0,0000	0,0050	0,0217	0,0334	MHB MHB MHB
4-B15	30/60	0,0000	-0,0023	0,0000	-0,0033	0,0023	0,0033	0,0050	0,0217	0,0334	MHB MHB MHB
4-B16	30/60	0,0000	-0,0024	0,0000	-0,0033	0,0024	0,0033	0,0050	0,0217	0,0334	MHB MHB MHB
4-B17	30/60	0,0000	-0,0013	0,0000	-0,0035	0,0013	0,0035	0,0050	0,0217	0,0334	MHB MHB MHB
4-B18	30/60	0,0000	0,0000	0,0000	0,0000	0,0000	0,0000	0,0050	0,0217	0,0334	MHB MHB MHB
4-B23	30/60	0,0000	0,0000	0,0000	0,0000	0,0000	0,0000	0,0050	0,0217	0,0334	MHB MHB MHB
4-B24	30/60	0,0000	-0,0024	0,0000	-0,0024	0,0024	0,0024	0,0050	0,0217	0,0334	MHB MHB MHB
4-B25	30/60	0,0000	-0,0022	0,0000	-0,0030	0,0022	0,0030	0,0050	0,0217	0,0334	MHB MHB MHB
4-B26	30/60	0,0000	-0,0015	0,0000	-0,0026	0,0015	0,0026	0,0050	0,0217	0,0334	MHB MHB MHB

Tablo D.3. 14bolu-x-z-kiriş hasar sonuçları

KİRİŞ	KESİT	14 (YATAY-DUSEY) X YÖNÜ KİRİŞ DÖNMELERİ								HASAR SINIR DEĞERLERİ				KESİT HASAR
		mafşal dönme (i)		mafşal dönme (j)		mafşal dönme		MN	GV	GÇ	HASAR DURUMU	Sağ	Sol	
		radyan - max	radyan - min	radyan - max	radyan - min	Stağ	Sol	rad	rad	rad	BHB	BHB	BHB	
1-B1	30/60	0,0018	-0,0155	0,0143	-0,0034	<b>0,0155</b>	<b>0,0143</b>	<b>0,0065</b>	<b>0,0213</b>	<b>0,0328</b>	<b>BHB</b>	<b>BHB</b>	<b>BHB</b>	
1-B2	30/60	0,0035	-0,0148	0,0146	-0,0012	<b>0,0148</b>	<b>0,0146</b>	<b>0,0065</b>	<b>0,0213</b>	<b>0,0328</b>	<b>BHB</b>	<b>BHB</b>	<b>BHB</b>	
1-B3	30/60	0,0009	-0,0148	0,0146	-0,0012	<b>0,0148</b>	<b>0,0146</b>	<b>0,0065</b>	<b>0,0213</b>	<b>0,0328</b>	<b>BHB</b>	<b>BHB</b>	<b>BHB</b>	
1-B4	30/60	0,0009	-0,0146	0,0153	-0,0037	<b>0,0146</b>	<b>0,0153</b>	<b>0,0065</b>	<b>0,0213</b>	<b>0,0328</b>	<b>BHB</b>	<b>BHB</b>	<b>BHB</b>	
1-B10	30/60	0,0009	-0,0168	0,0134	-0,0022	<b>0,0168</b>	<b>0,0134</b>	<b>0,0065</b>	<b>0,0213</b>	<b>0,0328</b>	<b>BHB</b>	<b>BHB</b>	<b>BHB</b>	
1-B11	30/60	0,0000	-0,0157	0,0132	-0,0022	<b>0,0157</b>	<b>0,0132</b>	<b>0,0065</b>	<b>0,0213</b>	<b>0,0328</b>	<b>BHB</b>	<b>BHB</b>	<b>BHB</b>	
1-B12	30/60	0,0000	-0,0157	0,0132	-0,0021	<b>0,0157</b>	<b>0,0132</b>	<b>0,0065</b>	<b>0,0213</b>	<b>0,0328</b>	<b>BHB</b>	<b>BHB</b>	<b>BHB</b>	
1-B13	30/60	0,0000	-0,0154	0,0144	-0,0031	<b>0,0154</b>	<b>0,0144</b>	<b>0,0065</b>	<b>0,0213</b>	<b>0,0328</b>	<b>BHB</b>	<b>BHB</b>	<b>BHB</b>	
1-B19	30/60	0,0009	-0,0168	0,0134	-0,0022	<b>0,0168</b>	<b>0,0134</b>	<b>0,0065</b>	<b>0,0213</b>	<b>0,0328</b>	<b>BHB</b>	<b>BHB</b>	<b>BHB</b>	
1-B20	30/60	0,0000	-0,0157	0,0132	-0,0022	<b>0,0157</b>	<b>0,0132</b>	<b>0,0065</b>	<b>0,0213</b>	<b>0,0328</b>	<b>BHB</b>	<b>BHB</b>	<b>BHB</b>	
1-B21	30/60	0,0000	-0,0157	0,0132	-0,0021	<b>0,0157</b>	<b>0,0132</b>	<b>0,0065</b>	<b>0,0213</b>	<b>0,0328</b>	<b>BHB</b>	<b>BHB</b>	<b>BHB</b>	
1-B22	30/60	0,0000	-0,0154	0,0144	-0,0031	<b>0,0154</b>	<b>0,0144</b>	<b>0,0065</b>	<b>0,0213</b>	<b>0,0328</b>	<b>BHB</b>	<b>BHB</b>	<b>BHB</b>	
1-B28	30/60	0,0018	-0,0155	0,0143	-0,0034	<b>0,0155</b>	<b>0,0143</b>	<b>0,0065</b>	<b>0,0213</b>	<b>0,0328</b>	<b>BHB</b>	<b>BHB</b>	<b>BHB</b>	
1-B29	30/60	0,0035	-0,0148	0,0146	-0,0012	<b>0,0148</b>	<b>0,0146</b>	<b>0,0065</b>	<b>0,0213</b>	<b>0,0328</b>	<b>BHB</b>	<b>BHB</b>	<b>BHB</b>	
1-B30	30/60	0,0009	-0,0148	0,0146	-0,0012	<b>0,0148</b>	<b>0,0146</b>	<b>0,0065</b>	<b>0,0213</b>	<b>0,0328</b>	<b>BHB</b>	<b>BHB</b>	<b>BHB</b>	
1-B31	30/60	0,0009	-0,0146	0,0153	-0,0037	<b>0,0146</b>	<b>0,0153</b>	<b>0,0065</b>	<b>0,0213</b>	<b>0,0328</b>	<b>BHB</b>	<b>BHB</b>	<b>BHB</b>	
2-B1	30/60	0,0017	-0,0127	0,0100	-0,0015	<b>0,0127</b>	<b>0,0100</b>	<b>0,0065</b>	<b>0,0213</b>	<b>0,0328</b>	<b>BHB</b>	<b>BHB</b>	<b>BHB</b>	
2-B2	30/60	0,0013	-0,0105	0,0102	-0,0019	<b>0,0105</b>	<b>0,0102</b>	<b>0,0065</b>	<b>0,0213</b>	<b>0,0328</b>	<b>BHB</b>	<b>BHB</b>	<b>BHB</b>	
2-B3	30/60	0,0016	-0,0105	0,0102	-0,0020	<b>0,0105</b>	<b>0,0102</b>	<b>0,0065</b>	<b>0,0213</b>	<b>0,0328</b>	<b>BHB</b>	<b>BHB</b>	<b>BHB</b>	
2-B4	30/60	0,0018	-0,0102	0,0125	-0,0017	<b>0,0102</b>	<b>0,0125</b>	<b>0,0065</b>	<b>0,0213</b>	<b>0,0328</b>	<b>BHB</b>	<b>BHB</b>	<b>BHB</b>	
2-B10	30/60	0,0004	-0,0139	0,0102	-0,0021	<b>0,0139</b>	<b>0,0102</b>	<b>0,0065</b>	<b>0,0213</b>	<b>0,0328</b>	<b>BHB</b>	<b>BHB</b>	<b>BHB</b>	
2-B11	30/60	0,0000	-0,0126	0,0101	-0,0021	<b>0,0126</b>	<b>0,0101</b>	<b>0,0065</b>	<b>0,0213</b>	<b>0,0328</b>	<b>BHB</b>	<b>BHB</b>	<b>BHB</b>	
2-B12	30/60	0,0000	-0,0126	0,0101	-0,0021	<b>0,0126</b>	<b>0,0101</b>	<b>0,0065</b>	<b>0,0213</b>	<b>0,0328</b>	<b>BHB</b>	<b>BHB</b>	<b>BHB</b>	
2-B13	30/60	0,0000	-0,0123	0,0112	-0,0028	<b>0,0123</b>	<b>0,0112</b>	<b>0,0065</b>	<b>0,0213</b>	<b>0,0328</b>	<b>BHB</b>	<b>BHB</b>	<b>BHB</b>	
2-B19	30/60	0,0004	-0,0139	0,0102	-0,0021	<b>0,0139</b>	<b>0,0102</b>	<b>0,0065</b>	<b>0,0213</b>	<b>0,0328</b>	<b>BHB</b>	<b>BHB</b>	<b>BHB</b>	
2-B20	30/60	0,0000	-0,0126	0,0101	-0,0021	<b>0,0126</b>	<b>0,0101</b>	<b>0,0065</b>	<b>0,0213</b>	<b>0,0328</b>	<b>BHB</b>	<b>BHB</b>	<b>BHB</b>	
2-B21	30/60	0,0000	-0,0126	0,0101	-0,0021	<b>0,0126</b>	<b>0,0101</b>	<b>0,0065</b>	<b>0,0213</b>	<b>0,0328</b>	<b>BHB</b>	<b>BHB</b>	<b>BHB</b>	
2-B22	30/60	0,0000	-0,0123	0,0112	-0,0028	<b>0,0123</b>	<b>0,0112</b>	<b>0,0065</b>	<b>0,0213</b>	<b>0,0328</b>	<b>BHB</b>	<b>BHB</b>	<b>BHB</b>	
2-B28	30/60	0,0017	-0,0127	0,0100	-0,0015	<b>0,0127</b>	<b>0,0100</b>	<b>0,0065</b>	<b>0,0213</b>	<b>0,0328</b>	<b>BHB</b>	<b>BHB</b>	<b>BHB</b>	
2-B29	30/60	0,0013	-0,0105	0,0102	-0,0019	<b>0,0105</b>	<b>0,0102</b>	<b>0,0065</b>	<b>0,0213</b>	<b>0,0328</b>	<b>BHB</b>	<b>BHB</b>	<b>BHB</b>	
2-B30	30/60	0,0016	-0,0105	0,0102	-0,0020	<b>0,0105</b>	<b>0,0102</b>	<b>0,0065</b>	<b>0,0213</b>	<b>0,0328</b>	<b>BHB</b>	<b>BHB</b>	<b>BHB</b>	
2-B31	30/60	0,0018	-0,0102	0,0125	-0,0017	<b>0,0102</b>	<b>0,0125</b>	<b>0,0065</b>	<b>0,0213</b>	<b>0,0328</b>	<b>BHB</b>	<b>BHB</b>	<b>BHB</b>	
3-B1	30/60	0,0020	-0,0047	0,0026	-0,0050	<b>0,0047</b>	<b>0,0050</b>	<b>0,0065</b>	<b>0,0213</b>	<b>0,0328</b>	<b>MHB</b>	<b>MHB</b>	<b>MHB</b>	
3-B2	30/60	0,0055	-0,0031	0,0028	-0,0040	<b>0,0055</b>	<b>0,0040</b>	<b>0,0065</b>	<b>0,0213</b>	<b>0,0328</b>	<b>MHB</b>	<b>MHB</b>	<b>MHB</b>	
3-B3	30/60	0,0036	-0,0031	0,0029	-0,0056	<b>0,0036</b>	<b>0,0056</b>	<b>0,0065</b>	<b>0,0213</b>	<b>0,0328</b>	<b>MHB</b>	<b>MHB</b>	<b>MHB</b>	
3-B4	30/60	0,0047	-0,0029	0,0051	-0,0013	<b>0,0047</b>	<b>0,0051</b>	<b>0,0065</b>	<b>0,0213</b>	<b>0,0328</b>	<b>MHB</b>	<b>MHB</b>	<b>MHB</b>	
3-B10	30/60	0,0000	-0,0071	0,0073	-0,0010	<b>0,0071</b>	<b>0,0073</b>	<b>0,0065</b>	<b>0,0213</b>	<b>0,0328</b>	<b>BHB</b>	<b>BHB</b>	<b>BHB</b>	
3-B11	30/60	0,0000	-0,0100	0,0074	-0,0009	<b>0,0100</b>	<b>0,0074</b>	<b>0,0065</b>	<b>0,0213</b>	<b>0,0328</b>	<b>BHB</b>	<b>BHB</b>	<b>BHB</b>	
3-B12	30/60	0,0000	-0,0100	0,0072	-0,0009	<b>0,0100</b>	<b>0,0072</b>	<b>0,0065</b>	<b>0,0213</b>	<b>0,0328</b>	<b>BHB</b>	<b>BHB</b>	<b>BHB</b>	
3-B13	30/60	0,0000	-0,0094	0,0045	-0,0014	<b>0,0094</b>	<b>0,0045</b>	<b>0,0065</b>	<b>0,0213</b>	<b>0,0328</b>	<b>BHB</b>	<b>MHB</b>	<b>BHB</b>	
3-B19	30/60	0,0000	-0,0071	0,0073	-0,0010	<b>0,0071</b>	<b>0,0073</b>	<b>0,0065</b>	<b>0,0213</b>	<b>0,0328</b>	<b>BHB</b>	<b>BHB</b>	<b>BHB</b>	
3-B20	30/60	0,0000	-0,0100	0,0074	-0,0009	<b>0,0100</b>	<b>0,0074</b>	<b>0,0065</b>	<b>0,0213</b>	<b>0,0328</b>	<b>BHB</b>	<b>BHB</b>	<b>BHB</b>	
3-B21	30/60	0,0000	-0,0100	0,0072	-0,0009	<b>0,0100</b>	<b>0,0072</b>	<b>0,0065</b>	<b>0,0213</b>	<b>0,0328</b>	<b>BHB</b>	<b>BHB</b>	<b>BHB</b>	
3-B22	30/60	0,0000	-0,0094	0,0045	-0,0014	<b>0,0094</b>	<b>0,0045</b>	<b>0,0065</b>	<b>0,0213</b>	<b>0,0328</b>	<b>BHB</b>	<b>MHB</b>	<b>BHB</b>	
3-B28	30/60	0,0020	-0,0047	0,0026	-0,0050	<b>0,0047</b>	<b>0,0050</b>	<b>0,0065</b>	<b>0,0213</b>	<b>0,0328</b>	<b>MHB</b>	<b>MHB</b>	<b>MHB</b>	
3-B29	30/60	0,0055	-0,0031	0,0028	-0,0040	<b>0,0055</b>	<b>0,0040</b>	<b>0,0065</b>	<b>0,0213</b>	<b>0,0328</b>	<b>MHB</b>	<b>MHB</b>	<b>MHB</b>	
3-B30	30/60	0,0036	-0,0031	0,0029	-0,0056	<b>0,0036</b>	<b>0,0056</b>	<b>0,0065</b>	<b>0,0213</b>	<b>0,0328</b>	<b>MHB</b>	<b>MHB</b>	<b>MHB</b>	
3-B31	30/60	0,0047	-0,0029	0,0051	-0,0013	<b>0,0047</b>	<b>0,0051</b>	<b>0,0065</b>	<b>0,0213</b>	<b>0,0328</b>	<b>MHB</b>	<b>MHB</b>	<b>MHB</b>	

Tablo D.4. 14bolu-y-z-kiriş hasar sonuçları

KİRİŞ	KESİT	14 (YATAY-DUSEY) Y YÖNÜ KİRİŞ DÖNMELERİ				HASAR SINIR DEĞERLERİ			HASAR DURUMU		KESİT HASAR	
		radyan - max	radyan - min	radyan - max	radyan - min	mafşal dönme	MN	GV	GÇ	SAĞ	SOL	
1-B5	30/60	0,0000	-0,0154	0,0061	-0,0038	<b>0,0154</b>	<b>0,0061</b>	<b>0,0050</b>	<b>0,0217</b>	<b>0,0334</b>	<b>BHB</b>	<b>BHB</b>
1-B6	30/60	0,0000	-0,0191	0,0028	-0,0072	<b>0,0191</b>	<b>0,0072</b>	<b>0,0050</b>	<b>0,0217</b>	<b>0,0334</b>	<b>BHB</b>	<b>BHB</b>
1-B7	30/60	0,0000	-0,0192	0,0030	-0,0073	<b>0,0192</b>	<b>0,0073</b>	<b>0,0050</b>	<b>0,0217</b>	<b>0,0334</b>	<b>BHB</b>	<b>BHB</b>
1-B8	30/60	0,0000	-0,0194	0,0030	-0,0061	<b>0,0194</b>	<b>0,0061</b>	<b>0,0050</b>	<b>0,0217</b>	<b>0,0334</b>	<b>BHB</b>	<b>BHB</b>
1-B9	30/60	0,0000	-0,0160	0,0067	-0,0041	<b>0,0160</b>	<b>0,0067</b>	<b>0,0050</b>	<b>0,0217</b>	<b>0,0334</b>	<b>BHB</b>	<b>BHB</b>
1-B14	30/60	0,0000	-0,0143	0,0063	-0,0190	<b>0,0143</b>	<b>0,0190</b>	<b>0,0050</b>	<b>0,0217</b>	<b>0,0334</b>	<b>BHB</b>	<b>BHB</b>
1-B15	30/60	0,0000	-0,0180	0,0028	-0,0078	<b>0,0180</b>	<b>0,0078</b>	<b>0,0050</b>	<b>0,0217</b>	<b>0,0334</b>	<b>BHB</b>	<b>BHB</b>
1-B16	30/60	0,0000	-0,0182	0,0027	-0,0069	<b>0,0182</b>	<b>0,0069</b>	<b>0,0050</b>	<b>0,0217</b>	<b>0,0334</b>	<b>BHB</b>	<b>BHB</b>
1-B17	30/60	0,0000	-0,0183	0,0029	-0,0058	<b>0,0183</b>	<b>0,0058</b>	<b>0,0050</b>	<b>0,0217</b>	<b>0,0334</b>	<b>BHB</b>	<b>BHB</b>
1-B18	30/60	0,0000	-0,0151	0,0065	-0,0021	<b>0,0151</b>	<b>0,0065</b>	<b>0,0050</b>	<b>0,0217</b>	<b>0,0334</b>	<b>BHB</b>	<b>BHB</b>
1-B23	30/60	0,0121	-0,0142	0,0074	-0,0032	<b>0,0142</b>	<b>0,0074</b>	<b>0,0050</b>	<b>0,0217</b>	<b>0,0334</b>	<b>BHB</b>	<b>BHB</b>
1-B24	30/60	0,0000	-0,0179	0,0041	-0,0089	<b>0,0179</b>	<b>0,0089</b>	<b>0,0050</b>	<b>0,0217</b>	<b>0,0334</b>	<b>BHB</b>	<b>BHB</b>
1-B25	30/60	0,0000	-0,0178	0,0043	-0,0084	<b>0,0178</b>	<b>0,0084</b>	<b>0,0050</b>	<b>0,0217</b>	<b>0,0334</b>	<b>BHB</b>	<b>BHB</b>
1-B26	30/60	0,0000	-0,0180	0,0044	-0,0087	<b>0,0180</b>	<b>0,0087</b>	<b>0,0050</b>	<b>0,0217</b>	<b>0,0334</b>	<b>BHB</b>	<b>BHB</b>
1-B27	30/60	0,0000	-0,0139	0,0077	-0,0101	<b>0,0139</b>	<b>0,0101</b>	<b>0,0050</b>	<b>0,0217</b>	<b>0,0334</b>	<b>BHB</b>	<b>BHB</b>
2-B5	30/60	0,0000	-0,0137	0,0036	-0,0040	<b>0,0137</b>	<b>0,0040</b>	<b>0,0050</b>	<b>0,0217</b>	<b>0,0334</b>	<b>BHB</b>	<b>MHB</b>
2-B6	30/60	0,0000	-0,0174	0,0012	-0,0072	<b>0,0174</b>	<b>0,0072</b>	<b>0,0050</b>	<b>0,0217</b>	<b>0,0334</b>	<b>BHB</b>	<b>BHB</b>
2-B7	30/60	0,0000	-0,0174	0,0010	-0,0075	<b>0,0174</b>	<b>0,0075</b>	<b>0,0050</b>	<b>0,0217</b>	<b>0,0334</b>	<b>BHB</b>	<b>BHB</b>
2-B8	30/60	0,0000	-0,0175	0,0010	-0,0062	<b>0,0175</b>	<b>0,0062</b>	<b>0,0050</b>	<b>0,0217</b>	<b>0,0334</b>	<b>BHB</b>	<b>BHB</b>
2-B9	30/60	0,0000	-0,0140	0,0039	-0,0038	<b>0,0140</b>	<b>0,0039</b>	<b>0,0050</b>	<b>0,0217</b>	<b>0,0334</b>	<b>BHB</b>	<b>MHB</b>
2-B14	30/60	0,0000	-0,0118	0,0038	-0,0028	<b>0,0118</b>	<b>0,0038</b>	<b>0,0050</b>	<b>0,0217</b>	<b>0,0334</b>	<b>BHB</b>	<b>MHB</b>
2-B15	30/60	0,0000	-0,0164	0,0008	-0,0081	<b>0,0164</b>	<b>0,0081</b>	<b>0,0050</b>	<b>0,0217</b>	<b>0,0334</b>	<b>BHB</b>	<b>BHB</b>
2-B16	30/60	0,0000	-0,0162	0,0009	-0,0084	<b>0,0162</b>	<b>0,0084</b>	<b>0,0050</b>	<b>0,0217</b>	<b>0,0334</b>	<b>BHB</b>	<b>BHB</b>
2-B17	30/60	0,0000	-0,0162	0,0009	-0,0082	<b>0,0162</b>	<b>0,0082</b>	<b>0,0050</b>	<b>0,0217</b>	<b>0,0334</b>	<b>BHB</b>	<b>BHB</b>
2-B18	30/60	0,0000	-0,0123	0,0042	-0,0032	<b>0,0123</b>	<b>0,0042</b>	<b>0,0050</b>	<b>0,0217</b>	<b>0,0334</b>	<b>BHB</b>	<b>MHB</b>
2-B23	30/60	0,0000	-0,0116	0,0059	-0,0055	<b>0,0116</b>	<b>0,0059</b>	<b>0,0050</b>	<b>0,0217</b>	<b>0,0334</b>	<b>BHB</b>	<b>BHB</b>
2-B24	30/60	0,0000	-0,0158	0,0020	-0,0088	<b>0,0158</b>	<b>0,0088</b>	<b>0,0050</b>	<b>0,0217</b>	<b>0,0334</b>	<b>BHB</b>	<b>BHB</b>
2-B25	30/60	0,0000	-0,0159	0,0020	-0,0086	<b>0,0159</b>	<b>0,0086</b>	<b>0,0050</b>	<b>0,0217</b>	<b>0,0334</b>	<b>BHB</b>	<b>BHB</b>
2-B26	30/60	0,0000	-0,0160	0,0021	-0,0084	<b>0,0160</b>	<b>0,0084</b>	<b>0,0050</b>	<b>0,0217</b>	<b>0,0334</b>	<b>BHB</b>	<b>BHB</b>
2-B27	30/60	0,0000	-0,0116	0,0059	-0,0041	<b>0,0116</b>	<b>0,0059</b>	<b>0,0050</b>	<b>0,0217</b>	<b>0,0334</b>	<b>BHB</b>	<b>BHB</b>
3-B5	30/60	0,0000	-0,0066	0,0000	-0,0045	<b>0,0066</b>	<b>0,0045</b>	<b>0,0050</b>	<b>0,0217</b>	<b>0,0334</b>	<b>BHB</b>	<b>MHB</b>
3-B6	30/60	0,0000	-0,0110	0,0000	-0,0066	<b>0,0110</b>	<b>0,0066</b>	<b>0,0050</b>	<b>0,0217</b>	<b>0,0334</b>	<b>BHB</b>	<b>BHB</b>
3-B7	30/60	0,0000	-0,0112	0,0000	-0,0100	<b>0,0112</b>	<b>0,0100</b>	<b>0,0050</b>	<b>0,0217</b>	<b>0,0334</b>	<b>BHB</b>	<b>BHB</b>
3-B8	30/60	0,0000	-0,0112	0,0000	-0,0021	<b>0,0112</b>	<b>0,0021</b>	<b>0,0050</b>	<b>0,0217</b>	<b>0,0334</b>	<b>BHB</b>	<b>MHB</b>
3-B9	30/60	0,0000	-0,0070	0,0000	-0,0077	<b>0,0070</b>	<b>0,0077</b>	<b>0,0050</b>	<b>0,0217</b>	<b>0,0334</b>	<b>BHB</b>	<b>BHB</b>
3-B14	30/60	0,0000	-0,0051	0,0000	-0,0104	<b>0,0051</b>	<b>0,0104</b>	<b>0,0050</b>	<b>0,0217</b>	<b>0,0334</b>	<b>BHB</b>	<b>BHB</b>
3-B15	30/60	0,0000	-0,0091	0,0000	-0,0071	<b>0,0091</b>	<b>0,0071</b>	<b>0,0050</b>	<b>0,0217</b>	<b>0,0334</b>	<b>BHB</b>	<b>BHB</b>
3-B16	30/60	0,0000	-0,0093	0,0000	-0,0072	<b>0,0093</b>	<b>0,0072</b>	<b>0,0050</b>	<b>0,0217</b>	<b>0,0334</b>	<b>BHB</b>	<b>BHB</b>
3-B17	30/60	0,0000	-0,0120	0,0000	-0,0046	<b>0,0120</b>	<b>0,0046</b>	<b>0,0050</b>	<b>0,0217</b>	<b>0,0334</b>	<b>BHB</b>	<b>MHB</b>
3-B18	30/60	0,0000	-0,0057	0,0000	-0,0033	<b>0,0057</b>	<b>0,0033</b>	<b>0,0050</b>	<b>0,0217</b>	<b>0,0334</b>	<b>BHB</b>	<b>MHB</b>
3-B23	30/60	0,0031	-0,0059	0,0002	-0,0040	<b>0,0059</b>	<b>0,0040</b>	<b>0,0050</b>	<b>0,0217</b>	<b>0,0334</b>	<b>BHB</b>	<b>MHB</b>
3-B24	30/60	0,0000	-0,0100	0,0000	-0,0079	<b>0,0100</b>	<b>0,0079</b>	<b>0,0050</b>	<b>0,0217</b>	<b>0,0334</b>	<b>BHB</b>	<b>BHB</b>
3-B25	30/60	0,0000	-0,0101	0,0000	-0,0077	<b>0,0101</b>	<b>0,0077</b>	<b>0,0050</b>	<b>0,0217</b>	<b>0,0334</b>	<b>BHB</b>	<b>BHB</b>
3-B26	30/60	0,0000	-0,0101	0,0000	-0,0077	<b>0,0101</b>	<b>0,0077</b>	<b>0,0050</b>	<b>0,0217</b>	<b>0,0334</b>	<b>BHB</b>	<b>BHB</b>
3-B27	30/60	0,0000	-0,0058	0,0003	-0,0035	<b>0,0058</b>	<b>0,0035</b>	<b>0,0050</b>	<b>0,0217</b>	<b>0,0334</b>	<b>BHB</b>	<b>MHB</b>
4-B5	30/60	0,0000	0,0000	0,0000	-0,0011	<b>0,0000</b>	<b>0,0011</b>	<b>0,0050</b>	<b>0,0217</b>	<b>0,0334</b>	<b>MHB</b>	<b>MHB</b>
4-B6	30/60	0,0000	-0,0008	0,0000	-0,0037	<b>0,0008</b>	<b>0,0037</b>	<b>0,0050</b>	<b>0,0217</b>	<b>0,0334</b>	<b>MHB</b>	<b>MHB</b>
4-B7	30/60	0,0000	-0,0008	0,0000	-0,0039	<b>0,0008</b>	<b>0,0039</b>	<b>0,0050</b>	<b>0,0217</b>	<b>0,0334</b>	<b>MHB</b>	<b>MHB</b>
4-B8	30/60	0,0000	-0,0009	0,0000	-0,0041	<b>0,0009</b>	<b>0,0041</b>	<b>0,0050</b>	<b>0,0217</b>	<b>0,0334</b>	<b>MHB</b>	<b>MHB</b>
4-B9	30/60	0,0000	0,0000	0,0000	-0,0019	<b>0,0000</b>	<b>0,0019</b>	<b>0,0050</b>	<b>0,0217</b>	<b>0,0334</b>	<b>MHB</b>	<b>MHB</b>
4-B14	30/60	0,0000	0,0000	0,0000	-0,0002	<b>0,0000</b>	<b>0,0002</b>	<b>0,0050</b>	<b>0,0217</b>	<b>0,0334</b>	<b>MHB</b>	<b>MHB</b>
4-B15	30/60	0,0000	-0,0011	0,0000	-0,0038	<b>0,0011</b>	<b>0,0038</b>	<b>0,0050</b>	<b>0,0217</b>	<b>0,0334</b>	<b>MHB</b>	<b>MHB</b>
4-B16	30/60	0,0000	-0,0009	0,0000	-0,0041	<b>0,0009</b>	<b>0,0041</b>	<b>0,0050</b>	<b>0,0217</b>	<b>0,0334</b>	<b>MHB</b>	<b>MHB</b>
4-B17	30/60	0,0000	-0,0009	0,0000	-0,0043	<b>0,0009</b>	<b>0,0043</b>	<b>0,0050</b>	<b>0,0217</b>	<b>0,0334</b>	<b>MHB</b>	<b>MHB</b>
4-B18	30/60	0,0000	0,0000	0,0000	-0,0008	<b>0,0000</b>	<b>0,0008</b>	<b>0,0050</b>	<b>0,0217</b>	<b>0,0334</b>	<b>MHB</b>	<b>MHB</b>
4-B23	30/60	0,0000	0,0000	0,0000	-0,0008	<b>0,0000</b>	<b>0,0008</b>	<b>0,0050</b>	<b>0,0217</b>	<b>0,0334</b>	<b>MHB</b>	<b>MHB</b>
4-B24	30/60	0,0000	-0,0011	0,0000	-0,0033	<b>0,0011</b>	<b>0,0033</b>	<b>0,0050</b>	<b>0,0217</b>	<b>0,0334</b>	<b>MHB</b>	<b>MHB</b>
4-B25	30/60	0,0000	-0,0011	0,0000	-0,0034	<b>0,0011</b>	<b>0,0034</b>	<b>0,0050</b>	<b>0,0217</b>	<b>0,0334</b>	<b>MHB</b>	<b>MHB</b>
4-B26	30/60	0,0000	-0,0010	0,0000	-0,0036	<b>0,0010</b>	<b>0,0036</b>	<b>0,0050</b>	<b>0,0217</b>	<b>0,0334</b>	<b>MHB</b>	<b>MHB</b>
4-B27	30/60	0,0000	0,0000	0,0000	-0,0010	<b>0,0000</b>	<b>0,0010</b>	<b>0,0050</b>	<b>0,0217</b>	<b>0,0334</b>	<b>MHB</b>	<b>MHB</b>

Tablo D.5. 15bingöl-x-kiriş hasar sonuçları

KİRİŞ	KESİT	15 (YATAY) X YÖNÜ KİRİŞ DÖNMELERİ						HASAR SINIR DEĞERLERİ			HASAR DURUMU		KESİT HASAR
		mafşal dönme (i)		mafşal dönme (j)		mafşal dönme		MN	GV	GÇ			
		radyan - max	radyan- min	radyan - max	radyan- min	Sağ	Sol	rad	rad	rad	SAĞ	SOL	
1-B1	30/60	0,0016	0,0000	0,0000	-0,0007	0,0016	0,0007	0,0065	0,0213	0,0328	MHB	MHB	MHB
1-B2	30/60	0,0006	0,0000	0,0000	-0,0008	0,0006	0,0008	0,0065	0,0213	0,0328	MHB	MHB	MHB
1-B3	30/60	0,0006	0,0000	0,0000	-0,0008	0,0006	0,0008	0,0065	0,0213	0,0328	MHB	MHB	MHB
1-B4	30/60	0,0006	0,0000	0,0000	-0,0017	0,0006	0,0017	0,0065	0,0213	0,0328	MHB	MHB	MHB
1-B10	30/60	0,0007	0,0000	0,0000	-0,0019	0,0007	0,0019	0,0065	0,0213	0,0328	MHB	MHB	MHB
1-B11	30/60	0,0000	0,0000	0,0000	-0,0017	0,0000	0,0017	0,0065	0,0213	0,0328	MHB	MHB	MHB
1-B12	30/60	0,0000	0,0000	0,0000	-0,0017	0,0000	0,0017	0,0065	0,0213	0,0328	MHB	MHB	MHB
1-B13	30/60	0,0000	0,0000	0,0000	-0,0026	0,0000	0,0026	0,0065	0,0213	0,0328	MHB	MHB	MHB
1-B19	30/60	0,0007	0,0000	0,0000	-0,0019	0,0007	0,0019	0,0065	0,0213	0,0328	MHB	MHB	MHB
1-B20	30/60	0,0000	0,0000	0,0000	-0,0017	0,0000	0,0017	0,0065	0,0213	0,0328	MHB	MHB	MHB
1-B21	30/60	0,0000	0,0000	0,0000	-0,0017	0,0000	0,0017	0,0065	0,0213	0,0328	MHB	MHB	MHB
1-B22	30/60	0,0000	0,0000	0,0000	-0,0026	0,0000	0,0026	0,0065	0,0213	0,0328	MHB	MHB	MHB
1-B28	30/60	0,0016	0,0000	0,0000	-0,0007	0,0016	0,0007	0,0065	0,0213	0,0328	MHB	MHB	MHB
1-B29	30/60	0,0006	0,0000	0,0000	-0,0008	0,0006	0,0008	0,0065	0,0213	0,0328	MHB	MHB	MHB
1-B30	30/60	0,0006	0,0000	0,0000	-0,0008	0,0006	0,0008	0,0065	0,0213	0,0328	MHB	MHB	MHB
1-B31	30/60	0,0006	0,0000	0,0000	-0,0017	0,0006	0,0017	0,0065	0,0213	0,0328	MHB	MHB	MHB
2-B10	30/60	0,0000	0,0000	0,0000	-0,0001	0,0000	0,0001	0,0065	0,0213	0,0328	MHB	MHB	MHB
2-B13	30/60	0,0000	0,0000	0,0000	-0,0005	0,0000	0,0005	0,0065	0,0213	0,0328	MHB	MHB	MHB
2-B19	30/60	0,0000	0,0000	0,0000	-0,0001	0,0000	0,0001	0,0065	0,0213	0,0328	MHB	MHB	MHB
2-B22	30/60	0,0000	0,0000	0,0000	-0,0005	0,0000	0,0005	0,0065	0,0213	0,0328	MHB	MHB	MHB
3-B10	30/60	0,0000	0,0000	0,0000	-0,0002	0,0000	0,0002	0,0065	0,0213	0,0328	MHB	MHB	MHB
3-B11	30/60	0,0000	0,0000	0,0000	-0,0001	0,0000	0,0001	0,0065	0,0213	0,0328	MHB	MHB	MHB
3-B12	30/60	0,0000	0,0000	0,0000	-0,0001	0,0000	0,0001	0,0065	0,0213	0,0328	MHB	MHB	MHB
3-B13	30/60	0,0000	0,0000	0,0000	-0,0004	0,0000	0,0004	0,0065	0,0213	0,0328	MHB	MHB	MHB
3-B19	30/60	0,0000	0,0000	0,0000	-0,0002	0,0000	0,0002	0,0065	0,0213	0,0328	MHB	MHB	MHB
3-B20	30/60	0,0000	0,0000	0,0000	-0,0001	0,0000	0,0001	0,0065	0,0213	0,0328	MHB	MHB	MHB
3-B21	30/60	0,0000	0,0000	0,0000	-0,0001	0,0000	0,0001	0,0065	0,0213	0,0328	MHB	MHB	MHB
3-B22	30/60	0,0000	0,0000	0,0000	-0,0004	0,0000	0,0004	0,0065	0,0213	0,0328	MHB	MHB	MHB

Tablo D.6. 15bingöl-y-kiriş hasar sonuçları

KİRİŞ	KESİT	15 (YATAY) Y YÖNÜ KİRİŞ DÖNMELERİ				HASAR SINIR DEĞERLERİ			HASAR DURUMU		KESİT HASAR	
		radyan - max	radyan - min	radyan - max	radyan - min	mafşal dönme	MN	GV	GÇ	SAĞ	SOL	
1-B5	30/60	0,0000	-0,0001	0,0000	-0,0025	<b>0,0001</b>	<b>0,0025</b>	<b>0,0050</b>	<b>0,0217</b>	<b>0,0334</b>	<b>MHB</b>	<b>MHB</b>
1-B6	30/60	0,0000	-0,0051	0,0000	-0,0047	<b>0,0051</b>	<b>0,0047</b>	<b>0,0050</b>	<b>0,0217</b>	<b>0,0334</b>	<b>BHB</b>	<b>MHB</b>
1-B7	30/60	0,0000	-0,0053	0,0000	-0,0047	<b>0,0053</b>	<b>0,0047</b>	<b>0,0050</b>	<b>0,0217</b>	<b>0,0334</b>	<b>BHB</b>	<b>MHB</b>
1-B8	30/60	0,0000	-0,0055	0,0000	-0,0047	<b>0,0055</b>	<b>0,0047</b>	<b>0,0050</b>	<b>0,0217</b>	<b>0,0334</b>	<b>BHB</b>	<b>MHB</b>
1-B9	30/60	0,0000	-0,0012	0,0000	-0,0025	<b>0,0012</b>	<b>0,0025</b>	<b>0,0050</b>	<b>0,0217</b>	<b>0,0334</b>	<b>MHB</b>	<b>MHB</b>
1-B14	30/60	0,0000	0,0000	0,0000	-0,0021	<b>0,0000</b>	<b>0,0021</b>	<b>0,0050</b>	<b>0,0217</b>	<b>0,0334</b>	<b>MHB</b>	<b>MHB</b>
1-B15	30/60	0,0000	-0,0038	0,0000	-0,0041	<b>0,0038</b>	<b>0,0041</b>	<b>0,0050</b>	<b>0,0217</b>	<b>0,0334</b>	<b>MHB</b>	<b>MHB</b>
1-B16	30/60	0,0000	-0,0040	0,0000	-0,0041	<b>0,0040</b>	<b>0,0041</b>	<b>0,0050</b>	<b>0,0217</b>	<b>0,0334</b>	<b>MHB</b>	<b>MHB</b>
1-B17	30/60	0,0000	-0,0042	0,0000	-0,0041	<b>0,0042</b>	<b>0,0041</b>	<b>0,0050</b>	<b>0,0217</b>	<b>0,0334</b>	<b>MHB</b>	<b>MHB</b>
1-B18	30/60	0,0000	-0,0010	0,0000	-0,0021	<b>0,0010</b>	<b>0,0021</b>	<b>0,0050</b>	<b>0,0217</b>	<b>0,0334</b>	<b>MHB</b>	<b>MHB</b>
1-B23	30/60	0,0000	0,0000	0,0000	-0,0026	<b>0,0000</b>	<b>0,0026</b>	<b>0,0050</b>	<b>0,0217</b>	<b>0,0334</b>	<b>MHB</b>	<b>MHB</b>
1-B24	30/60	0,0000	-0,0047	0,0000	-0,0047	<b>0,0047</b>	<b>0,0047</b>	<b>0,0050</b>	<b>0,0217</b>	<b>0,0334</b>	<b>MHB</b>	<b>MHB</b>
1-B25	30/60	0,0000	-0,0049	0,0000	-0,0047	<b>0,0049</b>	<b>0,0047</b>	<b>0,0050</b>	<b>0,0217</b>	<b>0,0334</b>	<b>MHB</b>	<b>MHB</b>
1-B26	30/60	0,0000	-0,0051	0,0000	-0,0047	<b>0,0051</b>	<b>0,0047</b>	<b>0,0050</b>	<b>0,0217</b>	<b>0,0334</b>	<b>BHB</b>	<b>MHB</b>
1-B27	30/60	0,0000	-0,0015	0,0000	-0,0026	<b>0,0015</b>	<b>0,0026</b>	<b>0,0050</b>	<b>0,0217</b>	<b>0,0334</b>	<b>MHB</b>	<b>MHB</b>
2-B5	30/60	0,0000	-0,0002	0,0000	-0,0017	<b>0,0002</b>	<b>0,0017</b>	<b>0,0050</b>	<b>0,0217</b>	<b>0,0334</b>	<b>MHB</b>	<b>MHB</b>
2-B6	30/60	0,0000	-0,0029	0,0000	-0,0036	<b>0,0029</b>	<b>0,0036</b>	<b>0,0050</b>	<b>0,0217</b>	<b>0,0334</b>	<b>MHB</b>	<b>MHB</b>
2-B7	30/60	0,0000	-0,0030	0,0000	-0,0036	<b>0,0030</b>	<b>0,0036</b>	<b>0,0050</b>	<b>0,0217</b>	<b>0,0334</b>	<b>MHB</b>	<b>MHB</b>
2-B8	30/60	0,0000	-0,0030	0,0000	-0,0036	<b>0,0030</b>	<b>0,0036</b>	<b>0,0050</b>	<b>0,0217</b>	<b>0,0334</b>	<b>MHB</b>	<b>MHB</b>
2-B9	30/60	0,0000	-0,0002	0,0000	-0,0017	<b>0,0002</b>	<b>0,0017</b>	<b>0,0050</b>	<b>0,0217</b>	<b>0,0334</b>	<b>MHB</b>	<b>MHB</b>
2-B14	30/60	0,0000	0,0000	0,0000	-0,0015	<b>0,0000</b>	<b>0,0015</b>	<b>0,0050</b>	<b>0,0217</b>	<b>0,0334</b>	<b>MHB</b>	<b>MHB</b>
2-B15	30/60	0,0000	-0,0023	0,0000	-0,0033	<b>0,0023</b>	<b>0,0033</b>	<b>0,0050</b>	<b>0,0217</b>	<b>0,0334</b>	<b>MHB</b>	<b>MHB</b>
2-B16	30/60	0,0000	-0,0023	0,0000	-0,0033	<b>0,0023</b>	<b>0,0033</b>	<b>0,0050</b>	<b>0,0217</b>	<b>0,0334</b>	<b>MHB</b>	<b>MHB</b>
2-B17	30/60	0,0000	-0,0023	0,0000	-0,0033	<b>0,0023</b>	<b>0,0033</b>	<b>0,0050</b>	<b>0,0217</b>	<b>0,0334</b>	<b>MHB</b>	<b>MHB</b>
2-B18	30/60	0,0000	0,0000	0,0000	-0,0015	<b>0,0000</b>	<b>0,0015</b>	<b>0,0050</b>	<b>0,0217</b>	<b>0,0334</b>	<b>MHB</b>	<b>MHB</b>
2-B23	30/60	0,0000	0,0000	0,0000	-0,0019	<b>0,0000</b>	<b>0,0019</b>	<b>0,0050</b>	<b>0,0217</b>	<b>0,0334</b>	<b>MHB</b>	<b>MHB</b>
2-B24	30/60	0,0000	-0,0030	0,0000	-0,0037	<b>0,0030</b>	<b>0,0037</b>	<b>0,0050</b>	<b>0,0217</b>	<b>0,0334</b>	<b>MHB</b>	<b>MHB</b>
2-B25	30/60	0,0000	-0,0031	0,0000	-0,0037	<b>0,0031</b>	<b>0,0037</b>	<b>0,0050</b>	<b>0,0217</b>	<b>0,0334</b>	<b>MHB</b>	<b>MHB</b>
2-B26	30/60	0,0000	-0,0031	0,0000	-0,0037	<b>0,0031</b>	<b>0,0037</b>	<b>0,0050</b>	<b>0,0217</b>	<b>0,0334</b>	<b>MHB</b>	<b>MHB</b>
2-B27	30/60	0,0000	0,0000	0,0000	-0,0019	<b>0,0000</b>	<b>0,0019</b>	<b>0,0050</b>	<b>0,0217</b>	<b>0,0334</b>	<b>MHB</b>	<b>MHB</b>
3-B5	30/60	0,0000	0,0000	0,0000	-0,0006	<b>0,0000</b>	<b>0,0006</b>	<b>0,0050</b>	<b>0,0217</b>	<b>0,0334</b>	<b>MHB</b>	<b>MHB</b>
3-B6	30/60	0,0000	-0,0026	0,0000	-0,0029	<b>0,0026</b>	<b>0,0029</b>	<b>0,0050</b>	<b>0,0217</b>	<b>0,0334</b>	<b>MHB</b>	<b>MHB</b>
3-B7	30/60	0,0000	-0,0027	0,0000	-0,0029	<b>0,0027</b>	<b>0,0029</b>	<b>0,0050</b>	<b>0,0217</b>	<b>0,0334</b>	<b>MHB</b>	<b>MHB</b>
3-B8	30/60	0,0000	-0,0027	0,0000	-0,0029	<b>0,0027</b>	<b>0,0029</b>	<b>0,0050</b>	<b>0,0217</b>	<b>0,0334</b>	<b>MHB</b>	<b>MHB</b>
3-B9	30/60	0,0000	0,0000	0,0000	-0,0006	<b>0,0000</b>	<b>0,0006</b>	<b>0,0050</b>	<b>0,0217</b>	<b>0,0334</b>	<b>MHB</b>	<b>MHB</b>
3-B14	30/60	0,0000	0,0000	0,0000	-0,0004	<b>0,0000</b>	<b>0,0004</b>	<b>0,0050</b>	<b>0,0217</b>	<b>0,0334</b>	<b>MHB</b>	<b>MHB</b>
3-B15	30/60	0,0000	-0,0022	0,0000	-0,0027	<b>0,0022</b>	<b>0,0027</b>	<b>0,0050</b>	<b>0,0217</b>	<b>0,0334</b>	<b>MHB</b>	<b>MHB</b>
3-B16	30/60	0,0000	-0,0022	0,0000	-0,0027	<b>0,0022</b>	<b>0,0027</b>	<b>0,0050</b>	<b>0,0217</b>	<b>0,0334</b>	<b>MHB</b>	<b>MHB</b>
3-B17	30/60	0,0000	-0,0022	0,0000	-0,0027	<b>0,0022</b>	<b>0,0027</b>	<b>0,0050</b>	<b>0,0217</b>	<b>0,0334</b>	<b>MHB</b>	<b>MHB</b>
3-B18	30/60	0,0000	0,0000	0,0000	-0,0004	<b>0,0000</b>	<b>0,0004</b>	<b>0,0050</b>	<b>0,0217</b>	<b>0,0334</b>	<b>MHB</b>	<b>MHB</b>
3-B23	30/60	0,0000	0,0000	0,0000	-0,0004	<b>0,0000</b>	<b>0,0004</b>	<b>0,0050</b>	<b>0,0217</b>	<b>0,0334</b>	<b>MHB</b>	<b>MHB</b>
3-B24	30/60	0,0000	-0,0027	0,0000	-0,0029	<b>0,0027</b>	<b>0,0029</b>	<b>0,0050</b>	<b>0,0217</b>	<b>0,0334</b>	<b>MHB</b>	<b>MHB</b>
3-B25	30/60	0,0000	-0,0027	0,0000	-0,0029	<b>0,0027</b>	<b>0,0029</b>	<b>0,0050</b>	<b>0,0217</b>	<b>0,0334</b>	<b>MHB</b>	<b>MHB</b>
3-B26	30/60	0,0000	-0,0027	0,0000	-0,0029	<b>0,0027</b>	<b>0,0029</b>	<b>0,0050</b>	<b>0,0217</b>	<b>0,0334</b>	<b>MHB</b>	<b>MHB</b>
3-B27	30/60	0,0000	0,0000	0,0000	-0,0004	<b>0,0000</b>	<b>0,0004</b>	<b>0,0050</b>	<b>0,0217</b>	<b>0,0334</b>	<b>MHB</b>	<b>MHB</b>

Tablo D.7. 15bingöl-x-z-kiriş hasar sonuçları

KİRİŞ	KESİT	15 (YATAY-DUSEY) X YÖNÜ KİRİŞ DÖNMELERİ						HASAR SINIR DEĞERLERİ			HASAR DURUMU		KESİT HASAR
		mafşal dönme (i)		mafşal dönme (j)		mafşal dönme		MN	GV	GÇ			
		radyan - max	radyan- min	radyan - max	radyan- min	Sağ	Sol	rad	rad	rad	SAĞ	SOL	
1-B1	30/60	0,0016	0,0000	0,0000	-0,0007	0,0016	0,0007	0,0065	0,0213	0,0328	MHB	MHB	MHB
1-B2	30/60	0,0006	0,0000	0,0000	-0,0008	0,0006	0,0008	0,0065	0,0213	0,0328	MHB	MHB	MHB
1-B3	30/60	0,0006	0,0000	0,0000	-0,0009	0,0006	0,0009	0,0065	0,0213	0,0328	MHB	MHB	MHB
1-B4	30/60	0,0006	0,0000	0,0000	-0,0018	0,0006	0,0018	0,0065	0,0213	0,0328	MHB	MHB	MHB
1-B10	30/60	0,0007	0,0000	0,0000	-0,0018	0,0007	0,0018	0,0065	0,0213	0,0328	MHB	MHB	MHB
1-B11	30/60	0,0000	0,0000	0,0000	-0,0016	0,0000	0,0016	0,0065	0,0213	0,0328	MHB	MHB	MHB
1-B12	30/60	0,0000	0,0000	0,0000	-0,0016	0,0000	0,0016	0,0065	0,0213	0,0328	MHB	MHB	MHB
1-B13	30/60	0,0000	0,0000	0,0000	-0,0027	0,0000	0,0027	0,0065	0,0213	0,0328	MHB	MHB	MHB
1-B19	30/60	0,0007	0,0000	0,0000	-0,0018	0,0007	0,0018	0,0065	0,0213	0,0328	MHB	MHB	MHB
1-B20	30/60	0,0000	0,0000	0,0000	-0,0016	0,0000	0,0016	0,0065	0,0213	0,0328	MHB	MHB	MHB
1-B21	30/60	0,0000	0,0000	0,0000	-0,0016	0,0000	0,0016	0,0065	0,0213	0,0328	MHB	MHB	MHB
1-B22	30/60	0,0000	0,0000	0,0000	-0,0027	0,0000	0,0027	0,0065	0,0213	0,0328	MHB	MHB	MHB
1-B28	30/60	0,0016	0,0000	0,0000	-0,0007	0,0016	0,0007	0,0065	0,0213	0,0328	MHB	MHB	MHB
1-B29	30/60	0,0006	0,0000	0,0000	-0,0008	0,0006	0,0008	0,0065	0,0213	0,0328	MHB	MHB	MHB
1-B30	30/60	0,0006	0,0000	0,0000	-0,0009	0,0006	0,0009	0,0065	0,0213	0,0328	MHB	MHB	MHB
1-B31	30/60	0,0006	0,0000	0,0000	-0,0018	0,0006	0,0018	0,0065	0,0213	0,0328	MHB	MHB	MHB
2-B10	30/60	0,0000	0,0000	0,0000	-0,0002	0,0000	0,0002	0,0065	0,0213	0,0328	MHB	MHB	MHB
2-B13	30/60	0,0000	0,0000	0,0000	-0,0005	0,0000	0,0005	0,0065	0,0213	0,0328	MHB	MHB	MHB
2-B19	30/60	0,0000	0,0000	0,0000	-0,0002	0,0000	0,0002	0,0065	0,0213	0,0328	MHB	MHB	MHB
2-B22	30/60	0,0000	0,0000	0,0000	-0,0005	0,0000	0,0005	0,0065	0,0213	0,0328	MHB	MHB	MHB
3-B10	30/60	0,0000	0,0000	0,0000	-0,0002	0,0000	0,0002	0,0065	0,0213	0,0328	MHB	MHB	MHB
3-B11	30/60	0,0000	0,0000	0,0000	-0,0001	0,0000	0,0001	0,0065	0,0213	0,0328	MHB	MHB	MHB
3-B12	30/60	0,0000	0,0000	0,0000	-0,0001	0,0000	0,0001	0,0065	0,0213	0,0328	MHB	MHB	MHB
3-B13	30/60	0,0000	0,0000	0,0000	-0,0004	0,0000	0,0004	0,0065	0,0213	0,0328	MHB	MHB	MHB
3-B19	30/60	0,0000	0,0000	0,0000	-0,0002	0,0000	0,0002	0,0065	0,0213	0,0328	MHB	MHB	MHB
3-B20	30/60	0,0000	0,0000	0,0000	-0,0001	0,0000	0,0001	0,0065	0,0213	0,0328	MHB	MHB	MHB
3-B21	30/60	0,0000	0,0000	0,0000	-0,0001	0,0000	0,0001	0,0065	0,0213	0,0328	MHB	MHB	MHB
3-B22	30/60	0,0000	0,0000	0,0000	-0,0004	0,0000	0,0004	0,0065	0,0213	0,0328	MHB	MHB	MHB

Tablo D.8. 15bingöl-y-z-kiriş hasar sonuçları

KİRİŞ	KESİT	15(YATAY-DUSEY) Y YÖNÜ KİRİŞ DÖNMELERİ				HASAR SINIR DEĞERLERİ			HASAR DURUMU		KESİT HASAR	
		mafşal dönme (i)		mafşal dönme (j)		mafşal dönme						
		radyan - max	radyan - min	radyan - max	radyan - min	Sağ	Sol	rad	rad	rad		
1-B5	30/60	0,0000	0,0000	0,0000	-0,0025	0,0000	0,0025	0,0050	0,0217	0,0334	MHB MHB MHB	
1-B6	30/60	0,0000	-0,0025	0,0000	-0,0048	0,0025	0,0048	0,0050	0,0217	0,0334	MHB MHB MHB	
1-B7	30/60	0,0000	-0,0025	0,0000	-0,0048	0,0025	0,0048	0,0050	0,0217	0,0334	MHB MHB MHB	
1-B8	30/60	0,0000	-0,0026	0,0000	-0,0048	0,0026	0,0048	0,0050	0,0217	0,0334	MHB MHB MHB	
1-B9	30/60	0,0000	-0,0009	0,0000	-0,0025	0,0009	0,0025	0,0050	0,0217	0,0334	MHB MHB MHB	
1-B14	30/60	0,0000	0,0000	0,0000	-0,0021	0,0000	0,0021	0,0050	0,0217	0,0334	MHB MHB MHB	
1-B15	30/60	0,0000	-0,0028	0,0000	-0,0042	0,0028	0,0042	0,0050	0,0217	0,0334	MHB MHB MHB	
1-B16	30/60	0,0000	-0,0029	0,0000	-0,0042	0,0029	0,0042	0,0050	0,0217	0,0334	MHB MHB MHB	
1-B17	30/60	0,0000	-0,0029	0,0000	-0,0042	0,0029	0,0042	0,0050	0,0217	0,0334	MHB MHB MHB	
1-B18	30/60	0,0000	0,0000	0,0000	-0,0021	0,0000	0,0021	0,0050	0,0217	0,0334	MHB MHB MHB	
1-B23	30/60	0,0000	-0,0009	0,0000	-0,0028	0,0009	0,0028	0,0050	0,0217	0,0334	MHB MHB MHB	
1-B24	30/60	0,0000	-0,0037	0,0000	-0,0047	0,0037	0,0047	0,0050	0,0217	0,0334	MHB MHB MHB	
1-B25	30/60	0,0000	-0,0037	0,0000	-0,0047	0,0037	0,0047	0,0050	0,0217	0,0334	MHB MHB MHB	
1-B26	30/60	0,0000	-0,0038	0,0000	-0,0047	0,0038	0,0047	0,0050	0,0217	0,0334	MHB MHB MHB	
1-B27	30/60	0,0000	-0,0011	0,0000	-0,0028	0,0011	0,0028	0,0050	0,0217	0,0334	MHB MHB MHB	
2-B5	30/60	0,0000	0,0000	0,0000	-0,0019	0,0000	0,0019	0,0050	0,0217	0,0334	MHB MHB MHB	
2-B6	30/60	0,0000	-0,0026	0,0000	-0,0037	0,0026	0,0037	0,0050	0,0217	0,0334	MHB MHB MHB	
2-B7	30/60	0,0000	-0,0025	0,0000	-0,0037	0,0025	0,0037	0,0050	0,0217	0,0334	MHB MHB MHB	
2-B8	30/60	0,0000	-0,0025	0,0000	-0,0037	0,0025	0,0037	0,0050	0,0217	0,0334	MHB MHB MHB	
2-B9	30/60	0,0000	0,0000	0,0000	-0,0019	0,0000	0,0019	0,0050	0,0217	0,0334	MHB MHB MHB	
2-B14	30/60	0,0000	0,0000	0,0000	-0,0017	0,0000	0,0017	0,0050	0,0217	0,0334	MHB MHB MHB	
2-B15	30/60	0,0000	-0,0019	0,0000	-0,0034	0,0019	0,0034	0,0050	0,0217	0,0334	MHB MHB MHB	
2-B16	30/60	0,0000	-0,0018	0,0000	-0,0034	0,0018	0,0034	0,0050	0,0217	0,0334	MHB MHB MHB	
2-B17	30/60	0,0000	-0,0018	0,0000	-0,0034	0,0018	0,0034	0,0050	0,0217	0,0334	MHB MHB MHB	
2-B18	30/60	0,0000	0,0000	0,0000	-0,0017	0,0000	0,0017	0,0050	0,0217	0,0334	MHB MHB MHB	
2-B23	30/60	0,0000	-0,0001	0,0000	-0,0018	0,0001	0,0018	0,0050	0,0217	0,0334	MHB MHB MHB	
2-B24	30/60	0,0000	-0,0023	0,0000	-0,0038	0,0023	0,0038	0,0050	0,0217	0,0334	MHB MHB MHB	
2-B25	30/60	0,0000	-0,0023	0,0000	-0,0038	0,0023	0,0038	0,0050	0,0217	0,0334	MHB MHB MHB	
2-B26	30/60	0,0000	-0,0023	0,0000	-0,0038	0,0023	0,0038	0,0050	0,0217	0,0334	MHB MHB MHB	
2-B27	30/60	0,0000	0,0000	0,0000	-0,0018	0,0000	0,0018	0,0050	0,0217	0,0334	MHB MHB MHB	
3-B5	30/60	0,0000	0,0000	0,0000	-0,0007	0,0000	0,0007	0,0050	0,0217	0,0334	MHB MHB MHB	
3-B6	30/60	0,0000	-0,0020	0,0000	-0,0031	0,0020	0,0031	0,0050	0,0217	0,0334	MHB MHB MHB	
3-B7	30/60	0,0000	-0,0019	0,0000	-0,0031	0,0019	0,0031	0,0050	0,0217	0,0334	MHB MHB MHB	
3-B8	30/60	0,0000	-0,0019	0,0000	-0,0031	0,0019	0,0031	0,0050	0,0217	0,0334	MHB MHB MHB	
3-B9	30/60	0,0000	0,0000	0,0000	-0,0007	0,0000	0,0007	0,0050	0,0217	0,0334	MHB MHB MHB	
3-B14	30/60	0,0000	0,0000	0,0000	-0,0004	0,0000	0,0004	0,0050	0,0217	0,0334	MHB MHB MHB	
3-B15	30/60	0,0000	-0,0020	0,0000	-0,0028	0,0020	0,0028	0,0050	0,0217	0,0334	MHB MHB MHB	
3-B16	30/60	0,0000	-0,0020	0,0000	-0,0028	0,0020	0,0028	0,0050	0,0217	0,0334	MHB MHB MHB	
3-B17	30/60	0,0000	-0,0019	0,0000	-0,0028	0,0019	0,0028	0,0050	0,0217	0,0334	MHB MHB MHB	
3-B18	30/60	0,0000	0,0000	0,0000	-0,0004	0,0000	0,0004	0,0050	0,0217	0,0334	MHB MHB MHB	
3-B23	30/60	0,0000	0,0000	0,0000	-0,0004	0,0000	0,0004	0,0050	0,0217	0,0334	MHB MHB MHB	
3-B24	30/60	0,0000	-0,0023	0,0000	-0,0030	0,0023	0,0030	0,0050	0,0217	0,0334	MHB MHB MHB	
3-B25	30/60	0,0000	-0,0023	0,0000	-0,0030	0,0023	0,0030	0,0050	0,0217	0,0334	MHB MHB MHB	
3-B26	30/60	0,0000	-0,0022	0,0000	-0,0030	0,0022	0,0030	0,0050	0,0217	0,0334	MHB MHB MHB	
3-B27	30/60	0,0000	0,0000	0,0000	-0,0004	0,0000	0,0004	0,0050	0,0217	0,0334	MHB MHB MHB	
4-B6	30/60	0,0000	0,0000	0,0000	0,0000	0,0000	0,0000	0,0050	0,0217	0,0334	MHB MHB MHB	
4-B7	30/60	0,0000	0,0000	0,0000	0,0000	0,0000	0,0000	0,0050	0,0217	0,0334	MHB MHB MHB	
4-B8	30/60	0,0000	0,0000	0,0000	0,0000	0,0000	0,0000	0,0050	0,0217	0,0334	MHB MHB MHB	

Tablo D.9. 7düzce-x-kiriş hasar sonuçları

KİRİŞ	KESİT	7(YATAY) X YÖNÜ KİRİŞ DÖNMELERİ				HASAR SINIR DEĞERLERİ			HASAR DURUMU		KESİT HASAR
		mafsal dönde (i)	mafsal dönde (j)	mafsal dönde	MN	GV	GÇ	SAĞ	SOL		
1-B1	30/60	0,0159	-0,0158	0,0146	-0,0147	0,0159	0,0147	0,0065	0,0213	0,0328	BHB BHB BHB
1-B2	30/60	0,0148	-0,0149	0,0146	-0,0147	0,0149	0,0147	0,0065	0,0213	0,0328	BHB BHB BHB
1-B3	30/60	0,0144	-0,0148	0,0146	-0,0151	0,0148	0,0151	0,0065	0,0213	0,0328	BHB BHB BHB
1-B4	30/60	0,0155	-0,0146	0,0154	-0,0174	0,0155	0,0174	0,0065	0,0213	0,0328	BHB BHB BHB
1-B10	30/60	0,0152	-0,0171	0,0135	-0,0161	0,0171	0,0161	0,0065	0,0213	0,0328	BHB BHB BHB
1-B11	30/60	0,0139	-0,0160	0,0135	-0,0164	0,0160	0,0164	0,0065	0,0213	0,0328	BHB BHB BHB
1-B12	30/60	0,0139	-0,0160	0,0135	-0,0164	0,0160	0,0164	0,0065	0,0213	0,0328	BHB BHB BHB
1-B13	30/60	0,0143	-0,0157	0,0147	-0,0186	0,0157	0,0186	0,0065	0,0213	0,0328	BHB BHB BHB
1-B19	30/60	0,0152	-0,0171	0,0135	-0,0161	0,0171	0,0161	0,0065	0,0213	0,0328	BHB BHB BHB
1-B20	30/60	0,0140	-0,0160	0,0135	-0,0164	0,0160	0,0164	0,0065	0,0213	0,0328	BHB BHB BHB
1-B21	30/60	0,0139	-0,0160	0,0135	-0,0164	0,0160	0,0164	0,0065	0,0213	0,0328	BHB BHB BHB
1-B22	30/60	0,0142	-0,0157	0,0147	-0,0181	0,0157	0,0181	0,0065	0,0213	0,0328	BHB BHB BHB
1-B28	30/60	0,0158	-0,0158	0,0146	-0,0148	0,0158	0,0148	0,0065	0,0213	0,0328	BHB BHB BHB
1-B29	30/60	0,0150	-0,0149	0,0146	-0,0147	0,0150	0,0147	0,0065	0,0213	0,0328	BHB BHB BHB
1-B30	30/60	0,0145	-0,0148	0,0146	-0,0151	0,0148	0,0151	0,0065	0,0213	0,0328	BHB BHB BHB
1-B31	30/60	0,0156	-0,0146	0,0154	-0,0174	0,0156	0,0174	0,0065	0,0213	0,0328	BHB BHB BHB
2-B1	30/60	0,0125	-0,0102	0,0076	-0,0105	0,0125	0,0105	0,0065	0,0213	0,0328	BHB BHB BHB
2-B2	30/60	0,0106	-0,0079	0,0076	-0,0109	0,0106	0,0109	0,0065	0,0213	0,0328	BHB BHB BHB
2-B3	30/60	0,0105	-0,0079	0,0076	-0,0107	0,0105	0,0107	0,0065	0,0213	0,0328	BHB BHB BHB
2-B4	30/60	0,0111	-0,0076	0,0099	-0,0136	0,0111	0,0136	0,0065	0,0213	0,0328	BHB BHB BHB
2-B10	30/60	0,0114	-0,0113	0,0074	-0,0122	0,0114	0,0122	0,0065	0,0213	0,0328	BHB BHB BHB
2-B11	30/60	0,0100	-0,0099	0,0074	-0,0125	0,0100	0,0125	0,0065	0,0213	0,0328	BHB BHB BHB
2-B12	30/60	0,0100	-0,0099	0,0074	-0,0125	0,0100	0,0125	0,0065	0,0213	0,0328	BHB BHB BHB
2-B13	30/60	0,0103	-0,0096	0,0088	-0,0142	0,0103	0,0142	0,0065	0,0213	0,0328	BHB BHB BHB
2-B19	30/60	0,0114	-0,0113	0,0074	-0,0211	0,0114	0,0121	0,0065	0,0213	0,0328	BHB BHB BHB
2-B20	30/60	0,0100	-0,0099	0,0074	-0,0124	0,0100	0,0124	0,0065	0,0213	0,0328	BHB BHB BHB
2-B21	30/60	0,0100	-0,0099	0,0074	-0,0125	0,0100	0,0125	0,0065	0,0213	0,0328	BHB BHB BHB
2-B22	30/60	0,0102	-0,0096	0,0088	-0,0141	0,0102	0,0141	0,0065	0,0213	0,0328	BHB BHB BHB
2-B28	30/60	0,0125	-0,0102	0,0076	-0,0104	0,0125	0,0104	0,0065	0,0213	0,0328	BHB BHB BHB
2-B29	30/60	0,0105	-0,0079	0,0076	-0,0108	0,0105	0,0108	0,0065	0,0213	0,0328	BHB BHB BHB
2-B30	30/60	0,0105	-0,0079	0,0076	-0,0107	0,0105	0,0107	0,0065	0,0213	0,0328	BHB BHB BHB
2-B31	30/60	0,0111	-0,0076	0,0099	-0,0136	0,0111	0,0136	0,0065	0,0213	0,0328	BHB BHB BHB
3-B1	30/60	0,0054	-0,0026	0,0017	-0,0038	0,0054	0,0038	0,0065	0,0213	0,0328	MHB MHB MHB
3-B2	30/60	0,0041	-0,0020	0,0017	-0,0038	0,0041	0,0038	0,0065	0,0213	0,0328	MHB MHB MHB
3-B3	30/60	0,0035	-0,0020	0,0017	-0,0074	0,0035	0,0074	0,0065	0,0213	0,0328	MHB BHB BHB
3-B4	30/60	0,0057	-0,0017	0,0026	-0,0056	0,0057	0,0056	0,0065	0,0213	0,0328	MHB MHB MHB
3-B10	30/60	0,0048	-0,0045	0,0012	-0,0051	0,0048	0,0051	0,0065	0,0213	0,0328	MHB MHB MHB
3-B11	30/60	0,0029	-0,0036	0,0012	-0,0053	0,0036	0,0053	0,0065	0,0213	0,0328	MHB MHB MHB
3-B12	30/60	0,0028	-0,0037	0,0012	-0,0052	0,0037	0,0052	0,0065	0,0213	0,0328	MHB MHB MHB
3-B13	30/60	0,0030	-0,0034	0,0021	-0,0073	0,0034	0,0073	0,0065	0,0213	0,0328	MHB BHB BHB
3-B19	30/60	0,0048	-0,0045	0,0012	-0,0051	0,0048	0,0051	0,0065	0,0213	0,0328	MHB MHB MHB
3-B20	30/60	0,0028	-0,0036	0,0012	-0,0047	0,0036	0,0047	0,0065	0,0213	0,0328	MHB MHB MHB
3-B21	30/60	0,0023	-0,0037	0,0012	-0,0053	0,0037	0,0053	0,0065	0,0213	0,0328	MHB MHB MHB
3-B22	30/60	0,0029	-0,0034	0,0021	-0,0071	0,0034	0,0071	0,0065	0,0213	0,0328	MHB BHB BHB
3-B28	30/60	0,0053	-0,0026	0,0017	-0,0049	0,0053	0,0049	0,0065	0,0213	0,0328	MHB MHB MHB
3-B29	30/60	0,0062	-0,0020	0,0017	-0,0038	0,0062	0,0038	0,0065	0,0213	0,0328	MHB MHB MHB
3-B30	30/60	0,0035	-0,0020	0,0017	-0,0068	0,0035	0,0068	0,0065	0,0213	0,0328	MHB BHB BHB
3-B31	30/60	0,0059	-0,0017	0,0026	-0,0056	0,0059	0,0056	0,0065	0,0213	0,0328	MHB MHB MHB

Tablo D.10. 7düzce-y-kiriş hasar sonuçları

KİRİŞ	KESİT	7(YATAY) Y YÖNÜ KİRİŞ DÖNMELERİ				HASAR SINIR DEĞERLERİ			HASAR DURUMU		KESİT HASAR
		mafsal dönde (i)	mafsal dönde (j)	mafsal dönde	MN	GV	GÇ	SAĞ	SOL		
1-B5	30/60	0,0098	0,0082	-0,0187	0,0096	-0,0145	0,0096	0,0050	0,0217	0,0334	MHB BHB
1-B6	30/60	0,0058	0,0054	-0,0225	0,0058	-0,0184	0,0058	0,0050	0,0217	0,0334	MHB BHB
1-B7	30/60	0,0031	0,0054	-0,0225	0,0058	-0,0184	0,0058	0,0050	0,0217	0,0334	MHB BHB
1-B8	30/60	0,0021	0,0052	-0,0225	0,0058	-0,0185	0,0058	0,0050	0,0217	0,0334	MHB BHB
1-B9	30/60	0,0014	0,0082	-0,0187	0,0096	-0,0147	0,0096	0,0050	0,0217	0,0334	MHB BHB
1-B14	30/60	0,0070	0,0067	-0,0177	0,0095	-0,0123	0,0095	0,0050	0,0217	0,0334	MHB BHB
1-B15	30/60	0,0024	0,0035	-0,0211	0,0058	-0,0187	0,0058	0,0050	0,0217	0,0334	MHB BHB
1-B16	30/60	0,0007	0,0034	-0,0211	0,0058	-0,0188	0,0058	0,0050	0,0217	0,0334	MHB BHB
1-B17	30/60	0,0000	0,0035	-0,0211	0,0058	-0,0187	0,0058	0,0050	0,0217	0,0334	MHB BHB
1-B18	30/60	0,0005	0,0068	-0,0177	0,0095	-0,0122	0,0095	0,0050	0,0217	0,0334	MHB BHB
1-B23	30/60	0,0068	0,0052	-0,0172	0,0109	-0,0172	0,0109	0,0050	0,0217	0,0334	MHB BHB
1-B24	30/60	0,0035	0,0037	-0,0209	0,0075	-0,0211	0,0075	0,0050	0,0217	0,0334	MHB BHB
1-B25	30/60	0,0006	0,0038	-0,0209	0,0075	-0,0211	0,0075	0,0050	0,0217	0,0334	MHB BHB
1-B26	30/60	0,0000	0,0038	-0,0209	0,0075	-0,0212	0,0075	0,0050	0,0217	0,0334	MHB BHB
1-B27	30/60	0,0008	0,0051	-0,0172	0,0109	-0,0173	0,0109	0,0050	0,0217	0,0334	MHB BHB
2-B5	30/60	0,0033	0,0050	-0,0127	0,0022	-0,0105	0,0022	0,0050	0,0217	0,0334	MHB MHB
2-B6	30/60	0,0010	0,0013	-0,0157	0,0000	-0,0143	0,0000	0,0050	0,0217	0,0334	MHB MHB
2-B7	30/60	0,0014	0,0013	-0,0157	0,0000	-0,0144	0,0000	0,0050	0,0217	0,0334	MHB MHB
2-B8	30/60	0,0000	0,0013	-0,0157	0,0000	-0,0143	0,0000	0,0050	0,0217	0,0334	MHB MHB
2-B9	30/60	0,0035	0,0050	-0,0127	0,0022	-0,0104	0,0022	0,0050	0,0217	0,0334	MHB MHB
2-B14	30/60	0,0105	0,0027	-0,0104	0,0023	-0,0105	0,0023	0,0050	0,0217	0,0334	MHB MHB
2-B15	30/60	0,0049	0,0000	-0,0142	0,0000	-0,0148	0,0000	0,0050	0,0217	0,0334	MHB MHB
2-B16	30/60	0,0056	0,0000	-0,0143	0,0000	-0,0148	0,0000	0,0050	0,0217	0,0334	MHB MHB
2-B17	30/60	0,0040	0,0000	-0,0142	0,0000	-0,0148	0,0000	0,0050	0,0217	0,0334	MHB MHB
2-B18	30/60	0,0080	0,0026	-0,0104	0,0023	-0,0105	0,0023	0,0050	0,0217	0,0334	MHB MHB
2-B23	30/60	0,0103	0,0032	-0,0100	0,0048	-0,0136	0,0048	0,0050	0,0217	0,0334	MHB MHB
2-B24	30/60	0,0050	0,0000	-0,0144	0,0009	-0,0168	0,0009	0,0050	0,0217	0,0334	MHB MHB
2-B25	30/60	0,0043	0,0000	-0,0144	0,0009	-0,0167	0,0009	0,0050	0,0217	0,0334	MHB MHB
2-B26	30/60	0,0040	0,0000	-0,0144	0,0009	-0,0168	0,0009	0,0050	0,0217	0,0334	MHB MHB
2-B27	30/60	0,0060	0,0032	-0,0100	0,0048	-0,0136	0,0048	0,0050	0,0217	0,0334	MHB MHB
3-B5	30/60	0,0022	0,0000	-0,0052	0,0000	-0,0038	0,0000	0,0050	0,0217	0,0334	MHB MHB
3-B6	30/60	0,0030	0,0000	-0,0092	0,0000	-0,0072	0,0000	0,0050	0,0217	0,0334	MHB MHB
3-B7	30/60	0,0030	0,0000	-0,0084	0,0000	-0,0079	0,0000	0,0050	0,0217	0,0334	MHB MHB
3-B8	30/60	0,0029	0,0000	-0,0093	0,0000	-0,0066	0,0000	0,0050	0,0217	0,0334	MHB MHB
3-B9	30/60	0,0012	0,0000	-0,0052	0,0000	-0,0038	0,0000	0,0050	0,0217	0,0334	MHB MHB
3-B14	30/60	0,0000	0,0000	-0,0044	0,0000	-0,0089	0,0000	0,0050	0,0217	0,0334	MHB MHB
3-B15	30/60	0,0000	0,0000	-0,0074	0,0000	-0,0095	0,0000	0,0050	0,0217	0,0334	MHB MHB
3-B16	30/60	0,0000	0,0000	-0,0075	0,0000	-0,0083	0,0000	0,0050	0,0217	0,0334	MHB MHB
3-B17	30/60	0,0000	0,0000	-0,0074	0,0000	-0,0080	0,0000	0,0050	0,0217	0,0334	MHB MHB
3-B18	30/60	0,0000	0,0000	-0,0044	0,0000	-0,0099	0,0000	0,0050	0,0217	0,0334	MHB MHB
3-B23	30/60	0,0000	0,0005	-0,0048	0,0000	-0,0060	0,0000	0,0050	0,0217	0,0334	MHB MHB
3-B24	30/60	0,0000	0,0000	-0,0078	0,0000	-0,0102	0,0000	0,0050	0,0217	0,0334	MHB MHB
3-B25	30/60	0,0000	0,0000	-0,0078	0,0000	-0,0102	0,0000	0,0050	0,0217	0,0334	MHB MHB
3-B26	30/60	0,0000	0,0000	-0,0078	0,0000	-0,0101	0,0000	0,0050	0,0217	0,0334	MHB MHB
3-B27	30/60	0,0000	0,0004	-0,0048	0,0000	-0,0060	0,0000	0,0050	0,0217	0,0334	MHB MHB
4-B6	30/60	0,0000	0,0000	-0,0011	0,0000	-0,0015	0,0000	0,0050	0,0217	0,0334	MHB MHB
4-B7	30/60	0,0000	0,0000	-0,0011	0,0000	-0,0014	0,0000	0,0050	0,0217	0,0334	MHB MHB
4-B8	30/60	0,0000	0,0000	-0,0011	0,0000	-0,0015	0,0000	0,0050	0,0217	0,0334	MHB MHB
4-B15	30/60	0,0000	0,0000	-0,0014	0,0000	-0,0016	0,0000	0,0050	0,0217	0,0334	MHB MHB
4-B16	30/60	0,0000	0,0000	-0,0014	0,0000	-0,0015	0,0000	0,0050	0,0217	0,0334	MHB MHB
4-B17	30/60	0,0000	0,0000	-0,0014	0,0000	-0,0016	0,0000	0,0050	0,0217	0,0334	MHB MHB
4-B24	30/60	0,0000	0,0000	-0,0013	0,0000	-0,0016	0,0000	0,0050	0,0217	0,0334	MHB MHB
4-B25	30/60	0,0000	0,0000	-0,0014	0,0000	-0,0016	0,0000	0,0050	0,0217	0,0334	MHB MHB
4-B26	30/60	0,0000	0,0000	-0,0013	0,0000	-0,0016	0,0000	0,0050	0,0217	0,0334	MHB MHB

Tablo D.11. 7düzce-x-z-kiriş hasar sonuçları

KİRİŞ	KESİT	7 (YATAY-DUSEY) X YÖNÜ KİRİŞ DÖNMELERİ								HASAR SINIR DEĞERLERİ				KESİT HASAR
		mafsal dönme (i)		mafsal dönme (j)		mafsal dönme		MN	GV	GÇ	HASAR DURUMU	Sağ	Sol	
		radyan - max	radyan - min	radyan - max	radyan - min	Sağ	Sol	rad	rad	rad	BHB	BHB	BHB	
1-B1	30/60	0,0169	-0,0158	0,0146	-0,0161	0,0169	0,0161	0,0065	0,0213	0,0328	BHB	BHB	BHB	
1-B2	30/60	0,0161	-0,0148	0,0145	-0,0164	0,0161	0,0164	0,0065	0,0213	0,0328	BHB	BHB	BHB	
1-B3	30/60	0,0161	-0,0148	0,0146	-0,0164	0,0161	0,0164	0,0065	0,0213	0,0328	BHB	BHB	BHB	
1-B4	30/60	0,0163	-0,0146	0,0154	-0,0174	0,0163	0,0174	0,0065	0,0213	0,0328	BHB	BHB	BHB	
1-B10	30/60	0,0161	-0,0170	0,0136	-0,0167	0,0170	0,0167	0,0065	0,0213	0,0328	BHB	BHB	BHB	
1-B11	30/60	0,0148	-0,0160	0,0135	-0,0173	0,0160	0,0173	0,0065	0,0213	0,0328	BHB	BHB	BHB	
1-B12	30/60	0,0149	-0,0160	0,0135	-0,0173	0,0160	0,0173	0,0065	0,0213	0,0328	BHB	BHB	BHB	
1-B13	30/60	0,0149	-0,0157	0,0147	-0,0189	0,0157	0,0189	0,0065	0,0213	0,0328	BHB	BHB	BHB	
1-B19	30/60	0,0161	-0,0170	0,0136	-0,0167	0,0170	0,0167	0,0065	0,0213	0,0328	BHB	BHB	BHB	
1-B20	30/60	0,0148	-0,0160	0,0135	-0,0173	0,0160	0,0173	0,0065	0,0213	0,0328	BHB	BHB	BHB	
1-B21	30/60	0,0149	-0,0160	0,0135	-0,0173	0,0160	0,0173	0,0065	0,0213	0,0328	BHB	BHB	BHB	
1-B22	30/60	0,0149	-0,0157	0,0147	-0,0189	0,0157	0,0189	0,0065	0,0213	0,0328	BHB	BHB	BHB	
1-B28	30/60	0,0169	-0,0158	0,0146	-0,0161	0,0169	0,0161	0,0065	0,0213	0,0328	BHB	BHB	BHB	
1-B29	30/60	0,0161	-0,0148	0,0145	-0,0164	0,0161	0,0164	0,0065	0,0213	0,0328	BHB	BHB	BHB	
1-B30	30/60	0,0161	-0,0148	0,0146	-0,0164	0,0161	0,0164	0,0065	0,0213	0,0328	BHB	BHB	BHB	
1-B31	30/60	0,0163	-0,0146	0,0154	-0,0174	0,0163	0,0174	0,0065	0,0213	0,0328	BHB	BHB	BHB	
2-B1	30/60	0,0137	-0,0105	0,0079	-0,0120	0,0137	0,0120	0,0065	0,0213	0,0328	BHB	BHB	BHB	
2-B2	30/60	0,0120	-0,0082	0,0080	-0,0122	0,0120	0,0122	0,0065	0,0213	0,0328	BHB	BHB	BHB	
2-B3	30/60	0,0119	-0,0082	0,0080	-0,0122	0,0119	0,0122	0,0065	0,0213	0,0328	BHB	BHB	BHB	
2-B4	30/60	0,0120	-0,0079	0,0103	-0,0141	0,0120	0,0141	0,0065	0,0213	0,0328	BHB	BHB	BHB	
2-B10	30/60	0,0121	-0,0116	0,0078	-0,0130	0,0121	0,0130	0,0065	0,0213	0,0328	BHB	BHB	BHB	
2-B11	30/60	0,0111	-0,0102	0,0078	-0,0136	0,0111	0,0136	0,0065	0,0213	0,0328	BHB	BHB	BHB	
2-B12	30/60	0,0111	-0,0102	0,0078	-0,0136	0,0111	0,0136	0,0065	0,0213	0,0328	BHB	BHB	BHB	
2-B13	30/60	0,0111	-0,0099	0,0090	-0,0149	0,0111	0,0149	0,0065	0,0213	0,0328	BHB	BHB	BHB	
2-B19	30/60	0,0121	-0,0116	0,0078	-0,0130	0,0121	0,0130	0,0065	0,0213	0,0328	BHB	BHB	BHB	
2-B20	30/60	0,0111	-0,0102	0,0078	-0,0136	0,0111	0,0136	0,0065	0,0213	0,0328	BHB	BHB	BHB	
2-B21	30/60	0,0111	-0,0102	0,0078	-0,0136	0,0111	0,0136	0,0065	0,0213	0,0328	BHB	BHB	BHB	
2-B22	30/60	0,0111	-0,0099	0,0090	-0,0149	0,0111	0,0149	0,0065	0,0213	0,0328	BHB	BHB	BHB	
2-B28	30/60	0,0137	-0,0105	0,0079	-0,0120	0,0137	0,0120	0,0065	0,0213	0,0328	BHB	BHB	BHB	
2-B29	30/60	0,0120	-0,0082	0,0080	-0,0122	0,0120	0,0122	0,0065	0,0213	0,0328	BHB	BHB	BHB	
2-B30	30/60	0,0119	-0,0082	0,0080	-0,0122	0,0119	0,0122	0,0065	0,0213	0,0328	BHB	BHB	BHB	
2-B31	30/60	0,0120	-0,0079	0,0103	-0,0141	0,0120	0,0141	0,0065	0,0213	0,0328	BHB	BHB	BHB	
3-B1	30/60	0,0064	-0,0027	0,0017	-0,0047	0,0064	0,0047	0,0065	0,0213	0,0328	MHB	MHB	MHB	
3-B2	30/60	0,0044	-0,0020	0,0018	-0,0054	0,0044	0,0054	0,0065	0,0213	0,0328	MHB	MHB	MHB	
3-B3	30/60	0,0061	-0,0020	0,0018	-0,0081	0,0061	0,0081	0,0065	0,0213	0,0328	MHB	BHB	BHB	
3-B4	30/60	0,0058	-0,0018	0,0029	-0,0059	0,0058	0,0059	0,0065	0,0213	0,0328	MHB	MHB	MHB	
3-B10	30/60	0,0054	-0,0047	0,0013	-0,0056	0,0054	0,0056	0,0065	0,0213	0,0328	MHB	MHB	MHB	
3-B11	30/60	0,0036	-0,0037	0,0012	-0,0072	0,0037	0,0072	0,0065	0,0213	0,0328	MHB	BHB	BHB	
3-B12	30/60	0,0042	-0,0037	0,0012	-0,0061	0,0042	0,0061	0,0065	0,0213	0,0328	MHB	MHB	MHB	
3-B13	30/60	0,0035	-0,0033	0,0023	-0,0078	0,0035	0,0078	0,0065	0,0213	0,0328	MHB	MHB	MHB	
3-B19	30/60	0,0054	-0,0047	0,0013	-0,0056	0,0054	0,0056	0,0065	0,0213	0,0328	MHB	MHB	MHB	
3-B20	30/60	0,0036	-0,0037	0,0012	-0,0072	0,0037	0,0072	0,0065	0,0213	0,0328	MHB	BHB	BHB	
3-B21	30/60	0,0042	-0,0037	0,0012	-0,0061	0,0042	0,0061	0,0065	0,0213	0,0328	MHB	MHB	MHB	
3-B22	30/60	0,0035	-0,0033	0,0023	-0,0078	0,0035	0,0078	0,0065	0,0213	0,0328	MHB	BHB	BHB	
3-B28	30/60	0,0064	-0,0027	0,0017	-0,0047	0,0064	0,0047	0,0065	0,0213	0,0328	MHB	MHB	MHB	
3-B29	30/60	0,0044	-0,0020	0,0018	-0,0054	0,0044	0,0054	0,0065	0,0213	0,0328	MHB	MHB	MHB	
3-B30	30/60	0,0061	-0,0020	0,0018	-0,0081	0,0061	0,0081	0,0065	0,0213	0,0328	MHB	BHB	BHB	
3-B31	30/60	0,0058	-0,0018	0,0029	-0,0059	0,0058	0,0059	0,0065	0,0213	0,0328	MHB	MHB	MHB	

Tablo D.12. 7düzce-y-z-kiriş hasar sonuçları

KİRİŞ	KESİT	7(YATAY-DUSEY) Y YÖNÜ KİRİŞ DÖNMELERİ				HASAR SINIR DEĞERLERİ			HASAR DURUMU	KESİT HASAR	
		mafsal dönme (i)	mafsal dönme (j)	mafsal dönme	MN	GV	GÇ				
		radyan - max	radyan - min	radyan - max	radyan - min	Stağ	Sol	rad	rad	rad	SAĞ SOL
1-B5	30/60	0,0097	-0,0186	0,0095	-0,0162	<b>0,0186</b>	<b>0,0162</b>	<b>0,0050</b>	<b>0,0217</b>	<b>0,0334</b>	BHB BHB BHB
1-B6	30/60	0,0064	-0,0223	0,0057	-0,0196	<b>0,0223</b>	<b>0,0196</b>	<b>0,0050</b>	<b>0,0217</b>	<b>0,0334</b>	IHB BHB IHB
1-B7	30/60	0,0065	-0,0223	0,0056	-0,0197	<b>0,0223</b>	<b>0,0197</b>	<b>0,0050</b>	<b>0,0217</b>	<b>0,0334</b>	IHB BHB IHB
1-B8	30/60	0,0066	-0,0223	0,0057	-0,0198	<b>0,0223</b>	<b>0,0198</b>	<b>0,0050</b>	<b>0,0217</b>	<b>0,0334</b>	IHB BHB IHB
1-B9	30/60	0,0101	-0,0186	0,0095	-0,0168	<b>0,0186</b>	<b>0,0168</b>	<b>0,0050</b>	<b>0,0217</b>	<b>0,0334</b>	BHB BHB BHB
1-B14	30/60	0,0084	-0,0175	0,0094	-0,0165	<b>0,0175</b>	<b>0,0165</b>	<b>0,0050</b>	<b>0,0217</b>	<b>0,0334</b>	BHB BHB BHB
1-B15	30/60	0,0048	-0,0209	0,0056	-0,0201	<b>0,0209</b>	<b>0,0201</b>	<b>0,0050</b>	<b>0,0217</b>	<b>0,0334</b>	BHB BHB BHB
1-B16	30/60	0,0049	-0,0209	0,0056	-0,0203	<b>0,0209</b>	<b>0,0203</b>	<b>0,0050</b>	<b>0,0217</b>	<b>0,0334</b>	BHB BHB BHB
1-B17	30/60	0,0051	-0,0209	0,0056	-0,0204	<b>0,0209</b>	<b>0,0204</b>	<b>0,0050</b>	<b>0,0217</b>	<b>0,0334</b>	BHB BHB BHB
1-B18	30/60	0,0091	-0,0175	0,0094	-0,0172	<b>0,0175</b>	<b>0,0172</b>	<b>0,0050</b>	<b>0,0217</b>	<b>0,0334</b>	BHB BHB BHB
1-B23	30/60	0,0086	-0,0172	0,0106	-0,0182	<b>0,0172</b>	<b>0,0182</b>	<b>0,0050</b>	<b>0,0217</b>	<b>0,0334</b>	BHB BHB BHB
1-B24	30/60	0,0048	-0,0207	0,0074	-0,0218	<b>0,0207</b>	<b>0,0218</b>	<b>0,0050</b>	<b>0,0217</b>	<b>0,0334</b>	BHB IHB IHB
1-B25	30/60	0,0050	-0,0207	0,0073	-0,0220	<b>0,0207</b>	<b>0,0220</b>	<b>0,0050</b>	<b>0,0217</b>	<b>0,0334</b>	BHB IHB IHB
1-B26	30/60	0,0051	-0,0207	0,0074	-0,0221	<b>0,0207</b>	<b>0,0221</b>	<b>0,0050</b>	<b>0,0217</b>	<b>0,0334</b>	BHB IHB IHB
1-B27	30/60	0,0093	-0,0173	0,0107	-0,0187	<b>0,0173</b>	<b>0,0187</b>	<b>0,0050</b>	<b>0,0217</b>	<b>0,0334</b>	BHB BHB BHB
2-B5	30/60	0,0073	-0,0132	0,0028	-0,0127	<b>0,0132</b>	<b>0,0127</b>	<b>0,0050</b>	<b>0,0217</b>	<b>0,0334</b>	BHB BHB BHB
2-B6	30/60	0,0028	-0,0166	0,0000	-0,0163	<b>0,0166</b>	<b>0,0163</b>	<b>0,0050</b>	<b>0,0217</b>	<b>0,0334</b>	BHB BHB BHB
2-B7	30/60	0,0029	-0,0166	0,0000	-0,0165	<b>0,0166</b>	<b>0,0165</b>	<b>0,0050</b>	<b>0,0217</b>	<b>0,0334</b>	BHB BHB BHB
2-B8	30/60	0,0030	-0,0165	0,0000	-0,0166	<b>0,0165</b>	<b>0,0166</b>	<b>0,0050</b>	<b>0,0217</b>	<b>0,0334</b>	BHB BHB BHB
2-B9	30/60	0,0076	-0,0132	0,0028	-0,0131	<b>0,0132</b>	<b>0,0131</b>	<b>0,0050</b>	<b>0,0217</b>	<b>0,0334</b>	BHB BHB BHB
2-B14	30/60	0,0048	-0,0109	0,0028	-0,0129	<b>0,0109</b>	<b>0,0129</b>	<b>0,0050</b>	<b>0,0217</b>	<b>0,0334</b>	BHB BHB BHB
2-B15	30/60	0,0016	-0,0149	0,0000	-0,0169	<b>0,0149</b>	<b>0,0169</b>	<b>0,0050</b>	<b>0,0217</b>	<b>0,0334</b>	BHB BHB BHB
2-B16	30/60	0,0017	-0,0150	0,0000	-0,0171	<b>0,0150</b>	<b>0,0171</b>	<b>0,0050</b>	<b>0,0217</b>	<b>0,0334</b>	BHB BHB BHB
2-B17	30/60	0,0019	-0,0149	0,0000	-0,0172	<b>0,0149</b>	<b>0,0172</b>	<b>0,0050</b>	<b>0,0217</b>	<b>0,0334</b>	BHB BHB BHB
2-B18	30/60	0,0054	-0,0109	0,0028	-0,0134	<b>0,0109</b>	<b>0,0134</b>	<b>0,0050</b>	<b>0,0217</b>	<b>0,0334</b>	BHB BHB BHB
2-B23	30/60	0,0049	-0,0106	0,0054	-0,0151	<b>0,0106</b>	<b>0,0151</b>	<b>0,0050</b>	<b>0,0217</b>	<b>0,0334</b>	BHB BHB BHB
2-B24	30/60	0,0016	-0,0148	0,0013	-0,0184	<b>0,0148</b>	<b>0,0184</b>	<b>0,0050</b>	<b>0,0217</b>	<b>0,0334</b>	BHB BHB BHB
2-B25	30/60	0,0018	-0,0148	0,0013	-0,0185	<b>0,0148</b>	<b>0,0185</b>	<b>0,0050</b>	<b>0,0217</b>	<b>0,0334</b>	BHB BHB BHB
2-B26	30/60	0,0019	-0,0148	0,0013	-0,0187	<b>0,0148</b>	<b>0,0187</b>	<b>0,0050</b>	<b>0,0217</b>	<b>0,0334</b>	BHB BHB BHB
2-B27	30/60	0,0054	-0,0106	0,0053	-0,0156	<b>0,0106</b>	<b>0,0156</b>	<b>0,0050</b>	<b>0,0217</b>	<b>0,0334</b>	BHB BHB BHB
3-B5	30/60	0,0000	-0,0052	0,0000	-0,0080	<b>0,0052</b>	<b>0,0080</b>	<b>0,0050</b>	<b>0,0217</b>	<b>0,0334</b>	BHB BHB BHB
3-B6	30/60	0,0000	-0,0082	0,0000	-0,0088	<b>0,0082</b>	<b>0,0088</b>	<b>0,0050</b>	<b>0,0217</b>	<b>0,0334</b>	BHB BHB BHB
3-B7	30/60	0,0000	-0,0084	0,0000	-0,0089	<b>0,0084</b>	<b>0,0089</b>	<b>0,0050</b>	<b>0,0217</b>	<b>0,0334</b>	BHB BHB BHB
3-B8	30/60	0,0000	-0,0088	0,0000	-0,0089	<b>0,0088</b>	<b>0,0089</b>	<b>0,0050</b>	<b>0,0217</b>	<b>0,0334</b>	BHB BHB BHB
3-B9	30/60	0,0000	-0,0052	0,0000	-0,0068	<b>0,0052</b>	<b>0,0068</b>	<b>0,0050</b>	<b>0,0217</b>	<b>0,0334</b>	BHB BHB BHB
3-B14	30/60	0,0024	-0,0043	0,0000	-0,0056	<b>0,0043</b>	<b>0,0056</b>	<b>0,0050</b>	<b>0,0217</b>	<b>0,0334</b>	MHB BHB BHB
3-B15	30/60	0,0000	-0,0073	0,0000	-0,0093	<b>0,0073</b>	<b>0,0093</b>	<b>0,0050</b>	<b>0,0217</b>	<b>0,0334</b>	BHB BHB BHB
3-B16	30/60	0,0000	-0,0074	0,0000	-0,0094	<b>0,0074</b>	<b>0,0094</b>	<b>0,0050</b>	<b>0,0217</b>	<b>0,0334</b>	BHB BHB BHB
3-B17	30/60	0,0000	-0,0073	0,0000	-0,0094	<b>0,0073</b>	<b>0,0094</b>	<b>0,0050</b>	<b>0,0217</b>	<b>0,0334</b>	BHB BHB BHB
3-B18	30/60	0,0008	-0,0043	0,0000	-0,0065	<b>0,0043</b>	<b>0,0065</b>	<b>0,0050</b>	<b>0,0217</b>	<b>0,0334</b>	MHB BHB BHB
3-B23	30/60	0,0000	-0,0048	0,0000	-0,0066	<b>0,0048</b>	<b>0,0066</b>	<b>0,0050</b>	<b>0,0217</b>	<b>0,0334</b>	MHB BHB BHB
3-B24	30/60	0,0000	-0,0077	0,0000	-0,0109	<b>0,0077</b>	<b>0,0109</b>	<b>0,0050</b>	<b>0,0217</b>	<b>0,0334</b>	BHB BHB BHB
3-B25	30/60	0,0000	-0,0078	0,0000	-0,0110	<b>0,0078</b>	<b>0,0110</b>	<b>0,0050</b>	<b>0,0217</b>	<b>0,0334</b>	BHB BHB BHB
3-B26	30/60	0,0000	-0,0077	0,0000	-0,0110	<b>0,0077</b>	<b>0,0110</b>	<b>0,0050</b>	<b>0,0217</b>	<b>0,0334</b>	BHB BHB BHB
3-B27	30/60	0,0000	-0,0048	0,0000	-0,0068	<b>0,0048</b>	<b>0,0068</b>	<b>0,0050</b>	<b>0,0217</b>	<b>0,0334</b>	MHB BHB BHB
4-B5	30/60	0,0000	0,0000	0,0000	-0,0005	<b>0,0000</b>	<b>0,0005</b>	<b>0,0050</b>	<b>0,0217</b>	<b>0,0334</b>	MHB MHB MHB
4-B6	30/60	0,0000	-0,0012	0,0000	-0,0033	<b>0,0012</b>	<b>0,0033</b>	<b>0,0050</b>	<b>0,0217</b>	<b>0,0334</b>	MHB MHB MHB
4-B7	30/60	0,0000	-0,0012	0,0000	-0,0033	<b>0,0012</b>	<b>0,0033</b>	<b>0,0050</b>	<b>0,0217</b>	<b>0,0334</b>	MHB MHB MHB
4-B8	30/60	0,0000	-0,0012	0,0000	-0,0032	<b>0,0012</b>	<b>0,0032</b>	<b>0,0050</b>	<b>0,0217</b>	<b>0,0334</b>	MHB MHB MHB
4-B9	30/60	0,0000	0,0000	0,0000	-0,0001	<b>0,0000</b>	<b>0,0001</b>	<b>0,0050</b>	<b>0,0217</b>	<b>0,0334</b>	MHB MHB MHB
4-B14	30/60	0,0000	0,0000	0,0000	0,0000	<b>0,0000</b>	<b>0,0000</b>	<b>0,0050</b>	<b>0,0217</b>	<b>0,0334</b>	MHB MHB MHB
4-B15	30/60	0,0000	-0,0013	0,0000	-0,0038	<b>0,0013</b>	<b>0,0038</b>	<b>0,0050</b>	<b>0,0217</b>	<b>0,0334</b>	MHB MHB MHB
4-B16	30/60	0,0000	-0,0014	0,0000	-0,0038	<b>0,0014</b>	<b>0,0038</b>	<b>0,0050</b>	<b>0,0217</b>	<b>0,0334</b>	MHB MHB MHB
4-B17	30/60	0,0000	-0,0017	0,0000	-0,0036	<b>0,0017</b>	<b>0,0036</b>	<b>0,0050</b>	<b>0,0217</b>	<b>0,0334</b>	MHB MHB MHB
4-B23	30/60	0,0000	0,0000	0,0000	-0,0006	<b>0,0000</b>	<b>0,0006</b>	<b>0,0050</b>	<b>0,0217</b>	<b>0,0334</b>	MHB MHB MHB
4-B24	30/60	0,0000	-0,0013	0,0000	-0,0033	<b>0,0013</b>	<b>0,0033</b>	<b>0,0050</b>	<b>0,0217</b>	<b>0,0334</b>	MHB MHB MHB
4-B25	30/60	0,0000	-0,0013	0,0000	-0,0033	<b>0,0013</b>	<b>0,0033</b>	<b>0,0050</b>	<b>0,0217</b>	<b>0,0334</b>	MHB MHB MHB
4-B26	30/60	0,0000	-0,0013	0,0000	-0,0032	<b>0,0013</b>	<b>0,0032</b>	<b>0,0050</b>	<b>0,0217</b>	<b>0,0334</b>	MHB MHB MHB
4-B27	30/60	0,0000	0,0000	0,0000	-0,0003	<b>0,0000</b>	<b>0,0003</b>	<b>0,0050</b>	<b>0,0217</b>	<b>0,0334</b>	MHB MHB MHB

Tablo D.13. 11sakarya-x-kiriş hasar sonuçları

KİRİŞ	KESİT	11 (YATAY) X YÖNÜ KİRİŞ DÖNMELERİ				HASAR SINIR DEĞERLERİ			HASAR DURUMU		KESİT HASAR
		mafsal dönmə (i)	mafsal dönmə (j)	mafsal dönmə	MN	GV	GÇ	SAĞ	SOL		
1-B1	30/60	0,0126	-0,0014	0,0003	-0,0121	<b>0,0126</b>	<b>0,0121</b>	<b>0,0065</b>	<b>0,0213</b>	<b>0,0328</b>	BHB
1-B2	30/60	0,0120	-0,0006	0,0003	-0,0123	<b>0,0120</b>	<b>0,0123</b>	<b>0,0065</b>	<b>0,0213</b>	<b>0,0328</b>	BHB
1-B3	30/60	0,0120	-0,0006	0,0003	-0,0122	<b>0,0120</b>	<b>0,0122</b>	<b>0,0065</b>	<b>0,0213</b>	<b>0,0328</b>	BHB
1-B4	30/60	0,0115	-0,0005	0,0013	-0,0114	<b>0,0115</b>	<b>0,0114</b>	<b>0,0065</b>	<b>0,0213</b>	<b>0,0328</b>	BHB
1-B10	30/60	0,0117	-0,0022	0,0000	-0,0126	<b>0,0117</b>	<b>0,0126</b>	<b>0,0065</b>	<b>0,0213</b>	<b>0,0328</b>	BHB
1-B11	30/60	0,0105	-0,0013	0,0000	-0,0130	<b>0,0105</b>	<b>0,0130</b>	<b>0,0065</b>	<b>0,0213</b>	<b>0,0328</b>	BHB
1-B12	30/60	0,0105	-0,0013	0,0000	-0,0130	<b>0,0105</b>	<b>0,0130</b>	<b>0,0065</b>	<b>0,0213</b>	<b>0,0328</b>	BHB
1-B13	30/60	0,0106	-0,0016	0,0004	-0,0140	<b>0,0106</b>	<b>0,0140</b>	<b>0,0065</b>	<b>0,0213</b>	<b>0,0328</b>	BHB
1-B19	30/60	0,0117	-0,0022	0,0000	-0,0126	<b>0,0117</b>	<b>0,0126</b>	<b>0,0065</b>	<b>0,0213</b>	<b>0,0328</b>	BHB
1-B20	30/60	0,0105	-0,0013	0,0000	-0,0130	<b>0,0105</b>	<b>0,0130</b>	<b>0,0065</b>	<b>0,0213</b>	<b>0,0328</b>	BHB
1-B21	30/60	0,0105	-0,0013	0,0000	-0,0130	<b>0,0105</b>	<b>0,0130</b>	<b>0,0065</b>	<b>0,0213</b>	<b>0,0328</b>	BHB
1-B22	30/60	0,0106	-0,0016	0,0004	-0,0140	<b>0,0106</b>	<b>0,0140</b>	<b>0,0065</b>	<b>0,0213</b>	<b>0,0328</b>	BHB
1-B28	30/60	0,0126	-0,0014	0,0003	-0,0121	<b>0,0126</b>	<b>0,0121</b>	<b>0,0065</b>	<b>0,0213</b>	<b>0,0328</b>	BHB
1-B29	30/60	0,0120	-0,0006	0,0003	-0,0123	<b>0,0120</b>	<b>0,0123</b>	<b>0,0065</b>	<b>0,0213</b>	<b>0,0328</b>	BHB
1-B30	30/60	0,0120	-0,0006	0,0003	-0,0122	<b>0,0120</b>	<b>0,0122</b>	<b>0,0065</b>	<b>0,0213</b>	<b>0,0328</b>	BHB
1-B31	30/60	0,0115	-0,0005	0,0013	-0,0114	<b>0,0115</b>	<b>0,0114</b>	<b>0,0065</b>	<b>0,0213</b>	<b>0,0328</b>	BHB
2-B1	30/60	0,0091	-0,0011	0,0004	-0,0071	<b>0,0091</b>	<b>0,0071</b>	<b>0,0065</b>	<b>0,0213</b>	<b>0,0328</b>	BHB
2-B2	30/60	0,0070	-0,0007	0,0004	-0,0073	<b>0,0070</b>	<b>0,0073</b>	<b>0,0065</b>	<b>0,0213</b>	<b>0,0328</b>	BHB
2-B3	30/60	0,0070	-0,0007	0,0004	-0,0073	<b>0,0070</b>	<b>0,0073</b>	<b>0,0065</b>	<b>0,0213</b>	<b>0,0328</b>	BHB
2-B4	30/60	0,0065	-0,0005	0,0010	-0,0087	<b>0,0065</b>	<b>0,0087</b>	<b>0,0065</b>	<b>0,0213</b>	<b>0,0328</b>	BHB
2-B10	30/60	0,0072	-0,0019	0,0000	-0,0088	<b>0,0072</b>	<b>0,0088</b>	<b>0,0065</b>	<b>0,0213</b>	<b>0,0328</b>	BHB
2-B11	30/60	0,0067	-0,0013	0,0000	-0,0092	<b>0,0067</b>	<b>0,0092</b>	<b>0,0065</b>	<b>0,0213</b>	<b>0,0328</b>	BHB
2-B12	30/60	0,0067	-0,0013	0,0000	-0,0092	<b>0,0067</b>	<b>0,0092</b>	<b>0,0065</b>	<b>0,0213</b>	<b>0,0328</b>	BHB
2-B13	30/60	0,0069	-0,0014	0,0000	-0,0100	<b>0,0069</b>	<b>0,0100</b>	<b>0,0065</b>	<b>0,0213</b>	<b>0,0328</b>	BHB
2-B19	30/60	0,0072	-0,0019	0,0000	-0,0088	<b>0,0072</b>	<b>0,0088</b>	<b>0,0065</b>	<b>0,0213</b>	<b>0,0328</b>	BHB
2-B20	30/60	0,0067	-0,0013	0,0000	-0,0092	<b>0,0067</b>	<b>0,0092</b>	<b>0,0065</b>	<b>0,0213</b>	<b>0,0328</b>	BHB
2-B21	30/60	0,0067	-0,0013	0,0000	-0,0092	<b>0,0067</b>	<b>0,0092</b>	<b>0,0065</b>	<b>0,0213</b>	<b>0,0328</b>	BHB
2-B22	30/60	0,0069	-0,0014	0,0000	-0,0100	<b>0,0069</b>	<b>0,0100</b>	<b>0,0065</b>	<b>0,0213</b>	<b>0,0328</b>	BHB
2-B28	30/60	0,0091	-0,0011	0,0004	-0,0071	<b>0,0091</b>	<b>0,0071</b>	<b>0,0065</b>	<b>0,0213</b>	<b>0,0328</b>	BHB
2-B29	30/60	0,0070	-0,0007	0,0004	-0,0073	<b>0,0070</b>	<b>0,0073</b>	<b>0,0065</b>	<b>0,0213</b>	<b>0,0328</b>	BHB
2-B30	30/60	0,0070	-0,0007	0,0004	-0,0073	<b>0,0070</b>	<b>0,0073</b>	<b>0,0065</b>	<b>0,0213</b>	<b>0,0328</b>	BHB
2-B31	30/60	0,0065	-0,0005	0,0010	-0,0087	<b>0,0065</b>	<b>0,0087</b>	<b>0,0065</b>	<b>0,0213</b>	<b>0,0328</b>	BHB
3-B1	30/60	0,0031	0,0000	0,0000	-0,0022	<b>0,0031</b>	<b>0,0022</b>	<b>0,0065</b>	<b>0,0213</b>	<b>0,0328</b>	MHB
3-B2	30/60	0,0021	0,0000	0,0000	-0,0024	<b>0,0021</b>	<b>0,0024</b>	<b>0,0065</b>	<b>0,0213</b>	<b>0,0328</b>	MHB
3-B3	30/60	0,0020	0,0000	0,0000	-0,0023	<b>0,0020</b>	<b>0,0023</b>	<b>0,0065</b>	<b>0,0213</b>	<b>0,0328</b>	MHB
3-B4	30/60	0,0017	0,0000	0,0000	-0,0025	<b>0,0017</b>	<b>0,0025</b>	<b>0,0065</b>	<b>0,0213</b>	<b>0,0328</b>	MHB
3-B10	30/60	0,0023	0,0000	0,0000	-0,0036	<b>0,0023</b>	<b>0,0036</b>	<b>0,0065</b>	<b>0,0213</b>	<b>0,0328</b>	MHB
3-B11	30/60	0,0015	0,0000	0,0000	-0,0040	<b>0,0015</b>	<b>0,0040</b>	<b>0,0065</b>	<b>0,0213</b>	<b>0,0328</b>	MHB
3-B12	30/60	0,0015	0,0000	0,0000	-0,0040	<b>0,0015</b>	<b>0,0040</b>	<b>0,0065</b>	<b>0,0213</b>	<b>0,0328</b>	MHB
3-B13	30/60	0,0017	0,0000	0,0000	-0,0049	<b>0,0017</b>	<b>0,0049</b>	<b>0,0065</b>	<b>0,0213</b>	<b>0,0328</b>	MHB
3-B19	30/60	0,0023	0,0000	0,0000	-0,0036	<b>0,0023</b>	<b>0,0036</b>	<b>0,0065</b>	<b>0,0213</b>	<b>0,0328</b>	MHB
3-B20	30/60	0,0015	0,0000	0,0000	-0,0040	<b>0,0015</b>	<b>0,0040</b>	<b>0,0065</b>	<b>0,0213</b>	<b>0,0328</b>	MHB
3-B21	30/60	0,0015	0,0000	0,0000	-0,0040	<b>0,0015</b>	<b>0,0040</b>	<b>0,0065</b>	<b>0,0213</b>	<b>0,0328</b>	MHB
3-B22	30/60	0,0017	0,0000	0,0000	-0,0049	<b>0,0017</b>	<b>0,0049</b>	<b>0,0065</b>	<b>0,0213</b>	<b>0,0328</b>	MHB
3-B28	30/60	0,0031	0,0000	0,0000	-0,0022	<b>0,0031</b>	<b>0,0022</b>	<b>0,0065</b>	<b>0,0213</b>	<b>0,0328</b>	MHB
3-B29	30/60	0,0021	0,0000	0,0000	-0,0024	<b>0,0021</b>	<b>0,0024</b>	<b>0,0065</b>	<b>0,0213</b>	<b>0,0328</b>	MHB
3-B30	30/60	0,0020	0,0000	0,0000	-0,0023	<b>0,0020</b>	<b>0,0023</b>	<b>0,0065</b>	<b>0,0213</b>	<b>0,0328</b>	MHB
3-B31	30/60	0,0017	0,0000	0,0000	-0,0025	<b>0,0017</b>	<b>0,0025</b>	<b>0,0065</b>	<b>0,0213</b>	<b>0,0328</b>	MHB

Tablo D.14. 11sakarya-y-kiriş hasar sonuçları

KİRİŞ	KESİT	11 (YATAY) Y YÖNÜ KİRİŞ DÖNMELERİ				HASAR SINIR DEĞERLERİ			HASAR DURUMU		KESİT HASAR
		mafsal dönme (i)	mafsal dönme (j)	mafsal dönme	MN	GV	GÇ	SAĞ	SOL		
		radyan - max	radyan- min	radyan - max	radyan- min	Sağ	Sol	rad	rad	BHB	BHB
1-B5	30/60	0,0055	-0,0035	0,0000	-0,0121	<b>0,0055</b>	<b>0,0121</b>	<b>0,0050</b>	<b>0,0217</b>	<b>0,0334</b>	<b>BHB</b>
1-B6	30/60	0,0025	-0,0075	0,0000	-0,0160	<b>0,0075</b>	<b>0,0160</b>	<b>0,0050</b>	<b>0,0217</b>	<b>0,0334</b>	<b>BHB</b>
1-B7	30/60	0,0026	-0,0075	0,0000	-0,0161	<b>0,0075</b>	<b>0,0161</b>	<b>0,0050</b>	<b>0,0217</b>	<b>0,0334</b>	<b>BHB</b>
1-B8	30/60	0,0028	-0,0075	0,0000	-0,0163	<b>0,0075</b>	<b>0,0163</b>	<b>0,0050</b>	<b>0,0217</b>	<b>0,0334</b>	<b>BHB</b>
1-B9	30/60	0,0057	-0,0035	0,0000	-0,0132	<b>0,0057</b>	<b>0,0132</b>	<b>0,0050</b>	<b>0,0217</b>	<b>0,0334</b>	<b>BHB</b>
1-B14	30/60	0,0042	-0,0022	0,0000	-0,0123	<b>0,0042</b>	<b>0,0123</b>	<b>0,0050</b>	<b>0,0217</b>	<b>0,0334</b>	<b>MHB</b>
1-B15	30/60	0,0005	-0,0060	0,0000	-0,0157	<b>0,0060</b>	<b>0,0157</b>	<b>0,0050</b>	<b>0,0217</b>	<b>0,0334</b>	<b>BHB</b>
1-B16	30/60	0,0007	-0,0060	0,0000	-0,0159	<b>0,0060</b>	<b>0,0159</b>	<b>0,0050</b>	<b>0,0217</b>	<b>0,0334</b>	<b>BHB</b>
1-B17	30/60	0,0008	-0,0059	0,0000	-0,0160	<b>0,0059</b>	<b>0,0160</b>	<b>0,0050</b>	<b>0,0217</b>	<b>0,0334</b>	<b>BHB</b>
1-B18	30/60	0,0055	-0,0002	0,0000	-0,0129	<b>0,0055</b>	<b>0,0129</b>	<b>0,0050</b>	<b>0,0217</b>	<b>0,0334</b>	<b>BHB</b>
1-B23	30/60	0,0043	-0,0019	0,0000	-0,0137	<b>0,0043</b>	<b>0,0137</b>	<b>0,0050</b>	<b>0,0217</b>	<b>0,0334</b>	<b>MHB</b>
1-B24	30/60	0,0005	-0,0059	0,0000	-0,0171	<b>0,0059</b>	<b>0,0171</b>	<b>0,0050</b>	<b>0,0217</b>	<b>0,0334</b>	<b>BHB</b>
1-B25	30/60	0,0006	-0,0058	0,0000	-0,0173	<b>0,0058</b>	<b>0,0173</b>	<b>0,0050</b>	<b>0,0217</b>	<b>0,0334</b>	<b>BHB</b>
1-B26	30/60	0,0008	-0,0058	0,0000	-0,0174	<b>0,0058</b>	<b>0,0174</b>	<b>0,0050</b>	<b>0,0217</b>	<b>0,0334</b>	<b>BHB</b>
1-B27	30/60	0,0049	-0,0020	0,0000	-0,0143	<b>0,0049</b>	<b>0,0143</b>	<b>0,0050</b>	<b>0,0217</b>	<b>0,0334</b>	<b>MHB</b>
2-B5	30/60	0,0018	-0,0020	0,0000	-0,0077	<b>0,0020</b>	<b>0,0077</b>	<b>0,0050</b>	<b>0,0217</b>	<b>0,0334</b>	<b>MHB</b>
2-B6	30/60	0,0000	-0,0053	0,0000	-0,0122	<b>0,0053</b>	<b>0,0122</b>	<b>0,0050</b>	<b>0,0217</b>	<b>0,0334</b>	<b>BHB</b>
2-B7	30/60	0,0000	-0,0053	0,0000	-0,0123	<b>0,0053</b>	<b>0,0123</b>	<b>0,0050</b>	<b>0,0217</b>	<b>0,0334</b>	<b>BHB</b>
2-B8	30/60	0,0000	-0,0052	0,0000	-0,0124	<b>0,0052</b>	<b>0,0124</b>	<b>0,0050</b>	<b>0,0217</b>	<b>0,0334</b>	<b>BHB</b>
2-B9	30/60	0,0022	-0,0020	0,0000	-0,0081	<b>0,0022</b>	<b>0,0081</b>	<b>0,0050</b>	<b>0,0217</b>	<b>0,0334</b>	<b>MHB</b>
2-B14	30/60	0,0000	-0,0017	0,0000	-0,0078	<b>0,0017</b>	<b>0,0078</b>	<b>0,0050</b>	<b>0,0217</b>	<b>0,0334</b>	<b>MHB</b>
2-B15	30/60	0,0000	-0,0042	0,0000	-0,0120	<b>0,0042</b>	<b>0,0120</b>	<b>0,0050</b>	<b>0,0217</b>	<b>0,0334</b>	<b>MHB</b>
2-B16	30/60	0,0000	-0,0041	0,0000	-0,0122	<b>0,0041</b>	<b>0,0122</b>	<b>0,0050</b>	<b>0,0217</b>	<b>0,0334</b>	<b>MHB</b>
2-B17	30/60	0,0000	-0,0041	0,0000	-0,0122	<b>0,0041</b>	<b>0,0122</b>	<b>0,0050</b>	<b>0,0217</b>	<b>0,0334</b>	<b>MHB</b>
2-B18	30/60	0,0004	-0,0017	0,0000	-0,0083	<b>0,0017</b>	<b>0,0083</b>	<b>0,0050</b>	<b>0,0217</b>	<b>0,0334</b>	<b>MHB</b>
2-B23	30/60	0,0000	-0,0019	0,0000	-0,0098	<b>0,0019</b>	<b>0,0098</b>	<b>0,0050</b>	<b>0,0217</b>	<b>0,0334</b>	<b>MHB</b>
2-B24	30/60	0,0000	-0,0042	0,0000	-0,0133	<b>0,0042</b>	<b>0,0133</b>	<b>0,0050</b>	<b>0,0217</b>	<b>0,0334</b>	<b>MHB</b>
2-B25	30/60	0,0000	-0,0041	0,0000	-0,0134	<b>0,0041</b>	<b>0,0134</b>	<b>0,0050</b>	<b>0,0217</b>	<b>0,0334</b>	<b>MHB</b>
2-B26	30/60	0,0000	-0,0041	0,0000	-0,0136	<b>0,0041</b>	<b>0,0136</b>	<b>0,0050</b>	<b>0,0217</b>	<b>0,0334</b>	<b>MHB</b>
2-B27	30/60	0,0004	-0,0019	0,0000	-0,0104	<b>0,0019</b>	<b>0,0104</b>	<b>0,0050</b>	<b>0,0217</b>	<b>0,0334</b>	<b>MHB</b>
3-B5	30/60	0,0000	0,0000	0,0000	-0,0035	<b>0,0000</b>	<b>0,0035</b>	<b>0,0050</b>	<b>0,0217</b>	<b>0,0334</b>	<b>MHB</b>
3-B6	30/60	0,0000	-0,0017	0,0000	-0,0069	<b>0,0017</b>	<b>0,0069</b>	<b>0,0050</b>	<b>0,0217</b>	<b>0,0334</b>	<b>MHB</b>
3-B7	30/60	0,0000	-0,0017	0,0000	-0,0069	<b>0,0017</b>	<b>0,0069</b>	<b>0,0050</b>	<b>0,0217</b>	<b>0,0334</b>	<b>MHB</b>
3-B8	30/60	0,0000	-0,0017	0,0000	-0,0070	<b>0,0017</b>	<b>0,0070</b>	<b>0,0050</b>	<b>0,0217</b>	<b>0,0334</b>	<b>MHB</b>
3-B9	30/60	0,0000	0,0000	0,0000	-0,0035	<b>0,0000</b>	<b>0,0035</b>	<b>0,0050</b>	<b>0,0217</b>	<b>0,0334</b>	<b>MHB</b>
3-B14	30/60	0,0000	0,0000	0,0000	-0,0033	<b>0,0000</b>	<b>0,0033</b>	<b>0,0050</b>	<b>0,0217</b>	<b>0,0334</b>	<b>MHB</b>
3-B15	30/60	0,0000	-0,0015	0,0000	-0,0062	<b>0,0015</b>	<b>0,0062</b>	<b>0,0050</b>	<b>0,0217</b>	<b>0,0334</b>	<b>MHB</b>
3-B16	30/60	0,0000	-0,0015	0,0000	-0,0062	<b>0,0015</b>	<b>0,0062</b>	<b>0,0050</b>	<b>0,0217</b>	<b>0,0334</b>	<b>MHB</b>
3-B17	30/60	0,0000	-0,0015	0,0000	-0,0062	<b>0,0015</b>	<b>0,0062</b>	<b>0,0050</b>	<b>0,0217</b>	<b>0,0334</b>	<b>MHB</b>
3-B18	30/60	0,0000	0,0000	0,0000	-0,0033	<b>0,0000</b>	<b>0,0033</b>	<b>0,0050</b>	<b>0,0217</b>	<b>0,0334</b>	<b>MHB</b>
3-B23	30/60	0,0000	0,0000	0,0000	-0,0035	<b>0,0000</b>	<b>0,0035</b>	<b>0,0050</b>	<b>0,0217</b>	<b>0,0334</b>	<b>MHB</b>
3-B24	30/60	0,0000	-0,0018	0,0000	-0,0069	<b>0,0018</b>	<b>0,0069</b>	<b>0,0050</b>	<b>0,0217</b>	<b>0,0334</b>	<b>MHB</b>
3-B25	30/60	0,0000	-0,0018	0,0000	-0,0069	<b>0,0018</b>	<b>0,0069</b>	<b>0,0050</b>	<b>0,0217</b>	<b>0,0334</b>	<b>MHB</b>
3-B26	30/60	0,0000	-0,0018	0,0000	-0,0069	<b>0,0018</b>	<b>0,0069</b>	<b>0,0050</b>	<b>0,0217</b>	<b>0,0334</b>	<b>MHB</b>
3-B27	30/60	0,0000	0,0000	0,0000	-0,0035	<b>0,0000</b>	<b>0,0035</b>	<b>0,0050</b>	<b>0,0217</b>	<b>0,0334</b>	<b>MHB</b>
4-B5	30/60	0,0000	0,0000	0,0000	0,0000	<b>0,0000</b>	<b>0,0000</b>	<b>0,0050</b>	<b>0,0217</b>	<b>0,0334</b>	<b>MHB</b>
4-B6	30/60	0,0000	0,0000	0,0000	-0,0016	<b>0,0000</b>	<b>0,0016</b>	<b>0,0050</b>	<b>0,0217</b>	<b>0,0334</b>	<b>MHB</b>
4-B7	30/60	0,0000	0,0000	0,0000	-0,0016	<b>0,0000</b>	<b>0,0016</b>	<b>0,0050</b>	<b>0,0217</b>	<b>0,0334</b>	<b>MHB</b>
4-B8	30/60	0,0000	0,0000	0,0000	-0,0016	<b>0,0000</b>	<b>0,0016</b>	<b>0,0050</b>	<b>0,0217</b>	<b>0,0334</b>	<b>MHB</b>
4-B15	30/60	0,0000	0,0000	0,0000	-0,0016	<b>0,0000</b>	<b>0,0016</b>	<b>0,0050</b>	<b>0,0217</b>	<b>0,0334</b>	<b>MHB</b>
4-B16	30/60	0,0000	0,0000	0,0000	-0,0016	<b>0,0000</b>	<b>0,0016</b>	<b>0,0050</b>	<b>0,0217</b>	<b>0,0334</b>	<b>MHB</b>
4-B17	30/60	0,0000	0,0000	0,0000	-0,0016	<b>0,0000</b>	<b>0,0016</b>	<b>0,0050</b>	<b>0,0217</b>	<b>0,0334</b>	<b>MHB</b>
4-B24	30/60	0,0000	0,0000	0,0000	-0,0014	<b>0,0000</b>	<b>0,0014</b>	<b>0,0050</b>	<b>0,0217</b>	<b>0,0334</b>	<b>MHB</b>
4-B25	30/60	0,0000	0,0000	0,0000	-0,0014	<b>0,0000</b>	<b>0,0014</b>	<b>0,0050</b>	<b>0,0217</b>	<b>0,0334</b>	<b>MHB</b>
4-B26	30/60	0,0000	0,0000	0,0000	-0,0014	<b>0,0000</b>	<b>0,0014</b>	<b>0,0050</b>	<b>0,0217</b>	<b>0,0334</b>	<b>MHB</b>

Tablo D.15. 11sakarya-x-z-kiriş hasar sonuçları

KİRİŞ	KESİT	11 (YATAY-DUSEY) X YÖNÜ KİRİŞ DÖNMELERİ				HASAR SINIR DEĞERLERİ			HASAR DURUMU		KESİT HASAR
		mafsal dönmme (i)	mafsal dönmme (j)	mafsal dönmme	MN	GV	GÇ	SAĞ	SOL		
1-B1	30/60	0,0142	-0,0015	0,0004	-0,0134	0,0142	0,0134	0,0065	0,0213	0,0328	BHB
1-B2	30/60	0,0133	-0,0006	0,0004	-0,0140	0,0133	0,0140	0,0065	0,0213	0,0328	BHB
1-B3	30/60	0,0137	-0,0006	0,0004	-0,0136	0,0137	0,0136	0,0065	0,0213	0,0328	BHB
1-B4	30/60	0,0134	-0,0005	0,0013	-0,0145	0,0134	0,0145	0,0065	0,0213	0,0328	BHB
1-B10	30/60	0,0134	-0,0023	0,0000	-0,0144	0,0134	0,0144	0,0065	0,0213	0,0328	BHB
1-B11	30/60	0,0122	-0,0013	0,0000	-0,0147	0,0122	0,0147	0,0065	0,0213	0,0328	BHB
1-B12	30/60	0,0122	-0,0013	0,0000	-0,0147	0,0122	0,0147	0,0065	0,0213	0,0328	BHB
1-B13	30/60	0,0123	-0,0016	0,0004	-0,0157	0,0123	0,0157	0,0065	0,0213	0,0328	BHB
1-B19	30/60	0,0133	-0,0023	0,0000	-0,0144	0,0133	0,0144	0,0065	0,0213	0,0328	BHB
1-B20	30/60	0,0122	-0,0013	0,0000	-0,0147	0,0122	0,0147	0,0065	0,0213	0,0328	BHB
1-B21	30/60	0,0122	-0,0013	0,0000	-0,0147	0,0122	0,0147	0,0065	0,0213	0,0328	BHB
1-B22	30/60	0,0123	-0,0016	0,0004	-0,0157	0,0123	0,0157	0,0065	0,0213	0,0328	BHB
1-B28	30/60	0,0142	-0,0015	0,0004	-0,0134	0,0142	0,0134	0,0065	0,0213	0,0328	BHB
1-B29	30/60	0,0134	-0,0006	0,0004	-0,0137	0,0134	0,0137	0,0065	0,0213	0,0328	BHB
1-B30	30/60	0,0135	-0,0006	0,0004	-0,0137	0,0135	0,0137	0,0065	0,0213	0,0328	BHB
1-B31	30/60	0,0134	-0,0005	0,0013	-0,0144	0,0134	0,0144	0,0065	0,0213	0,0328	BHB
2-B1	30/60	0,0107	-0,0011	0,0005	-0,0089	0,0107	0,0089	0,0065	0,0213	0,0328	BHB
2-B2	30/60	0,0089	-0,0007	0,0004	-0,0091	0,0089	0,0091	0,0065	0,0213	0,0328	BHB
2-B3	30/60	0,0088	-0,0007	0,0004	-0,0091	0,0088	0,0091	0,0065	0,0213	0,0328	BHB
2-B4	30/60	0,0089	-0,0006	0,0010	-0,0109	0,0089	0,0109	0,0065	0,0213	0,0328	BHB
2-B10	30/60	0,0092	-0,0019	0,0000	-0,0107	0,0092	0,0107	0,0065	0,0213	0,0328	BHB
2-B11	30/60	0,0086	-0,0013	0,0000	-0,0110	0,0086	0,0110	0,0065	0,0213	0,0328	BHB
2-B12	30/60	0,0085	-0,0013	0,0000	-0,0110	0,0085	0,0110	0,0065	0,0213	0,0328	BHB
2-B13	30/60	0,0087	-0,0015	0,0000	-0,0119	0,0087	0,0119	0,0065	0,0213	0,0328	BHB
2-B19	30/60	0,0092	-0,0019	0,0000	-0,0108	0,0092	0,0108	0,0065	0,0213	0,0328	BHB
2-B20	30/60	0,0086	-0,0013	0,0000	-0,0110	0,0086	0,0110	0,0065	0,0213	0,0328	BHB
2-B21	30/60	0,0086	-0,0013	0,0000	-0,0111	0,0086	0,0111	0,0065	0,0213	0,0328	BHB
2-B22	30/60	0,0087	-0,0015	0,0000	-0,0119	0,0087	0,0119	0,0065	0,0213	0,0328	BHB
2-B28	30/60	0,0109	-0,0011	0,0005	-0,0089	0,0109	0,0089	0,0065	0,0213	0,0328	BHB
2-B29	30/60	0,0089	-0,0007	0,0004	-0,0091	0,0089	0,0091	0,0065	0,0213	0,0328	BHB
2-B30	30/60	0,0089	-0,0007	0,0004	-0,0091	0,0089	0,0091	0,0065	0,0213	0,0328	BHB
2-B31	30/60	0,0087	-0,0006	0,0010	-0,0109	0,0087	0,0109	0,0065	0,0213	0,0328	BHB
3-B1	30/60	0,0046	0,0000	0,0000	-0,0033	0,0046	0,0033	0,0065	0,0213	0,0328	MHB
3-B2	30/60	0,0033	0,0000	0,0000	-0,0035	0,0033	0,0035	0,0065	0,0213	0,0328	MHB
3-B3	30/60	0,0032	0,0000	0,0000	-0,0035	0,0032	0,0035	0,0065	0,0213	0,0328	MHB
3-B4	30/60	0,0033	0,0000	0,0000	-0,0046	0,0033	0,0046	0,0065	0,0213	0,0328	MHB
3-B10	30/60	0,0039	0,0000	0,0000	-0,0049	0,0039	0,0049	0,0065	0,0213	0,0328	MHB
3-B11	30/60	0,0027	0,0000	0,0000	-0,0052	0,0027	0,0052	0,0065	0,0213	0,0328	MHB
3-B12	30/60	0,0027	0,0000	0,0000	-0,0051	0,0027	0,0051	0,0065	0,0213	0,0328	MHB
3-B13	30/60	0,0028	0,0000	0,0000	-0,0065	0,0028	0,0065	0,0065	0,0213	0,0328	MHB
3-B19	30/60	0,0038	0,0000	0,0000	-0,0048	0,0038	0,0048	0,0065	0,0213	0,0328	MHB
3-B20	30/60	0,0025	0,0000	0,0000	-0,0050	0,0025	0,0050	0,0065	0,0213	0,0328	MHB
3-B21	30/60	0,0026	0,0000	0,0000	-0,0050	0,0026	0,0050	0,0065	0,0213	0,0328	MHB
3-B22	30/60	0,0027	0,0000	0,0000	-0,0063	0,0027	0,0063	0,0065	0,0213	0,0328	MHB
3-B28	30/60	0,0042	0,0000	0,0000	-0,0030	0,0042	0,0030	0,0065	0,0213	0,0328	MHB
3-B29	30/60	0,0029	0,0000	0,0000	-0,0032	0,0029	0,0032	0,0065	0,0213	0,0328	MHB
3-B30	30/60	0,0029	0,0000	0,0000	-0,0031	0,0029	0,0031	0,0065	0,0213	0,0328	MHB
3-B31	30/60	0,0027	0,0000	0,0000	-0,0041	0,0027	0,0041	0,0065	0,0213	0,0328	MHB
4-B11	30/60	0,0000	0,0000	0,0000	0,0000	0,0000	0,0000	0,0065	0,0213	0,0328	MHB
4-B12	30/60	0,0000	0,0000	0,0000	-0,0002	0,0000	0,0002	0,0065	0,0213	0,0328	MHB
4-B13	30/60	0,0000	0,0000	0,0000	-0,0002	0,0000	0,0002	0,0065	0,0213	0,0328	MHB

Tablo D.16. 11sakarya-y-z-kiriş hasar sonuçları

KİRİŞ	KESİT	11 (YATAY-DUSEY) Y YÖNÜ KİRİŞ DÖNMELERİ						HASAR SINIR DEĞERLERİ			HASAR DURUMU		KESİT HASAR
		mafşal dönme (i)		mafşal dönme (j)		mafşal dönme		MN	GV	GÇ			
		radyan - max	radyan - min	radyan - max	radyan - min	Sağ	Sol	rad	rad	rad	SAĞ SOL		
1-B5	30/60	0,0067	-0,0062	0,0000	-0,0134	0,0067	0,0134	0,0050	0,0217	0,0334	BHB	BHB	BHB
1-B6	30/60	0,0028	-0,0090	0,0000	-0,0163	0,0090	0,0163	0,0050	0,0217	0,0334	BHB	BHB	BHB
1-B7	30/60	0,0026	-0,0084	0,0000	-0,0160	0,0084	0,0160	0,0050	0,0217	0,0334	BHB	BHB	BHB
1-B8	30/60	0,0021	-0,0080	0,0000	-0,0155	0,0080	0,0155	0,0050	0,0217	0,0334	BHB	BHB	BHB
1-B9	30/60	0,0055	-0,0038	0,0000	-0,0123	0,0055	0,0123	0,0050	0,0217	0,0334	BHB	BHB	BHB
1-B14	30/60	0,0053	-0,0049	0,0000	-0,0133	0,0053	0,0133	0,0050	0,0217	0,0334	BHB	BHB	BHB
1-B15	30/60	0,0012	-0,0079	0,0000	-0,0165	0,0079	0,0165	0,0050	0,0217	0,0334	BHB	BHB	BHB
1-B16	30/60	0,0009	-0,0074	0,0000	-0,0162	0,0074	0,0162	0,0050	0,0217	0,0334	BHB	BHB	BHB
1-B17	30/60	0,0007	-0,0068	0,0000	-0,0160	0,0068	0,0160	0,0050	0,0217	0,0334	BHB	BHB	BHB
1-B18	30/60	0,0044	-0,0029	0,0000	-0,0122	0,0044	0,0122	0,0050	0,0217	0,0334	MHB	BHB	BHB
1-B23	30/60	0,0044	-0,0046	0,0000	-0,0111	0,0046	0,0111	0,0050	0,0217	0,0334	MHB	BHB	BHB
1-B24	30/60	0,0013	-0,0081	0,0000	-0,0178	0,0081	0,0178	0,0050	0,0217	0,0334	BHB	BHB	BHB
1-B25	30/60	0,0011	-0,0073	0,0000	-0,0180	0,0073	0,0180	0,0050	0,0217	0,0334	BHB	BHB	BHB
1-B26	30/60	0,0006	-0,0070	0,0000	-0,0172	0,0070	0,0172	0,0050	0,0217	0,0334	BHB	BHB	BHB
1-B27	30/60	0,0042	-0,0019	0,0000	-0,0133	0,0042	0,0133	0,0050	0,0217	0,0334	MHB	BHB	BHB
2-B5	30/60	0,0020	-0,0031	0,0000	-0,0079	0,0031	0,0079	0,0050	0,0217	0,0334	MHB	BHB	BHB
2-B6	30/60	0,0000	-0,0063	0,0000	-0,0116	0,0063	0,0116	0,0050	0,0217	0,0334	BHB	BHB	BHB
2-B7	30/60	0,0000	-0,0061	0,0000	-0,0115	0,0061	0,0115	0,0050	0,0217	0,0334	BHB	BHB	BHB
2-B8	30/60	0,0000	-0,0059	0,0000	-0,0112	0,0059	0,0112	0,0050	0,0217	0,0334	BHB	BHB	BHB
2-B9	30/60	0,0014	-0,0021	0,0000	-0,0074	0,0021	0,0074	0,0050	0,0217	0,0334	MHB	BHB	BHB
2-B14	30/60	0,0000	-0,0022	0,0000	-0,0078	0,0022	0,0078	0,0050	0,0217	0,0334	MHB	BHB	BHB
2-B15	30/60	0,0000	-0,0055	0,0000	-0,0117	0,0055	0,0117	0,0050	0,0217	0,0334	BHB	BHB	BHB
2-B16	30/60	0,0000	-0,0052	0,0000	-0,0117	0,0052	0,0117	0,0050	0,0217	0,0334	BHB	BHB	BHB
2-B17	30/60	0,0000	-0,0050	0,0000	-0,0117	0,0050	0,0117	0,0050	0,0217	0,0334	BHB	BHB	BHB
2-B18	30/60	0,0000	-0,0018	0,0000	-0,0074	0,0018	0,0074	0,0050	0,0217	0,0334	MHB	BHB	BHB
2-B23	30/60	0,0000	-0,0020	0,0000	-0,0087	0,0020	0,0087	0,0050	0,0217	0,0334	MHB	BHB	BHB
2-B24	30/60	0,0000	-0,0056	0,0000	-0,0131	0,0056	0,0131	0,0050	0,0217	0,0334	BHB	BHB	BHB
2-B25	30/60	0,0000	-0,0051	0,0000	-0,0131	0,0051	0,0131	0,0050	0,0217	0,0334	BHB	BHB	BHB
2-B26	30/60	0,0000	-0,0051	0,0000	-0,0129	0,0051	0,0129	0,0050	0,0217	0,0334	BHB	BHB	BHB
2-B27	30/60	0,0000	-0,0020	0,0000	-0,0092	0,0020	0,0092	0,0050	0,0217	0,0334	MHB	BHB	BHB
3-B5	30/60	0,0000	0,0000	0,0000	-0,0036	0,0000	0,0036	0,0050	0,0217	0,0334	MHB	MHB	MHB
3-B6	30/60	0,0000	-0,0018	0,0000	-0,0067	0,0018	0,0067	0,0050	0,0217	0,0334	MHB	BHB	BHB
3-B7	30/60	0,0000	-0,0018	0,0000	-0,0067	0,0018	0,0067	0,0050	0,0217	0,0334	MHB	BHB	BHB
3-B8	30/60	0,0000	-0,0017	0,0000	-0,0067	0,0017	0,0067	0,0050	0,0217	0,0334	MHB	BHB	BHB
3-B9	30/60	0,0000	0,0000	0,0000	-0,0036	0,0000	0,0036	0,0050	0,0217	0,0334	MHB	MHB	MHB
3-B14	30/60	0,0000	0,0000	0,0000	-0,0034	0,0000	0,0034	0,0050	0,0217	0,0334	MHB	MHB	MHB
3-B15	30/60	0,0000	-0,0015	0,0000	-0,0063	0,0015	0,0063	0,0050	0,0217	0,0334	MHB	BHB	BHB
3-B16	30/60	0,0000	-0,0015	0,0000	-0,0063	0,0015	0,0063	0,0050	0,0217	0,0334	MHB	BHB	BHB
3-B17	30/60	0,0000	-0,0015	0,0000	-0,0063	0,0015	0,0063	0,0050	0,0217	0,0334	MHB	BHB	BHB
3-B18	30/60	0,0000	0,0000	0,0000	-0,0034	0,0000	0,0034	0,0050	0,0217	0,0334	MHB	MHB	MHB
3-B23	30/60	0,0000	0,0000	0,0000	-0,0036	0,0000	0,0036	0,0050	0,0217	0,0334	MHB	MHB	MHB
3-B24	30/60	0,0000	-0,0023	0,0000	-0,0070	0,0023	0,0070	0,0050	0,0217	0,0334	MHB	BHB	BHB
3-B25	30/60	0,0000	-0,0019	0,0000	-0,0070	0,0019	0,0070	0,0050	0,0217	0,0334	MHB	BHB	BHB
3-B26	30/60	0,0000	-0,0020	0,0000	-0,0070	0,0020	0,0070	0,0050	0,0217	0,0334	MHB	BHB	BHB
3-B27	30/60	0,0000	0,0000	0,0000	-0,0036	0,0000	0,0036	0,0050	0,0217	0,0334	MHB	MHB	MHB
4-B5	30/60	0,0000	0,0000	0,0000	0,0000	0,0000	0,0000	0,0050	0,0217	0,0334	MHB	MHB	MHB
4-B7	30/60	0,0000	0,0000	0,0000	-0,0015	0,0000	0,0015	0,0050	0,0217	0,0334	MHB	MHB	MHB
4-B8	30/60	0,0000	0,0000	0,0000	-0,0015	0,0000	0,0015	0,0050	0,0217	0,0334	MHB	MHB	MHB
4-B9	30/60	0,0000	0,0000	0,0000	0,0000	0,0000	0,0000	0,0050	0,0217	0,0334	MHB	MHB	MHB
4-B14	30/60	0,0000	0,0000	0,0000	0,0000	0,0000	0,0000	0,0050	0,0217	0,0334	MHB	MHB	MHB
4-B15	30/60	0,0000	0,0000	0,0000	-0,0015	0,0000	0,0015	0,0050	0,0217	0,0334	MHB	MHB	MHB
4-B16	30/60	0,0000	0,0000	0,0000	-0,0016	0,0000	0,0016	0,0050	0,0217	0,0334	MHB	MHB	MHB
4-B17	30/60	0,0000	0,0000	0,0000	-0,0015	0,0000	0,0015	0,0050	0,0217	0,0334	MHB	MHB	MHB
4-B18	30/60	0,0000	0,0000	0,0000	0,0000	0,0000	0,0000	0,0050	0,0217	0,0334	MHB	MHB	MHB
4-B23	30/60	0,0000	0,0000	0,0000	0,0000	0,0000	0,0000	0,0050	0,0217	0,0334	MHB	MHB	MHB
4-B24	30/60	0,0000	0,0000	0,0000	-0,0013	0,0000	0,0013	0,0050	0,0217	0,0334	MHB	MHB	MHB
4-B25	30/60	0,0000	0,0000	0,0000	-0,0013	0,0000	0,0013	0,0050	0,0217	0,0334	MHB	MHB	MHB
4-B26	30/60	0,0000	0,0000	0,0000	-0,0013	0,0000	0,0013	0,0050	0,0217	0,0334	MHB	MHB	MHB

## **ÖZGEÇMİŞ**

1987 yılında Kadıköy, İstanbul'da doğdu. İlk, orta ve lise öğrenimini İstanbul'da tamamladı. 2012 yılında Kocaeli Üniversitesi Mühendislik Fakültesi İnşaat Mühendisliği Bölümü'nden mezun olarak yine aynı yıl içerisinde Fen Bilimleri Enstitüsü İnşaat Mühendisliği Anabilim Dalı'nda öğrenim görmeye başladı. 2012 yılından beri özel bir şirkette statiker mühendis olarak çalışmaktadır.